

UNIVERSIDAD NACIONAL DE CHIMBORAZO

FACULTAD DE INGENIERÍA CARRERA DE INGENIERÍA CIVIL

TÍTULO DEL TRABAJO DE INVESTIGACIÓN:

"ANÁLISIS Y EVALUACIÓN DE REDONDELES E INTERSECCIONES SEMAFORIZADAS PARA MEJORAR LA CIRCULACIÓN VEHICULAR EN LA CIRCUNVALACIÓN DE LA CIUDAD DE RIOBAMBA Y PROPUESTA DE DISEÑO GEOMÉTRICO EN LA INTERSECCIÓN MÁS CRÍTICA"

AUTORES:

LUIS MIGUEL CÁRDENAS QUITO CRISTIAN JAVIER LLAMUCA LLAMUCA

DIRECTOR:

Ing. ÁNGEL PAREDES GARCÍA:

RIOBAMBA- ECUADOR 2016

CERTIFICACIÓN DEL TUTOR

Yo, Ing. Ángel Paredes García, en calidad de tutor de tesis, cuyo tema es: "ANÁLISIS Y EVALUACIÓN DE REDONDELES E INTERSECCIONES SEMAFORIZADAS PARA MEJORAR LA CIRCULACIÓN VEHICULAR EN LA CIRCUNVALACIÓN DE LA CIUDAD DE RIOBAMBA Y PROPUESTA DE DISEÑO GEOMÉTRICO EN LA INTERSECCIÓN MÁS CRÍTICA", CERTIFICO; que el informe final del trabajo investigativo ha sido revisado y corregido, razón por la cual autorizo al señor Luis Miguel Cárdenas Quito y al señor Cristian Javier Llamuca Llamuca, para que se presenten ante el tribunal de defensa respectivo para que se lleve acabo la sustentación de su tesis

Atentamente,

Ing. Ángel Paredes García

TUTOR DE TESIS

Los miembros del Tribunal de Graduación del proyecto de investigación de título: "ANÁLISIS Y EVALUACIÓN DE REDONDELES E INTERSECCIONES SEMAFORIZADAS PARA MEJORAR LA CIRCULACIÓN VEHICULAR EN LA CIRCUNVALACIÓN DE LA CIUDAD DE RIOBAMBA Y PROPUESTA DE DISEÑO GEOMÉTRICO EN LA INTERSECCIÓN MAS CRÍTICA" presentado por: Luis Miguel Cárdenas Quito y Cristian Javier Llamuca Llamuca y dirigida por el: Ing. Ángel Edmundo Paredes García.

Una vez escuchada la defensa oral y revisado el informe final del proyecto de investigación con fines de graduación escrito en la cual se ha constatado el cumplimiento de las observaciones realizadas, remite la presente para uso y custodia en la biblioteca de la Facultad de Ingeniería de la UNACH.

Para constancia de lo expuesto firman:

Ing. Víctor René Velásquez Benavides

Presidente del Tribunal

Ing. Ángel Edmundo Paredes García

Miembro del Tribunal

Ing. Oscar Efrén Paredes Peñaherrera

Miembro del Tribunal

Firma

Firma

Firma

AUTORÍA DE LA INVESTIGACIÓN

"La responsabilidad del contenido de este Proyecto de Graduación, nos corresponde exclusivamente a: Luis Miguel Cárdenas Quito y Cristian Javier Llamuca Llamuca y del Ing. Ángel Edmundo Paredes García Director del Proyecto; y el patrimonio intelectual de la misma a la Universidad Nacional de Chimborazo.

Luis Miguel Cárdenas Quito

C.I. 0603942392

Cristian Javier Llamuca Llamuca

C.I. 0604090928

AGRADECIMIENTO

En primer lugar damos gracias a Dios, Padres y hermanos quienes hicieron posible de una u otra manera la realización de este trabajo; además damos nuestra gratitud al Ing. Ángel Edmundo Paredes García por el apoyo para la realización de la presente investigación, así como por los conocimientos impartidos en los cursos que nos brindó como parte en nuestros estudios.

A la Universidad Nacional de Chimborazo por brindarnos los conocimientos en toda esta etapa de nuestros estudios.

Luis Miguel Cárdenas Cristian Javier Llamuca

DEDICATORIA

A nuestros padres, por el apoyo continuo durante todo el tiempo de nuestros estudios profesionales y que con sus ejemplos, colaboración y consejos hicieron posible la culminación de este proyecto.

Luis Miguel Cárdenas Cristian Javier Llamuca

ÍNDICE GENERAL

ÍNDICE GENERAL	VII
ÍNDICE DE TABLAS	XII
ÍNDICE DE ILUSTRACIONES	XVII
ÍNDICE DE ECUACIONES	XX
RESUMEN	XXI
INTRODUCCIÓN:	XXIII
CAPÍTULO 1	1
1. EL PROBLEMA	1
1.1. Tema del trabajo de Grado	1
1.2. Ubicación geográfica del Proyecto	1
1.3. Problematización	2
1.4. Análisis Crítico.	3
1.5. Prognosis.	3
1.6. Delimitación	3
1.7. Formulación del problema.	3
1.8. Objetivos.	3
1.8.1. Objetivo general	3
1.8.2. Objetivos específicos.	4
CAPITULO II	5
2. FUNDAMENTO TEÓRICO.	5
ANTECEDENTES	5
2.1. CAPACIDAD VIAL Y NIVELES DE SERVICIO	5
2.2. CALLES URBANAS	7
2.2.1. Características de flujo	7
2.3. INTERSECCIONES	7
2.3.1. Intersecciones de prioridad.	8
2.4. REDONDELES	8
2.4.1. Tipos de redondeles	10
2.4.2. Movimiento en redondeles	11
2.4.3. Análisis de redondeles.	11
2.4.3.1. Capacidad	11
2.4.3.2. Intervalo crítico y tiempo continuo	13
2.4.3.3. Flujos conflictivos	13
2.4.3.5. Demoras en redondeles.	14
2.5. VOLUMEN DEL TRÁNSITO.	14
2.5.1. Estudios que se realizan para el cálculo del TPDA	14
2.5.2. Volumen y tasa de flujo.	15

2.5.3. Demanda y volumen.	15
2.6. INTERSECCIÓN CON SEMÁFOROS	17
2.6.1. Metodología.	18
2.6.2. Términos básicos	19
2.6.3. Flujo vehicular.	21
2.6.3.1. Tipos de flujos de tránsito.	21
2.6.4. Relación de espacio y tiempo entre vehículos	22
2.6.5. Relación entre velocidad, flujo y densidad.	22
2.6.6. Modo de operación de las intersecciones semafóricas.	22
2.6.7. Puntos de conflicto en una intersección semaforizada.	23
2.6.8. Principales características de flujo dentro de una intersección semaforizada	24
2.6.9. Tipos de movimientos.	25
2.6.10. Parte una fase semafórica según el Instituto Ecuatoriano de Normalización INI	EN 25
2.6.11. Flujo de saturación.	26
2.6.12. Tratamientos de giros izquierdos.	26
2.6.13. Cálculos de tiempo.	27
2.6.13.1. Determinar el plan de fases.	27
2.6.13.2. Determinación del grupo de carriles.	28
2.6.13.3. Cálculo del flujo de saturación	
2.5.13.3.1. Ajuste por ancho de carril (<i>fw</i>)	30
2.6.13.3.2. Ajuste por vehículos pesados (<i>fHV</i>).	30
fHv = 100100 + %HV(ET - 1)	30
2.6.13.3.3. Ajuste por gradiente (<i>f g</i>)	30
2.6.13.3.4. Ajuste por parqueo (<i>fp</i>)	31
2.6.13.3.5. Ajuste por bloqueo de buses (<i>fbb</i>)	31
2.6.13.3.6. Ajuste por tipo de área (<i>fa</i>)	31
2.6.13.3.7. Ajuste para la utilización del carril (fLU)	31
2.6.13.3.8. Ajustes para giros izquierdos en el grupo de carriles (<i>fLT</i>)	32
2.6.13.3.9. Ajustes por giros a la derecha en el grupo de carriles (fRT)	32
2.6.13.3.10. Ajustes por peatones (<i>fLpb</i> , <i>fRpb</i>)	32
2.6.13.4. Determinación del grupo crítico	33
2.6.13.5. Determinación entre el tiempo de entre verde y tiempo total perdido	33
2.6.13.6. Cálculo del tiempo del ciclo óptimo.	34
2.6.13.7. Cálculo de tiempo de verde	34
2.6.13.8. Capacidad y niveles de servicio de una intersección semaforizada	34
CAPITULO III	
3, METODOLOGÍA	36
3.1. TIPO DE ESTUDIO.	36
3.2. POBLACIÓN Y MUESTRA	36

3.3. HIPÓTESIS3	6
3.4. OPERACIÓN DE VARIABLES	7
3.5. PROCEDIMIENTO	8
3.6. PROCESAMIENTO Y ANÁLISIS	9
3.6.1. Diagnóstico situacional.	9
3.6.1.1. Ubicación geográfica y política	9
3.6.2. Conteo de tráfico por hora en el sector.	9
3.6.3. Condiciones de semaforización	3
3.6.4. Módulo de la tasa de flujo de saturación4	3
3.6.5. Módulo de análisis de capacidad4	3
3.6.6. Módulo de nivel de servicio4	4
Cálculo Tipo4	8
3.6.7Cálculo del flujo de saturación (Fsat)4	8
3.6.8. Flujo de saturación de la intersección 1: Av. Lizarzaburu y Av. By Pass	1
3.6.9. Flujo de saturación de la intersección 2: Av. By Pass y calle Sergio Quirola5	2
3.6.10. Flujo de saturación de la intersección 3: Av. By Pass y Av. Canónigo Ramos5	3
3.6.11. Flujo de saturación de la intersección 4: Av. By Pass y Av. Pedro Vicente Maldonado	
3.6.12. Flujo de saturación de la intersección 5: Av. Pedro Vicente Maldonado y calle José d Araujo	
3.6.13. Flujo de saturación de la intersección 6: Av. Pedro Vicente Maldonado y calle Jos Peralta	
3.6.14. Flujo de saturación de la intersección 7: Av. Pedro Vicente Maldonado y Av. 11 d Noviembre5	
3.6.15. Flujo de saturación de la intersección 8: Av. Pedro Vicente Maldonado y Av. Sair Amont Montread	
3.6.16. Flujo de saturación de la intersección 9: Av. Pedro Vicente Maldonado y Av. 9 d Octubre	
3.6.17. Flujo de saturación de la intersección 10: Av. 9 de Octubre y calle S/N	0
3.6.18. Flujo de saturación de la intersección 11: Av. 9 de Octubre y calle Carabobo	1
3.6.19. Flujo de saturación de la intersección 12: Av. 9 de Octubre y Av. Juan Félix Proaño. 6	
3.6.20. Flujo de saturación de la intersección 13: Av. Leopoldo Freire y 9 de Octubre	3
3.6.21. Flujo de saturación de la intersección 14: Av. Costa Rica y Av. 9 de Octubre	4
3.6.22. Flujo de saturación de la intersección 15: Av. Celso Rodríguez y Av. Edelbert Bonilla	
3.6.23. Flujo de saturación de la intersección 16: Av. Edelberto Bonilla y Av. Arauj Chiriboga	
3.6.24. Flujo de saturación de la intersección 18: Av. Edelberto Bonilla y Av. Antonio José d Sucre	e
3.6.25. Flujo de saturación de la intersección 20: Av. Héroes de Tapi y Calle Brasil	
3.6.26. Flujo de saturación de la intersección 22: Av. Lizarzaburu y Av. La Prensa	
3.6.27. Flujo de saturación de la intersección 23: Av. Lizarzaburu y Calle Agustín Torres7	

3.6.29. Flujo de saturación de la intersección 25: Av. Lizarzaburu y Av 11 de Noviemb	ore 72
3.6.30. Cálculo teórico de los tiempos de ciclo óptimos para las intersecciones semafo	
3.6.31. Cálculo del tiempo del ciclo de verde.	
3.6.32. Asignación del tiempo de luz roja	75
3.6.33. Cálculo del ciclo óptimo (Co).	75
3.6.34. Determinación de la capacidad y nivel de servicio del rediseño de fases semafó.	ricas. 78
3.6.35. Determinación de la capacidad de servicio y nivel de servicio de una interseccion redondel	
3.6.36. Características geométricas de un redondel.	80
3.6.37. Cálculo de la capacidad	80
3.6.38. Cálculo de la demora	81
3.6.39. Criterio del nivel de servicio para redondeles	81
3.6.40. SYNCHRO 8.0.	82
3.6.40.1. Simulación en el SYNCHRO 8.0	83
CAPITULO IV	86
4. RESULTADOS	
4.1. INFORMACIÓN DE LA CIRCUNVALACIÓN DE LA CIUDAD DE RIOBAMBA	86
4.2. INFORMACIÓN INDIVIDUAL POR INTERSECCIÓN	86
4.2.1. Intersección 1: Av. Lizarzaburu y Av. By Pass.	88
4.2.2. Intersección 2: Av. By Pass y calle Sergio Quirola.	96
4.2.3. Intersección 3: Av. By Pass y Av. Canónigo Ramos	
4.2.4. Intersección 4: Av. Pedro Vicente Maldonado y Av. By Pass	
4.2.5. Intersección 5: Av. Pedro Vicente Maldonado y calle José Araujo	
4.2.6. Intersección 6: Av. Pedro Vicente Maldonado y calle José Peralta	128
4.2.7. Intersección 7: Av. Pedro Vicente Maldonado y Av. 11 de Noviembre	136
4.2.8. Intersección 8: Av. Pedro Vicente Maldonado y Av. Saint Amont Montreal	
4.2.9. Intersección 9: Av. Pedro Vicente Maldonado y Av. 9 de Octubre	
4.2.10. Intersección 10: Av. 9 de Octubre y calle S/N	
4.2.11. Intersección 11: Av. 9 de Octubre y calle Carabobo	
4.2.12. Intersección12: Av. 9 de octubre y Av. Juan Félix Proaño	
4.2.13. Intersección 13: Av. 9 de Octubre y Av. Leopoldo Freire	
4.2.14. Intersección 14: Av. 9 de Octubre y Calle Costa Rica	
4.2.15. Intersección 15: Av. Celso Rodríguez y Av. Edelberto Bonilla.	
4.2.16. Intersección 16: Av. Edelberto Bonilla y Av. Araujo Chiriboga.	
4.2.17. Intersección 17: Av. Edelberto Bonilla y Av. Alfonso Chávez.	
4.2.18. Intersección 18: Av. Edelberto Bonilla y Av. Antonio José de Sucre	
4.2.19. Intersección 19: Av. Antonio José de Sucre y Av. Héroes de Tapi	229

4.2.20. Intersección 20: Av. Héroes de Tapi y Calle Brasil.	235
4.2.21. Intersección 21: Av. La Prensa y Calle Gonzalo Dávalos.	243
4.2.22. Intersección 22: Av. La Prensa y Av. Lizarzaburu.	248
4.2.23. Intersección 23: Av. Lizarzaburu y Calle Agustín Torres.	256
4.2.24. Intersección 24: Av. Lizarzaburu y Av. Saint Amont Montread	264
4.2.25. Intersección 25: Av. Lizarzaburu y Av. 11 de Noviembre.	272
CAPITULO V	280
5. DISCUSIÓN.	280
CAPITULO VI	290
6. CONCLUSIONES Y RECOMENDACIONES	290
6.1. Conclusiones.	290
6.2. Recomendaciones	294
CAPITULO VII	295
7. PROPUESTA	295
7.1. Título de la propuesta	295
7.2. Introducción	295
7.3. OBJETIVOS	295
7.3.1. Objetivo general	295
7.3.2. Objetivo específico.	295
7.4. FUNDAMENTACIÓN CIENTÍFICA – TEÓRICA	296
7.4.1. Intersección 17: Av. Edelberto Bonilla y Av. Alfonso Chávez (redondel de la V	-
7.4.2. Pasos e intersecciones a desnivel.	296
7.4.2.1. Pasos inferiores.	296
7.5. DESCRIPCIÓN DE LA PROPUESTA	297
7.5.1. Alternativa 1: Semaforización y aumento a 3 carriles en sus aproximaciones	297
7.5.1.1. Datos ingresados para la modelación.	297
7.5.2. Alternativa 2: Paso deprimido	299
7.5.2.1. Datos ingresados para la modelación	299
7.5.3. Alternativa escogida	302
7.6. DISEÑO ORGANIZACIONAL	303
7.7. MONITOREO Y EVALUACIÓN DE LA PROPUESTA	304
CAPITULO VIII	305
8. BIBLIOGRAFÍA.	305
CAPITULO IX	307
9. ANEXOS	307
9.1. ANEXO 1: FORMATO DEL CONTEO VEHICULAR	307
9.2. ANEXO 2: PLANO 1 PROPUESTA PASO DEPRIMIDO EN EL SECTOR DI VASIJA-RIOBAMBA	
0.3. ANEXO 3: FOTOCPAFÍAS	300

ÍNDICE DE TABLAS

Tabla 1: Intervalos críticos y tiempos continuos	13
Tabla 2: Valores mínimos de productos de cruce recomendado	
Tabla 3: Tipos de movimientos	31
Tabla 4: Criterios de nivel de servicio.	35
Tabla 5: Operación de variables.	37
Tabla 6: Volumen de tráfico por hora pico de intersecciones semaforizadas	de la
circunvalación	40
Tabla 7: Relación entre tipo de arribo y razón de grupo (Rp)	43
Tabla 8: Factores de ajuste de progresión (PF)	46
Tabla 9: Criterio de nivel de servicio para intersecciones semaforizadas	48
Tabla 10: Intersección 1. Flujo de saturación.	51
Tabla 11: Intersección 2. Flujo de saturación.	52
Tabla 12: Intersección 3. Flujo de saturación.	53
Tabla 13: Intersección 4. Flujo de saturación.	54
Tabla 14: Intersección 5. Flujo de saturación.	55
Tabla 15: Intersección 6. Flujo de saturación.	56
Tabla 16: Intersección 7. Flujo de saturación.	57
Tabla 17: Intersección 8. Flujo de saturación.	58
Tabla 18: Intersección 9. Flujo de saturación.	59
Tabla 19: Intersección 10. Flujo de saturación.	60
Tabla 20: Intersección 11. Flujo de saturación.	61
Tabla 21: Intersección 12. Flujo de saturación.	62
Tabla 22: Intersección 13. Flujo de saturación.	
Tabla 23: Intersección 14. Flujo de saturación.	64
Tabla 24: Intersección 15. Flujo de saturación.	65
Tabla 25: Intersección 16. Flujo de saturación.	66
Tabla 26: Intersección 18. Flujo de saturación.	67
Tabla 27: Intersección 20. Flujo de saturación.	68
Tabla 28: Intersección 22. Flujo de saturación.	69
Tabla 29: Intersección 23. Flujo de saturación.	70
Tabla 30: Intersección 24. Flujo de saturación	71
Tabla 31: Intersección 25. Flujo de saturación.	72
Tabla 32: Niveles de servicio actuales.	73
Tabla 33: Nivel de servicio del rediseño de fases.	
Tabla 34: Volumen de tráfico por hora pico de intersecciones con redondeles	de la
circunvalación.	
Tabla 35: Capacidad de redondeles.	
Tabla 36: Criterios sobre el nivel de servicio para redondeles.	
Tabla 37: Nivel de servicio.	
Tabla 38: Intersección 1. Características geométricas y condiciones semafóricas	
Tabla 39 Conteo volumétrico de tránsito de la hora pico.	
Tabla 40 Sincronización semafórica actual.	
Tabla 41 Intersección 1. Capacidad y nivel de servicio actual	
Tabla 42 Intersección1. Razón de fluio crítico Ycr	93

Tabla 43 Intersección 1. Cálculo del ciclo óptimo.	93
Tabla 44 Intersección 1. Cálculo del verde efectivo.	
Tabla 45 Intersección 1. Nueva sincronización semafórica	
Tabla 46 Intersección 1. Capacidad de la propuesta	
Tabla 47 Intersección 2. Características geométricas y condiciones semafóricas	
Tabla 48: Intersección 2. Conteo volumétrico de tránsito de la hora pico	
Tabla 49: Intersección 2. Sincronización semafórica actual	
Tabla 50: Intersección 2. Capacidad y nivel de servicio actual	
Tabla 51: Intersección 2. Razón de flujo crítico Ycr.	
Tabla 52: Intersección 2. Cálculo del ciclo óptimo.	
Tabla 53: Intersección 2. Cálculo del verde efectivo	
Tabla 54: Intersección 2. Nueva sincronización semafórica.	
Tabla 55: Intersección 2. Capacidad de la propuesta	
Tabla 56: Características geométricas y condiciones semafóricas.	105
Tabla 57: Intersección 3. Conteo volumétrico de tránsito de la hora pico	106
Tabla 58: Intersección 3. Sincronización semafórica actual.	
Tabla 59: Intersección 3. Capacidad y nivel de servicio actual	
Tabla 60: Intersección 3. Razón de flujo crítico Ycr.	
Tabla 61: Intersección 3. Cálculo del ciclo óptimo.	
Tabla 62: Intersección 3. Cálculo del verde efectivo.	
Tabla 63: Intersección 3. Nueva sincronización semafórica.	
Tabla 64: Intersección 3. Capacidad de la propuesta	
Tabla 65: Características geométricas y condiciones semafóricas.	
Tabla 66: Intersección 4. Conteo volumétrico de tránsito de la hora pico	114
Tabla 67: Intersección 4. Sincronización semafórica actual.	
Tabla 68: Intersección 4. Capacidad y nivel de servicio actual	
Tabla 69: Intersección 4. Razón de flujo crítico Ycr.	
Tabla 70: Intersección 4. Cálculo del ciclo óptimo.	
Tabla 71: Intersección 4. Cálculo del verde efectivo.	
Tabla 72: Intersección 4. Nueva sincronización semafórica.	
Tabla 73: Intersección 4. Capacidad de la propuesta	
Tabla 74: Características geométricas y condiciones semafóricas	121
Tabla 75: Intersección 5: Conteo volumétrico de tránsito de la hora pico.	
Tabla 76: Intersección 5. Sincronización semafórica actual.	
Tabla 77: Intersección 5. Capacidad y nivel de servicio actual	
Tabla 78: Intersección 5. Razón de flujo crítico Ycr.	
Tabla 79: Intersección 5. Cálculo del ciclo óptimo.	
Tabla 80: Intersección 5. Cálculo del verde efectivo.	
Tabla 81: Intersección 5. Nueva sincronización semafórica.	
Tabla 82: Intersección 5. Capacidad de la propuesta	
Tabla 83: Características geométricas y condiciones semafóricas	
Tabla 84: Intersección 6: Conteo volumétrico de tránsito de la hora pico.	
Tabla 85: Intersección 6. Sincronización semafórica actual.	131
Tabla 86: Intersección 6. Capacidad y nivel de servicio actual.	
Tabla 87: Intersección 6. Razón de flujo crítico Ycr.	
Tabla 88: Intersección 6. Cálculo del ciclo óptimo.	
Tabla 89: Intersección 6. Cálculo del verde efectivo.	
Tabla 90: Intersección 6. Nueva sincronización semafórica.	
Tabla 91: Intersección 6. Capacidad de la propuesta	
Tabla 92: Características geométricas y condiciones semafóricas.	
- moin / - , - conservationies geometrical permittion delination delination and the continuous continuous geometrical permittion delinations and the continuous geometrical permittion delination delinations and the continuous geometrical permittion delination delinations are continuous geometrical permittions and the continuous geometrical permittion delinations are continuous geometrical permittions and the continuous geometrical permittion delinations are continuous geometrical permittions and the continuous geometrical permittion delination and the continuous geometrical permittion and the continuous geomet	/

Tabla 93: Intersección 7: Conteo volumétrico de tránsito de la hora pico	138
Tabla 94: Intersección 7. Sincronización semafórica actual	139
Tabla 95: Intersección 7. Capacidad y nivel de servicio actual	140
Tabla 96: Intersección 7. Razón de flujo crítico Ycr.	141
Tabla 97: Intersección 7. Cálculo del ciclo óptimo.	141
Tabla 98: Intersección 7. Cálculo del verde efectivo	141
Tabla 99: Intersección 7. Nueva sincronización semafórica.	141
Tabla 100: Intersección 7. Capacidad de la propuesta	
Tabla 101: Características geométricas y condiciones semafóricas.	
Tabla 102: Intersección 8: Conteo volumétrico de tránsito de la hora pico	
Tabla 103: Intersección 8. Sincronización semafórica actual	147
Tabla 104: Intersección 8. Capacidad y nivel de servicio actual	148
Tabla 105: Intersección 8. Razón de flujo crítico Ycr.	
Tabla 106: Intersección 8. Cálculo del ciclo óptimo.	149
Tabla 107: Intersección 8. Cálculo del verde efectivo	
Tabla 108: Intersección 8. Nueva sincronización semafórica.	149
Tabla 109: Intersección 8. Capacidad de la propuesta	
Tabla 110: Características geométricas y condiciones semafóricas	
Tabla 111: Intersección 9: Conteo volumétrico de tránsito de la hora pico	
Tabla 112: Intersección 9. Sincronización semafórica actual	155
Tabla 113: Intersección 9. Capacidad y nivel de servicio actual	156
Tabla 114: Intersección 9. Razón de flujo crítico Ycr.	
Tabla 115: Intersección 9. Cálculo del ciclo óptimo.	
Tabla 116: Intersección 9. Cálculo del verde efectivo	
Tabla 117: Intersección 9. Nueva sincronización semafórica.	157
Tabla 118: Intersección 9. Capacidad de la propuesta	159
Tabla 119: Características geométricas y condiciones semafóricas	161
Tabla 120: Intersección 10: Conteo volumétrico de tránsito de la hora pico	
Tabla 121: Intersección 10. Sincronización semafórica actual	
Tabla 122: Intersección 10. Capacidad y nivel de servicio actual	164
Tabla 123: Intersección 10. Razón de flujo crítico Ycr.	
Tabla 124: Intersección 10. Cálculo del ciclo óptimo.	
Tabla 125: Intersección 10. Cálculo del verde efectivo	165
Tabla 126: Intersección 10. Nueva sincronización semafórica.	165
Tabla 127: Intersección 10. Capacidad de la propuesta	167
Tabla 128: Características geométricas y condiciones semafóricas.	169
Tabla 129: Intersección 11: Conteo volumétrico de tránsito de la hora pico	170
Tabla 130: Intersección 11. Sincronización semafórica actual	
Tabla 131: Intersección 11. Capacidad y nivel de servicio actual	172
Tabla 132: Intersección 11. Razón de flujo crítico Ycr.	173
Tabla 133: Intersección 11. Cálculo del ciclo óptimo.	173
Tabla 134: Intersección 11. Cálculo del verde efectivo.	
Tabla 135: Intersección 11. Nueva sincronización semafórica.	173
Tabla 136: Intersección 11. Capacidad de la propuesta	175
Tabla 137: Características geométricas y condiciones semafóricas	
Tabla 138: Intersección 12: Conteo volumétrico de tránsito de la hora pico	
Tabla 139: Intersección 12. Sincronización semafórica actual	
Tabla 140: Intersección 12. Capacidad y nivel de servicio actual	180
Tabla 141: Intersección 12. Razón de flujo crítico Ycr.	
Tabla 142: Intersección 12. Cálculo del ciclo óntimo	

Tabla 143: Intersección 12. Cálculo del verde efectivo	181
Tabla 144: Intersección 12. Nueva sincronización semafórica.	181
Tabla 145: Intersección 12. Capacidad de la propuesta	183
Tabla 146: Intersección 13. Características geométricas y condiciones semafóricas	
Tabla 147: Intersección 13: Conteo volumétrico de tránsito de la hora pico	
Tabla 148: Intersección 13. Sincronización semafórica actual	
Tabla 149: Intersección 13. Capacidad y nivel de servicio actual	
Tabla 150: Intersección 13. Razón de flujo crítico Ycr.	
Tabla 151: Intersección 13. Cálculo del ciclo óptimo.	
Tabla 152: Intersección 13. Calculo del verde efectivo	
Tabla 153: Intersección 13. Nueva sincronización semafórica.	
Tabla 154: Intersección 13. Capacidad y nivel de servicio de la propuesta	
Tabla 155: Intersección 14. Características geométricas y condiciones semafóricas	
Tabla 156: Intersección 14: Conteo volumétrico de tránsito de la hora pico	
Tabla 157: Intersección 14. Sincronización semafórica actual	
Tabla 158: Intersección 14. Capacidad y nivel de servicio actual	
Tabla 159: Intersección 14. Razón de flujo crítico Ycr	
Tabla 160: Intersección 14. Cálculo del ciclo óptimo	
Tabla 161: Intersección 14. Calculo del verde efectivo.	
Tabla 162: Intersección 14. Nueva sincronización semafórica.	
Tabla 163: Intersección 14. Capacidad y nivel de servicio de la propuesta	
Tabla 164: Intersección 15. Características geométricas y condiciones semafóricas	
Tabla 165: Intersección 15. Conteo volumétrico de tránsito de la hora pico	
Tabla 166: Intersección 15. Sincronización semafórica actual	203
Tabla 167: Intersección 15. Capacidad y nivel de servicio actual	
Tabla 168: Intersección 15. Razón de flujo crítico Ycr.	
Tabla 169: Intersección 15. Cálculo del ciclo óptimo.	
Tabla 170: Intersección 15. Calculo del verde efectivo	
Tabla 171: Intersección 15. Nueva sincronización semafórica.	
Tabla 172: Intersección 15. Capacidad y nivel de servicio de la propuesta	
Tabla 173: Intersección 16. Características geométricas y condiciones semafóricas	
Tabla 174: Intersección 16. Conteo volumétrico de tránsito de la hora pico	
Tabla 175: Intersección 16. Sincronización semafórica actual	
Tabla 176: Intersección 16. Capacidad y nivel de servicio actual	
Tabla 177: Intersección 16. Razón de flujo crítico Ycr.	
Tabla 178: Intersección 16. Cálculo del ciclo óptimo.	
Tabla 179: Intersección 16. Calculo del verde efectivo.	
Tabla 180: Intersección 15. Nueva sincronización semafórica.	
Tabla 181: Intersección 16. Capacidad y nivel de servicio de la propuesta	
Tabla 182: Intersección 17. Características geométricas.	
Tabla 183: Intersección 17. Conteo volumétrico de tránsito de la hora pico	
Tabla 184: Intersección 17. Volumen.	
Tabla 185: Intersección 17. Datos de la geometría	
Tabla 186: Intersección 17. Capacidad del redondel.	
Tabla 187: Intersección 17. Volumen.	
Tabla 188: Intersección 18. Características geométricas y condiciones semafóricas	
Tabla 189: Intersección 18. Conteo volumétrico de tránsito de la hora pico	
Tabla 190: Intersección 18. Sincronización semafórica actual	
Tabla 191: Intersección 18. Capacidad y nivel de servicio actual	
Tabla 192: Intersección 18. Razón de flujo crítico Ycr.	

Tabla 193: Intersección 18. Cálculo del ciclo óptimo.	226
Tabla 194: Intersección 18. Calculo del verde efectivo	226
Tabla 195: Intersección 18. Nueva sincronización semafórica.	226
Tabla 196: Intersección 18. Capacidad y nivel de servicio de la propuesta	228
Tabla 197: Intersección 19. Características geométricas.	
Tabla 198: Intersección 19. Conteo volumétrico de tránsito de la hora pico	
Tabla 199: Intersección 19. Volumen.	
Tabla 200: Intersección 19. Datos de la geometría	
Tabla 201: Intersección 19. Capacidad del redondel.	
Tabla 202: Intersección 17. Volumen.	
Tabla 203: Intersección 20. Características geométricas y condiciones semafóricas	
Tabla 204: Intersección 20. Conteo volumétrico de tránsito de la hora pico	
Tabla 205: Intersección 20. Sincronización semafórica actual	
Tabla 206: Intersección 20. Capacidad y nivel de servicio actual	
Tabla 207: Intersección 20. Razón de flujo crítico Ycr.	
Tabla 208: Intersección 20. Cálculo del ciclo óptimo.	
Tabla 209: Intersección 20. Calculo del verde efectivo.	
Tabla 210: Intersección 20. Nueva sincronización semafórica.	
Tabla 211: Intersección 20. Capacidad y nivel de servicio de la propuesta	
Tabla 212: Intersección 21. Características geométricas.	
Tabla 213: Intersección 21. Conteo volumétrico de tránsito de la hora pico	
Tabla 214: Intersección 21. Volumen.	
Tabla 215: Intersección 21. Volumen	
Tabla 216: Intersección 21. Capacidad del redondel.	
Tabla 217: Intersección 21. Volumen.	
Tabla 218: Intersección 22. Características geométricas y condiciones semafóricas	
Tabla 219: Intersección 22: Conteo volumétrico de tránsito de la hora pico	
Tabla 221: Intersección 22. Capacidad y nivel de servicio actual.	
Tabla 222: Intersección 22. Razón de flujo crítico Ycr.	
Tabla 223: Intersección 22. Cálculo del ciclo óptimo.	
Tabla 224: Intersección 22. Calculo del verde efectivo.	
Tabla 225: Intersección 22. Nueva sincronización semafórica.	253
Tabla 226: Intersección 22. Capacidad y nivel de servicio de la propuesta.	
Tabla 227: Intersección 205. Características geométricas y condiciones semafóricas	
Tabla 228: Intersección 23: Conteo volumétrico de tránsito de la hora pico.	
Tabla 229: Intersección 23. Sincronización semafórica actual	
Tabla 230: Intersección 23. Capacidad y nivel de servicio actual	
Tabla 231: Intersección 23. Razón de flujo crítico Ycr.	
Tabla 232: Intersección 23. Cálculo del ciclo óptimo.	
Tabla 233: Intersección 23. Calculo del verde efectivo	
Tabla 234: Intersección 23. Nueva sincronización semafórica.	
Tabla 235: Intersección 23. Capacidad y nivel de servicio de la propuesta	
Tabla 236: Intersección 24. Características geométricas y condiciones semafóricas	
Tabla 237: Intersección 24: Conteo volumétrico de tránsito de la hora pico	
Tabla 238: Intersección 24. Sincronización semafórica actual	
Tabla 239: Intersección 24. Capacidad y nivel de servicio actual	
Tabla 240: Intersección 24. Razón de flujo crítico Ycr.	
Tabla 241: Intersección 24. Cálculo del ciclo óptimo.	
Tabla 242: Intersección 24. Calculo del verde efectivo	269

Tabla 243: Intersección 24. Nueva sincronización semafórica.	269
Tabla 244: Intersección 24. Capacidad y nivel de servicio de la propuesta	
Tabla 245: Intersección 25. Características geométricas y condiciones semafóricas	
Tabla 246: Intersección 25: Conteo volumétrico de tránsito de la hora pico.	
Tabla 247: Intersección 25. Sincronización semafórica actual	
Tabla 248: Intersección 25. Capacidad y nivel de servicio actual.	
Tabla 249: Intersección 25. Razón de flujo crítico Ycr.	
Tabla 250: Intersección 25. Cálculo del ciclo óptimo.	
Tabla 251: Intersección 25. Cálculo del verde efectivo.	
Tabla 252: Intersección 25. Nueva sincronización semafórica.	
Tabla 253: Intersección 25. Capacidad y nivel de servicio de la propuesta	
Tabla 254: Nivel de servicio y demoras.	
Tabla 255: Tráfico promedio diario horario.	
Tabla 256: Comparación de niveles de servicio.	
ÍNDICE DE ILUSTRACIONES	
Ilustración 1: Representación de los niveles de servicio en el diagrama de volu velocidad.	•
Ilustración 2: Características geométricas de un redondel	
Ilustración 3: Colocar señalización adecuada de los límites de velocidad que deben o	ircular
los conductores en un redondel	10
Ilustración 4: Señalización típica en una intersección con redondel	10
Ilustración 5: Puntos de conflicto en un redondel y una intersección no semaforizada	
Ilustración 6: Metodología de análisis de intersecciones semafóricas	
Ilustración 7: Puntos de conflicto en una intersección semaforizada.	
Ilustración 8: Divergencias y convergencias.	
Ilustración 9: Partes de una fase semafórica.	
Ilustración 10: Plan de fases.	
Ilustración 11: Grupo de carriles	29
Ilustración 12: Geometría de la intersección.	
Ilustración 13: Imagen del google maps insertada en el SYNCHRO 8.0	
Ilustración 14: Imagen del google maps insertada en el SYNCHRO 8.0.	
Ilustración 15: Imagen del google maps insertada en el SYNCHRO 8.0	
Ilustración 16: Imagen del google maps insertada en el SYNCHRO 8.0	
Ilustración 17: Tipos de vehículos	87
Ilustración 18: Intersección semaforizada 1: Av. Lizarzaburu y Av. By Pass	
Ilustración 19: Intersección 1. Geometría y tipos de movimientos	
Ilustración 20: Intersección 1. Volúmenes por hora.	
Ilustración 21: Intersección 1. Diagrama semafórica	
Ilustración 22: Intersección semaforizada 2: Av. By Pass y calle Sergio Quirola	
Ilustración 23: Intersección 2. Geometría y tipos de movimientos	
Ilustración 24: Intersección 2. Volúmenes por hora.	
Ilustración 25: Intersección 2. Diagrama semafórica	
Ilustración 26: Intersección semaforizada 3: Av. By Pass y Av. Canónigo Ramos	
Ilustración 27: Intersección 3: Geometría y tipos de movimientos.	
Ilustración 28: Intersección 3. Volúmenes por hora.	
Ilustración 29: Intersección 3. Diagrama semafórica	110

Ilustración 30: Intersección semaforizada 4: Av. Pedro Vicente Maldonado y Av. By I	
Ilustración 31: Intersección 4. Geometría y tipos de movimientos.	
Ilustración 32: Intersección 4. Volúmenes por hora.	
Ilustración 33: Intersección 4. Diagrama semafórica	
Ilustración 34: Intersección semaforizada 5: Av. Pedro Vicente Maldonado y Calle	
Araujo.	
Ilustración 35: Intersección 5. Geometría y tipos de movimientos.	
Ilustración 36: Intersección 5. Volúmenes por hora.	
Ilustración 37: Intersección 5. Diagrama semafórica	
Ilustración 38: Intersección semaforizada 6: Av. Pedro Vicente Maldonado y Calle	
Peralta.	
Ilustración 39: Intersección 6. Geometría y tipos de movimientos.	
Ilustración 40: Intersección 6. Volúmenes por hora.	
Ilustración 41: Intersección 6. Diagrama semafórica	
Ilustración 42: Intersección semaforizada 7: Av. Pedro Vicente Maldonado y Av. 1	
Noviembre	
Ilustración 43: Intersección 7. Geometrías y tipos de movimientos	
Ilustración 44: Intersección 7. Volúmenes por hora.	
Ilustración 45: Intersección 7. Diagrama semafórica	
Ilustración 46: Intersección semaforizada 8: Av. Pedro Vicente Maldonado y Av. S	
Amont Montread.	
Ilustración 47: Intersección 8. Geometría y tipos de movimientos.	
Ilustración 48: Intersección 8. Volúmenes por hora.	
Ilustración 49: Intersección 8. Diagrama semafórica	
Ilustración 50: Intersección semaforizada 9: Av. Pedro Vicente Maldonado y Av. 9	
Octubre	
Ilustración 51: Intersección 9. Características y tipos de movimientos	.152
Ilustración 52: Intersección 9. Volúmenes por hora.	
Ilustración 53: Intersección 9. Diagrama semafórica	.158
Ilustración 54: Intersección semaforizada 10: Av. 9 de Octubre y Calle S/N	
Ilustración 55: Intersección 10. Geometría y tipos de movimientos	.160
Ilustración 56: Intersección 10. Volúmenes por hora.	.163
Ilustración 57: Intersección 10. Diagrama semafórica	
Ilustración 58: Intersección semaforizada 11: Av. 9 de Octubre y Calle Carabobo	.168
Ilustración 59: Intersección 11. Geometría y tipos de movimientos	
Ilustración 60: Intersección 11. Volúmenes por hora	.171
Ilustración 61: Intersección 11. Diagrama semafórica	.174
Ilustración 62: Intersección semaforizada 12: Av. 9de Octubre y Av. Juan Félix Proaño	.176
Ilustración 63: Intersección 12. Geometría y tipos de movimientos	.176
Ilustración 64: Intersección 12. Volúmenes por hora.	
Ilustración 65: Intersección 12. Diagrama semafórica	.182
Ilustración 66: Intersección semaforizada 13: Av. 9 de Octubre y Av. Leopoldo Freire	.184
Ilustración 67: Intersección 13. Geometría y Tipos de movimientos	.184
Ilustración 68: Intersección 13. Volúmenes por hora.	.187
Ilustración 69: Intersección 13. Diagrama semafórica	
Ilustración 70: Intersección semaforizada 14: Av. 9 de Octubre y Calle Costa Rica	
Ilustración 71: Intersección 14. Geometría y Tipos de movimientos	
Ilustración 72: Intersección 14. Volúmenes por hora.	
Ilustración 73: Intersección 14. Diagrama semafórica	.198

Ilustración 74: Intersección semaforizada 15: Av. Celso Rodríguez y Av. Edelberto Bo	onilla.
Ilustración 75: Intersección 15. Geometría y Tipos de movimientos.	
Ilustración 76: Intersección 15. Volúmenes por hora.	
Ilustración 77: Intersección 15. Diagrama semafórica	
Ilustración 78: Intersección semaforizada 16: Av. Edelberto Bonilla y Av. Araujo Chiri	
Ilustración 79: Intersección 16. Geometría y Tipos de movimientos.	
Ilustración 80: Intersección 16. Volúmenes por hora.	
Ilustración 81: Intersección 16. Diagrama semafórica	
Ilustración 82: Intersección con redondel 17: Av. Edelberto Bonilla y Av. Alfonso Ch	
Ilustración 83: Intersección 17. Geometría y Tipos de movimientos.	
Ilustración 84: Intersección 17. Volúmenes por hora.	
Ilustración 85: Intersección semaforizada 18: Av. Edelberto Bonilla y Av. Antonio Jo	
Sucre.	
Ilustración 86: Intersección 18. Geometría y tipos de movimientos.	
Ilustración 87: Intersección 18. Volúmenes por hora.	
Ilustración 88: Intersección 18. Diagrama semafórica	
Ilustración 89: Intersección con redondel 19: Av. Antonio José de Sucre y Av. Héro	
Tapi.	
Ilustración 90: Intersección 19. Geometría y tipos de movimientos.	
Ilustración 91: Intersección 19. Volúmenes por hora	
Ilustración 92: Intersección semaforizada 20: Av. Héroes de Tapi y Calle Brasil	
Ilustración 93: Intersección 20. Geometría y tipos de movimientos.	
Ilustración 94: Intersección 20. Volúmenes por hora.	
Ilustración 95: Intersección 20. Diagrama semafórica	
Ilustración 96: Intersección con redondel 21: Av. La Prensa y Calle Gonzalo Dávalos	
Ilustración 97: Intersección 21. Geometría y tipos de movimiento.	
Ilustración 98: Intersección 21. Volúmenes por hora.	
Ilustración 99: Intersección semaforizada 22: Av. La Prensa y Av. Lizarzaburu	248
Ilustración 100: Intersección 22. Geometría y tipos de movimientos.	
Ilustración 101: Intersección 22. Volúmenes por hora.	251
Ilustración 102: Intersección 22. Diagrama semafórica	
Ilustración 103: Intersección semaforizada 23: Av. Lizarzaburu y Calle Agustín Torres	256
Ilustración 104: Intersección 23. Geometría y tipos de movimientos.	256
Ilustración 105: Intersección 23. Volúmenes por hora.	259
Ilustración 106: Intersección 23. Diagrama semafórica	262
Ilustración 107: Intersección semaforizada 24: Av. Lizarzabura y Av. Saint Amont Mon	tread.
Ilustración 108: Intersección 24. Geometría y tipos de movimientos.	
Ilustración 109: Intersección 24. Volúmenes por hora.	
Ilustración 110: Intersección 24. Diagrama semafórica	
Ilustración 111: Intersección semaforizada 25: Av. Lizarzaburu y Av. 11 de Noviembre.	
Ilustración 112: Intersección 25. Geometría y tipos de movimientos.	
Ilustración 113: Intersección 25. Volúmenes por hora.	
Ilustración 114: Intersección 25. Diagrama semafórica	
Ilustración 115: Datos ingresados y obtenidos en la simulación en el software SYNCHR	
de la alternativa 1.	
Ilustración 116: Alternativa 1. Simulada en el software SYNCHRO 8.0.	299

Ilustración 117: Simulación del paso deprimido en el software SYNCHRO 8.0	300
Ilustración 118: Datos ingresados al software SYNCHRO 8.0 para la alternativa 2	
Ilustración 119: Diseño Organizacional	
ÍNDICE DE ECUACIONES	
Ecuación 1: Método Británico (TRRL) empírico.	11
Ecuación 2: Constante k	
Ecuación 3: Agudeza de ensanchamiento S.	
Ecuación 4: Constante X ₂	
Ecuación 5: Constante F.	
Ecuación 6: Constante M.	
Ecuación 7: Constante t _D	
Ecuación 8: Constante Fc.	
Ecuación 9: Demoras en redondeles	
Ecuación 10: TPDA.	
Ecuación 11: TPDM.	
Ecuación 12: TPDS.	
Ecuación 13: Intervalo promedio.	
Ecuación 14: Flujo.	
Ecuación 15: Verde efectivo	
Ecuación 16.: Amarillo	
Ecuación 17: Tiempo perdido.	
Ecuación 18: Tiempo perdido.	
Ecuación 19: Flujo de saturación.	
Ecuación 20: Ajuste por ancho de carril.	
Ecuación 21: Ajuste por vehículos pesados.	
Ecuación 22: Ajuste por gradiente.	
Ecuación 23: Ajuste por parqueo.	
Ecuación 24: Ajuste por bloqueo de buses.	
Ecuación 25: Ajuste para la utilización del carril.	
Ecuación 26: Ajustes por giros a la izquierda en el grupo de carriles	
Ecuación 27: Ajustes para giros a la derecha	
Ecuación 28: Ajuste por peatones.	
Ecuación 29: Razón de flujo.	
Ecuación 30: Entre verde-total tiempo perdido.	
Ecuación 31: Tiempo ciclo óptimo.	
Ecuación 32: Tiempo de verde.	
Ecuación 33: Capacidad de grupo	
Ecuación 34: Cálculo de X.	44
Ecuación 35: Cálculo de Xc	44
Ecuación 36: Nivel de servicio.	45
Ecuación 37: Demora uniforme d ₁	45
Ecuación 38: Demora incremental d ₂ .	46
Ecuación 39: Demora estimada total.	
Ecuación 40: Cálculo del ciclo óptimo.	74
Ecuación 41: Verde efectivo.	74
Ecuación 42: Luz roja.	75
Ecuación 43: Capacidad en redondeles Qe.	81
Ecuación 44: Cálculo de la demora	81

RESUMEN

El análisis y evaluación del comportamiento de intersecciones en la circunvalación de la ciudad de Riobamba se determinó empleando la metodología de análisis del HCM 2000, la misma que se fundamenta en los principios de la ingeniería de tráfico y han sido desarrolladas empleando información real de campo, con las cuales se estimaron las tasas de flujo de saturación y demoras por control. Los datos de volúmenes y movimientos en las intersecciones fueron obtenidos por medio de aforos que son útiles para el análisis de intersecciones con semáforos y redondeles.

Los resultados de las propuestas condujeron a una disminución de tiempo de demoras y con ello obtuvimos beneficios significativos de seguridad vial, reduciendo así el riesgo de accidentabilidad de los usuarios de estas intersecciones.

Además, se pudo determinar la intersección más crítica y proponer la solución más óptima para mejorar su condición.

Abstract

The analysis and evaluation of the behavior of the intersections in the circumvallation of Riobamba city. It was determined using the methodology analysis of HCM 2000, the same that is based on the principles of traffic engineering and was developed using real field information, with which were estimated the saturation flow rates and control delays. The data of volumes and movements in the intersections were obtained by means of those used for the analysis of intersections with traffic lights and roundabouts.

The results of the proposals led to a reduction in the time of the delays and with them we obtained significant benefits of road safety, reducing the risk of accident of the users of these intersections.

It was also possible to determine the most critical intersection and propose the most optimal solution to improve its condition.

OR RECCION

Reviewed by: Chávez, Maritza

Language Center Teacher

INTRODUCCIÓN:

Las vías urbanas latinoamericanas no tienen la capacidad suficiente para soportar el uso indiscriminado del automóvil particular, y no la van a tener nunca, aunque se tomen las medidas financieras, ambientales y políticamente factibles para ampliarlas. Como lo muestra la experiencia de Caracas y otras urbes grandes que aplicaron esa estrategia. (**Revista de la CEPAL 76, 2002. Pág. 121.**)

Riobamba, como la mayoría de las ciudades de población media en América Latina, en los últimos años ha empezado a presentar serios problemas en su movilidad. Estos inconvenientes han sido generados por varios factores donde sobresale el acelerado crecimiento del parque automotor la cual genera mayor afectación a la circunvalación por donde transitan automóviles que se dirigen a varios puntos de la ciudad y provincia.

Las intersecciones semaforizadas y redondeles de la circunvalación de la ciudad de Riobamba constituyen elementos complejos de este sistema vial. Para analizarlas hay que tener en cuenta una amplia variedad de variables, tales como: capacidad y nivel de servicio, la composición del tránsito, las características geométricas de la vía.

El análisis y evaluación de intersecciones se basa en realizar un conteo de los movimientos que realiza un vehículo al llegar a la intersección, esta información ayuda a los tesistas a realizar un rediseño óptimo en la intersección, logrando analizar la capacidad y el nivel de servicio que presta a los usuarios para así dar una mejor movilidad y circulación.

El presente tema de tesis "Análisis y evaluación de redondeles e intersecciones semaforizadas para mejorar la circulación vehicular en la circunvalación de la ciudad de Riobamba y propuesta de diseño geométrico en la intersección más crítica"-Provincia de Chimborazo. Se enmarca los parámetros de análisis del Highway Capacity Manual (HCM), además de las normas y especificaciones técnicas del Instituto Ecuatoriano de Normalización (INEN) vigentes y actualizadas que rigen en el país.

La necesidad de realizar el presente estudio de intersecciones y posteriormente su evaluación, es para mejorar la movilidad y los tiempos de viajes, ya que ha sido ignorada por mucho tiempo atrás por las autoridades; con la ayuda del Ministerio de Transporte y Obras Públicas va a ser posible realizarlo.

CAPÍTULO 1

1. EL PROBLEMA

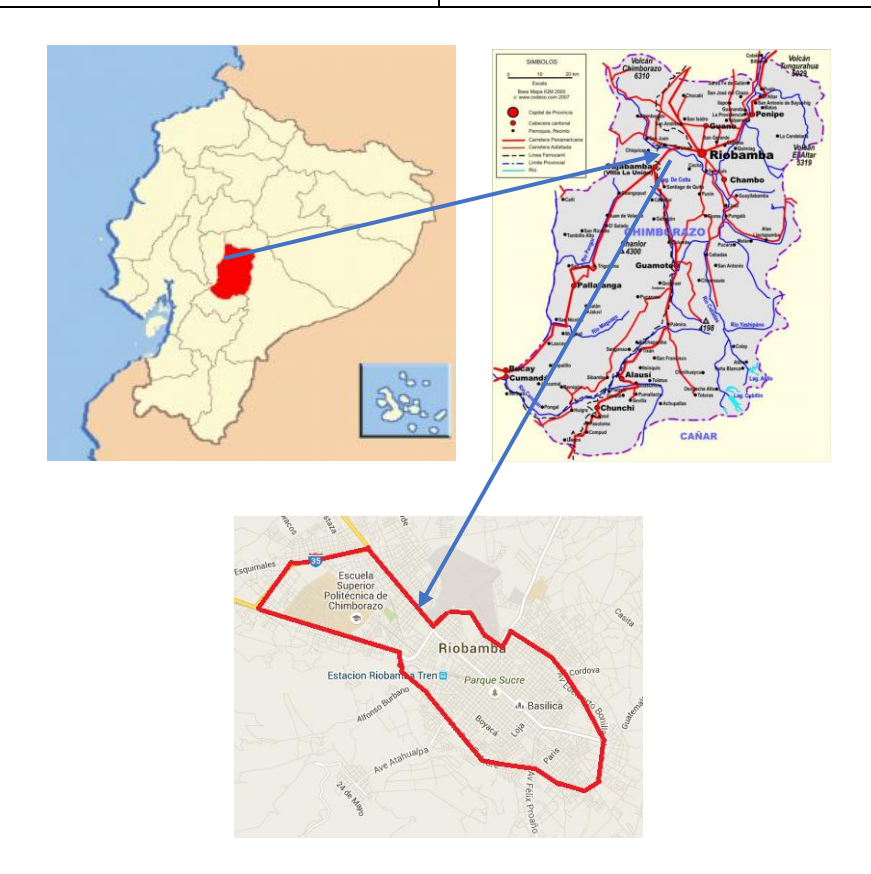
1.1. Tema del trabajo de Grado

Análisis y Evaluación de redondeles e intersecciones semaforizadas para mejorar la circulación vehicular en la circunvalación de la ciudad de Riobamba y propuesta de diseño geométrico en la intersección más crítica.

1.2. Ubicación geográfica del Proyecto

El proyecto a realizarse está ubicado en la provincia de Chimborazo, cantón Riobamba en la circunvalación, este proyecto es de vital importancia porque nos permite que los vehículos que circula n por esta vía puedan realizar menores tiempos de viaje a su lugar de destino

Norte	9816414
Este	759570
Altitud	2750 msnm



1.3. Problematización.

La congestión vehicular constituye un grave problema para la sociedad riobambeña, esto se ha agravado en las últimas décadas y en particular en los últimos años por el aumento del parque automotor en la ciudad, generando así consecuencias como el aumento en el tiempo de viaje, demora en la vía, impiden su productividad y desarrollo afectando la economía de esta ciudad.

Debido a la reconstrucción de la circunvalación de la ciudad de Riobamba, los redondeles e intersecciones semaforizadas en la circunvalación, presenta ciertos inconvenientes en cuanto a su diseño, originando largas colas vehiculares, aumentando el tiempo de viaje y provocando la inconformidad de los conductores. Además se debe mencionar la falta de señalización vertical y horizontal que existe en las aproximaciones de un redondel o semáforo, hace que estos inconvenientes sean más agravantes en cuanto a la circulación vehicular.

En la circunvalación estos dispositivos deben ser analizados y evaluados minuciosamente para trabajar con las condiciones bajo las cuales actuará. Por lo que para su correcto funcionamiento es necesario considerar varios parámetros técnicos de diseño como conocer, volúmenes de tránsito, características geométricas, entre otras.

La circunvalación de la ciudad de Riobamba, fue diseñada con la finalidad de ofrecer nuevas vías rápidas de cruce de la ciudad que eviten ingresar al centro de la urbe. Según MTOP (Ministerios de Transporte y Obras Públicas) por esta avenida de 22 KM, un aproximado de 22 mil vehículos, que según datos de Tráfico Promedio Diario Anual (TPDA) circulan por estas zonas de mayor congestión vehicular.

En la circunvalación existen 3 redondeles y 22 intersecciones semaforizadas cada uno de ellos con diferentes características. Los mismos que presentan mala sincronización de tiempos semafóricos y falta de espacio físico en redondeles, los cual genera inconvenientes en la fluidez vehicular, por lo tanto, los índices de servicio que prestan estos dispositivos son bajos para los volúmenes vehiculares que existen en la circunvalación.

1.4. Análisis Crítico.

La colocación de semáforos y redondeles son ubicados en forma empírica y sin ningún tipo de asistencia técnica.

La utilización de redondeles y semáforos es inevitable en los sectores donde se presenta mayor congestión vehicular y esto generalmente se da en intersecciones que se dirigen hacia otros destinos de la provincia.

Para proponer un análisis geométrico de una intersección sea esta un redondel o semáforo se debe conocer un estudio exhaustivo de la intersección para así obtener una solución óptima al problema de tránsito que se genera en una intersección.

1.5. Prognosis.

Los redondeles e intersecciones semaforizadas de la circunvalación de la ciudad de Riobamba presentan un mal nivel de servicio, debido al incremento del volumen de tráfico que se ha generado durante los últimos años; provocando demoras excesivas en los tiempos de viajes, accidentes de tránsito e inseguridad a los usuarios que transitan por esta vía.

1.6. Delimitación.

El proyecto de investigación se encuentra ubicado en la circunvalación de la ciudad de Riobamba, la misma que cuenta con 22 intersecciones semaforizadas y 3 redondeles que se analizaran y evaluaran para proponer mejoras en el nivel de servicio.

1.7. Formulación del problema.

¿Cómo afecta la disposición de los redondeles e intersecciones samaforizadas en la circulación vehicular de la circunvalación de la ciudad de Riobamba en el año 2016?

1.8. Objetivos.

1.8.1. Objetivo general.

• Analizar y evaluar la circulación vehicular que existe en redondeles e intersecciones semafóricas de la circunvalación de la ciudad de Riobamba.

1.8.2. Objetivos específicos.

- Determinar el Tráfico Promedio Diario Horario (TPDH) en cada redondel e intersecciones semaforizadas de la circunvalación.
- Estudiar las condiciones actuales de redondeles e intersecciones semaforizadas de la circunvalación de la ciudad de Riobamba.
- Proponer los ciclos óptimos de intersecciones semaforizadas para una mejor circulación vehicular.

CAPITULO II

2. FUNDAMENTO TEÓRICO.

ANTECEDENTES

Debido a la gran conglomeración de vehículos en intersecciones de la circunvalación de la ciudad de Riobamba, se implementó reguladores de tránsito (redondel y semáforo). Con lo que se previó una mejora en el tránsito de los vehículos evitando los problemas ocasionados por el congestionamiento en horas pico sin embargo se ha generado otros problemas por la mala sincronización semafórica y por una ineficiente geometría en redondeles.

La movilidad es un aspecto fundamental para el desarrollo de los conglomerados urbanos que conllevan a grandes complejidades y un sin número de problemas que afecta a los usuarios de esta avenida.

Para el gobierno autónomo del cantón Riobamba, la movilidad se ha constituido en un eje de mayor importancia puesto que es una situación incómoda para la ciudadanía, quienes exigen soluciones inmediatas

Por tal motivo esta solicitud ha sido asignada para tema de tesis para realizar el análisis y su respectiva evaluación de cada uno de los redondeles e intersecciones semaforizadas, cumpliendo las normas y especificaciones regidas por el INEN y HCM. Con el fin de dar una mejor movilidad a los vehículos que transitan por dichos puntos.

2.1. CAPACIDAD VIAL Y NIVELES DE SERVICIO

"Se define capacidad de una sección de carretera como el máximo número de vehículos que tiene una probabilidad razonable de atravesar dicha sección durante un determinado período de tiempo" (Luis Bañón Blázquez, José Beviá García, Manual de carreteras. Volumen 1. Capítulo 6, 2000, pág. 23).

Depende de las características de la vía (geometría y estado del pavimento), del tráfico y de los controles. Además, se deben tener en cuenta las regulaciones de la circulación existente, como limitaciones de velocidad o prohibiciones de adelantamiento, así como las condiciones

ambientales y meteorológicas.

"El intervalo de tiempo utilizado en la mayoría de los análisis de capacidad es de 15 minutos ya que se considera que el intervalo más corto durante el cual puede presentarse un flujo estable" (Transportation Research Board, HCM 2000). Cabe recalcar que la capacidad no se refiere al máximo volumen al que puede darse servicio durante una hora, entonces la capacidad de un sistema vial, es la tasa máxima horaria.

El nivel de servicio, conocidos LOS (por sus siglas en ingles Level Of Service), se define como una medida de la calidad que la vía ofrece al usuario, (Transportation Research Board, HCM 2000), define 6 niveles de servicio para un régimen continuo de circulación, es decir, sin detenciones producidas por intersecciones o semáforos, estos niveles están numerados de la A hasta la F en orden de creciente según su nivel de servicio. La ilustración 3 muestra el nivel de servicio en función de la velocidad y volumen.

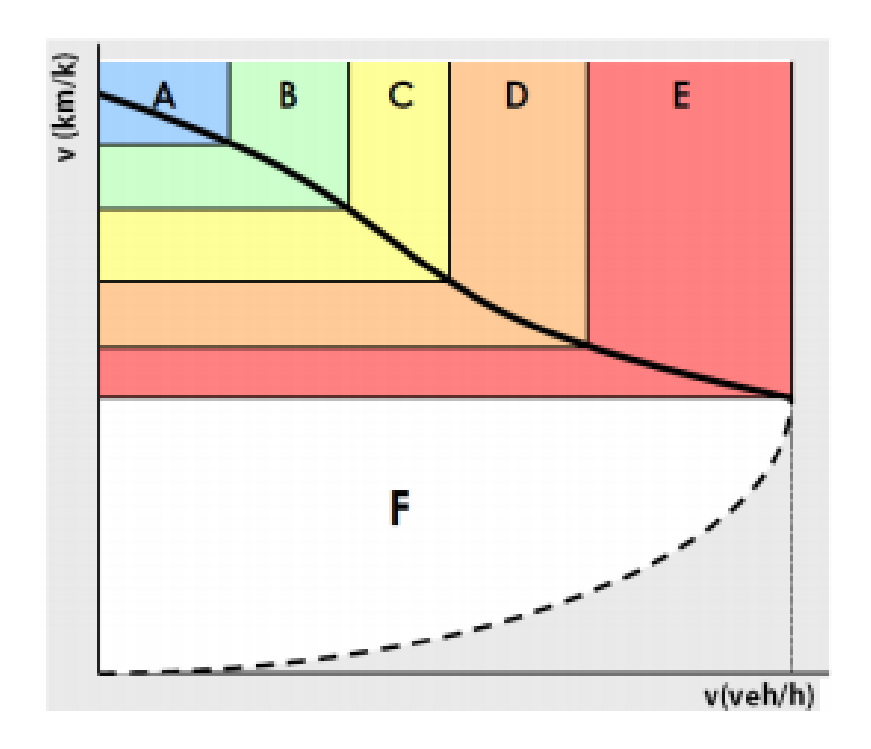


Ilustración 1: Representación de los niveles de servicio en el diagrama de volumen y velocidad.

Fuente: Luis Bañón Blázquez, José Beviá García. Manual de carreteras Volumen 1. Capítulo 7, 2000, pág. 6.

2.2. CALLES URBANAS

Son calles con alta densidad de puntos de acceso, estos son generalmente realizados con zonas de parqueo a lado de la carretera. Tiene mayor volumen vehicular y cuenta con la más alta densidad de señalización. El límite de velocidad es de 50 km/h.

En las calles céntricas se crean discontinuidad de flujo de tráfico por conflictos peatonales y obstrucciones por paradas de taxis, autobuses, pequeños camiones y estacionamientos de vehículos.

La ilustración 1 muestra el nivel de servicio en función de la velocidad y volumen.

2.2.1. Características de flujo

El HCM 2000, señala tres factores que intervienen en las velocidades de los vehículos en vías urbanas los cuales son:

- 1. El ambiente de la calle donde incluye las características geométricas de la calle, tipo de actividad en la carretera. Por el ambiente refleja el número y anchura de los carriles, tipo de medio, punto de acceso, existencia de estacionamientos, actividad peatonal, límite de velocidad.
- 2. Las intersecciones entre los vehículos está determinada por la densidad del tráfico, la cantidad de vehículos, buses y autos. Esto afecta en el flujo de los vehículos en intersecciones y entre señales.
- 3. Control de tráfico (incluida las señales y signos) obliga a una parte de todos los vehículos a reducir la velocidad o detenerse. Los retrasos y cambios de velocidad provocadas por los dispositivos de control de tráfico reducen las velocidades continuas del vehículo; sin embargo, estos controles son necesarios para establecer el derecho de paso (preferencias).

2.3. INTERSECCIONES

Según Juan Cueva (2012, pág. 24.) las intersecciones son básicamente el cruce de dos o más caminos, por lo que son puntos de conflictos entre los vehículos que cruzan. La capacidad de las intersecciones, controla la capacidad de las calles que se intersecan en estas, por esto es importante maximizar su seguridad y capacidad.

Las intersecciones según su forma pueden dividirse básicamente en:

• Intersecciones en T.

- Intersecciones en Y
- Intersecciones en Cruz.
- Escalonada.
- Multivías.

Además se las puede clasificar de la siguiente manera:

- Sin control.
- Con control de prioridad (Pare, Seda el paso).
- Redondeles.
- Controladas por semáforos.
- A desnivel.

2.3.1. Intersecciones de prioridad.

La mayoría de intersecciones en la ciudad de Riobamba son intersecciones de prioridad, estas son controladas por señales de pare en la calle secundaria, ofrecen ventaja de no retrasar al tráfico que viaja por la calle principal, sin embargo solo son aplicables a calles con pequeños flujos de tráfico, si el flujo en la calle principal crece de modo que crea congestión y demoras excesivas será necesario considerar la colocación de semáforos.

2.4. REDONDELES

Fueron introducidos por primera vez en Reino Unido en la década de 1920 y su funcionamiento consistía en que vehículos entrantes y circulantes tenían la misma prioridad.

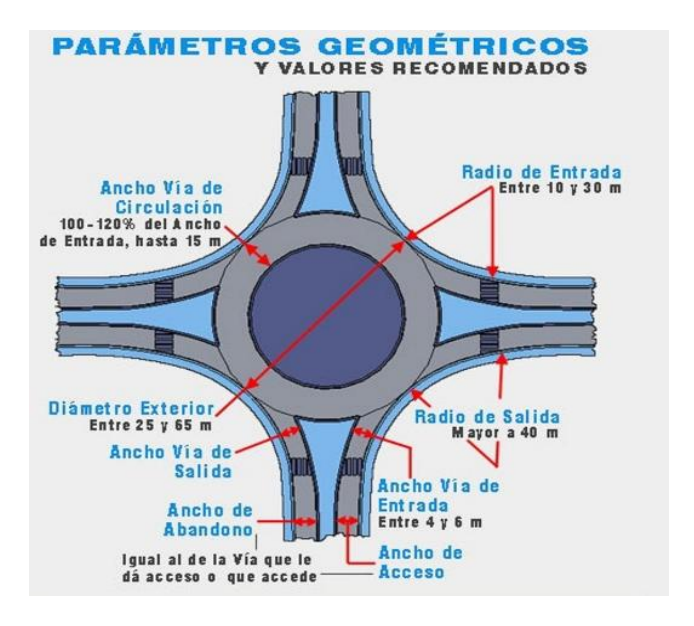


Ilustración 2: Características geométricas de un redondel

Website: http://www.cadbim3d.com/2015/12/anatomia-de-una-rotonda.html

En la década de 1960 por los mayores volúmenes de tráfico hubo problemas de bloqueo, se adopta el "cede el paso" obligatorio dando nacimiento a redondeles modernos, la capacidad ya no es gobernada por los enlaces internos.

Los redondeles son intersecciones canalizadas en las cuales los vehículos son guiados en un camino circulatorio de un sentido. Las entradas en estas intersecciones son de prioridad, controladas por señales de ceda el paso, dando prioridad a los vehículos que se encuentran en circulación en el redondel.

Los redondeles permiten un intercambio seguro de tráfico proveniente de diferentes flujos con una mínima demora, la eficiencia sin embargo depende de la habilidad de los conductores para aprovechar los espacios entre los vehículos que se encuentran circulando en el redondel.

El uso de redondeles se considera más efectivo cuando se tienen las siguientes características:

- Altos volúmenes de vehículos que giran a la izquierda.
- Cuando no es practico destacar a una calle como principal y a la otra como secundaria.
- Si se han presentado varios accidentes debido a las vueltas en la intersección
- Si se tiene una intersección de prioridad que resulta en demoras excesivas para la calle de menor tráfico.
- Si es que un redondel resulta en demoras menores que los semáforos
- Si es que hay cambios significativos en el número de carriles de las calles que se intersecan.

Al contrario, el uso de redondeles se considera inadecuado en sitios con las siguientes características:

- Donde no exista suficiente espacio o la topografía no permita la implantación de un redondel.
- Donde los flujos de tráfico sean muy desproporcionados y no se desee causar demoras innecesarias.
- Donde existan volúmenes considerables de peatones y de ciclistas, ya que los redondeles no son apropiados para estos usuarios y se les debería dar prioridad.

- Donde se sepa con anticipación que los carriles puedan ser invertidos durante horas pico.
- Si la intersección de interés se encuentra entre intersecciones con semáforos que pueden crear colas hacia el redondel.

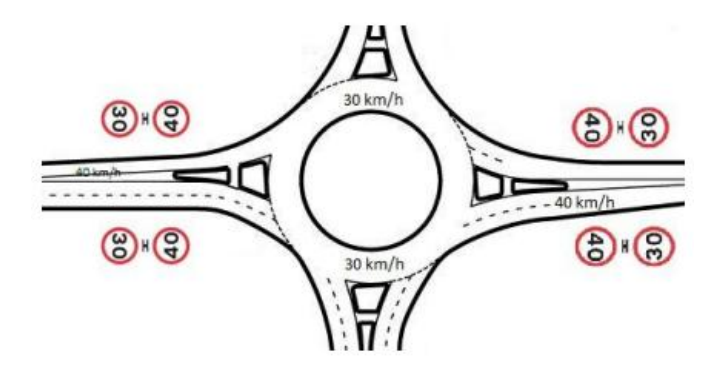


Ilustración 3: Colocar señalización adecuada de los límites de velocidad que deben circular los conductores en un redondel Fuente: Gráfico (Tesis Juan Cueva, 2012, pág.28).

2.4.1. Tipos de redondeles

En Inglaterra se usan tres tipos de redondeles que son el normal, mini y redondel doble. En nuestro medio se utilizan los redondeles normales que se consideran con un diámetro mínimo de 4m. Se debe tener en la mente de que los redondeles son concebidos como intersecciones de autocontrol, por lo que cualquier medida que se tome para mejorar sus condiciones de operación debe ser escogida tomando este concepto en cuenta.

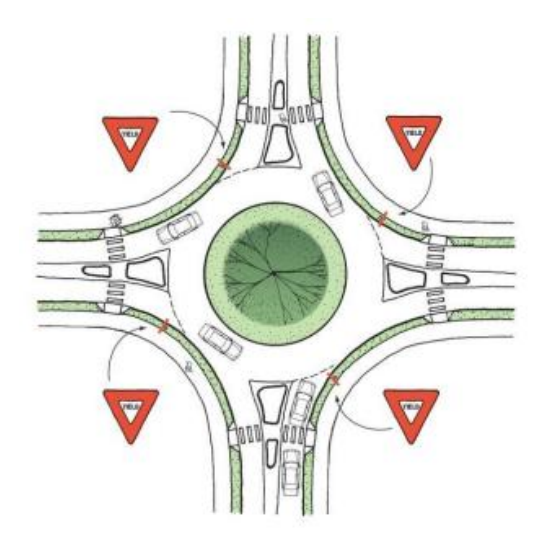


Ilustración 4: Señalización típica en una intersección con redondel.

Fuente: Gráfico (Tesis Juan Cueva, 2012, pág.29).

2.4.2. Movimiento en redondeles.

La circulación de un vehículo dentro de un redondel, genera puntos de conflicto, con otros

vehículos así como con peatones y ciclistas los cuales son:

• Puntos de conflicto que se generan con los peatones por lo que se debe señalar

apropiadamente el cruce peatonal y concientizar a los conductores sobre la

preferencia de los peatones.

• Puntos de conflicto que generan los ciclistas con los peatones y con los vehículos, se

considera que los ciclistas deberían circular las mismas restricciones que los vehículos

Dentro de un redondel, según el destino se deberá seguir un determinado carril, estos

movimientos podrían ser controlados de modo que no se produzcan conflictos dentro de la

intersección.

2.4.3. Análisis de redondeles.

2.4.3.1. Capacidad

La capacidad de aproximación a un redondel puede ser calculada con la siguiente ecuación:

Ecuación 1: Método Británico (TRRL) empírico.

$$Q_e = k \left(F - F_{c*} Q_c \right)$$

Donde:

 Q_e = Capacidad de entrada, vehículos / hora.

 Q_c = Flujo circulante en conflicto, vehículos / hora.

 F_c , F, k = Constantes que dependen de la geometría de cada rotonda (redondel).

Fórmulas para el cálculo de las constantes F_c , F, k.

Ecuación 2: Constante k.

$$k = 1 - 0.00347 \ \phi - 30 \ - 0.978 \ \frac{l}{r} \ - 0.05$$

Donde:

 Φ = Ángulo de entrada

r= Radio de entrada.

• Cálculo de medida de agudeza de ensanchamiento S.

Ecuación 3: Agudeza de ensanchamiento S.

$$S = 1.6 * \frac{(e - v)}{l}$$

Donde:

e= Ancho de entrada.

v= Ancho medio en aproximación.

• Cálculo de la constante X_{2} .

Ecuación 4: Constante X₂.

$$X_2 = v + \frac{e - v}{1 + 2S}$$

Donde:

e= Ancho de entrada.

v= Ancho medio en aproximación.

S= Medida de agudeza del ensanchamiento.

• Cálculo de la constante F.

Ecuación 5: Constante F.

$$F = 303X_2$$

• Cálculo de la constante M.

Ecuación 6: Constante M.

$$M = \exp(\frac{D - 60}{10})$$

Donde:

D= Diámetro del redondel en metros.

• Cálculo de la constante t_D .

Ecuación 7: Constante t_{D.}

$$t_D = 1 + \frac{0.5}{1 + M}$$

• Cálculo de la constante Fc.

Ecuación 8: Constante Fc.

$$F_c = 0.210 \ t_D (1 + 0.2X_2)$$

2.4.3.2. Intervalo crítico y tiempo continuo

"Los estudios en países desarrollados indican un rango de los valores de rango crítico y el tiempo continuo para el análisis, con estimación razonable de la capacidad de un redondel" (Luis Fernando Díaz Vargas, 2009, pág. 32.), en la tabla 1, se observa los rangos recomendados.

Tabla 1: Intervalos críticos y tiempos continuos.

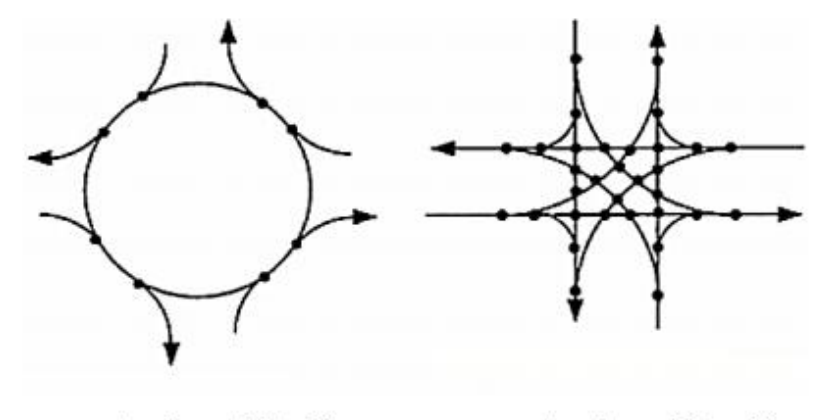
Geometría de un redondel	Intervalo crítico (s)	Tiempo continuo (s)
Gran diámetro	4.1	2.6
Pequeño diámetro	4.6	3.1

Fuente: Luis Fernando Díaz Vargas, 2009, pág. 32.

2.4.3.3. Flujos conflictivos

Los flujos de conflicto son calculados para evaluar el volumen en un periodo de 15 minutos de los vehículos que pasan frente a los vehículos que entran. Para el caso de redondeles, es necesario convertir los movimientos de giro de la intersección en flujo circular que está dentro del redondel.

Los redondeles pueden ser usados con frecuencia para facilitar los movimientos en "U" en la ilustración 5, se puede observar los puntos conflictivos entre un redondel y una intersección sin semáforo.



puntos de conflicto: 8

puntos de conflicto: 32

Ilustración 5: Puntos de conflicto en un redondel y una intersección no semaforizada.

Fuente: Luis Fernando Díaz Vargas, 2009, pág. 23.

2.4.3.5. Demoras en redondeles.

Según el HCM 2000 las demoras pueden ser calculadas con la siguiente fórmula:

Ecuación 9: Demoras en redondeles

$$D = \frac{3600}{C} + 900T * \frac{V}{C} - 1 + \frac{V}{C} - 1^{2} + \frac{3600}{C} \frac{V}{C}$$

$$450T$$

Fuente: HCM 2000.

Donde:

D: demora promedio en seg/veh

T: período de modelación (0.25 para 15 minutos).

V: volumen de entrada (brazo de aproximación).

C: capacidad de entrada (brazo de aproximación).

2.5. VOLUMEN DEL TRÁNSITO.

2.5.1. Estudios que se realizan para el cálculo del TPDA.

Para realizar un estudio del volumen de tránsito es necesario tomar en cuenta los factores vehiculares y humanos. Según Transportation Research Board, HCM 2000 indica que existen tres componentes que afectan a conducción: el vehículo, la carretera y el conductor. A continuación se presenta las características de flujo de tráfico.

- Características del motor del vehículo.
- Características del conductor.
- Características de los peatones.
- Características de los ciclistas.
- Características de buses.

2.5.2. Volumen y tasa de flujo.

El volumen y la tasa de flujo son dos medidas que cuantifican la cantidad de tráfico que pasa a un punto en una pista o carretera durante un intervalo de tiempo dado.

Estos términos tienen la siguiente definición:

Volumen.- es el número total de vehículos que pasan por encima de un punto "**p**" sección de un carril o calzada durante un intervalo de tiempo dado; los volúmenes se pueden expresar en términos de periodos anuales, todos los días, cada hora o en una sección de hora.

Taza de flujo.- es el número de vehículos que pasa por un punto o sección de una calle o carretera durante un determinado un intervalo de tiempo que sea inferior a una hora, por lo general 15 minutos, que se expresa como una taza como hora equivalente.

2.5.3. Demanda y volumen.

"La demanda a largo plazo se refiere a los vehículos que llegan, mientras que el término de volumen se refiere a los vehículos que salen o descarga de vehículos. La demanda vehicular varia durante los meses del año, las semanas, las horas del día e intervalos de congestión en una hora" (Transportation Research Board, HCM 2000).

El flujo vehicular no es constante por más de una hora cuando se tiene el máximo volumen vehicular, por ello el libro HCM 2000, realiza los cálculos basándose en un periodo de tiempo de 15 minutos.

Volumen de tránsito promedio diario TPD según (Cal y Mayor R, James Cárdenas, 2007, pág. 68.) se define como el número de vehículos que circulan por un punto o sección de una vía en un período de tiempo determinado, dividido por el número de días del período. Dicho período debe ser superior a un día en inferior a un año. Este estudio se realiza con el fin de verificar la calidad del servicio que se presta al usuario.

Según Cal y Mayor R, James Cárdenas (2007, pág. 69.) el tiempo de duración se tiene los siguientes volúmenes absolutos:

Tránsito anual (TA)

Cantidad de vehículos que pasan en un año.

Tránsito mensual (TM)

Cantidad de vehículos que pasan en un mes.

Tránsito semanal (TS)

Cantidad de vehículos que pasan en una semana.

Tránsito diario (TD)

Cantidad de vehículos que pasan en una semana.

Tránsito Horario (TH)

Cantidad de vehículos que pasan en una hora.

De acuerdo al número de días del período, se presentan los siguientes volúmenes de tránsito:

• Tránsito promedio diario anual (TPDA)

Ecuación 10: TPDA.

$$TPDA = \frac{TA}{360}$$

• Tránsito promedio diario mensual (TPDM)

Ecuación 11: TPDM.

$$TPDA = \frac{TM}{12}$$

Tránsito promedio diario semanal (TPDS)

Ecuación 12: TPDS.

$$TPDA = \frac{TS}{7}$$

Los volúmenes de tránsito deben ser considerados como dinámicos donde es fundamental conocer las variaciones periódicas de los volúmenes de tránsito dentro de las horas de demanda, en las horas del día, en los días de la semana y meses del año. Las variaciones por lo general son rítmicas y repetitivas. Si conocemos sus características podemos relacionar los volúmenes de un tiempo y lugar con otros de otro tiempo y lugar.

2.6. INTERSECCIÓN CON SEMÁFOROS

La semaforización como parte de la rama de ingeniería civil trata sobre la planificación, diseño y operación en tráfico en vías, carreteras y autopistas consiguiendo una movilidad segura, eficiente y conveniente tanto de personas como de bienes. Es importante mencionar que estos dispositivos fueron diseñados para el control y regulación del tráfico, haciendo así más segura la vía o intersecciones para los usuarios.

Pero para que un sistema semafórico cumpla con su función debe llevarse a cabo una investigación profunda de ingeniería de tránsito, como lo mencionan las normas INEN. Según las normas (INEN, 2012, pág. 8) una intersección semaforizada debe cumplir con los siguientes aspectos:

- Promover un movimiento ordenado y seguro de tránsito.
- Optimizar los flujos vehiculares en una intersección, cuando se usan las medidas de control y diseño apropiadas.
- Reducir la frecuencia de ciertos tipos de accidentes, especialmente aquellos de ángulo recto.
- Promover un movimiento continuo o progresivo del tránsito a una velocidad definida a lo largo de una ruta.
- Interrumpir volúmenes vehiculares de tránsito a intervalos pertinentes para permitir que el otro tránsito vehicular o peatonal pueda cruzar la intersección.
- Proporcionar seguridad vial y peatonal.

Para la instalación y estudio de semáforos en una intersección, se debe tener en cuenta varios factores, estos deberán incluir un análisis de los factores relacionados con la operación y seguridad existentes en el lugar de estudio y el potencial de mejorar las condiciones entre estos factores tenemos, los volúmenes de tránsito que entran en la intersección, volúmenes clasificados por giros (giro a la derecha, giro a la izquierda y recto), volúmenes peatonales, límites de velocidad, accesos a vías principales, volúmenes peatonales, cruces peatonales escolares, conservación de progresión, frecuencia de accidentes, y diagrama físico de la intersección donde indique toda las características geométricas de la misma.

El sistema convencional de control de tráfico con tiempos fijos es uno de los más populares y viejos sistemas en el mundo. El controlador de este tipo de semáforos repiten tiempos de fases preestablecidos derivados de análisis de patrones de tránsito históricos.

Con el desarrollo de la tecnología, se han desarrollado métodos de programación de semáforos para ajustar los tiempos de señal para diferentes fases conforme a los datos de tránsito en tiempo real.

Según el Manual de capacidad para las carreteras HCM (Transportation Research Board, 2005); el mejoramiento de las señales de tránsito pueden incrementar la capacidad de una intersección. Dicho mejoramiento se puede alcanzar por medio de cambios en las fases de los semáforos y un control de tránsito coordenado

2.6.1. Metodología.

La metodología que propone HCM 2000 se presenta en la ilustración 8, en el análisis se debe tomar en cuenta una amplia variedad de condiciones que prevalecen, incluida la cantidad y distribución de movimientos de tráfico, la composición del tráfico, características geométricas, y los detalles de la intersección.

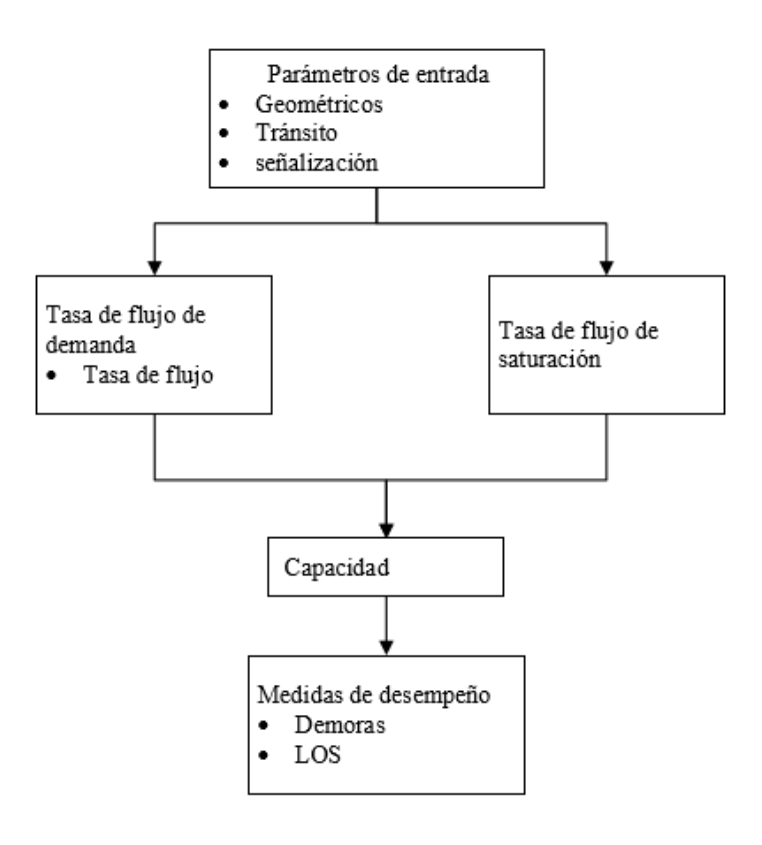


Ilustración 6: Metodología de análisis de intersecciones semafóricas

Fuente: Transportation Research Board, HCM 2000. Highway Capacity Manual. Washington: National Research Council.

Para el entendimiento de la metodología a utilizarse en la sincronización de los diseños semafóricos de las intersecciones en estudio de este proyecto es necesario conocer el significado de los términos utilizados en la misma:

2.6.2. Términos básicos

- **Sistema semafórico.** es el "conjunto de dispositivos de señalización luminosa interconectados y comunicados entre sus elementos y componentes, que sirven para regular el tránsito en forma segura en una red vial" (INEN, 2012, pág. 7).
- Rojo intermitente.- los conductores deben de detenerse obligatoriamente y proseguir con precaución a través de la intersección solamente si no hay peligro de colisión con otro vehículo o atropello a peatón.
- Ciclo semafórico.- es el tiempo necesario para que se complete una sucesión de indicaciones en los semáforos.
- Fase semafórica.- es la parte del ciclo que asignan el derecho de paso a un movimiento o un conjunto de movimientos específicos siempre y cuando estos no sean conflictivos.
- Intervalos semafóricos.- son los tiempos sucesivos de las luces de un semáforo.

- **Intervalos semafórico de despeje.-** es el tiempo de determinación de un movimiento en aproximación, comprende el tiempo amarillo más el todo el tiempo rojo.
- **Aproximación.-** es el conjunto de carriles de una intersección que a los que arriban los vehículos para los respectivos movimientos.
- Grado de aproximación.- es el grado de una intersección expresado en porcentaje, con valores positivos cuando es ascendente y valores negativos cunado son descendentes.
- **Giro protegido.** es el que tiene el derecho de paso y no debe ceder el paso a otros movimientos conflictivos como vehículos o peatones.
- **Giro permitido.** debe ceder el paso al tráfico opuesto o movimientos peatonales conflictivos.
- **Demanda.** es el número de usuarios que pasan por la vía durante un determinado tiempo, estos pueden ser vehículos o cualquier tipo, bicicletas o peatones es expresada en vehículos sobre hora.
- **Flujo de saturación.-** es la tasa de flujo de cada hora a la cual pueden atravesar los vehículos haciendo cola bajo condiciones prevalecientes y asumiendo que la señal de verde está disponible y no existen pérdidas. (National Academy of Sciences, 2000, pág. 61).
- Tasa de flujo.- "es el número promedio de vehículos que pasan por un punto dado durante un intervalo de tiempo menor que 1 hora, usualmente son 15 minutos. Expresado en vehículos por hora o vehículos por segundo, es importante resaltar que la tasa de flujo no es efectivamente el número de vehículos que pasan durante una hora completa". (National Academy of Sciences, 2000, pág. 87).

Tasa de flujo
$$q = \frac{N \text{úmero de vehículos }(N)}{Tiempo \ específico \ (15 \ min)(T)}$$

• Flujo hora pico (PHF).- estos valores se pueden calcular el factor hora pico, esta es la relación el volumen total por hora y la tasa de flujo máximo calculada por hora.

$$PHF = \frac{Volumen\ por\ hora\ (Q)}{Tasa\ de\ flujo\ (hora\ pico)(q)}$$

El HCM 2000 afirma que una vez conocido el PHF se puede a este convertir en volumen hora pico con la siguiente ecuación.

Tasa de flujo q (para 15 min pico) =
$$\frac{Volumen por hora pico}{PHF}$$

• **Velocidad media espacial.-** es la media aritmética de las velocidades de punto de todos los vehículos que en un instante dado se encuentran en un tramo de la vía.

$$Ve = \frac{Distancia(d)}{Tiempo promedio de recorrido(t)}$$

• **Densidad.**- es el número de vehículos que ocupa cierta longitud de una carretera se la mide en vehículo por kilómetro.

Es importante señalar que la densidad es más utilizada cuando el flujo vehicular es de tipo continuo o no interrumpido.

$$Densidad = \frac{Tasa \ de \ flujo}{Promedio \ de \ velocidades \ de \ viaje}$$

- Capacidad vial.- "el máximo de la tasa de flujo donde los vehículos o personas pueden pasar por un punto o un segmento de carril durante un específico período de tiempo y bajo condiciones preestablecidas, expresada en veh/h". (National Academy of Sciences, 2000, pág. 59).
- Headway.- es el intervalo de tiempo transcurrido entre el paso de puntos homólogos de vehículos consecutivos, por lo general se mide en segundos (Fernández, 2008, pág. 25).

2.6.3. Flujo vehicular.

El análisis del flujo vehicular describe la manera en como circulan los vehículos en un tramo de cualquier tipo de vía y esto a su vez permite determinar el nivel de eficiencia de la operación de la misma. (Cal y Mayor R, 2012, pág. 232).

2.6.3.1. Tipos de flujos de tránsito.

Según el HCM 2002 existen dos tipos de operación de flujo vehicular el continuo y el discontinuo (pág. 85).

El flujo vehicular continuo es aquel que no presenta paradas obligadas en la vía, como por ejemplo semáforos, redondeles o señales de alto y la única interrupción para la circulación es el tráfico alterno de la vía, es decir la circulación vehicular.

El flujo vehicular discontinuo en cambio es aquel que presenta interrupciones que obligan a los vehículos a detenerse o a reducir significativamente la velocidad independientemente de los volúmenes de tránsito que existan, como se había mencionado anteriormente semáforos, ceda el paso, señales de pare, entre otros. Es importante que el estudio del tipo de flujo

vehicular, en una intersección ya que la capacidad es limitada no solo por el espacio físico de una intersección sino también por el tiempo disponible de movimiento.

2.6.4. Relación de espacio y tiempo entre vehículos

Según el HCM 2000, "Espaciamiento es la distancia entre vehículos sucesivos en un tráfico extremo, medida desde el mismo punto en cada vehículo", es decir ésta es una distancia y es medida en metros.

Intervalo es el lapso de tiempo entre el paso de los vehículos sucesivos, generalmente expresado en segundos, medido desde el mismo punto en cada vehículo. Según (Cal y Mayor R 2012, pág. 5), para el cálculo del intervalo promedio se puede utilizar la siguiente ecuación.

Ecuación 13: Intervalo promedio.

$$Intervalo\ promedio = \frac{1}{tasa\ de\ flujo\ (q)}$$

2.6.5. Relación entre velocidad, flujo y densidad.

Cualquier flujo de corriente de tránsito puede definirse en término de sus tres variables principales: la tasa de flujo (q), la velocidad (V) y la densidad (K), a estos se los conoce como los principios básicos del flujo de tránsito. "Esta relación se basa en una ecuación fundamental determinada a partir de la ecuación del espacio, y la del intervalo promedio". (Cal y Mayor R, 2012, pág. 321).

Ecuación 14: Flujo.

Flujo
$$q = velocidad V * densidad(K)$$

Según el HCM 2000, para el análisis de una intersección se toma en cuenta a los vehículos que abandonan la intersección, el flujo máximo es el límite de la capacidad de la vía, cuando la demanda excede la capacidad y la cola es creciente es aconsejable el estudio de la vía unos kilómetros antes de la misma (pág. 90).

2.6.6. Modo de operación de las intersecciones semafóricas.

Para los modos de operación de las intersecciones semafóricas se definirá tres tiempos los tiempos fijos, semi-actuados y actuados. (Federal Highway Administrator, 2009, pág. 489). Los tiempos fijos son aquellos que no varían y sus secuencias siempre es la misma, es decir no se toma en cuenta a ningún controlador produciendo un ciclo constante, en cuanto a los tiempos semi-actuados permite la inclusión o exclusión de uno o más movimientos dentro de

la secuencia, estos deben ser estados de tiempo fijo y por último los tiempos actuados son aquellos cuyos tiempos varían dependiendo del volumen de tráfico existente, este trabaja con sensores instalados, es decir la sincronización semafórica de todas las aproximaciones de una intersección, será influenciada por los sensores.

2.6.7. Puntos de conflicto en una intersección semaforizada.

Los puntos de conflicto en una intersección semaforizada se describe en la ilustración 7, en este se puede observar los puntos de conflicto que se produce debido a las divergencias, convergencia y puntos de cruce que experimentan los vehículos dentro de una intersección.

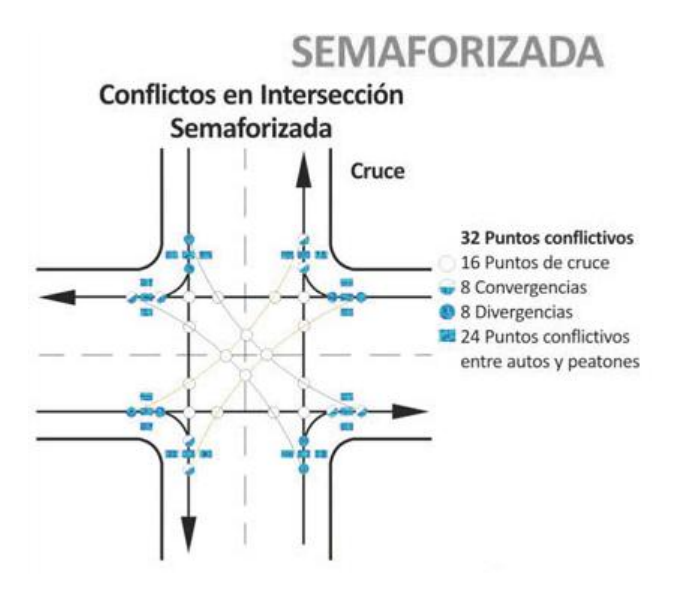


Ilustración 7: Puntos de conflicto en una intersección semaforizada.

Webside: www.merida.gob.mx/transporte/glorietas.htm

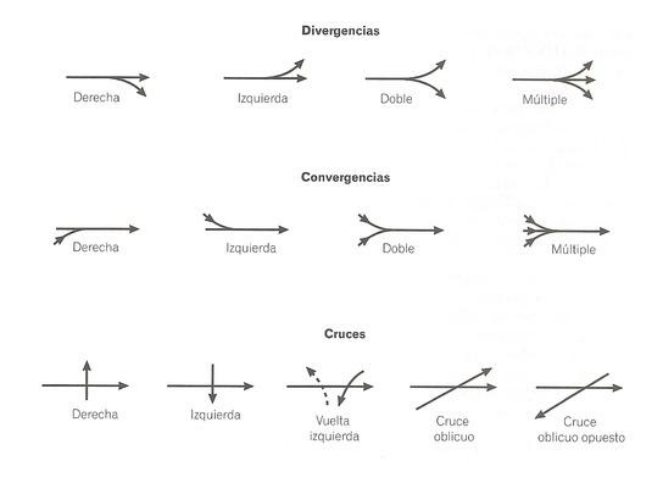


Ilustración 8: Divergencias y convergencias.

Fuente: RR STUDIO ARQUITECTURA Y DISEÑO, 2013. Obtenido de http://rrstudio.tumblr.com/post/4868450223/conceptos-b%C3%A1sicos-devialidad

Todas las intersecciones semaforizadas requieren cambios o mejoras, ya que a medida que pasa el tiempo las condiciones de la intersección cambia, por ejemplo los flujos vehiculares pueden aumentar, es por esto que se debe realizar cambios en la sincronizaciones semafóricas estos deben coincidir con las condiciones actuales de la intersección, para la sincronización semafórica se requiere conocer aspectos como la geometría de la intersección que sería un dato inalterable, y la composición del tránsito que sería un dato variable.

2.6.8. Principales características de flujo dentro de una intersección semaforizada.

Es necesario comprender que el verde efectivo no es lo mismo que el tiempo de verde, al igual que el rojo efectivo, la diferencia radica en la duración de sus tiempos, verde efectivo es el tiempo en el cual un grupo de carriles pueden proceder, rojo efectivo es el tiempo en el cual los vehículos de un grupo de carriles están direccionados a estar parados. El tiempo de rojo y verde constituye al período de tiempo asignado en el ciclo semafórico para cada uno.

Ecuación 15: Verde efectivo

$$g_i = G_i + e - L_1$$

Según el HCM 2000 se experimentan dos tiempos perdidos, tanto al inicio como al final de cada movimiento, al inicio l_1 se los conoce como start-up (puesta en marcha), como su nombre lo indica éste describe el tiempo que se pierde mientras los vehículos arrancan; para el tiempo perdido final se consideran dos tiempos de extensión del verde efectivo (e) y el tiempo de desalojo (L_2) . La sumatoria de l_1 y l_2 resulta el tiempo perdido por movimiento (t_1) , para condiciones normales se asuma que l_1 y l_2 e es de 2 segundos. Entonces resultaría la siguiente ecuación:

Ecuación 16.: Amarillo

$$Y_i = L_2 + e$$

Ecuación 17: Tiempo perdido.

$$t_L = L_2 + l_1$$

De la fusión de estas ecuaciones resulta la siguiente ecuación:

Ecuación 18: Tiempo perdido.

$$t_L = Y_1 + l_1 - e$$

Fuente: National Academy of Science, 2000, pág. 161.

2.6.9. Tipos de movimientos.

"Existe tres acciones que las fases semafóricas pueden proveer para el derecho de paso estas pueden admitir movimientos protegidos, permitidos e impedir movimientos de giro". (National Academy of Science, 2000, pág. 163).

Protegido se refiere a tener el derecho de paso absoluto sin la necesidad de ceder el paso a otros movimientos conflictivos. El HCM 2000 sostiene que "un movimiento protegido es aquel que se hace sin conflicto, ya sea peatonal, de flujo de bicicletas o flujo vehicular".

Permitido es aquel que admite el paso a más de un movimiento vehicular, es decir es necesario cruzar con precaución la intersección, y si es necesario ceder el paso al tráfico opuesto o movimiento peatonales conflictivos.

Según el HCM 2000, "los giros permitidos es aquel que se hace, pero presenta conflicto ya sea peatonal, de flujo de bicicletas, o de flujo vehicular opuesto".

2.6.10. Parte una fase semafórica según el Instituto Ecuatoriano de Normalización INEN.

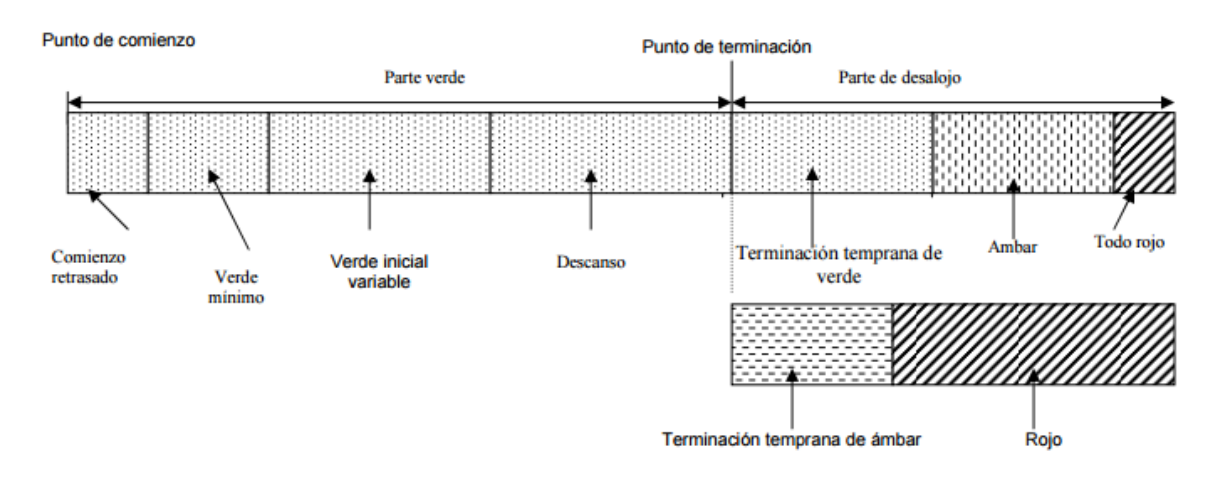


Ilustración 9: Partes de una fase semafórica.

Fuente: Instituto Ecuatoriano de Normalización, INEN, 2012, pág. 90.

Según el INEN 2012 parte 5, las partes de una fase semafórica son las que se observan con mayor detenimiento en la ilustración 11, estas presentan ciertas modificaciones en comparación con lo antes mencionado del HCM 2000, pero estas variaciones no perjudican en ningún sentido el análisis de la sincronización semafórica.

El periodo de arranque o comienzo de retraso como el tiempo que se le va a mantener en rojo a un grupo de señal (semáforo) al comienzo de la fase con el fin de evitar puntos de gran conflicto. El verde mínimo es el tiempo utilizado para asegurarse que el tiempo de verde es seguro. El tiempo de verde inicial variable y el periodo de descanso es solo utilizado cuando hay detectores vehiculares y es el tiempo que se le da a los vehículos para que comiencen a moverse sobre estos y el período de longitud variable. El desalojo de los vehículos consta de terminación temprana de verde, que permite la terminación progresiva de la fase, amarillo y todo rojo que es el período de desalojo seguro de los vehículos antes de empezar con otra fase.

2.6.11. Flujo de saturación.

Es el parámetro básico usado para obtener la capacidad de la vía, estos esencialmente se determina sobre la base de los mínimos avances que un grupo de carriles puede sostener a través de una línea de pare con los vehículos que salen de la intersección; el flujo de saturación será analizado por cada grupo de carril de cada intersección.

2.6.12. Tratamientos de giros izquierdos.

El HCM 2000 provee una metodología para lograr estimar si el giro izquierdo puede ser protegido o solo permitido.

Según la HCM 2000 para la determinación de giros izquierdos protegidos se debe seguir las siguientes recomendaciones:

- El giro izquierdo protegido se dé si hay más de un carril de aproximación, es decir si hay un carril exclusivo de giro a la izquierda.
- Se puede otorgar el giro izquierdo protegido si hay más de 240 veh/h girando a la izquierda.
- Si el producto del cruce del giro o también conocido como demanda de viraje a la izquierda y el volumen de la línea principal opuesta o flujo opuesto por hora excede el mínimo de los valores de la siguiente tabla. El volumen de la línea principal opuesta es la sumatoria de los vehículos opuestos, pasos rectos y giros a la derecha.

Tabla 2: Valores mínimos de productos de cruce recomendado.

Número de carriles directos	Mínimo producto de cruce (cross-
	product)
1	50000
2	90000
3	110000

Fuente: National Academy Of Sciences, 2000, pág. 185.

 Comparar la demanda de giros izquierdos con el promedio del número que puede pasar de improvisto durante el tiempo de amarillo y recomienda que dé si los flujos opuestos no son tan altos, y que el factor equivalente de giros a la izquierda exceda 3.5.

2.6.13. Cálculos de tiempo.

Para el cálculo de tiempos se ha investigado que debemos seguir varios pasos, tomando en cuenta todos los aspectos que se han mencionado en este documento y estos son los siguientes:

- Determinar el plan de fases.
- Establecer grupos de carriles.
- Calcular flujos de saturación.
- Escoger volúmenes críticos.
- Determinar tiempo de ámbar, entre verde y tiempo perdido total.
- Calcular los tiempos del ciclo.
- Calcular tiempos de verde.

2.6.13.1. Determinar el plan de fases.

Este dependerá del número de aproximaciones y giros izquierdos que se realicen en la intersección, es aconsejable utilizar el mínimo de fases posibles, logrando con esto mejorar el tiempo del ciclo semafórico y con esto mejorar los tiempos de viaje del conductor y mejorar los niveles de servicio de la vía. Para la determinación de plan de fases se debe tener en cuenta el estudio realizado para la determinación de giros izquierdos protegidos.

Además debemos tomar muy en cuenta la prohibición de giros izquierdos, ya que es el mayor número de problemas que genera dentro de la intersección.

En la ilustración 10, presentamos un posible diseño de fases que pueden ser utilizadas, estas se las debe seleccionar según la condición de la intersección.

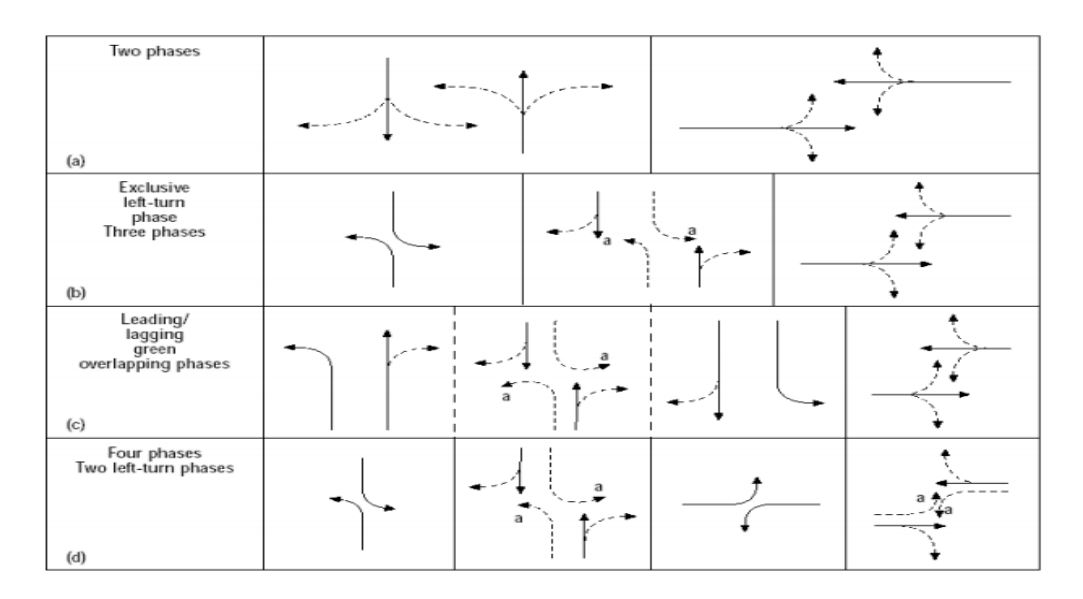


Ilustración 10: Plan de fases.

Fuente: National academy Of Sciences, 2000, pág. 444.

2.6.13.2. Determinación del grupo de carriles.

Una nueva metodología desagregada, considera aproximaciones individuales y grupos individuales de carriles en las aproximaciones, este es un proceso simple que considera la geometría y la distribución de los movimientos, este menor número de grupo de carriles describe la operación de la intersección.

Para los movimientos exclusivos se debe asignar en un solo grupo de carril, como por ejemplo estos son giros exclusivos a la izquierda o derecha y los carriles con igual grado de utilización.

Número de carriles	Movim	ientos		ilidad de grupos de carriles
1	GI + D + GD	\rightarrow	1	\rightarrow
-	GI exc			{
2	D + GD		2	{
-	GI + D		1	{ → OR
2	D + GD		2	{
	GI exc		2	\
3	D			OR ,
	D + GD		3	
GI = GIRO IZQUIER D= DIRECTO (A TI				
GD = GIRO DEREC	СНО			

Ilustración 11: Grupo de carriles.

Fuente: Manual on Uniform Traffic Control Devices.

2.6.13.3. Cálculo del flujo de saturación.

Según el HCM expone un método que parte de la ecuación:

Ecuación 19: Flujo de saturación.

$$S = S_o N f_w f_{HV} f_g f_p f_{bb} f_a f_{LU} f_{LT} f_{RT} f_{Lpb} f_{Rpb}$$

Donde:

S: velocidad de flujo de saturación para un grupo de carril sujeto, expresada como un total para todos los carriles en el grupo de carril.

 S_o : Velocidad de flujo de saturación de bases por carril.

N: Número de carriles en grupo de carriles.

 f_w : Factor de ajuste para el ancho.

 f_{HV} : Factor de ajuste para vehículos pesados en el flujo de tráfico.

 f_g : Factor de ajuste para el grado de enfoque.

 f_p : Factor de ajuste para la asistencia de un carril de estacionamiento y aparcamiento y la actividad de aparcamiento.

 f_{bb} : Factor de ajuste para bloquear el efecto de los autobuses locales que paran en el ares de intersección.

 f_a : Factor de ajuste de tipo de área.

 f_{LU} : Factor de ajuste para la utilización del carril.

 f_{LT} : Factor de ajuste para giros a la izquierda en grupo de carriles.

 f_{RT} : Factor de ajuste para giros a la derecha en el grupo de carriles.

 f_{Lpb} : Factor de ajuste de peatones para los movimientos de giro a la izquierda.

 f_{Rpb} : Factor de ajuste de peatones para movimientos de giro a la derecha.

2.5.13.3.1. Ajuste por ancho de carril (f_w) .

Carril mínimo 2.4m y mayor a 4.8m determinar el uso.

Ecuación 20: Ajuste por ancho de carril.

$$f_w = 1 + \frac{(W - 3.6)}{9}$$

Donde:

W: ancho del carril en metros.

2.6.13.3.2. Ajuste por vehículos pesados (f_{HV}).

Ecuación 21: Ajuste por vehículos pesados.

$$f_{Hv} = \frac{100}{100 + \%HV(E_T - 1)}$$

Donde:

%HV: % vehículos pesados

 E_T : Factor de equivalencia es igual a 2.

2.6.13.3.3. Ajuste por gradiente (f_g)

Ecuación 22: Ajuste por gradiente.

$$f_g = 1 - \frac{\%G}{200}$$

Donde:

%G: % de gradiente (-6%≤G≤10%)

2.6.13.3.4. Ajuste por parqueo (f_p) .

Tomar en cuenta 75 metros antes de la línea de pare.

Ecuación 23: Ajuste por parqueo.

$$f_p = \frac{N - 0.1 - \frac{18N_m}{3600}}{N}$$

Donde:

N: Número de carriles en el grupo.

 N_m : Número de maniobras de parqueo en la hora (8-16 doble vía, 16-32 una vía).

 f_p : debe ser \geq a 0.05.

 f_p = 1 cuando hay prohibición de parqueo.

2.6.13.3.5. Ajuste por bloqueo de buses (f_{bb}) .

75 metros antes o después de la línea pare.

Ecuación 24: Ajuste por bloqueo de buses.

$$f_{bb} = N - \frac{14.4 \frac{N_B}{3600}}{N}$$

Donde:

N: Número de carriles en el grupo.

 N_B : Número de buses que paran en la hora.

 $f_{bb} \ge 0.05 \text{ y } N_B < 250.$

2.6.13.3.6. Ajuste por tipo de área (f_a) .

 $f_a = 0.90$ zonas centrales

 $f_a = 1$ resto de zonas

2.6.13.3.7. Ajuste para la utilización del carril (f_{LU})

Tabla 3: Tipos de movimientos.

Movimientos	N	% vg1	Flu
Directos o compartidos	1	100	1
	2	52.5	0.952
	3	36.7	0.908
Giro izquierdo esclusivo	1	100	1
	2	51.5	0.971
Giro derecho exclusivo	1	100	1
	2	56.5	0.885

Ecuación 25: Ajuste para la utilización del carril.

$$f_{LU} = \frac{V_g}{(V_{g1} * N)}$$

Donde:

 $V_g = demanda$ no ajustada en el grupo.

 $V_{g1} = demanda\ en\ el\ carril\ mas\ utilizado.$

N: Número de carriles en el grupo.

2.6.13.3.8. Ajustes para giros izquierdos en el grupo de carriles (f_{LT})

Carril exclusivo $f_{LT} = 0.95$

Carril protegido, giro protegido:

Ecuación 26: Ajustes por giros a la izquierda en el grupo de carriles.

$$f_{LT} = \frac{1}{1 + 0.05 P_{LT}}$$

Donde:

 P_{LT} : Proporción de vehículos girando.

2.6.13.3.9. Ajustes por giros a la derecha en el grupo de carriles (f_{RT})

Ecuación 27: Ajustes para giros a la derecha.

• Carril exclusivo.

$$f_{RT} = 0.85$$

• Carril compartido.

$$f_{RT} = 1 - (0.15P_{RT})$$

• Carril único.

$$f_{RT} = 1 - (0.135)P_{RT}$$

2.6.13.3.10. Ajustes por peatones (f_{Lpb}, f_{Rpb})

Ecuación 28: Ajuste por peatones.

• Ajuste giro izquierda

$$f_{Lpb} = 1 - P_{LT}(1 - A_{pbT})(1 - P_{LTA})$$

• Ajustes por giro derecho

$$f_{Rpb} = 1 - P_{RT}(1 - A_{pbT})(1 - P_{RTA})$$

2.6.13.4. Determinación del grupo crítico.

Un grupo de carriles será el que regule el tiempo de verde de cada fase, para esto se deberá determinar la mayor razón de flujo.

Ecuación 29: Razón de flujo.

$$Y_i = \frac{v}{s}$$

Donde:

 Y_i : Razón de flujo.

V: Volumen veh/h.

S: Flujo de saturación erh/h.

2.6.13.5. Determinación entre el tiempo de entre verde y tiempo total perdido.

El tiempo de amarillo o ámbar alerta a los conductores a detenerse, la ecuación para el cálculo de tiempo de entre verde es la siguiente. (Hoel, 2005, pág. 304).

Ecuación 30: Entre verde-total tiempo perdido.

$$t_{ev} = T + \frac{V}{2a + 2Gg} + \frac{w + l}{V}$$

Donde:

T: Tiempo de reacción se asume que es 1segundo.

V: Velocidad del vehículo (m/s)

a: Desaceleración se asume que es de: 3.05m/s²

G: Gradiente (1)

g: Gravedad es 9.8m/s²

w: Ancho de la intersección (m)

l: Longitud de un vehículo se asume que es de 6.1 metros.

El tiempo total perdido resultaría de la sumatoria de todos los amarillos y la sumatoria de todos los rojos.

2.6.13.6. Cálculo del tiempo del ciclo óptimo.

Según Webster, para el cálculo del tiempo del ciclo óptimo nos guiaremos en la siguiente ecuación:

Ecuación 31: Tiempo ciclo óptimo.

$$C_o = \frac{1.5L + 5}{1 - \int_{i=1}^{\emptyset} Y_i}$$

2.6.13.7. Cálculo de tiempo de verde.

Para el cálculo de tiempo de verde nos guiaremos también en la ecuación determinada por Webster en la cual para dos brazos de una misma fase con diferentes razones de flujo (Y_i) la demora mínima se obtiene con la razón crítica sobre el total de los Y_i .

Ecuación 32: Tiempo de verde.

$$g_i = \frac{Y_i}{\underset{i=1}{\emptyset} Y_i} (C_o + L)$$

2.6.13.8. Capacidad y niveles de servicio de una intersección semaforizada.

• Capacidad de una intersección semaforizada.

Según el HCM 2000, "la capacidad por grupo de carril es la tasa máxima por hora en la que los vehículos pueden razonablemente esperar para pasar a través de la intersección, bajo las condiciones de tráfico determinadas y condiciones de señalización, esta es expresada en veh/h".

• Nivel de servicio de una intersección semaforizada.

Se define como en término de control de retraso, existen varias maneras de medir el nivel de servicio, por medio de la conformidad del conductor, frustración, consumo de combustible e incremento de tiempos de viaje, generalmente el nivel de servicio es obtenido por el promedio del control de retraso por vehículos, en 15 minutos de periodo de análisis. (National Academy Of Sciences, 2000, pág 164.). El retraso es una medida que depende de ciertas variables, según el HCM 2000 son las siguientes:

- Cantidad de progresión.
- La duración del ciclo.
- Tiempo de verde.
- Taza de relación v/c.

También se debe tomar en cuenta el control de retraso para esto el HCM 2000 determina los siguientes valores que se describirán a continuación:

Tabla 4: Criterios de nivel de servicio.

	Criterios de Nivel de Servicio para Intersecciones Semaforizadas							
Nivel de Servicio	Demora por vehículo(s/veh)	Descripción						
A	≤10	Ocurre cuando el progreso es extremadamente favorable, muchos vehículos llegan durante la fase en verde, muchos vehículos no paran por completo, corta duración del ciclo.						
В	> 10 y \le 20	Tienen buena progresión y corta duración del ciclo, pero más vehículos paran que en el nivel A.						
C	> 20 y ≤ 35	Los ciclos más sincronizados pueden ser los que ocasionan el mayor retraso, el número de vehículos que paran es alto en este nivel.						
D	> 35 y ≤ 55	La congestión en este nivel es más notable, mayores retrasos, progresión, larga duración del ciclo, o alta taza de la relación v/c, muchos vehículos paran.						
E	> 55 y ≤ 80	Este experimenta un gran retraso que indica una muy mala progresión, largas duración del ciclo, las fallas en los ciclos son frecuentes. Las consecuencias de este nivel de servicio son el aumento de control, congestión, accidentes de tránsito.						
F	> 80	Nivel inaceptable, generalmente ocurre sobresaturación, esto ocurre cuando la tasa de flujo supera la capacidad del grupo de carril.						

Fuente: Natonal Academy Of Sciences, 2000, pág. 164.

CAPITULO III

3, METODOLOGÍA.

3.1. TIPO DE ESTUDIO.

El trabajo de investigación es de tipo aplicada y de campo donde se seleccionaron todas las intersecciones semaforizadas y con redondeles que se encuentran en la circunvalación de la ciudad de Riobamba, por lo que se aplicó: proceso de selección del área de estudio (22 intersecciones semaforizadas y 3 redondeles), registro de datos de campo (23-07-2016), extracción de la información de campo, estimación de la capacidad de carriles en el caso de intersecciones semaforizadas y estimación de parámetros en el caso de intersecciones con redondeles y determinación de los niveles de servicios.

3.2. POBLACIÓN Y MUESTRA.

Desde un punto de vista estadístico, se denomina población o universo al conjunto de elementos o sujetos que serán motivo de estudio. "Si la población es menor a 50, la población es igual a la muestra" (Castro, 2003, pág 69.)

POBLACIÓN:

En nuestro caso, nuestro proyecto requiere información de una observación directa de cada uno de los 3 redondeles y de las 22 intersecciones semaforizadas en estudio, tomando datos de volúmenes de tránsito, flujos vehiculares, giros, características geométricas, actual sincronización semafórica.

MUESTRA:

En nuestro caso, nuestro proyecto requiere información de una observación directa de cada uno de los 3 redondeles y de las 22 intersecciones semaforizadas en estudio, tomando datos de volúmenes de tránsito, flujos vehiculares, giros, características geométricas, actual sincronización semafórica.

3.3. HIPÓTESIS.

El análisis y evaluación de redondeles e intersecciones semaforizadas de la circunvalación de la ciudad de Riobamba permitirá plantear una propuesta para dar una posible solución al problema de congestionamiento, mejorando así el nivel de servicio de la intersección más crítica.

3.4. OPERACIÓN DE VARIABLES.

Tabla 5: Operación de variables.

Variable Independiente: REDONDELES E INTERSECCIONES SEMAFÓRICAS.								
Conceptualización	Dimensiones	Indicadores	Items	Técnicas e Instrumentos				
	la zona de estudio	_	1.1.1 ¿Vehículos que circulan por la intersección?	_				
	movimientos	de datos de cada redondel e intersección semaforizada.	tienen o no el diseño adecuado	Toma de datos de cada una de las intersecciones. Registro de datos obtenidos.				
Determinación de factores que	2. Acceder a la información existente en el GAD del cantón Riobamba y del MTOP Chimborazo	2.1Revision de archivos existente en la secretaria	intersecciones?					
ractores que influyen en la funcionalidad de redondeles e intersecciones semaforizadas de la circunvalación de la ciudad de Riobamba período 2016.		técnica del Centro de Movilidad y del MTOP.	2.1.2 ¿Qué normas y especificaciones se cumplieron en la construcción de la intersección?	Observación directa. Recolección y registro de datos				
			3.1.1 ¿Los números de carriles abastecen al tráfico que circulan en cada intersección?	directa. Información obtenida del				
	3. Tabulación de datos e información recopilada.	3.1.Evaluación del nivel de servicio que presta cada intersección	3.1.2 ¿Los ciclos semafóricos garantizan un buen nivel de servicio a la ciudadanía?	Obtenidos				
			3.1.2 ¿Es óptimo el nivel de servicio de un redondel?	interpretación				

Variable Dependiente: CONGESTIÓN VEHICULAR.								
Conceptualización	Dimensiones	Indicadores	Items	Técnicas e Instrumentos				
Determinación del congestionamiento vehicular de redondeles e	1Volumen de tráfico de cada intersección. 2Cálculo de la hora de máxima	1.1.	1.1.1 ¿Se realizaron estudios previos para la construcción de intersecciones?	Observación directa. Información obtenida del GAD y MTOP.				
intersecciones semaforizadas de la circunvalación de la ciudad de Riobamba periodo 2016.	demanda. 3Cálculo del nivel de servicio de cada intersección.	Evaluación funcional	1.1.2 ¿El diseño actual de las fases semafóricas son las adecuadas para una mejor circulación vehicular?	Análisis de la información recopilada.				

3.5. PROCEDIMIENTO

En el presente estudio se va a seguir el siguiente procedimiento para analizar y evaluar cada uno de los redondeles e intersecciones semaforizadas de la circunvalación de la ciudad de Riobamba:

- Ubicación y demarcación de la zona de estudio.
- ➤ Conteo de movimientos vehiculares en cada intersección con la ayuda de los estudiantes de la escuela de Ingeniería Civil el 23 de Julio del 2016, durante 12 horas seguidas en períodos de 15 minutos mediante una observación directa.
- Recolección de datos para obtener las características geométricas de cada una de las intersecciones.
- > Cálculo del volumen de tráfico de cada una de las intersecciones de análisis.
- Cálculo de hora de máxima demanda en cada intersección.
- > Cálculo de los niveles de servicio de cada una de las intersecciones.
- Diseño de fases óptimas en intersecciones semaforizadas.
- Simulación del tráfico en el software SYNCHRO 8.0 de cada una de las intersecciones.

3.6. PROCESAMIENTO Y ANÁLISIS.

3.6.1. Diagnóstico situacional.

La movilidad en nuestra ciudad se presenta diariamente desde un punto de origen a un destino, para lo cual se requiere un medio de transporte en nuestro caso vehicular que puede ser liviano, buses y pesados, los mismos que pueden ser públicos o privados, obteniendo así un flujo vehicular en cada intersección.

La falta de un análisis de cada una de estas intersecciones ha provocado que la circulación sea lenta. En la actualidad la avenida circunvalación se encuentra prácticamente dentro de la zona urbana de la ciudad la misma que se la reconstruyo en el año 2015.

Para ejecutar un adecuado estudio, es necesario realizar una estimación de la demanda en cada intersección y sus respectivas características geométricas, para dar así propuestas de mejoras en los ciclos semafóricos que vayan acorde con la demanda de tráfico que existe en cada una de ellas.

La ejecución de este proyecto es importante ya que podemos mejorar el tiempo perdido en cada intersección y con ayudad de las autoridades podemos disminuir o mejorar el caos que surgen por el problema de congestionamiento.

3.6.1.1. Ubicación geográfica y política.

La ciudad de Riobamba capital de la provincia de Chimborazo está situada en el centro del país a 2750 metros sobre el nivel del mar, Norte 9816414; Este 759570, en la región sierra centro. Consta de 5 parroquias urbanas: Maldonado, Veloz, Lizarzaburu, Velazco y Yaruquies; y de 11 parroquias rurales: San Juan, Licto, Calpi, Quimiag, Cacha, Flores, Punin, Cubijíes, San Luis, Pungalá y Licán.

3.6.2. Conteo de tráfico por hora en el sector.

Estos conteos se los realiza en cada intersección para determinar el TPDH, la capacidad práctica y los niveles de servicio, estos parámetros son fundamentales para su posterior análisis y evaluación.

Los volúmenes de tráficos horarios tienen como característica principal que son variables, las mismas que pueden llegar a ser representativas y coherentes dependiendo del día de la

semana y el lugar donde se realice el estudio, existen períodos en el día que el tráfico es máximo, mientras que en otros períodos del día decae notablemente, es por esto que es importante la variación de los volúmenes para así determinar la hora de máxima demanda (hora pico).

Para recopilar esta información vamos a colocar estaciones de conteo que la realizamos durante 12 horas divididas en 15 minutos (T=0.25hr) en todas las intersecciones obteniendo así los datos que nos determinan la hora pica de dichas intersecciones.

Tabla 6: Volumen de tráfico por hora pico de intersecciones semaforizadas de la circunvalación.

INTERSECCIONES	GIRO A	LA DE	RECHA	GIRO A	LA IZQ	UIERDA		RECTO		CENTIDO
SEMAFORIZADAS	LIVIANOS	BUSES	PESADOS	LIVIANOS	BUSES	PESADOS	LIVIANOS	BUSES	PESADOS	SENTIDO
	73	26	15	39	4	5	462	16	7	N-S
AV. 1174 D74 D11 D11 V AV. DV DACC	18	0	0	117	9	15	798	38	16	S-N
AV. LIZARZABURU Y AV. BY PASS	46	8	5	44	0	1	133	1	10	E-O
	190	24	10	298	38	42	181	2	9	O-E
	8	0	0	5	0	1	2	0	0	N-S
AV. BY PASS Y CALLE SERGIO	1	0	0	2	5	0	0	2	0	S-N
QUIROLA	3	0	0	10	0	0	416	36	37	E-O
	9	0	0	2	0	0	653	65	37	O-E
	12	0	3	20	8	0	69	0	4	N-S
AV. BY PASS Y AV. CANONIGO	83	20	6	170	6	17	-	-	-	S-N
RAMOS	-	1	-	115	21	6	312	58	37	E-O
	236	44	20	1	-	-	314	29	48	O-E
AV DV DASS V AV DEDDO	-	ı	-	292	46	36	497	46	22	N-S
AV. BY PASS Y AV. PEDRO	48	3	1	1	1	-	835	47	30	S-N
VICENTE MALDONADO	235	37	33	97	14	8	-	-	-	E-O
AV.PEDRO VICENTE	6	0	1	16	3	0	634	37	40	N-S
	22	1	12	40	3	9	685	65	51	S-N
MALDONADO Y CALLE JOSÉ DE ARAUJO	9	5	12	16	2	5	8	0	2	E-O
ANAOJO	37	0	1	21	1	1	8	1	1	O-E
AV. PEDRO VICENTE MALDONADO Y CALLE JOSÉ	16	0	0	2	1	1	499	48	40	N-S
	37	2	5	6	1	0	527	83	70	S-N
PERALTA	57	11	0	192	11	0	0	0	1	E-O
PENALIA	4	0	0	29	0	0	0	0	0	O-E
AV. PEDRO VICENTE	8	0	0	124	4	5	755	54	49	N-S
MALDONADO Y AV. 11 DE	37	0	0	24	0	0	556	43	26	S-N
NOVIEMBRE	158	15	13	149	1	6	20	0	2	E-O
INO VILIVIDILE	47	1	2	27	0	2	28	0	1	O-E
AV. PEDRO VICENTE	-	-	-	35	2	2	682	45	40	N-S
MADONADO Y AV. SAINT	155	4	5	-	-	-	869	41	48	S-N
AMONT MONTREAD	19	3	1	141	1	6	-	-	-	E-O
AV, PEDRO VICENTE	234	2	8	-	-	-	474	27	4	N-S
MALDONADO Y AV. 9 DE	23	0	0	20	0	0	346	29	8	S-N
OCTUBRE	36	0	0	552	2	28	-	-	-	O-E

	0	0	0	0	0	0	234	3	12	N-S
AV. 9 DE OCTUBRE Y CALLE S/N	276	29	16	0	0	0	860	142	108	S-N
AV. 9 DE OCTOBRE I CALLE 3/N	25	0	0	39	2	1	0	0	0	E-O
	2	0	0	4	0	0	2	0	0	O-E
	76	0	2	155	0	3	129	9	1	N-S
AV. 9 DE OCTUBRE Y CALLE	45	0	1	93	0	8	588	3	86	S-N
CARABOBO	37	3	3	41	0	4	181	10	8	E-O
	66	0	0	44	4	1	317	4	34	O-E
	89	5	33	115	1	15	393	16	78	N-S
AV. 9 DE OCTUBRE Y AV. JUAN	61	1	1	84	5	4	293	13	40	S-N
FÉLIX PROAÑO	119	2	12	83	2	1	357	11	7	E-O
	60	0	5	84	4	7	450	8	4	O-E
	74	0	1	116	15	4	178	14	10	N-S
AV. 9 DE OCTUBRE Y AV.	158	28	29	174	18	20	230	13	13	S-N
LEOPOLDO FREIRE	121	15	7	104	5	12	75	0	8	E-O
	138	15	3	95	26	15	232	53	20	O-E
AV. 9 DE OCTUBRE Y AV. COSTA	54	9	27	58	6	34	119	0	40	S-N
	219	2	35	60	6	6	337	57	42	E-O
RICA	35	4	0	177	15	25	80	16	27	O-E
	61	2	3	153	10	3	43	4	3	N-S
AV. CELSO RODRÍGUEZ Y AV.	22	0	7	19	0	5	37	2	4	S-N
EDELBERTO BONILLA OLEAS	29	1	4	70	13	3	581	4	49	E-O
	16	0	3	123	5	10	429	5	52	O-E
	55	0	4	65	0	12	913	6	61	N-S
AV. EDELBERTO BONILLA OLEAS	16	0	1	8	0	0	762	16	35	S-N
Y AV. ARAUJO CHIRIBOGA	44	1	5	21	0	0	22	0	0	E-O
	10	0	0	17	0	0	34	0	2	N-S
AV. EDELBERTO BONILLA OLEAS	110	0	44	166	5	40	62	0	27	S-N
Y AV. ANTONIO JOSÉ DE SUCRE	3	1	0	157	9	8	578	9	6	E-O
	125	12	23	183	18	48	440	60	45	O-E
AV 1150000 DE TADI V 04115	158	8	3	-	-	-	552	12	25	N-S
AV. HÉROES DE TAPI Y CALLE BRASIL	2	0	0	68	2	8	753	18	19	S-N
	49	4	1	30	0	0	0	0	0	O-E
	134	0	3	319	0	9	56	0	4	N-S
AV. LIZARZABURU Y AV. LA	27	0	0	124	12	0	65	8	4	S-N
PRENSA	246	0	17	49	0	0	496	3	19	E-O
	61	10	1	102	3	0	432	42	2	O-E
	2	0	0	30	1	3	739	1	11	N-S
AV. LIZARZABURU Y CALLE	57	0	5	79	0	10	799	7	30	S-N
AGUSTÍN TORRES	39	0	4	83	0	1	3	0	0	E-O
	86	0	0	9	0	0	3	0	0	O-E
	140	25	1	10	0	0	764	1	11	N-S
AV. LIZARZABURU Y AV. SAINT	26	0	5	104	0	2	826	1	21	S-N
AMONT MONTREAD	13	0	0	87	0	4	49	8	4	E-O
	38	1	2	72	16	2	27	6	4	O-E
		i		42	1	0	565	27	30	N-S
	81	1	5	12	1	0	505	21	30	11-3
AV. LIZARZABURU Y AV. 11 DE	81 64	2	0	59	1	12	699	26	31	S-N
AV. LIZARZABURU Y AV. 11 DE NOVIEMBRE								 		

Fuente: Elaborado por los tesistas, es una observación de campo, 12 de Septiembre del 2016.

Según el HCM 2000 una de las características más críticas del tráfico debe ser calificada para completar un análisis operacional de una intersección. El parámetro que mejor describe esta

característica es el tipo de arribo (AT) para cada grupo de vías, los cuales se describen a continuación:

- Arribos Tipo 1: La densidad del grupo contienen más del 80% del volumen de grupo de vías, arribando en el comienzo de la fase roja. Este tipo de arribo es representativo de una red que experimenta muy mala cantidad de progresión como resultado de condiciones tales como sobre optimización de señales en la red.
- Arribos Tipo 2: Moderada densidad del grupo arriban en la mitad de la fase roja o un grupo disperso, conteniendo un 40% a 80% del volumen del grupo de vías arribando totalmente fuera de la fase roja. Este tipo de arribo es representativo de una desfavorable progresión.
- Arribo Tipo 3: Arribos aleatorios en los cuales el grupo principal contiene menos del 40% del volumen del grupo de vías. Este tipo de arribo es representativo de operaciones aisladas y no interconectadas de intersecciones señalizadas, caracterizada por la alta dispersión del grupo.
- Arribo Tipo 4: Moderada densidad del grupo arribando en la mitad de la fase verde o grupo disperso, conteniendo del 40% al 80% del volumen del grupo de vías, arribando fuera de la fase verde. Este tipo de arribo es representativo de una favorable calidad de progresión de dos vías arteriales.
- Arribo Tipo 5: Densa a moderada densidad de grupo conteniendo más el 80% del volumen del grupo de vías en el comienzo de la fase verde. Este tipo de arribo es representativo de una altamente favorable calidad de progresión, las cuales pueden ocurrir en rutas con baja o moderada, entradas de calles auxiliares y con una alta prioridad en el tratamiento del plan de tiempo de señales.
- Arribo Tipo 6: Este tipo de arribo es reservado para excepcionales calidades de progresión en rutas con características casi ideales de progresión. Esta es representativa con mucha densidad de grupo sobre un número de intersecciones muy cercanas con mínimas o ninguna entrada de calles laterales.

El arribo puede ser observado en campo, pero también puede ser examinado en diagramas espacio-tiempo para la intersección en estudio. Deberá tenerse presente que el valor no excederá a 1.

Tabla 7: Relación entre tipo de arribo y razón de grupo (Rp).

TIPO DE	RANGO DE LA	VALOR	CALIDAD DE
ARRIBO	RAZÓN DE GRUPO	POR	PROGRESIÓN
	(Rp)	DEFAULT	
1	≤ 0.50	0.333	Muy mala
2	>0.50 y ≤0.85	0.667	Desfavorable
3	>0.85 y ≤1.15	1.000	Arribos aleatorios
4	>1.15 y ≤1.50	1.333	Favorable
5	>1.50 y ≤2.00	1.667	Altamente favorable
6	>2.00	2.000	Excepcional

Fuente: Transportation Research Board/HCM Update 2000. Highway Capacity Manual. Washington: National Research Council.

3.6.3. Condiciones de semaforización.

Al culminar con el levantamiento de toda la información necesaria debemos realizar un diagrama de fases, duración del ciclo, tiempo de verde y el intervalo de ambar. El mínimo de tiempo de verde para cada fase debe ser indicado y debe ser provisto en el tiempo del semáforo.

3.6.4. Módulo de la tasa de flujo de saturación.

Los cálculos comienzan con la selección de una tasa ideal de flujo de saturación, usualmente 1900 veh/h en tiempo de verde por la vía (HCM 2000) y este valor es ajustado por una variedad de condiciones prevalecientes que no son ideales, todos estos valores de ajuste están dados desde la ecuación 20 a la 28.

3.6.5. Módulo de análisis de capacidad.

La razón de flujo (Yi) es calculada por la división de la taza de flujo de saturación (Fsat) y el volumen por carril-sentido.

La capacidad de cada grupo de vías es calculada con la ecuación 33:

Ecuación 33: Capacidad de grupo.

$$C = S * (\frac{G}{Co})$$

La razón v/c para cada grupo de vías es calculada directamente de la división del volumen vehicular y la capacidad calculada anteriormente C en la ecuación 34

Ecuación 34:

Ecuación 34: Cálculo de X.

$$X = \frac{volumen\ vehicular\ (v)}{capacidad\ del\ grupo\ de\ carril\ (C)}$$

El parámetro de capacidad final de interés, es la razón crítica (v/C), X_c , para la intersección. Esta es calculada con la siguiente ecuación:

Ecuación 35: Cálculo de Xc.

$$X_c = \frac{\frac{v}{S} * Co}{Co - L}$$

La razón indica la proporción de capacidad disponible que puede ser utilizada por los vehículos en el grupo de vías críticas.

Si la razón excede 1.0, uno o más gripo de vías criticas están sobre saturadas. Una razón por encima de 1.0 es un indicativo que el diseño de la intersección, duración del ciclo o plan de fases es inadecuado, o las tres son inadecuadas para la demanda.

Una razón menor que 1.0 indica que el diseño, duración del ciclo y el plan de fases es adecuado para manejar los flujos críticos teniendo una capacidad que excede a la demanda.

Para el cálculo de la razón crítica (X_c) requiere que los grupos de vías críticas sean identificados. Un grupo de vías tendrá la mayor intensidad de demandas y será el que determine la cantidad de verde necesario.

3.6.6. Módulo de nivel de servicio.

El nivel de servicio está directamente relacionado al valor de control de demora como se muestra en la tabla 5. El control promedio de demora por vehículo para un grupo de vías está dado por:

Ecuación 36: Nivel de servicio.

$$d = d_1 * PF + d_2 + d_3$$

Donde:

D₁= componente del control uniforme de demora asumiendo arribos uniformes, seg/veh.

PF= factor de ajuste de progresión uniforme de demora que considera los efectos de progresión de la señal sobre la demora.

D₂= Componente incremental de demora para considerar el efecto aleatorio y sobre saturación de filas, ajustado para la duración del periodo de análisis y el tipo de control de señal, seg/veh.

D₃= demora por demanda residual para considerar la sobre saturación de filas que pueden tener existencia antes del período de análisis, veh/seg.

Demora uniforme d₁.- Está basada en el primer término de la formulación de la demora de Webster's y es ampliamente aceptado como un procedimiento de cálculo de la demora para casos idealizados de arribos uniformes.

Ecuación 37: Demora uniforme d₁.

$$d_1 = \frac{0.50 * Co(1 - \frac{G}{C0})^2}{1 - min \ 1, X * G/Co}$$

Donde:

Co= Duración del ciclo en segundos.

G= Tiempo de verde efectivo, seg.

X= Razón v/C o grado de saturación para el grupo de vías.

El factor de ajuste de progresión, PF, una buena progresión de señal resultara en una alta proporción de vehículos arribando en verde por lo contrario el porcentaje de vehículos arribando en verde tendrá un bajo porcentaje.

El valor de progresión puede ser asignado mediante la siguiente tabla.

Tabla 8: Factores de ajuste de progresión (PF)

FACTOR DE AJUSTE DE PROGRESIÓN (PF)									
	PF = (1 - P) *fp/(1 - G/Co)								
			TIPO DE AI	RRIBO (TA)					
	TA-1	TA-2	TA-3	TA-4	TA-5	TA-6			
0.2	1.167	1.007	1	1	0.833	0.75			
0.3	1.286	1.063	1	0.986	0.714	0.571			
0.4	1.445	1.136	1	0.895	0.555	0.333			
0.5	1.667	1.224	1	0.767	0.333	0			
0.6	2.001	1.395	1	0.576	0	0			
0.7	2.556	1.653	1	0.256	0	0			
Default, fp	1	0.93	1	1.15	1	1			
Default, Rp	0.333	0.667	1	1.333	1.667	2			

Fuente: Transportation Research Board HCM 2000. Highway Capacity Manual. Washington: National Research Council.

Arribos tipos 3 pueden ser asumidos para todos los grupos de vías no coordinadas. Los movimientos hechos desde vías exclusivas de volteo a la izquierda sobre fases protegidas no son usualmente provistas con una buena progresión, los arribos tipo 3 son usualmente asumidos para volteos a la izquierda coordinados.

Para nuestro estudio hemos determinado que nuestro tipo de arribo es de tipo 3, por lo que el factor de ajuste de progresión (PF) es igual a 1.

Demora incremental d₂.- esto depende de la relación volumen capacidad del grupo de vías (X), la duración del periodo de análisis T=0.25, la capacidad del grupo de carril (C) y el tipo de señal reflejado por el parámetro de control k. Finalmente, el término de incremento de demora es válido para todos los valores de X incluyendo sobresaturaciones altas en los grupos de carriles, donde la expresión para d_2 es:

Ecuación 38: Demora incremental d₂.

$$d_2 = 900 * T \quad X - 1 + (X - 1)^2 + \frac{8 * K * I * X}{C * T}$$

Donde:

T= Duración del período en análisis, horas.

k= Calibración del incremento de retraso.

I= Factor de ajuste del filtrado dividido para la medición aguas arriba.

C= Capacidad de grupo de carril.

X= Relación volumen-capacidad.

Calibración del incremento del retraso (k).- para señales pre temporizadas, un valor de k=0.50 es usada en el cálculo. Este valor está basado sobre un proceso de filas con arribos aleatorios y tiempo de servicio uniforme equivalente a la capacidad del grupo de carriles.

Recientes estudios indican que bajas unidades de extensión resultan en bajos valores de k y d₂, sin embargo, cuando v/Co se aproxima a 1.0 un controlador autoajustable proveerá de una manera similar a un controlador pre ajustado con el máximo ajuste.

Factor e ajuste de filtrado / medición de aguas arriba, I.- el factor de ajuste de incremento de demora I, incorpora los efectos de medición de arribos desde aguas arriba de la señal, para un análisis de señal aislada, un valor de 1.0 debe ser usado.

Demora por demanda residual d_3 .- esto debe tomarse en cuenta cuando desde un período de tiempo previo causa una fila residual que ocurre en el periodo de análisis (T), una demora adicional es experimentada por los vehículos que arriban en los periodos, debido a que las filas residuales deberán primero despejar la intersección. Si este no es el caso, un valor de d_3 de cero debe ser usado.

Demora estimada total.- esta expresada por la siguiente ecuación:

Ecuación 39: Demora estimada total.

$$d_I = \frac{d_A * V_A}{V_A}$$

Donde:

d_I= Retraso de la intersección.

d_A= Retraso por aproximación.

V_A= Tasa de flujo de la aproximación.

Determinación del nivel de servicio.- es directamente relacionado con la demora por vehículo de cada intersección. El nivel de servicio es determinado por la tabla 5.

Posteriormente analizamos y evaluamos cada una de las intersecciones logrando así obtener el nivel de servicio que brindan estas a los usuarios. Con los datos obtenidos procedemos a obtener los ciclos óptimos de las fases semafóricas de cada intersección.

Tabla 9: Criterio de nivel de servicio para intersecciones semaforizadas.

NIVEL DE	CONTROL DE DEMORA
SERVICIO	POR VEHÍCULO (SEG)
	<10
A	≤10
В	>10 y ≤20
С	>20 y ≤35
D	>35 y ≤55
E	>55 y ≤80
F	>80

Fuente: Transportation Research Board HCM 2000. Highway Capacity Manual. Washington: National Research Council.

Cálculo Tipo.

3.6.7Cálculo del flujo de saturación (Fsat).

Ajuste por ancho de carril (f_w)

$$f_w = 1 + \frac{(W - 3.6)}{9}$$
$$f_w = 1 + \frac{(3.6 - 3.6)}{9}$$
$$f_w = 1$$

Ajuste por vehículos pesados (f_{Hv})

$$f_{Hv} = \frac{100}{100 + \%HV(E_T - 1)}$$

$$f_{Hv} = \frac{100}{100 + 10.42\% * (2 - 1)}$$

$$f_{Hv} = 0.999$$

Ajuste por gradiente (f_g)

$$f_g = 1 - \frac{\%G}{200}$$

$$f_g = 1 - \frac{2.43\%}{200}$$

$$f_g = 0.999$$

Ajuste por parqueo (f_p) .

Nota: cuando existe prohibición de parqueo $f_p=1$

$$f_p = \frac{N - 0.1 - \frac{18N_m}{3600}}{N}$$

$$f_p = 1$$

Bloqueo de buses (f_{bb}) .

$$f_{bb} = N - \frac{14.4 \frac{N_B}{3600}}{N}$$

$$f_{bb} = 1 - \frac{14.4 * \frac{4}{3600}}{1}$$

$$f_{bb} = 0.984$$

Factor de ajuste por tipo de zona (f_a) .

$$f_a = 0.9$$
 para zonas centricas. $f_a = 1$ resto de zonas $f_a = 1$

Ajuste por utilización de carril, para dos carriles $f_{LU}=0.952~\mathrm{y}$ para un carril $f_{LU}=1$

$$f_{LU} = 0.952$$

Ajustes por giros izquierdos protegidos (f_{LT}) .

$$f_{LT} = \frac{1}{1 + 0.05P_{LT}}$$

$$f_{LT} = \frac{1}{1 + 0.05 * 1}$$

$$f_{LT} = 0.952$$

Ajustes por giros derechos (f_{RT}) .

$$f_{RT} = 1 - (0.15P_{RT})$$

 $f_{RT} = 1 - (0.15 * 1)$
 $f_{RT} = 0.85$

Cálculo del flujo de saturación (Fsat/movimientos)

$$S = S_o N f_w f_{HV} f_g f_p f_{bb} f_a f_{LU} f_{LT} f_{RT}$$

$$S = 1900 * 1 * 1 * 0.999 * 0.9999 * 1 * 0.984 * 1 * 0.952 * 0.952 * 0.85$$

$$S = 1693.3 \frac{veh}{hora}.$$

Cálculo del flujo de saturación de la aproximación norte-sur (Fsat total).

$$S = S_o N f_w f_{HV} f_g f_p f_{bb} f_a f_{LU} f_{LT} f_{RT}$$

$$S = 1900 * 2 * 1 * 0.9996 * 0.9999 * 1 * 0.984 * 1 * 0.952 * 0.952 * 0.85$$

$$S = 2845 \frac{veh}{hora}.$$

Determinación de la razón de flujo (Yi/movimientos).

$$Yi = \frac{v}{S}$$

$$Yi = \frac{48}{1693.3}$$

$$Yi = 0.028$$

Determinación de la razón de flujo (Yi/carril).

$$Yi = Yi/movimientos$$

 $Yi = 0.028 + 0.146$
 $Yi = 0.174$

3.6.8. Flujo de saturación de la intersección 1: Av. Lizarzaburu y Av. By Pass.

Tabla 10: Intersección 1. Flujo de saturación.

VOLUMEN POR GRUPO	PLT	PRT	% DE PESADOS /CARRRIL	% DE PESADOS / GRUPO DE CARRIL	N° DE BUSES/ CARRIL	ANCHO DE CARRIL	GRADIENTE	GRUPO	N	So	fw	Fhv	Fhv/ grupo de carril	fg	fp	fbb	fa	flu	Flt	FRT	Fsat / Movimien tos	Fsat total (S)	Yi/Movi mientos	
48	1		10.42%		4	3.6	2.43%	1	1		1.000	0.9990		0.9999	1.000	0.984		0.952	0.952		1693.134		0.028	0.160
485			1.44%	4.17%	9	3.6	2.43%		1		1.000	0.9999	0.9996	0.9999	1.000	0.964	1				1743.220	2845.001	0.132	0.100
403			1.44/0	4.17/0	7	3.6	2.43%		1		1.000	0.9999	0.5550	0.9999	1.000	0.972	1				1757.686	2043.001	0.145	0.228
114		1	13.16%		26	3.6	2.43%			1900	1.000	0.9987		0.9999	1.000	0.896				0.850	1375.605		0.083	0.220
141	1		10.64%		9	3.47	-2.43%	1	1	1300	0.986	0.9989		1.0001	1.000	0.964		0.952	0.952		1635.860		0.086	0.396
852			1.88%	3.07%	38	3.47	-2.43%		1		0.986	0.9998	0.9997	1.0001	1.000	0.848	1				1512.288	2927.991	0.309	0.330
632			1.00/0	3.07/6	0	3.6	-2.43%		1		1.000	0.9998	0.3337	1.0001	1.000	1.000	1				1808.680	2327.331	0.212	0.224
18		1	0.00%		0	3.6	-2.43%		1		1.000	1.0000		1.0001	1.000	1.000				0.850	1537.667		0.012	0.224
	1				0	3.6	1.30%	1			1.000	0.9994		0.9999	1.000	1.000		1.000	0.952		1808.240		0.025	
248			6.45%	6.45%	1	3.6	1.30%		1		1.000	0.9994	0.9994	0.9999	1.000	0.996	1				1891.057	1564.127	0.076	0.138
		1			8	3.6	1.30%				1.000	0.9994		0.9999	1.000	0.968				0.865	1589.779		0.037	
378	1		11.11%		38	3.2	0.91%	1	1	1900	0.956	0.9989		1.0000	1.000	0.848		0.952	0.952		1394.932		0.271	0.330
192			4.69%	7.68%	1	3.2	0.91%		1		0.956	0.9995	0.9992	1.0000	1.000	0.996	1				1721.411	2914.447	0.059	0.550
132			4.05/0	7.00/0	1	3.6	0.91%		1		1.000	0.9995	0.3332	1.0000	1.000	0.996	1				1800.639	2J14.44/	0.050	0.211
224		1	4.46%		24	3.6	0.91%		1		1.000	0.9996		1.0000	1.000	0.904				0.850	1389.199		0.161	0.211

3.6.9. Flujo de saturación de la intersección 2: Av. By Pass y calle Sergio Quirola.

Tabla 11: Intersección 2. Flujo de saturación.

VOLUMEN POR GRUPO	PLT	PRT	% DE PESADOS /CARRRIL	% DE PESADOS/ GRUPO DE CARRIL	BUSES/	ANCHO DE CARRIL	GRADIENTE	GRUPO	N	So	fw	Fhv	Fhv/ grupo de carril	fg	fp	fbb	fa	flu	Flt	FRT	Fsat / Movimientos	Fsat total (S)	Yi/ Movimientos	Yi/ Carril
	1				0		0.80%	1			1.000		0.999	1.000	1.000	1.000		1.000	0.952		1808.321		0.003	
16			6.25%	6.25%	0	3.6	0.80%		1		1.000	0.999	0.999	1.000	1.000	1.000					1898.737	1564.198	0.001	
		1			0		0.80%			1900	1.000		0.999	1.000	1.000	1.000	1			0.865	1642.408		0.005	0.009
	1				5		-0.80%	1		1300	1.000		1.000	1.000	1.000	0.980] 1	1.000	0.952		1773.404		0.004	
10			0.00%	0.00%	2	3.6	-0.80%		1		1.000	1.000	1.000	1.000	1.000	0.992					1884.875	1552.778	0.001	
		1			0		-0.80%				1.000		1.000	1.000	1.000	1.000				0.865	1643.566		0.001	0.006
10	1		0.00%		0	3.2	-0.91%	1	1		0.956		1.000	1.000	1.000	1.000		0.952	0.952		1646.944		0.006	
489			12.21%	7.37%	36	3.2	-0.91%		1		0.956	0.999	0.999	1.000	1.000	0.856					1478.468	2795.684	0.198	0.204
403			12.21/0	7.57%	0	2 50	-0.91%		1		0.996	0.555	0.999	1.000	1.000	1.000					1799.449	2793.004	0.109	
3		1	0.00%		0	3.56	-0.91%		1	1000	0.996		1.000	1.000	1.000	1.000] ,			0.850	1531.400		0.002	0.111
2	1		0.00%		0	2.24	0.79%	1	1	1900	0.96		1.000	1.000	1.000	1.000] 1	0.952	0.952		1653.695		0.001	
755			4.000/	4 020/	63	3.24	0.79%		T		0.96	0.000	1.000	1.000	1.000	0.748					1298.176	2040 047	0.350	0.351
/55			4.90%	4.83%	2	2.44	0.79%		1		0.982	0.999	1.000	1.000	1.000	0.992					1761.099	2849.947	0.171	
9		1	0.00%		0	3.44	0.79%		1		0.982		1.000	1.000	1.000	1.000				0.850	1509.746		0.006	0.177

3.6.10. Flujo de saturación de la intersección 3: Av. By Pass y Av. Canónigo Ramos.

Tabla 12: Intersección 3. Flujo de saturación.

VOLUMEN POR GRUPO	PLT	PRT	% DE PESADOS /CARRRIL	% DE PESADOS/ GRUPO DE CARRIL	N° DE BUSES/ CARRIL	ANCHO DE CARRIL	GRADIENTE	GRUPO	N	So	fw	Fhv	Fhv/ grupo de carril	fg	fp	fbb	fa	flu	Flt	FRT	Fsat / Movimien tos	Fsat total (S)	Yi/ Movimientos	Yi/ Carril
	1				8		0.30%	1			1.000	0.999		1.000	1.000	0.968		1.000	0.952		1750.536		0.016	
116			6.03%	6.03%	0	3.6	0.30%		1		1.000	0.999	0.999	1.000	1.000	1.000	1				1898.826	1564.271	0.038	
		1			0		0.30%				1.000	0.999		1.000	1.000	1.000				0.865	1642.484		0.009	0.064
193	1		8.81%		6	3.6	-0.71%	1	1	1900	1.000	0.999		1.000	1.000	0.976		0.952	0.952		1679.903		0.115	
0			0.00%	7 (20/	0	3.0	-0.71%		1		1.000	1.000	0.999	1.000	1.000	1.000	1				1808.864	2926.409	0.000	0.115
U			0.00%	7.62%	0	2.0	-0.71%		1		1.000	1.000	0.999	1.000	1.000	1.000	1				1808.864	2926.409	0.000	
109		1	5.50%		20	3.6	-0.71%		1		1.000	0.999		1.000	1.000	0.920				0.850	1413.754		0.077	0.077
142	1		4.23%		21	2.2	-0.61%	1	1		0.956	1.000		1.000	1.000	0.916		0.952	0.952		1507.941		0.094	0.094
407			9.09%	7.83%	20	3.2	-0.61%		1		0.6	0.999	0.999	1.000	1.000	0.920	1				997.581	2676.071	0.172	
407			9.09%	7.83%	38	2.55	-0.61%		1		0.994	0.999	0.999	1.000	1.000	0.848	1				1523.321	20/0.0/1	0.154	0.327
0		1	0.00%		0	3.55	-0.61%		1	1000	0.994	1.000		1.000	1.000	1.000				0.850	1528.302		0.000	
0	1		0.00%		0	2.22	0.61%	1	1	1900	0.958	1.000		1.000	1.000	1.000		0.952	0.952		1650.264		0.000	0.000
201			12 200/	0.040/	20	3.22	0.61%		1		0.958	0.999	0.000	1.000	1.000	0.920	1				1592.201	2020 245	0.090	
391			12.28%	9.84%	9	2.0	0.61%		1		1.000	0.999	0.999	1.000	1.000	0.964	1				1741.492	2820.245	0.142	
300		1	6.67%		44	3.6	0.61%		1		1.000	0.999		1.000	1.000	0.824				0.850	1266.001		0.237	0.469

3.6.11. Flujo de saturación de la intersección 4: Av. By Pass y Av. Pedro Vicente Maldonado.

Tabla 13: Intersección 4. Flujo de saturación.

VOLUMEN POR GRUPO	PLT	PRT	% DE PESADOS /CARRRIL	% DE PESADOS/ GRUPO DE CARRIL	N° DE BUSES/ CARRIL	ANCHO DE CARRIL	GRADIENTE	GRUPO	N	So	fw	Fhv	Fhv/ grupo de carril	fg	fp	fbb	fa	flu	Flt	FRT	Fsat / Movimientos	Fsat total (S)	Yi/ Movimientos	Yi/ Carril
374	1		9.63%		46	3.37	0.72%	1	1		0.974	0.999		1.000	1.000	0.816		0.952	0.952		1367.782		0.273	0.273
565			3.89%	6.18%	14	3.37	0.72%		1		0.974	1.000	0.999	1.000	1.000	0.944	1				1662.405	3250.270	0.114	0.114
303			3.03/0	0.10/0	32	3.6	0.72%		1		1.000	1.000	0.333	1.000	1.000	0.872	1				1576.603	3230.270	0.238	
0		0	0.00%		0	5.0	0.72%		1	1000	1.000	1.000		1.000	1.000	1.000				1.000	1808.735		0.000	0.238
0	0		0.00%		0	3.49	-0.72%	1	1	1900	0.988	1.000		1.000	1.000	1.000		0.952	1.000		1787.159		0.000	
912			3.29%	3.22%	21	3.43	-0.72%		1		0.988	1.000	1.000	1.000	1.000	0.916	1				1636.499	2754.378	0.261	0.261
312			3.23/0	5.2270	26	3.6	-0.72%		1		1.000	1.000	1.000	1.000	1.000	0.896	1				1620.210	2/34.3/6	0.299	
52		1	1.92%		3	3.0	-0.72%		1		1.000	1.000		1.000	1.000	0.988				0.850	1518.793		0.034	0.334
119	1		6.72%		14	2 55	-2.42%	1	1		0.994	0.999		1.000	1.000	0.944		0.952	0.952		1615.550		0.074	
0			0.00%	9.67%	0	3.55	-2.42%		1	1900	0.994	1.000	0.999	1.000	1.000	1.000	1				1798.165	2926.058	0.000	0.074
U			0.00/0	3.07/0	0	2.6	-2.42%		1	1200	1.000	1.000	0.333	1.000	1.000	1.000	1				1809.019	2320.036	0.000	
305		1	10.82%		37	3.6	-2.42%		1		1.000	0.999		1.000	1.000	0.852				0.850	1308.676		0.233	0.233

3.6.12. Flujo de saturación de la intersección 5: Av. Pedro Vicente Maldonado y calle José de Araujo.

Tabla 14: Intersección 5. Flujo de saturación.

VOLUMEN POR GRUPO	PLT	PRT	% DE PESADOS /CARRRIL	/ GRUPO	BUSES/	ANCHO DE CARRIL	GRADIENTE	GRUPO	N	So	fw	Fhv	Fhv/ grupo de carril	fg	fp	fbb	fa	flu	Flt	FRT	Fsat / Movimientos	Fsat total (S)	Yi/ Movimientos	Yi/ Carril
19	1		0.00%		3	3.47	4%	1	1		0.986	1.000		1.000	1.000	0.988		0.952	0.952		1677.831		0.011	
711			5.63%	5.56%	6	3.4/	4%		1		0.986	0.999	0.999	1.000	1.000	0.976	1				1739.347	2856.088	0.198	0.209
/11			3.03/0	3.30/0	31	3.6	4%		1		1.000	0.999	0.555	1.000	1.000	0.876	1				1583.301	2030.000	0.232	
7		1	0.00%		0	5.0	4%		1	1900	1.000	1.000		1.000	1.000	1.000				0.850	1537.173		0.005	0.236
52	1		0.00%		3	3.48	-4%	1	1	1300	0.987	1.000		1.000	1.000	0.988		0.952	0.952		1680.205		0.031	
801			6.37%	8.11%	28	3.40	-4%		1		0.987	0.999	0.999	1.000	1.000	0.888	1				1584.642	2598.950	0.252	0.283
001			0.3770	0.11/0	37	3.6	-4%		1		1.000	0.999	0.333	1.000	1.000	0.852	_				1540.425	2330.330	0.260	
35		1	34.29%		1	3.0	-4%		1		1.000	0.997		1.000	1.000	0.996				0.850	1526.403		0.023	0.283
	1				2		-0.75%	1			1.000	0.997		1.000	1.000	0.992		1.000	0.952		1789.353		0.013	
59			32.20%	32.20%	0	3.60	-0.75%		1		1.000	0.997	0.997	1.000	1.000	1.000	1				1893.972	1560.272	0.005	
		1			5		-0.75%			1000	1.000	0.997		1.000	1.000	0.980				0.865	1605.520		0.016	0.034
	1				1		1.05%	1		1900	0.989	1.000		1.000	1.000	0.996		1.000	0.952		1781.614		0.013	
71			4.23%	4.23%	1	3.50	1.05%		1		0.989	1.000	1.000	1.000	1.000	0.996	1				1870.695	1541.096	0.005	
		1			0		1.05%				0.989	1.000		1.000	1.000	1.000				0.865	1624.650		0.023	0.042

3.6.13. Flujo de saturación de la intersección 6: Av. Pedro Vicente Maldonado y calle José Peralta.

Tabla 15: Intersección 6. Flujo de saturación.

VOLUMEN POR GRUPO	PLT	PRT	% DE PESADOS /CARRRIL	% DE PESADOS/ GRUPO DE CARRIL	N° DE BUSES/ CARRIL	ANCHO DE CARRIL	GRADIENTE	GRUPO	N	So	fw	Fhv	Fhv/ grupo de carril	fg	fp	fbb	fa	flu	Flt	FRT	Fsat / Movimientos	Fsat total (S)	Yi/ Movimientos	Yi/ Carril
4	1		25.00%		1	3.48	1.02%	1	1		0.987	0.998		1.000	1.000	0.996		0.952	0.952		1689.162		0.002	
587			6.81%	6.75%	19	3.48	1.02%		1		0.987	0.999	0.999	1.000	1.000	0.924	1				1648.396	2586.944	0.222	0.224
367			0.01/0	0.73/0	29	3.6	1.02%		1		1.000	0.999	0.333	1.000	1.000	0.884	1				1597.809	2300.344	0.138	
16		1	0.00%		0	3.0	1.02%		1	1900	1.000	1.000		1.000	1.000	1.000				0.850	1537.402		0.010	0.149
7	1		0.00%		1	3.47	-0.24%	1	1	1900	0.986	1.000		1.000	1.000	0.996		0.952	0.952		1691.775		0.004	
680			10.29%	10.26%	23	3.47	-0.24%		1		0.986	0.999	0.999	1.000	1.000	0.908	1				1617.751	2656.415	0.212	0.216
000			10.23/0	10.20/0	60	3.6	-0.24%		1		1.000	0.999	0.333	1.000	1.000	0.760	1				1373.291	2030.413	0.245	
44		1	11.36%		2	5.0	-0.24%		1		1.000	0.999		1.000	1.000	0.992				0.850	1523.467		0.029	0.274
	1				11		0.53%	1			1.000	1.000		1.000	1.000	0.956		1.000	0.952		1729.795		0.117	
272			0.37%	0.37%	0	3.60	0.53%		1		1.000	1.000	1.000	1.000	1.000	1.000	1				1899.880	1565.139	0.001]
		1			11		0.53%			1900	1.000	1.000		1.000	1.000	0.956				0.865	1571.087		0.043	0.161
	1				0		0.11%	1		1900	1.000	1.000		1.000	1.000	1.000		1.000	0.952		1809.514		0.016	
33		-	0.00%	0.00%	0	3.60	0.11%		1		1.000	1.000	1.000	1.000	1.000	1.000	1				1899.990	1565.229	0.000	
		1			0		0.11%				1.000	1.000		1.000	1.000	1.000				0.865	1643.491		0.002	0.018

3.6.14. Flujo de saturación de la intersección 7: Av. Pedro Vicente Maldonado y Av. 11 de Noviembre.

Tabla 16: Intersección 7. Flujo de saturación.

VOLUMEN POR GRUPO	PLT	PRT	% DE PESADOS /CARRRIL	% DE PESADOS/ GRUPO DE CARRIL	N° DE BUSES/ CARRIL	ANCHO DE CARRIL	GRADIENTE	GRUPO	N	So	fw	Fhv	Fhv/ grupo de carril	fg	fp	fbb	fa	flu	Flt	FRT	Fsat / Movimientos	Fsat total (S)	Yi/ Movimientos	Yi/ Carril
133	1		3.76%		4	3.48	0.45%	1	1		0.987	1.000		1.000	1.000	0.984		0.952	0.952		1672.401		0.080	
858			5.71%	5.41%	13	3.40	0.45%		1		0.987	0.999	0.999	1.000	1.000	0.948	1				1691.447	2774.687	0.260	0.340
636			5.71/0	3.41/0	41	3.6	0.45%		1		1.000	0.999	0.999	1.000	1.000	0.836	1				1511.260	2//4.00/	0.277	
8		1	0.00%		0	3.0	0.45%		1	1900	1.000	1.000		1.000	1.000	1.000				0.850	1537.445		0.005	0.282
24	1		0.00%		0	3.53	-0.47%	1	1	1900	0.992	1.000		1.000	1.000	1.000		0.952	0.952		1708.925		0.014	
625			4.16%	3.79%	13	3.33	-0.47%		1		0.992	1.000	1.000	1.000	1.000	0.948	1				1700.357	2576.193	0.228	0.242
025			4.10/0	3.79/0	30	2.0	-0.47%		1		1.000	1.000	1.000	1.000	1.000	0.880	1				1591.120	2370.193	0.149	
37		1	0.00%		0	3.6	-0.47%		1		1.000	1.000		1.000	1.000	1.000				0.850	1537.516		0.024	0.173
156	1		3.85%		1	2.5	0.80%	1	1		0.989	1.000		1.000	1.000	0.996		0.952	0.952		1696.182		0.092	
22			0.000/	F 770/	0	3.5	0.80%		1		0.989	1.000	0.999	1.000	1.000	1.000	1				1788.832	2026 720	0.007	0.099
22			0.00%	5.77%	0	2.0	0.80%		1		1.000	1.000	0.999	1.000	1.000	1.000	1				1808.728	2926.728	0.006	
186		1	6.99%		15	3.6	0.80%		1	1900	1.000	0.999		1.000	1.000	0.940				0.850	1444.164		0.129	0.134
	1				0		0.30%	1			1.000	1.000		1.000	1.000	1.000		1.000	0.952		1808.659		0.016	
108			4.63%	4.63%	0	3.60	0.30%		1		1.000	1.000	1.000	1.000	1.000	1.000	1				1899.092	1564.490	0.015	
		1			1		0.30%				1.000	1.000		1.000	1.000	0.996				0.865	1636.144		0.031	0.062

3.6.15. Flujo de saturación de la intersección 8: Av. Pedro Vicente Maldonado y Av. Saint Amont Montread.

Tabla 17: Intersección 8. Flujo de saturación.

VOLUMEN POR GRUPO	PLT	PRT	% DE PESADOS /CARRRIL	% DE PESADOS/ GRUPO DE CARRIL	BUSES/		GRADIENTE	GRUPO	N	So	fw	Fhv	Fhv/ grupo de carril	fg	fp	fbb	fa	flu	Flt	FRT	Fsat / Movimientos	Fsat total (S)	Yi/ Movimientos	Yi/ Carril
39	1		5.13%		2	3.6	4%	1	1		1.000	0.999		1.000	1.000	0.992		0.952	0.952		1707.668		0.023	0.023
767			5.22%	5.21%	27	3.0	4%		1		1.000	0.999	0.999	1.000	1.000	0.892	1				1612.286	2715.720	0.277	
707			J.22/0	J.21/0	18	3.6	4%		1		1.000	0.999	0.333	1.000	1.000	0.928	1				1677.356	2/13./20	0.191	0.468
0		1	0.00%		0	3.0	4%		1	1900	1.000	1.000		1.000	1.000	1.000				0.850	1537.173		0.000	
0	1		0.00%		0	3.53	-4.50%	1	1	1300	0.992	1.000		1.000	1.000	1.000		0.952	0.952		1709.270		0.000	0.000
958			5.01%	4.72%	20	3.33	-4.50%		1		0.992	0.999	1.000	1.000	1.000	0.920	1				1650.328	2693.585	0.316	
930			3.01/0	4.72/0	21	3.6	-4.50%		1		1.000	0.999	1.000	1.000	1.000	0.916	1				1656.404	2093.363	0.264	0.580
164		1	3.05%		4	3.0	-4.50%		1		1.000	1.000		1.000	1.000	0.984				0.850	1512.760		0.108	
148	1		4.05%		1	3.6	2.50%	1	1		1.000	1.000		1.000	1.000	0.996		0.952	0.952		1714.866		0.086] [
0			0.00%	4.09%	0	5.0	2.50%		1	1900	1.000	1.000	1.000	1.000	1.000	1.000	1				1808.574	2926.969	0.000	0.101
U			0.0076	4.03/0	0	3.6	2.50%		1	1300	1.000	1.000	1.000	1.000	1.000	1.000	1				1808.574	2320.309	0.000	0.101
23		1	4.35%		3	5.0	2.50%		1		1.000	1.000		1.000	1.000	0.988				0.850	1518.180		0.015	

3.6.16. Flujo de saturación de la intersección 9: Av. Pedro Vicente Maldonado y Av. 9 de Octubre.

Tabla 18: Intersección 9. Flujo de saturación.

VOLUMEN POR GRUPO	PLT	PRT	% DE PESADOS /CARRRIL	% DE PESADOS / GRUPO DE CARRIL			GRADIENTE	GRUPO	N	So	fw	Fhv	Fhv/ grupo de carril	fg	fp	fbb	fa	flu	Flt	FRT	Fsat / Movimientos	Fsat total (S)	Yi/ Movimientos	Yi/ Carril
0	0		0.00%		0	3.48	1.08%	1	1		0.987	1.000		1.000	1.000	1.000		0.952	1.000		1785.189		0.000	
505			0.79%	1.60%	12	3.40	1.08%		1		0.987	1.000	1.000	1.000	1.000	0.952	1				1699.366	2926.735	0.157	0.157
303			0.73/0	1.00%	15	3.6	1.08%		1		1.000	1.000	1.000	1.000	1.000	0.940	1				1700.046	2320.733	0.141	<u> </u>
244		1	3.28%		2	3.0	1.08%		1	1900	1.000	1.000		1.000	1.000	0.992				0.850	1524.598		0.160	0.221
20	1		0.00%		0	3.47	0.83%	1	1	1500	0.986	1.000		1.000	1.000	1.000		0.952	0.952		1698.479		0.012	
383			2.09%	1.88%	29	3.47	0.83%		1		0.986	1.000	1.000	1.000	1.000	0.884	1				1576.199	2551.995	0.104	0.116
303			2.05/0	1.00/0	0	3.56	0.83%		1		0.996	1.000	1.000	1.000	1.000	1.000	1				1801.114	2331.333	0.122	
23		1	0.00%		0	3.30	0.83%		1		0.996	1.000		1.000	1.000	1.000				0.850	1531.267		0.015	0.137
582	1		0.00%		2	3.44	-1.14%	1	1		0.982	1.000		1.000	1.000	0.992		0.952	0.952		1678.221		0.347	
0			0.00%	4.53%	0	5. 44	-1.14%		1	1900	0.982	1.000	0.990	1.000	1.000	1.000	1				1776.343	2898.403	0.000	0.347
U			0.00%	4.33%	0	2.6	-1.14%		1	1900	1.000	1.000	0.550	1.000	1.000	1.000	T				1808.903	2030.403	0.000	
36		1	0.00%		0	3.6	-1.14%		1		1.000	1.000		1.000	1.000	1.000				0.850	1537.568		0.023	0.023

3.6.17. Flujo de saturación de la intersección 10: Av. 9 de Octubre y calle S/N.

Tabla 19: Intersección 10. Flujo de saturación.

VOLUMEN POR GRUPO	PLT	PRT	% DE PESADOS /CARRRIL	I GRUPO	N° DE BUSES/ CARRIL	ANCHO DE CARRIL	GRADIENTE	GRUPO	N	So	fw	Fhv	Fhv/ grupo de carril	fg	fp	fbb	fa	flu	Flt	FRT	Fsat / Movimientos	Fsat total (S)	Yi/ Movimientos	Yi/ Carril
0	0		0.00%		0	3.6	1.89%	1	1		1.000	1.0000		0.9999	1.000	1.000		0.952	1.0000		1808.629		0.000	
249			4.82%	4.82%	3	5.0	1.89%		1		1.000	0.9995	0.9995	0.9999	1.000	0.988	1				1786.065	3073.188	0.083	0.083
249			4.02/0	4.02/0	0	3.56	1.89%		1		0.996	0.9995	0.9993	0.9999	1.000	1.000	1				1800.527	30/3.100	0.056	
0		1	0.00%		0	5.50	1.89%		1	1000	0.996	1.0000		0.9999	1.000	1.000				0.85	1531.185		0.000	0.056
0	1		0.00%		0	3.6	-0.81%	1	1	1900	1.000	1.0000		1.0000	1.000	1.000		0.952	0.9524		1722.736		0.000	
1108			9.57%	8.54%	89	3.0	-0.81%		1		1.000	0.9990	0.9991	1.0000	1.000	0.644	1				1163.801	2926.154	0.513	0.513
1100			9.57%	0.34%	53	3.6	-0.81%		1		1.000	0.9990	0.9991	1.0000	1.000	0.788] 1				1424.030	2920.154	0.359	
321		1	4.98%		29	5.0	-0.81%		1		1.000	0.9995		1.0000	1.000	0.884				0.85	1358.510		0.236	0.595
	1				2		2.05%	1			1.000	0.9999		0.9999	1.000	0.992		1	0.9524		1794.596		0.023	
67			1.49%	1.49%	0	3.60	2.05%		1		1.000	0.9999	0.9999	0.9999	1.000	1.000	1				1899.522	1564.844	0.000]
		1			0		2.05%			1000	1.000	0.9999		0.9999	1.000	1.000				0.865	1643.086		0.015	0.039
	1				0		1.95%	1		1900	1.000	1.0000		0.9999	1.000	1.000		1	0.9524		1809.347		0.002	
8			0.00%	0.00%	0	3.60	1.95%		1		1.000	1.0000	1.0000	0.9999	1.000	1.000	1				1899.815	1565.085	0.001	1 1
		1			0		1.95%				1.000	1.0000		0.9999	1.000	1.000				0.865	1643.340		0.001	0.004

${\bf 3.6.18.}\ Flujo\ de\ saturación\ de\ la\ intersección\ 11:\ Av.\ 9\ de\ Octubre\ y\ calle\ Carabobo.$

Tabla 20: Intersección 11. Flujo de saturación.

VOLUMEN POR GRUPO	PLT	PRT	% DE PESADOS /CARRRIL	% DE PESADOS/ GRUPO DE CARRIL	N° DE BUSES/ CARRIL	Ancho De Carril	GRADIENTE	GRUPO	N	So	fw	Fhv	Fhv/ grupo de carril	fg	fp	fbb	fa	flu	Flt	FRT	Fsat / Movimientos	Fsat total (S)	Yi/ Movimientos	Yi/ Carril
158	1		0.00%		0	3.47	0.70%	1	1		0.986	1.0000		1.0000	1.000	1.000		0.952	0.9524		1698.490		0.093	
139			0.72%	1.60%	0	3.47	0.70%		1		0.986	0.9999	0.9998	1.0000	1.000	1.000	1				1783.286	2927.962	0.020	0.113
155			0.72/0	1.00/0	9	3.6	0.70%		1		1.000	0.9999	0.5550	1.0000	1.000	0.964	_				1743.497	2327.302	0.060	<u> </u>
78		1	2.56%		0	3.0	0.70%		1	1900	1.000	0.9997		1.0000	1.000	1.000				0.85	1537.032		0.051	0.110
101	1		7.92%		0	3.45	-0.51%	1	1	1900	0.983	0.9992		1.0000	1.000	1.000		0.952	0.9524		1692.084		0.060]
677			12.70%	11.53%	2	3.43	-0.51%		1		0.983	0.9987	0.9988	1.0000	1.000	0.992	1				1761.633	2913.535	0.188	0.248
0//			12.70/0	11.55/0	1	3.6	-0.51%		1		1.000	0.9987	0.3300	1.0000	1.000	0.996	1				1799.325	2913.333	0.192	
46		1	2.17%		0	3.0	-0.51%		1		1.000	0.9998		1.0000	1.000	1.000				0.85	1537.185		0.030	0.222
45	1		0.00%		0	3.6	0.01%	1	1		1.000	1.0000		1.0000	1.000	1.000		0.952	0.9524		1722.666		0.026	
199			0.00%	5.23%	6	3.0	0.01%		1		1.000	1.0000	0.9995	1.0000	1.000	0.976	1				1765.388	2880.170	0.059	0.085
199			0.00%	3.23%	4	2.0	0.01%		1		1.000	1.0000	0.9995	1.0000	1.000	0.984	1				1779.858	2000.170	0.053	
43		1	0.00%		3	3.6	0.01%		1	1900	1.000	1.0000		1.0000	1.000	0.988				0.85	1519.029		0.028	0.082
49	1		0.00%		4	2.10	0.01%	1	1	1900	0.951	1.0000		1.0000	1.000	0.984		0.952	0.9524		1612.043		0.030	
555			C 120/	E 220/	3	3.16	0.01%		1		0.951	0.9994	0.9995	1.0000	1.000	0.988	1				1698.485	2750 177	0.172	0.202
333			6.13%	5.22%	1	2 12	0.01%		1		0.948	0.9994	0.9995	1.0000	1.000	0.996	1				1706.837	2750.177	0.154	
66		1	0.00%		0	3.13	0.01%		1		0.948	1.0000		1.0000	1.000	1.000				0.85	1457.530		0.045	0.199

3.6.19. Flujo de saturación de la intersección 12: Av. 9 de Octubre y Av. Juan Félix Proaño.

Tabla 21: Intersección 12. Flujo de saturación.

VOLUMEN POR GRUPO	PLT	PRT	/CARRRII	% DE PESADOS/ GRUPO DE CARRIL	N° DE BUSES/ CARRIL	ANCHO DE CARRIL	GRADIENTE	GRUPO	N	So	fw	Fhv	Fhv/ grupo de carril	fg	fp	fbb	fa	flu	Flt	FRT	Fsat / Movimientos	Fsat total (S)	Yi/ Movimientos	Yi/ Carril
131	1		11.45%		1	3.60	0.010	1	1		1.000	0.999		1.000	1.000	0.996		0.952	0.952		1713.727		0.076	
487			16.02%	16.91%	10	3.00	0.010		1		1.000	0.998	0.998	1.000	1.000	0.960	1				1733.584	2853.279	0.135	0.211
407			10.02/6	10.51/0	6	3.60	0.010		1		1.000	0.998	0.336	1.000	1.000	0.976	1				1762.477	2033.279	0.144	
127		1	25.98%		5	3.00	0.010		1	1900	1.000	0.997		1.000	1.000	0.980				0.850	1502.750		0.085	0.228
93	1		4.30%		5	3.05	-0.010	1	1	1900	0.939	1.000		1.000	1.000	0.980		0.952	0.952		1584.631		0.059	
346			11.56%	8.96%	7	5.05	-0.010		1		0.939	0.999	0.999	1.000	1.000	0.972	1				1649.083	2670.637	0.126	0.185
340			11.50%	0.90%	6	3.05	-0.010		1		0.939	0.999	0.999	1.000	1.000	0.976	1				1655.869	20/0.03/	0.083	
63		1	1.59%		1	5.05	-0.010		1		0.939	1.000		1.000	1.000	0.996				0.850	1437.763		0.044	0.127
86	1		0%		2	2.50	-0.011	1	1		0.989	1.000		1.000	1.000	0.992		0.952	0.952		1690.180		0.051	
375			0%	3.37%	7	3.50	-0.011		1		0.989	1.000	1.000	1.000	1.000	0.972	1				1738.909	2880.864	0.110	0.161
3/3			0/0	3.37/0	4	3.60	-0.011		1		1.000	1.000	1.000	1.000	1.000	0.984	1				1779.956	2000.004	0.103	
133		1	0%		2	3.00	-0.011		1	1900	1.000	1.000		1.000	1.000	0.992				0.850	1525.263		0.087	0.191
95	1		0%		4	3.42	0.011	1	1	1300	0.980	1.000		1.000	1.000	0.984		0.952	0.952		1661.111		0.057	
462			0.87%	2.57%	5	3.42	0.011		T		0.980	1.000	1.000	1.000	1.000	0.980	1				1736.926	2892.489	0.140	0.197
402			0.67%	2.3770	3	2.00	0.011		1		1.000	1.000	1.000	1.000	1.000	0.988	1				1786.842	2032.489	0.123	
65		1	8%		0	3.60	0.011		1		1.000	0.999		1.000	1.000	1.000				0.850	1536.215		0.042	0.165

3.6.20. Flujo de saturación de la intersección 13: Av. Leopoldo Freire y 9 de Octubre.

Tabla 22: Intersección 13. Flujo de saturación.

VOLUMEN POR GRUPO	PLT	PRT	% DE PESADOS /CARRRIL	% DE PESADOS/ GRUPO DE CARRIL	BUSES/	ANCHO DE CARRIL	GRADIE NTE	GRUPO	N	So	fw	Fhv	Fhv/ grupo de carril	fg	fp	fbb	fa	flu	Flt	FRT	Fsat / Movimien tos	Fsat total (S)	Yi/Mov imiento s	I Yi/ I
135	1		2,96%		15	3,5	0,11%	1	1		0,989	1,000		1,000	1,000	0,940		0,952	0,952		1601,011		0,084	0,084
				3,64%	10	3,5	0,11%				0,989	1,000		1,000	1,000	0,960	1,000				1716,488	2848,925	0,066	
202			4,95%	3,0470	4	3,5	0,11%		1		0,989	1,000		1,000	1,000	0,984	1,000				1759,400	2040,323	0,051	<u> </u>
75		1	1,33%		0	3,5	0,11%			1900	0,989	1,000	1,000	1,000	1,000	1,000				0,850	1520,357		0,049	0,166
212	1		9,43%		18	3,6	-0,12%	1	1	1900	1,000	0,999		1,000	1,000	0,928		0,952	0,952		1597,138		0,133	0,133
				9,08%	4	3,6	-0,12%		_		1,000	0,999		1,000	1,000	0,984	1,000				1778,966	2820,563	0,081	
256			5,08%	3,0070	9	3,6	-0,12%		1		1,000	0,999		1,000	1,000	0,964	1,000				1742,809	2020,303	0,064	
215		1	13,49%		28	3,6	-0,12%				1,000	0,999	0,999	1,000	1,000	0,888				0,850	1363,451		0,158	0,303
121	1		9,92%		5	3,42	-0,26%	1			0,98	0,9990		1,000	1	0,98		0,952	0,9524		1652,8314		0,0732	
				7,78%	0	3,42	-0,26%		1		0,98	0,9990		1,000	1	1	1				1770,9401	2943,852	0,0248	0,0981
83			9,64%	7,70/0	0	3,65	-0,26%				1,006	0,9990		1,000	1	1	1				1817,9242	2545,052	0,0215	,
143		1	4,90%		15	3,65	-0,26%		1	1000	1,006	0,9995	0,9992	1,000	1	0,94				0,85	1453,2101		0,0984	0,1199
136	1		11,03%		26	3,45	0,21%	1		1900	0,983	0,9989		1,000	1	0,896		0,952	0,9524		1515,5821		0,0897	
				6 270/	28	3,45	0,21%		1		0,983	0,9993		1,000	1	0,888	1				1577,8575	2622.076	0,1128	0,2025
305			6,56%	6,37%	25	3,6	0,21%				1	0,9993		1,000	1	0,9	1				1626,8361	2633,976	0,0781	
156		1	1,92%		15	3,6	0,21%		1		1	0,9998	0,9994	1,000	1	0,94				0,85	1444,9382		0,1080	0,1860

3.6.21. Flujo de saturación de la intersección 14: Av. Costa Rica y Av. 9 de Octubre.

Tabla 23: Intersección 14. Flujo de saturación.

VOLUMEN POR GRUPO	PLT	PRT	% DE PESADOS /CARRRIL	I / GRUPO	CARRII	ANCHO DE CARRIL	GRADIENTE	GRUPO	N	So	fw	Fhv	Fhv/ grupo de carril	fg	fp	fbb	fa	flu	Flt	FRT	Fsat / Movimientos	Fsat total (S)	Yi/ Movimientos	Yi/ Carril
98	1		34,69%		6	3,6	-0,54%	1	1		1,000	0,9965		1,000	1	0,976		0,952	0,9524		1675,554913		0,0585	
					0	3,6	-0,54%		1	1900	1	0,9975		1,000	1	1					1804,309694		0,0460	0,1045
159			25,16%		0	3,6	-0,54%		1	1300	1	0,9975		1,000	1	1					1804,309694		0,0421	
90		1	30,00%	29,11%	9	3,6	-0,54%		1		1	0,9970	0,9971	1,000	1	0,964	1			0,85	1477,737525	2920,11	0,0609	0,1030
					=								-									-		
72	1		8,33%		6	3,43	0,88%	1			0,981	0,9992		1,000	1	0,976		0,952	0,9524		1647,931687		0,0437	
					23	3,43	0,88%		1		0,981	0,9990		1,000	1	0,908					1609,563593		0,1255	0,1692
436			9,63%		34	3,6	0,88%				1	0,9990		1,000	1	0,864					1561,230499		0,1499	
256		1	13,67%	10,86%	2	3,6	0,88%		1	1900	1	0,9986	0,99891	1,000	1	0,992	1			0,85	1523,030783	2656,11	0,1681	0,3180
217	1		11,52%		15	3,45	0,25%	1		1300	0,983	0,9988		1,000	1	0,94		0,952	0,9524		1589,926843		0,1365	
					15	3,45	0,25%		1		0,983	0,9978		1,000	1	0,94					1667,68571		0,0114	0,1479
123			21,95%		1	3,6	0,25%				1	0,9978		1,000	1	0,996					1797,596337		0,0579	
39	·	1	0,00%	13,72%	4	3,6	0,25%		1		1	1,0000	0,99863	1,000	1	0,984	1			0,85	1512,861409	2906,41	0,0258	0,0836

3.6.22. Flujo de saturación de la intersección 15: Av. Celso Rodríguez y Av. Edelberto Bonilla.

Tabla 24: Intersección 15. Flujo de saturación.

VOLUMEN POR GRUPO	PLT	PRT	% DE PESADOS /CARRRIL	% DE PESADOS/ GRUPO DE CARRIL	BUSES/	ANCHO DE CARRIL	GRADIENTE	GRUPO	N	So	fw	Fhv	Fhv/ grupo de carril	fg	fp	fbb	fa	flu	Flt	FRT	Fsat / Movimient os	Fsat total (S)	Yi/ Movimientos	Yi/ Carril
166	1		1,81%		10	3,5	-0,24%	1	1		0,989	0,9998		1,000012	1	0,96		0,952	0,9524		1635,29273		0,1015	
				3,19%	0	3,5	-0,24%		1		0,989	0,9994		1,000012	1	1					1787,85196	2895,43015	0,0039	0,1054
50			6,00%	3,1970	4	3,5	-0,24%		1		0,989	0,9994		1,000012	1	0,984					1759,24632	2093,43013	0,0244	
66		1	4,55%		2	3,5	-0,24%		1	1900	0,989	0,9995	0,9997	1,000012	1	0,992	1			0,85	1507,73594		0,0438	0,0682
	0,25				0	3,6	1,58%	1			1,000	0,9983		0,999921	1	1		1	0,9877		1873,27284		0,0128	
96				16,67%	2	3,6	1,58%		1		1	1,0000		0,999921	1	0,992					1884,6511	1782,50341	0,0228	
		0,3021	16,67%		0	3,6	1,58%				1	1,0000	0,9983	0,999921	1	1	1			0,959	1822,37165		0,0159	0,0515
							-																	
86	1		3,49%		13	3,4	0,50%	1			0,978	0,9997		0,999975	1	0,948		0,952	0,9524		1596,56319		0,0539	
				7.420/	3	3,4	0,50%		1		0,978	0,9992		0,999975	1	0,988					1746,3849	2004 47424	0,2044	0,2583
634			7,73%	7,43%	1	3,6	0,50%				1	0,9992		0,999975	1	0,996					1800,12849	2891,17131	0,1539	
34		1	11,76%		1	3,6	0,50%		1	4000	1	0,9988	0,9993	0,999975	1	0,996	1			0,85	1529,49239		0,0222	0,1761
138	1		7,25%		5	3,45	0,72%	1		1900	0,983	0,9993		0,999964	1	0,98		0,952	0,9524		1658,25233		0,0832	
				10.110	2	3,45	0,72%		1			0,9989		0,999964	1	0,992					1761,87736	2000 00404	0,1374	0,2206
486			10,70%	10,11%	3	3,6	0,72%				1	0,9989		0,999964	1	0,988					1785,12006	2890,36494	0,1367	
19		1	15,79%		0	3,6	0,72%		1		1	0,9984	0,9990	0,999964	1	1	1			0,85			0,0124	0,1491

3.6.23. Flujo de saturación de la intersección 16: Av. Edelberto Bonilla y Av. Araujo Chiriboga.

Tabla 25: Intersección 16. Flujo de saturación.

VOLUMEN POR GRUPO		PRT	% DE PESADOS /CARRRIL	I / GRUPO	BUSES/	ANCHO DE CARRIL	GRADIENTE	GRUPO	N	So	fw	Fhv	Fhv/ grupo de carril	fg	fp	fbb	fa	flu	Flt	FRT	Fsat / Movimi entos	Fsat total (S)	Yi/Movimie ntos	Yi/ Carril
77	1		15,58%		0	3,22	7,37%	1	1		0,96	1,00		1,00	1,00	1,00		0,95	0,95		1647,14		0,0467	0,3735
980			6,22%	6,90%	6	3,22	7,37%		1		0,96	1,00	0,99931	1,00	1,00	0,98	1,00				1689,57	2875,703	0,3267	0,3733
				0,5070	0	3,45	7,37%		1		0,98	1,00	0,55551	1,00	1,00	1,00	1,00				1776,29	2073,703	0,2410	0,2800
59		1	6,78%		0	3,45	7,37%		1	1900	0,98	1,00		1,00	1,00	1,00				0,85	1509,76		0,0391	0,2000
8	1		0,00%		0	3,43	-0,69%	1	1	1300	0,98	1,00		1,00	1,00	1,00		0,95	0,95		1689,99		0,0047	0,2570
813			4,31%	4,30%	7	3,43	-0,69%		1		0,98	1,00	0,99957	1,00	1,00	0,97	1,00				1724,07	2845,41	0,2523	0,2370
				4,30%	9	3,6	-0,69%		1	-	1,00	1,00	0,99957	1,00	1,00	0,96	1,00				1742,99	2045,41	0,2169	0 2270
17		1	5,88%		0	3,6	-0,69%		1		1,00	1,00		1,00	1,00	1,00				0,85	1536,63		0,0111	0,2279
93	0,23		0,00%		0	3,6	-0,11%	1			1,00	1,00		1,00	1,00	1,00		1,00	0,99		1878,80		0,0112	
			0,00%	5,38%	0	3,6	-0,11%		1	1900	1,00	1,00	0,99946	1,00	1,00	1,00	1,00				1900,01	1741,498	0,0116	0,0513
		0,54	10,00%		1	3,6	-0,11%				1,00	1,00		1,00	1,00	1,00				0,93	1753,30		0,0285	

3.6.24. Flujo de saturación de la intersección 18: Av. Edelberto Bonilla y Av. Antonio José de Sucre.

Tabla 26: Intersección 18. Flujo de saturación.

VOLUMEN POR GRUPO	PLT	PRT	% DE PESADOS /CARRRIL	GRUPO DE	N° DE BUSES/ CARRIL	ANCHO DE CARRIL	GRADIENTE	GRUPO	N	So	fw	Fhv	Fhv/ grupo de carril	fg	fp	fbb	fa	flu	Flt	FRT	Fsat / Movimien tos	Fsat total (S)	Yi/ Movimientos	Yi/ Carril
	0,2698		0,00%		0	4,3	3,54%	1			1,078	1,0000		0,9998	1	1		1	0,9867		2020,5757		0,0084	
			5,56%	3,17%	0	4,3	3,54%		1		1,078	0,9994	0,9997	0,9998	1	1	1				2046,7004	1976,65	0,0176	0,0313
63		0,159	0,00%		0	3,8	3,54%				1,022	1,0000		0,9998	1	1				0,979	1899,8537		0,0053	
211	1		18,96%		5	4,5	0,88%	1		1900	1,100	0,9981		1,0000	1	0,98		0,952	0,9524		1853,4393		0,1138	0,1213
				24,03%	0	4	0,88%		1		1,044	0,9970	0,9976	1,0000	1	1	1				1882,5929	3049,9265	0,0074	0,1213
89			30,34%	24,03/0	0	3,8	0,88%				1,022	0,9970	0,3370	1,0000	1	1	1				1842,9214	3049,3203	0,0407	0,1475
162		1	27,16%		8	3,8	0,88%		1		1,022	0,9973		1,0000	1	0,968				0,85	1516,8361		0,1068	0,1473
174	1		4,60%		9	3,8	2,84%	1			1,022	0,9995		0,9999	1	0,964		0,952	0,9524		1696,1641		0,1026	0,2917
				1,82%	9	3,8	2,84%		1		1,022	0,9999	0,9998	0,9999	1	0,964	1				1781,6109	2991,9928	0,1892	0,2917
593			1,01%	1,0270	0	3,8	2,84%				1,022	0,9999	0,9996	0,9999	1	1	1				1848,1441	2331,3320	0,1385	0 1 / 1 1
4		1	0,00%		1	3,8	2,84%		1	1000	1,022	1,0000		0,9999	1	0,996				0,85	1564,7971		0,0026	0,1411
249	1		19,28%		18	4,2	-5,85%	1		1900	1,067	0,9981		1,0003	1	0,928		0,952	0,9524		1702,9593		0,1462	0,2741
				12 100/	26	4,2	-5,85%		1		1,067	0,9992	0.0000	1,0003	1	0,896	1				1728,3494	2707 1002	0,1279	0,2741
545			8,26%	12,16%	34	4,2	-5,85%				1,067	0,9992	0,9988	1,0003	1	0,864	1				1666,6227	2797,1893	0,1944	0.2070
160		1	14,38%		12	4,2	-5,85%		1		1,067	0,9986		1,0003	1	0,952				0,85	1559,962		0,1026	0,2970

3.6.25. Flujo de saturación de la intersección 20: Av. Héroes de Tapi y Calle Brasil.

Tabla 27: Intersección 20. Flujo de saturación.

VOLUMEN POR GRUPO	PLT	PRT	/CARRRIL	% DE PESADOS/ GRUPO DE CARRIL	BUSES/		GRADIENTE	GRUPO	N	So	fw	Fhv	Fhv/ grupo de carril	fg	fp	fbb	fa	flu	Flt	FRT	Fsat / Movimientos	Fsat total (S)	Yi/ Movimientos	Yi/ Carril
0	0		0,00%		0	4,3	0,96%	1	1		1,078	1,0000		0,99995	1	1		0,952	1,0000		1949,792805		0,0000	0,2409
589			4,24%	3,69%	12	4,3	0,96%		1		1,078	0,9996	99,96%	0,99995	1	0,952	1				1855,415223	3141,2979	0,2409	0,2409
303			4,24/0	3,0970	0	3,8	0,96%		1		1,022	0,9996	33,30/0	0,99995	1	1	1				1847,720606	3141,2373	0,0769	0,1880
169		1	1,78%		8	3,8	0,96%		1	1000	1,022	0,9998		0,99995	1	0,968				0,85	1520,679862		0,1111	0,1000
70	0		0,00%		2	4,5	-1,92%	1	1	1900	1,100	1,0000		1,0001	1	0,992		0,952	1,0000		1973,952041		0,0355	0,2762
790			2,41%	2,20%	8	4	-1,92%		1		1,044	0,9998	99,98%	1,0001	1	0,968	1				1827,694721	3107,1434	0,2407	0,2702
790			2,4170	2,2070	10	3,8	-1,92%		1		1,022	0,9998	33,36%	1,0001	1	0,96	1				1774,39347	3107,1434	0,1973	0,1985
2		1	0,00%		0	3,8	-1,92%		1		1,022	1,0000		1,0001	1	1				0,85	1571,455405		0,0013	0,1963
					-								•											
	0,357		0,00%		0	4,2	0,33%	1			1,067	1,0000		0,99998	1	1		0,952	0,9825		1896,098847		0,0158	
84			0,00%	1,19%	0	4,2	0,33%		1	1900	1,067	1,0000	99,99%	0,99998	1	1	1				1929,957755	1713,0568	0,0000	0,0473
		0,643	1,85%		4	4,2	0,33%				1,067	0,9998		0,99998	1	0,984				0,904	1715,635301		0,0315	

3.6.26. Flujo de saturación de la intersección 22: Av. Lizarzaburu y Av. La Prensa.

Tabla 28: Intersección 22. Flujo de saturación.

VOLUMEN POR GRUPO	PLT	PRT	% DE PESADOS /CARRRIL	% DE PESADOS/ GRUPO DE CARRIL	N° DE BUSES/ CARRIL	ANCHO DE CARRIL	GRADIENTE	GRUPO	N	So	fw	Fhv	Fhv/ grupo de carril	fg	fp	fbb	fa	flu	Flt	FRT	Fsat / Movimientos	Fsat total (S)	Yi/ Movimientos	Yi/ Carril
328	1		2,74%		0	4,3	1,27%	1	1		1,078	0,9997		0,999937	1	1		0,952	0,9524		1856,407365		0,1767	0.1000
60			6,67%	3,05%	0	4,3	1,27%		1		1,078	0,9993	0,9997	0,999937	1	1	1				1948,463606	3155,7967	0,0123	0,1890
00			0,07%	3,05%	0	3,8	1,27%		1	Ĩ	1,022	0,9993	0,9997	0,999937	1	1	1				1847,244718	5155,7907	0,0195	0,1067
137		1	2,19%		0	3,8	1,27%		1	1900	1,022	0,9998		0,999937	1	1				0,85	1570,860798		0,0872	0,1067
136	1		0,00%		12	4,5	0,94%	1	1	1900	1,100	1,0000		0,999953	1	0,952		0,952	0,9524		1803,891746		0,0754	0,1004
77			5,19%	1,67%	6	4	0,94%		1		1,044	0,9995	0,9998	0,999953	1	0,976	1				1842,022388	3030,7074	0,0250	0,1004
			3,1370	1,0770	2	3,8	0,94%		1		1,022	0,9995	0,3336	0,999953	1	0,992	1				1832,766576	3030,7074	0,0169	0,0341
27		1	0,00%		0	3,8	0,94%		1		1,022	1,0000		0,999953	1	1				0,85	1571,230709		0,0172	0,0341
49	1		0,00%		0	3,8	2,01%	1	1		1,022	1,0000		0,9999	1	1		0,952	0,9524		1760,388397		0,0278	0,1867
518			3,67%	4,34%	3	3,8	2,01%		1		1,022	0,9996	0,9996	0,9999	1	0,988	1				1825,557317	2991,3628	0,1589	0,1007
310			3,0770	4,34/0	0	3,8	2,01%		1		1,022	0,9996	0,3330	0,9999	1	1	1				1847,730078	2331,3026	0,1234	0,2909
263		1	6,46%		0	3,8	2,01%		1	1900	1,022	0,9994		0,9999	1	1				0,85	1570,13173		0,1675	0,2303
105	1		0,00%		3	4,2	0,89%	1	1	1300	1,067	1,0000		0,999956	1	0,988		0,952	0,9524		1815,947496		0,0578	0,2205
476			0,42%	0,46%	27	4,2	0,89%		1		1,067	1,0000	1.0000	0,999956	1	0,892	1				1721,401786	2936,8713	0,1627	0,2203
4/0			0,4270	0,40%	15	4,2	0,89%		1		1,067	1,0000	1,0000	0,999956	1	0,94	1				1814,033273	2330,0/13	0,1080	0,1538
72		1	1,39%		10	4,2	0,89%		1		1,067	0,9999		0,999956	1	0,96				0,85	1574,58274		0,0457	0,1336

3.6.27. Flujo de saturación de la intersección 23: Av. Lizarzaburu y Calle Agustín Torres.

Tabla 29: Intersección 23. Flujo de saturación.

VOLUMEN POR GRUPO	PLT		% DE PESADOS /CARRRIL	% DE PESADOS/ GRUPO DE CARRIL	N° DE BUSES/ CARRIL	ANCHO DE CARRIL	GRADIENTE	GRUPO	N	So	fw	Fhv	Fhv/ grupo de carril	fg	fp	fbb	fa	flu	Flt	FRT	Fsat / Movimientos	Fsat total (S)	Yi/ Movimientos	Yi/ Carril
34	1		8,82%		1	4,3	3,40%	1	1		1,078	0,9991		1,000	1	0,996		0,952	0,9524		1847,661805		0,0184	0,0184
751			1,46%	1.78%	1	4,3	3,40%		1		1,078	0,9999	0,9998	1,000	1	0,996	1				1941,47233	3155,8609	0,2112	
731			1,40/0	1,70/0	0	3,8	3,40%		1		1,022	0,9999	0,3330	1,000	1	1	1				1848,008659	3133,6003	0,1845	0,3970
2		1	0,00%		0	3,8	3,40%		1	1900	1,022	1,0000		1,000	1	1				0,85	1571,037438		0,0013	
89	1		11,24%		0	4,5	-5,83%	1	1	1900	1,100	0,9989		1,000	1	1		0,952	0,9524		1893,358337		0,0470	0,0470
836			3,59%	4,56%	6	4	-5,83%		1		1,044	0,9996	0,9995	1,000	1	0,976	1				1842,941818	3044,6588	0,2350	ļ
030			3,3370	4,3070	1	3,8	-5,83%		1		1,022	0,9996	0,3333	1,000	1	0,996	1				1841,075262	3044,0366	0,2189	0,4933
62		1	8,06%		0	3,8	-5,83%		1		1,022	0,9992		1,000	1	1				0,85	1570,496066		0,0395	
	0,6462		1,19%		0	3,8	-0,11%	1			1,022	0,9999		1,000	1	1		0,952	0,9687		1790,535647		0,0469	ļ
130			0,00%	3,85%	0	3,8	-0,11%		1		1,022	1,0000	0,9996	1,000	1	1	1				1848,603767	1701,2458	0,0016	0,0730
		0,3308	9,30%		0	3,8	-0,11%			1900	1,022	0,9991		1,000	1	1				0,95	1755,251788		0,0245	
	0,0918		0,00%		0	4,2	7,42%	1		1300	1,067	1,0000		1,000	1	1		0,952	0,9954		1920,455157		0,0047	
98			0,00%	0,00%	0	4,2	7,42%		1		1,067	1,0000	1,0000	1,000	1	1	1				1929,273574	1667,6605	0,0016	0,0576
		0,8776	0,00%		0	4,2	7,42%				1,067	1,0000		1,000	1	1				0,868	1675,318175		0,0513	

3.6.28. Flujo de saturación de la intersección 24: Av. Lizarzaburu y Av Saint Amont Montread.

Tabla 30: Intersección 24. Flujo de saturación

VOLUMEN POR GRUPO	PLT	PRT	% DE PESADOS /CARRRIL	% DE PESADOS/ GRUPO DE CARRIL	BUSES/		GRADIENTE	GRUPO	N	So	fw	Fhv	Fhv/ grupo de carril	fg	fp	fbb	fa	flu	Flt	FRT	Fsat / Movimientos	Fsat total (S)	Yi/ Movimientos	Yi/ Carril
10	1		0,00%		0	4,3	0,87%	1	1		1,078	1,0000		0,99996	1	1		0,952	0,9524		1856,953886		0,0054	0,0054
776			1,42%	1,26%	1	4,3	0,87%		1		1,078	0,9999	0.9999	0,99996	1	0,996	1				1941,727129	2156 /2/	0,2266	
770			1,42/0	1,20/0	0	3,8	0,87%		1		1,022	0,9999	0,3333	0,99996	1	1	1				1848,251192	3130,424	0,1818	0,5258
166		1	0,60%		25	3,8	0,87%		1	1900	1,022	0,9999		0,99996	1	0,9				0,85	1414,027405		0,1174	
106	1		1,89%		0	4,5	-2,47%	1	1	1900	1,100	0,9998		1,00012	1	1		0,952	0,9524		1894,809846		0,0559	0,0559
848			2,48%	2,84%	0	4	-2,47%		1		1,044	0,9998	0,9997	1,00012	1	1	1				1888,152831	3056,897	0,2320	
040			2,40/0	2,04/0	1	3,8	-2,47%		1		1,022	0,9998	0,9997	1,00012	1	0,996	1				1840,970713	3030,637	0,2227	0,4744
31		1	16,13%		0	3,8	-2,47%		1		1,022	0,9984		1,00012	1	1				0,85	1568,968023		0,0198	
	0,552		4,40%		0	3,8	1,75%	1			1,022	0,9996		0,99991	1	1		0,952	0,9732		1798,037462		0,0506	
165			6,56%	4,85%	8	3,8	1,75%		1		1,022	0,9993	0,9995	0,99991	1	0,968	1				1788,109498	1719,853	0,0341	0,0918
		0,079	0,00%		0	3,8	1,75%				1,022	1,0000		0,99991	1	1				0,988	1826,586744		0,0071	i
90	1		2,22%		16	4,2	1,87%	1	1	1900	1,067	0,9998		0,99991	1	0,936		0,952	0,9524		1719,904809		0,0523	0.0720
37			10 010/	4 760/	6	4,2	1,87%		1		1,067	0,9989	0.9995	0,99991	1	0,976	1				1881,459716	2122 000	0,0197	0,0720
3/			10,81%	4,76%	0	4,2	1,87%		1		1,067	0,9989	0,3995	0,99991	1	1	1				1927,725119	3122,966	0,0000	0.0354
41		1	4,88%		1	4,2	1,87%				1,067	0,9995		0,99991	1	0,996				0,85	1632,979847		0,0251	0,0251

3.6.29. Flujo de saturación de la intersección 25: Av. Lizarzaburu y Av 11 de Noviembre.

Tabla 31: Intersección 25. Flujo de saturación.

VOLUMEN POR GRUPO	PLT	PRT	PFSADOS	% DE PESADOS/ GRUPO DE CARRIL	BUSES/		GRADIENTE	GRUPO	N	So	fw	Fhv	Fhv/ grupo de carril	fg	fp	fbb	fa	flu	Flt	FRT	Fsat / Movimientos	Fsat total (S)	Yi/ Movimientos	Yi/ Carril
13	1		0,00%		1	4,3	1,82%	1	1		1,078	1,000		1,000	1,000	0,996		0,952	0,952		1849,438		0,007	0,161
622			4,82%	4,85%	8	4,3	1,82%		1		1,078	1,000	1,000	1,000	1,000	0,968	1,000				1886,408	2763,905	0,154	0,101
022			4,02/0	4,03/0	19	3,8	1,82%		1		1,022	1,000	1,000	1,000	1,000	0,924	1,000				1707,122	2703,303	0,194	0,250
87		1	5,75%		1	3,8	1,82%		1	1900	1,022	0,999		1,000	1,000	0,996				0,850	1563,978		0,056	0,230
72	1		16,67%		1	4,5	1,78%	1	1	1900	1,100	0,998		1,000	1,000	0,996		0,952	0,952		1884,046		0,038	0,278
756			4,10%	4,81%	10	4	1,78%				1,044	1,000	1,000	1,000	1,000	0,960	1,000				1811,947	2933,421	0,240	0,276
730			4,10/0	4,01/0	16	3,8	1,78%		1		1,022	1,000	1,000	1,000	1,000	0,936	1,000				1729,420	2333,421	0,186	0,228
66		1	0,00%		2	3,8	1,78%		1		1,022	1,000		1,000	1,000	0,992				0,850	1558,595		0,042	0,220
79	1		0,00%		2	3,8	0,12%	1	1		1,022	1,000		1,000	1,000	0,992		0,952	0,952		1746,470		0,045	0,092
117			0,00%	0,00%	1	3,8	0,12%		1		1,022	1,000	1,000	1,000	1,000	0,996	1,000				1841,188	2992,943	0,047	0,092
11/			0,00%	0,00%	0	3,8	0,12%		1		1,022	1,000	1,000	1,000	1,000	1,000	1,000				1848,583	2332,343	0,017	0,022
8		1	0,00%		0	3,8	0,12%		1	1900	1,022	1,000		1,000	1,000	1,000				0,850	1571,295		0,005	0,022
286	1		3,85%		4	4,2	0,12%	1	1	1900	1,067	1,000		1,000	1,000	0,984		0,952	0,952		1807,970		0,158	0.100
165			2,42%	2 059/	3	4,2	0,12%		1		1,067	1,000	1,000	1,000	1,000	0,988	1,000				1906,356	3123,492	0,041	0,199
103			2,4270	3,95%	0	4,2	0,12%		1		1,067	1,000	1,000	1,000	1,000	1,000	1,000				1929,510	3123,492	0,045	0.070
55		1	9,09%		0	4,2	0,12%		1		1,067	0,999		1,000	1,000	1,000				0,850	1638,991		0,034	0,079

Determinación de niveles de servicio actual.- en este estudio los niveles de servicios en las intersecciones semaforizadas son las siguientes:

Tabla 32: Niveles de servicio actuales.

INTERSECCIONES SEMAFORIZADAS	NIVEL DE SERVICIO
AV. LIZARZABURU Y AV. BY PASS	F
AV. BY PASS Y CALLE SERGIO QUIROLA	А
AV. BY PASS Y AV. CANONIGO RAMOS	D
AV. BY PASS Y AV. PEDRO VICENTE MALDONADO	E
AV.PEDRO VICENTE MALDONADO Y CALLE JOSÉ DE ARAUJO	E
AV. PEDRO VICENTE MALDONADO Y CALLE JOSÉ PERALTA	D
AV. PEDRO VICENTE MALDONADO Y AV. 11 DE NOVIEMBRE	F
AV. PEDRO VICENTE MADONADO Y AV. SAINT AMONT MONTREAD	В
AV, PEDRO VICENTE MALDONADO Y AV. 9 DE OCTUBRE	С
AV. 9 DE OCTUBRE Y CALLE S/N	D
AV. 9 DE OCTUBRE Y CALLE CARABOBO	F
AV. 9 DE OCTUBRE Y AV. JUAN FÉLIX PROAÑO	F
AV. 9 DE OCTUBRE Y AV. LEOPOLDO FREIRE	D
AV. 9 DE OCTUBRE Y AV. COSTA RICA	Е
AV. CELSO RODRÍGUEZ Y AV. EDELBERTO BONILLA OLEAS	E
AV. EDELBERTO BONILLA OLEAS Y AV. ARAUJO CHIRIBOGA	F
AV. EDELBERTO BONILLA OLEAS Y AV. ANTONIO JOSÉ DE SUCRE	E
AV. HÉROES DE TAPI Y CALLE BRASIL	С
AV. LIZARZABURU Y AV. LA PRENSA	E
AV. LIZARZABURU Y CALLE AGUSTÍN TORRES	С
AV. LIZARZABURU Y AV. SAINT AMONT MONTREAD	F
AV. LIZARZABURU Y AV. 11 DE NOVIEMBRE	F

3.6.30. Cálculo teórico de los tiempos de ciclo óptimos para las intersecciones semaforizadas.

Para el cálculo de los tiempos de los ciclos óptimos debemos utilizar los valores encontrados de flujos de saturación (Yi) de cada una de las intersecciones donde se utiliza la siguiente ecuación.

Ecuación 40: Cálculo del ciclo óptimo.

$$C_o = \frac{1.5 * L + 5}{1 - \int_{i=1}^{\emptyset} Yi}$$

Donde:

 C_o =Ciclo óptimo, seg.

L= Tiempo perdido en la fase.

Yi= Razones de flujo i.

El tiempo de ciclo óptimo dará la demora mínima de los movimientos en los vehículos. La demora no se incrementara mucho si el tiempo está dentro del ciclo límite. Los valores del ciclo óptimo deben ser redondeados a múltiplos de cinco.

3.6.31. Cálculo del tiempo del ciclo de verde.

El tiempo efectivo de verde es el tiempo utilizado efectivamente por los vehículos para realizar los movimientos. El verde efectivo (G) está dada por la siguiente ecuación:

Ecuación 41: Verde efectivo.

$$G = \frac{Yi}{\underset{i=1}{\emptyset} Yi * C_o - L}$$

Donde:

G=Tiempo de verde efectivo, seg.

L= Tiempo perdido en la fase.

Yi= Razones de flujo i.

 C_o =Ciclo óptimo, seg.

Aplicando esta fórmula obtenemos un tiempo de verde efectivo para cada aproximación de la intersección, esto va a depender del número de fases propuestas.

3.6.32. Asignación del tiempo de luz roja.

Una vez ya obtenido los valores del ciclo óptimo, luz ambar y luz verde, podemos encontrar el tiempo de luz roja para cada aproximación de la intersección la cual está dada por la siguiente expresión:

Ecuación 42: Luz roja.

$$LR = C_o - L - Gi$$

Donde:

LR= Luz roja, seg.

Gi=Tiempo de verde efectivo i, seg.

L= Tiempo perdido en la fase.

 C_o =Ciclo óptimo, seg.

Este cálculo se debe realizar para cada una de las aproximaciones de la intersección.

3.6.33. Cálculo del ciclo óptimo (Co).

Obtención de la razón de Flujo Crítico (Ycr).

Escogemos el máximo valor de Yi/carril de cada aproximación.

$$Ycr = 0.217$$

Tiempo entre verde (l) segundos.

$$l = 3seg.$$

Tiempo perdido (L) segundos.

L = l * # fases semaf'oricas

$$L = 3 * 4$$

$$L = 12$$

Ciclo Óptimo (Co) segundos.

$$Yi = \frac{1.5 * L + 5}{1 - \int_{i=1}^{\emptyset} Yi}$$

$$Yi = \frac{1.5 * 12 + 5}{1 - (0.217 + 0.224 + 0.148 + 0.242)}$$

$$Yi = 136.57 seg$$

Cálculo del tiempo entre verde (gi) segundos.

Redondeamos el Co=135seg.

$$gi = \frac{Yi}{\sum_{i=1}^{\emptyset} Yi} * (Co - L)$$

$$gi = \frac{0.217}{0.217 + 0.224 + 0.148 + 0.242} * (135 - 12)$$

$$gi = 32.081seg.$$

Capacidad de grupo (C)

$$C = S * \left(\frac{G}{Co}\right)$$

$$C = 2845 * \left(\frac{23}{101}\right)$$

$$C = 648$$

Relación volumen capacidad X

$$X = \frac{volumen\ vehicular\ (v)}{capacidad\ del\ grupo\ de\ carril\ (C)}$$

$$X = \frac{656}{648}$$

$$X = 1.013$$

Flujo crítico de la intersección (Yc).

$$Y_c = Yi$$

$$Y_c = 0.231 + 0.284 + 0.171 + 0272$$

$$Y_c = 0.958$$

Volumen relacionado con la capacidad de la intersección Xc.

$$X_c = \frac{\frac{v}{S} * Co}{Co - L}$$
$$X_c = \frac{0.958 * 101}{101 - 12}$$
$$X_c = 1.087$$

Retraso uniforme d1 (seg/veh)

$$d_{1} = \frac{0.50 * Co(1 - \frac{G}{C0})^{2}}{1 - min \ 1, X * G/Co}$$

$$d_{1} = \frac{0.50 * 101 * (1 - 0.228)^{2}}{1 - min \ 1; 1.013 * 0.228}$$

$$d_{1} = 39seg/veh$$

Incremento de retraso d2 (seg/veh)

$$d_2 = 900 * T \quad X - 1 + (X - 1)^2 + \frac{8 * K * I * X}{C * T}$$

$$d_2 = 900 * 0.25 1.013 - 1 + (1.013 - 1)^2 + \frac{8 * 0.5 * I * 1.013}{648 * 0.25}$$

$$d_2 = 38.513 seg/veh$$

Retraso d (seg/veh)

$$d = d_1 * PF + d_2 + d_3$$

$$d = 39 * 1 + 38.513 + 0$$

 $d = 77.5 seg/veh$

Nivel de servicio de la aproximación sentido Norte-Sur es "E"

Retraso de la intersección d_I

$$d_{I} = \frac{d_{A} * V_{A}}{V_{A}}$$

$$d_{I} = \frac{77.5 * 656 + 162.8 * 832 + 49.8 * 267 + (220.3 * 794)}{656 + 832 + 267 + 794}$$

$$d_{I} = 146.9$$

El nivel de servicio de la intersección es "F"

3.6.34. Determinación de la capacidad y nivel de servicio del rediseño de fases semafóricas.

Una vez obtenidas las nuevas fases procedemos a calcular la capacidad y nivel de servicio que presentan las intersecciones con este nuevo diseño, a continuación se presentan los nuevos niveles de servicios.

Tabla 33: Nivel de servicio del rediseño de fases.

INTERSECCIONES SEMAFORIZADAS	NIVEL DE SERVICIO MEJORADO
AV. LIZARZABURU Y AV. BY PASS	F
AV. BY PASS Y CALLE SERGIO QUIROLA	Α
AV. BY PASS Y AV. CANONIGO RAMOS	С
AV. BY PASS Y AV. PEDRO VICENTE MALDONADO	С
AV.PEDRO VICENTE MALDONADO Y CALLE JOSÉ DE ARAUJO	D
AV. PEDRO VICENTE MALDONADO Y CALLE JOSÉ PERALTA	С
AV. PEDRO VICENTE MALDONADO Y AV. 11 DE NOVIEMBRE	E
AV. PEDRO VICENTE MADONADO Y AV. SAINT AMONT MONTREAD	А

AV. PEDRO VICENTE MALDONADO Y AV. 9 DE OCTUBRE	В
AV. 9 DE OCTUBRE Y CALLE S/N	Α
AV. 9 DE OCTUBRE Y CALLE CARABOBO	D
AV. 9 DE OCTUBRE Y AV. JUAN FÉLIX PROAÑO	E
AV. 9 DE OCTUBRE Y AV. LEOPOLDO FREIRE	D
AV. 9 DE OCTUBRE Y AV. COSTA RICA	В
AV. CELSO RODRÍGUEZ Y AV. EDELBERTO BONILLA OLEAS	С
AV. EDELBERTO BONILLA OLEAS Y AV. ARAUJO CHIRIBOGA	С
AV. EDELBERTO BONILLA OLEAS Y AV. ANTONIO JOSÉ DE SUCRE	D
AV. HÉROES DE TAPI Y CALLE BRASIL	В
AV. LIZARZABURU Y AV. LA PRENSA	D
AV. LIZARZABURU Y CALLE AGUSTÍN TORRES	С
AV. LIZARZABURU Y AV. SAINT AMONT MONTREAD	В
AV. LIZARZABURU Y AV. 11 DE NOVIEMBRE	E

Fuente: Realizada por los tesistas.

3.6.35. Determinación de la capacidad de servicio y nivel de servicio de una intersección con redondel.

Como en el caso de las intersecciones semaforizadas se realizó un conteo vehicular en cada uno de los redondeles poniendo énfasis en los movimientos que realicen los vehículos al ingresar a esta intersección circulatoria. Para lo cual se dividió por números de brazos y el conteo se realizó en intervalos de 15 minutos durante 12 horas seguidas.

A continuación se presenta la tabla de resumen del conteo vehicular en la hora pico de cada uno de los redondeles existentes en la circunvalación de la ciudad de Riobamba.

Tabla 34: Volumen de tráfico por hora pico de intersecciones con redondeles de la circunvalación.

INTERSECCIONES CON	GIR) DEREC	CHA	GIRO	IZQUIE	ERDO		RECTO		GIF	RO EN "	U"	BRAZOS
REDONDELES	LIVIANOS	BUSES	PESADOS	LIVIANOS	BUSES	PESADOS	LIVIANOS	BUSES	PESADOS	LIVIANOS	BUSES	PESADOS	BRAZU3
AV.EDELBERTO	359	51	50	-	-	-	444	57	58	24	0	2	1
BONILLA OLEAS Y AV.	320	3	27	526	29	28	-	-	-	25	0	0	II
ALFONZO CHÁVEZ	-	-	-	323	4	10	584	4	15	4	0	0	Ш
ALFUNZU CHAVEZ	58	0	0	37	4	4	156	15	5		1	-	IV
AV. ANTONIO JOSÉ DE	8	0	3	322	2	4	232	0	6	0	0	0	1
SUCRE Y AV. HÉROES	176	8	19	5	0	4	394	4	11	4	0	0	II
DE TAPI	196	1	8	356	9	3	611	1	7	5	0	0	Ш
DE TAPI	233	8	16	116	4	4	292	10	17	7	0	0	IV
AV. LA PRENSA Y	-	•	-	17	0	2	611	7	17	8	0	0	I
CALLE GONZALO	12	0	2	79	2	0	-	-	-	0	0	0	II
DÁVALOS	143	2	18	-	-	-	663	10	36	18	0	0	Ш

Fuente: Elaborado por los tesistas, observación de campo, 12 de Septiembre del 2016.

La capacidad de un redondel está dada por la capacidad de cada una de sus aproximaciones (brazos). Depende de factores geométricos, flujo circulante y características de aceptación e brechas los mismos antes descritos influyen en la brecha crítica.

3.6.36. Características geométricas de un redondel.

Para analizar la capacidad de un redondel nosotros debemos conocer las siguientes características geométricas:

- Ancho de entrada (e).
- Ancho medio en aproximación (v).
- Longitud efectiva de ensanchamiento (l).
- Diámetros de la circunferencia inscrita (D).
- Ángulo de entrada φ.
- Radio de entrada (r).

Estos datos debemos obtener para cada brazo que conforma la intersección.

A continuación realizamos el cálculo de las constantes k, S, X_2 , F, M, t_D , F_c .

Estos valores dependen las características geométricas del redondel y son necesarias para determinar su capacidad.

3.6.37. Cálculo de la capacidad.

La capacidad de una aproximación de un redondel está directamente influenciada por los patrones de flujo los cuales son: flujo de entrada, flujo circulante y flujo de salida. Para el cálculo empleamos la siguiente ecuación:

Ecuación 43: Capacidad en redondeles Qe.

$$Q_e = k(F - F_{c*}Q_c)$$

Dándonos así las siguientes capacidades:

Tabla 35: Capacidad de redondeles.

CAPACIDAD(Qe)								
Redondel	Brazo 1	Brazo 2	Brazo 3	Brazo 4				
AV.EDELBERTO BONILLA OLEAS Y AV. ALFONSO CHÁVEZ	1107	1184	1087	674				
AV. ANTONIO JOSÉ DE SUCRE Y AV. HÉROES DE TAPI	1299	1648	1522	1337				
AV. LA PRENSA Y CALLE GONZALO DÁVALOS	2279	1834	2346	-				

Fuente: Realizada por los tesistas.

3.6.38. Cálculo de la demora.

Para el cálculo de la demora en redondeles emplearemos la siguiente fórmula.

Ecuación 44: Cálculo de la demora.

$$D = \frac{3600}{c} + 900 * T \frac{v}{c} - 1 + (\frac{v}{c} - 1)^2 + \frac{\frac{3600}{c} * \frac{v}{c}}{450T}$$

Donde:

c= Capacidad de entrada.

T= Período de análisis para 15minutos 0.25.

v= Volumen de entrada.

3.6.39. Criterio del nivel de servicio para redondeles.

El criterio respecto al nivel de servicio para automotores en redondeles está dada por la tabla 14 que se presenta a continuación.

Tabla 36: Criterios sobre el nivel de servicio para redondeles.

Demora de control	Nivel de servicio	Nivel de servicio
(seg/veh)	$V/c \le 1$	v/c > 1
0-10	A	F
>10-15	В	F
>15-25	С	F
>25-35	D	F
>35-50	E	F
>50	F	F

Fuente: Transportation Research Board, 2010.

El nivel de servicio que prestan las intersecciones con redondel son las siguientes:

Tabla 37: Nivel de servicio.

Redondel	Nivel de servicio
AV.EDELBERTO BONILLA OLEAS Y AV. ALFONSO CHÁVEZ	F
AV. ANTONIO JOSÉ DE SUCRE Y AV. HÉROES DE TAPI	С
AV. LA PRENSA Y CALLE GONZALO DÁVALOS	A

Fuente: Realizado por los tesistas.

3.6.40. SYNCHRO 8.0.

Es una herramienta de software para la simulación microscópica y multimodal de tránsito. La misma que puede simular la situación del tráfico a la perfección, tanto la comparación de operar con distintos tipos de intersecciones como el análisis de implementar medidas de prioridad al transporte público o el impacto de un distinto plan de semaforización.

Este software ofrece una gran flexibilidad en múltiples aspectos: el concepto de arcos y conectores permite que los usuarios modelen geometrías de cualquier tipo, por muy complejas que sean. Las características de conductores y vehículos permiten una parametrización individual. Además, gracias a la gran variedad de interfaces se puede

integrar sin dificultades otros sistemas de control semafórico, gestión del tráfico o modelos de misiones. Cabe recalcar que para el desarrollo de este proyecto utilizaremos el SYNCHRO 8.0

3.6.40.1. Simulación en el SYNCHRO 8.0

Paso 1: Para comenzar con la simulación vamos a importar una imagen extraída de google maps actualizada de la intersección a analizar, esto nos sirve como referencia para poder trazar las calles para la simulación. Seguidamente debemos insertar la escala a la que copiamos nuestra imagen.

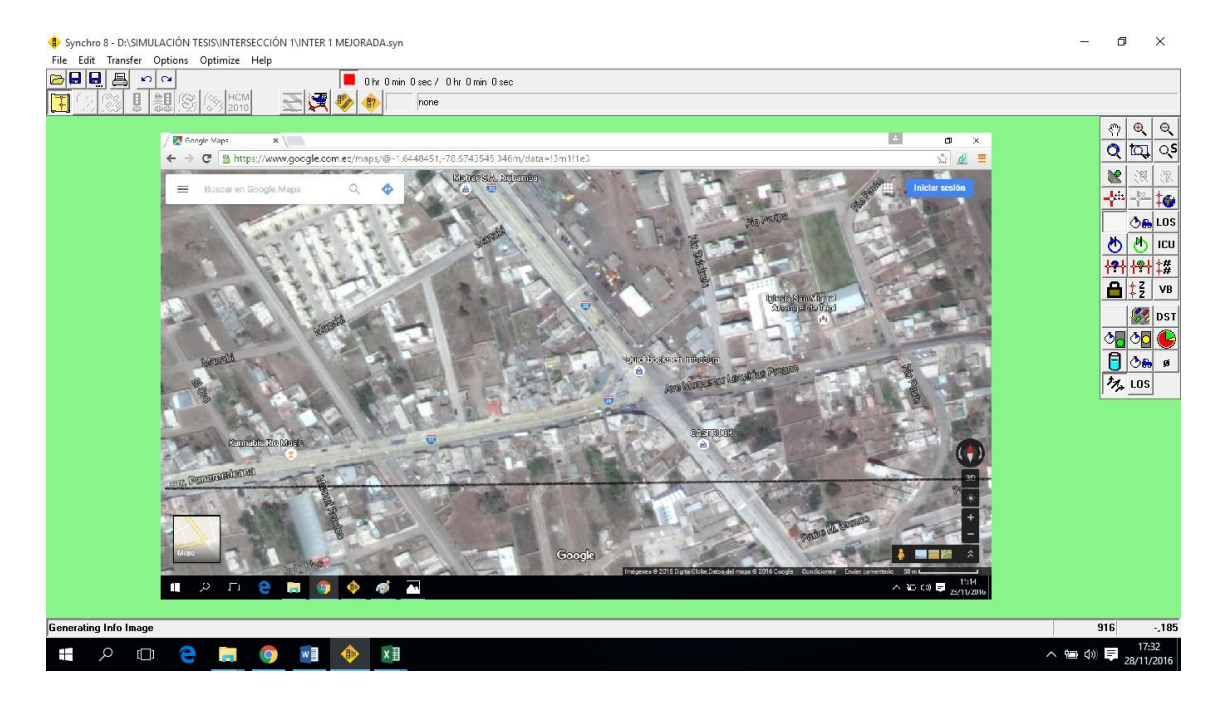


Ilustración 12: Geometría de la intersección.

Fuente: SYNCHRO 8.0.

Paso 2: Para la creación de la calles damos click en el botón de Add links de la barra de herramientas y procedemos a trazar el esquema de la intersección. Para insertar el número de carriles de cada sentido nos colocamos en Lane settings y para insertar la medida de cada carril se debe realizar manualmente en Lane width.

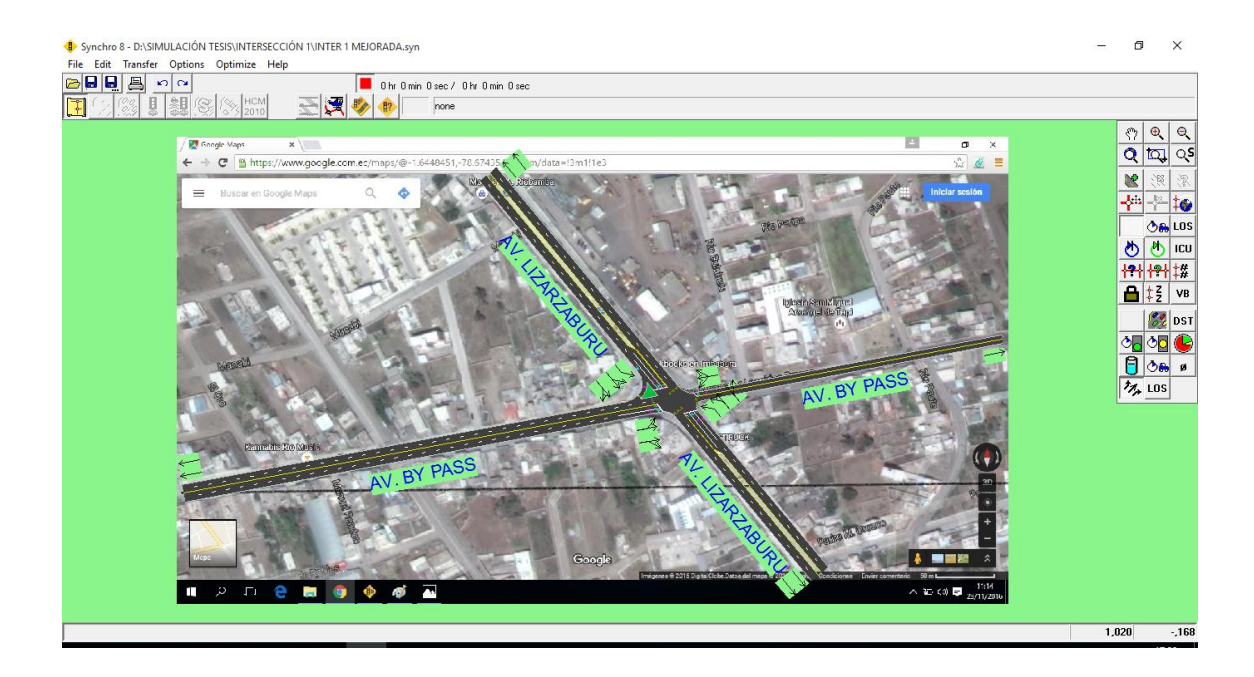


Ilustración 13: Imagen del google maps insertada en el SYNCHRO 8.0

Fuente: SYNCHRO 8.0.

Paso 3: A continuación ingresamos los volúmenes de tráfico manualmente dando un click en el botón **Traffic volume**.

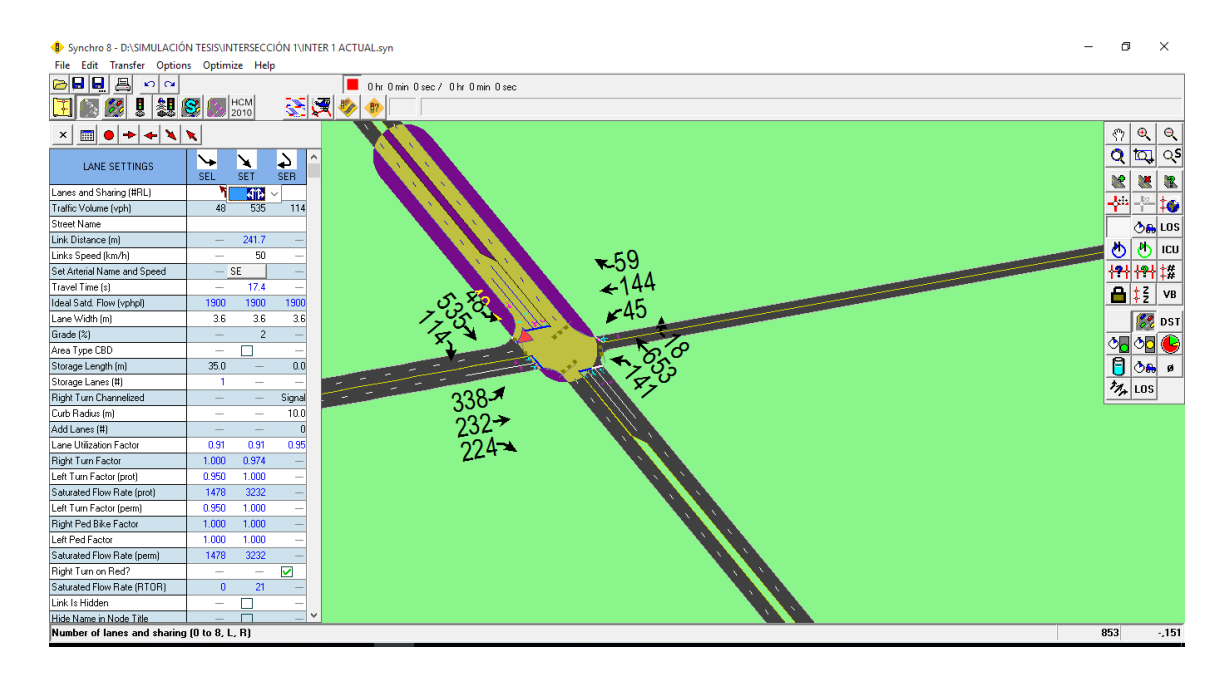


Ilustración 14: Imagen del google maps insertada en el SYNCHRO 8.0.

Fuente: SYNCHRO 8.0.

Paso 4: Colocamos las rutas de los vehículos dando click en el botón **Lanes and sharing** donde nosotros podemos direccionar las rutas de los automóviles e ingresar la cantidad de vehículos que toman las diferentes rutas y además ingresamos el ancho de carril.

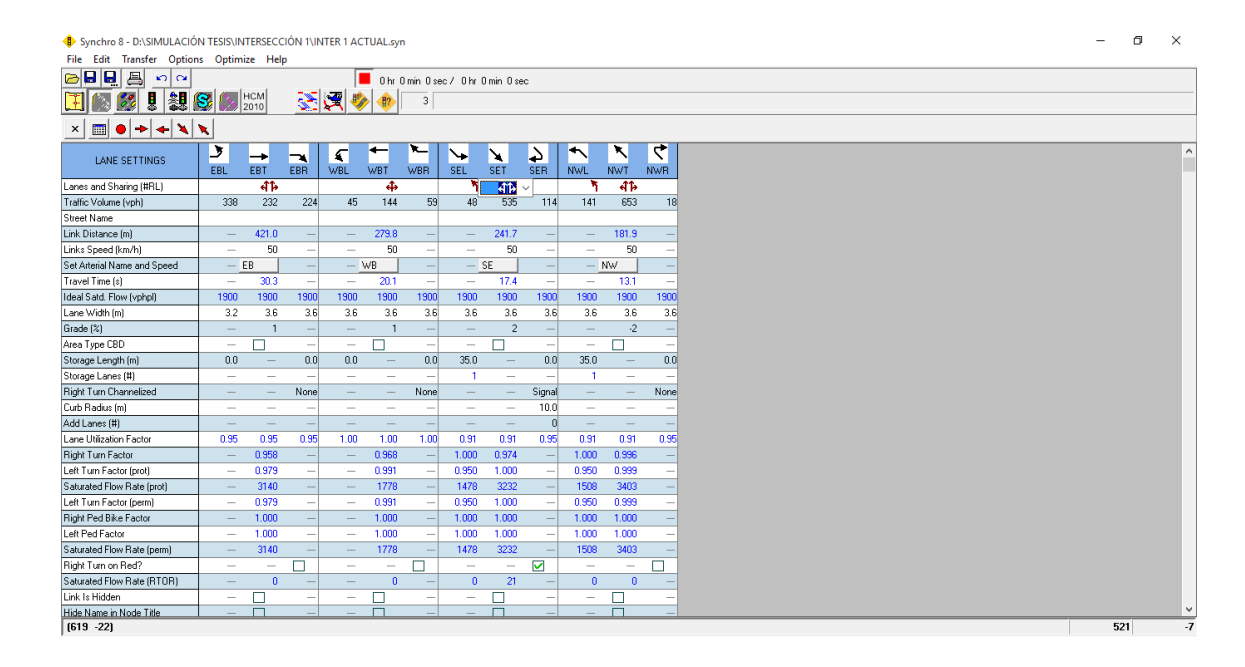


Ilustración 15: Imagen del google maps insertada en el SYNCHRO 8.0

Fuente: SYNCHRO 8.0.

Paso 5: Seguidamente colocamos semáforos con sus respectivos tiempos y procedemos a modelarlo dando click en el botón **Sim traffic animation.**



Ilustración 16: Imagen del google maps insertada en el SYNCHRO 8.0

Fuente: SYNCHRO 8.0

CAPITULO IV

4. RESULTADOS

La recopilación de datos de cada una de las intersecciones fue coordinado por los tesistas del proyecto y fue realizado por los estudiantes de tercero, cuarto, quinto, sexto, séptimo, octavo semestre de la escuela de Ingeniería Civil de la Universidad Nacional de Chimborazo. El levantamiento de los datos geométrico de cada una de las intersecciones fue realizado por los tesistas, la gradiente de cada aproximación, se obtuvo mediante el plano de AutoCAD proporcionado por un técnico del MTOP.

4.1. INFORMACIÓN DE LA CIRCUNVALACIÓN DE LA CIUDAD DE RIORAMBA.

De acuerdo a la observación en sitio se pudo establecer las siguientes condiciones en las que se encuentra actualmente dicha avenida:

- La avenida la circunvalación al momento cuenta con una carpeta de hormigón rígido.
- Las intersecciones en estudio nos indica que nos enfrentamos a puntos conflictivos, en
 este caso es necesario realizar el análisis de volúmenes vehiculares de cada una de las
 intersecciones.

La circunvalación de Riobamba presenta nuevos diseños geométricos para ciertas intersecciones que anteriormente constaban con redondeles como distribuidores de tránsito como fue el caso de la avenida La Prensa y Lizarzaburu, en la avenida By Pass y avenida Pedro Vicente Maldonado, entre otras, implementando en su cambio señalización semaforizada.

4.2. INFORMACIÓN INDIVIDUAL POR INTERSECCIÓN.

Para el siguiente análisis se realizaron conteos vehiculares clasificados en cada intersección, durante 12 horas en un período comprendido entre las 7h00 y las 19h00, las mismas que fueron divididos en períodos de 15 minutos se debe tomar en cuenta que cada intersección es diferente porque poseen sus propias características geométricas, semafóricas y condiciones de flujo.

Las clasificación vehicular está en función del número de ejes y función que desempeñan, para nuestro estudio se lo dividió en livianos(A), buses(B), pesados(C). Se contabilizó el tipo de giro que realizan en la intersección.

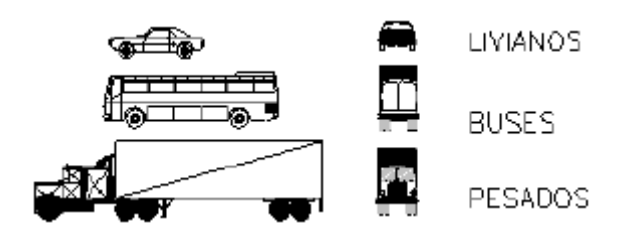


Ilustración 17: Tipos de vehículos

En cada intersección se presentará una tabla que describe las características geométricas donde se incluye el número de carril, carriles exclusivos, parqueo dentro de 75 metros de la línea pare, numero de maniobras de parqueo realizadas por hora, existencias de paradas de bus en cada aproximación. También se resumirá las condiciones de redondeles y semafóricas que existen en cada una de estas intersecciones.

Se presentará condiciones volumétricas de cada una de éstas en horas pico, donde se muestre el flujo vehicular que cruza por la intersección, esto se lo ha dividido cada 15 minutos durante una hora en donde se tomó en cuenta el tipo de vehículo, movimientos del vehículo y sentidos de circulación que se realizan los mismos.

4.2.1. Intersección 1: Av. Lizarzaburu y Av. By Pass.





Ilustración 18: Intersección semaforizada 1: Av. Lizarzaburu y Av. By Pass.

Fuente: Google Maps-2016.

UBICACIÓN						
Norte = 9817998	Este = 758832					
Altitud	2844 msnm					

Esta intersección consta de 4 accesos, norte, sur, este y oeste, con dos carriles por cada aproximación de sentido norte-sur, sur-norte, oeste-este y un solo carril de aproximación para el sentido este-oeste. No posee un carril exclusivo para giros izquierdos en todas las aproximaciones, pero presenta un carril exclusivo para giros derechos en el sentido norte-sur, los movimientos que se pueden realizar son 12 ya que cada aproximación está habilitada para realizar giros izquierdos, giros derechos y rectos como indica la ilustración 19.

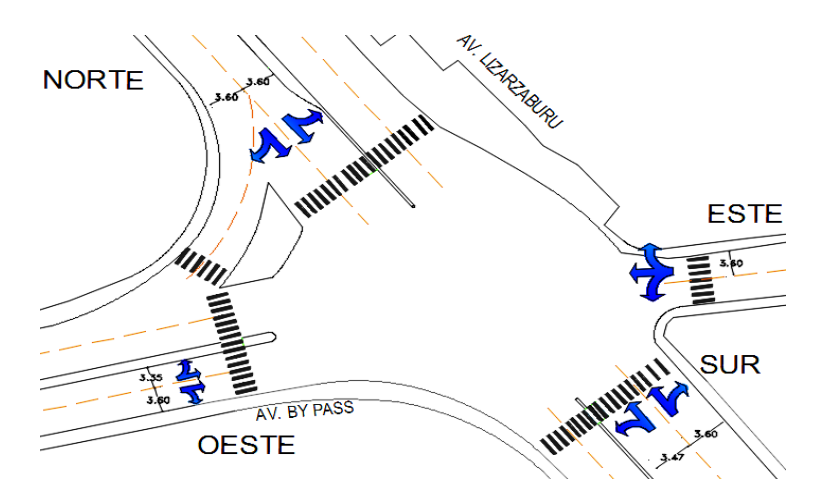


Ilustración 19: Intersección 1. Geometría y tipos de movimientos

En esta intersección se crea congestión vehicular ya que es usada como ruta de buses urbanos e interprovinciales y como entrada y salida de la ciudad; además este sector es de tipo comercial, vivienda y estudio; la misma que está controlada por un semáforo establecido.

Esta intersección es simétrica en el sentido norte-sur y sur-norte, mientas que en los sentidos este-oeste y oeste-este sus intersecciones son asimétricas.

Tabla 38: Intersección 1. Características geométricas y condiciones semafóricas

		CA	RACTERÍSTICAS DE	LA INTERSECC	IÓN 1: Av. Liza	rzaburu y Av. B	y Pass.					
Datos generales Norte			Sur		Este	Oeste						
N° de carriles	√ de carriles 1			2		1	2					
Carriles exclus	Carriles exclusivos de giro NO		NO		NO	NO						
Parqueo permitido NO		NO		NO	NO							
Parada de bus	Parada de bus SI		SI		NO	NO						
		١	N° de peatones y m	aniobras de e	stacionamient	o por aproxima	ación					
Hora Pico			Norte		Sur		Este	Oeste				
N° de peatone	es hora pico		83		55		12	15				
N° de maniob	ras de estacio	namiento	0		0		0	0				
			C		SEMAFÓRICA							
			ф1		DE FASES EXIS	STENTE d	ф 4					
V: Verde A: Amarillo R: Rojo	DIAGRAMA	•					→		_			
	TIEMPO	A:		A:		A:	3 A		3			
	(seg)	R:	75			R:	75 R		78			
		V:	23			V:	23 V		20			
	Duración del ciclo 101 Aproximación Norte				Operación Establecida Aproximación Sur							
Semáforos vehículares sin giros exclusivos,					Semáfo			lusivos, semáforos				
C 45		semáfo	ros peatonales		peatonales							
Semáforos			kimación Este		Aproximación Oeste							
	Semáforos vehículares sin giros exclusivos,					Semáforos vehículares sin giros exclusivos, semáforos						
	semáforos peatonales					peatonales						

Tabla 39 Conteo volumétrico de tránsito de la hora pico.

	CONTEO DE TRÁFICO																		
REDONDEL E IN	REDONDEL E INTERSECCIÓN INTERSECCIÓN 1: AV. LIZARZABURU Y AV. BY PASS																		
	SALLE CENTED	2 V CA DDU 5	-6					H	HOR	ARIC) DE	CON	TEO						
	CALLE, SENTIDO Y CARRILES			13:00)	1	3:15	5		13:30)		13:45	5	SUB	тот	AL	VOLUMEN	
NOMBRE CALLE	SENTIDO	CARRIL	SENTIDO DE CIRCULACIÓN	Α	В	С	Α	В	С	Α	В	С	Α	В	С	Α	В	С	POR CARRIL SENTIDO
		IZQ	GIRO IZQ	11	1	1	5	1	1	8	1	2	15	1	1	39	4	5	48
	NORTE-SUR	IZQ	RECTO	50	2	1	70	1	2	72	5	1	48	1	1	240	9	5	254
	NORTE-30K	DER	RECTO	60	0	1	64	0	0	66	3	0	46	4	1	236	7	2	245
AV.		DEN	GIRO DER	4	4	3	10	6	2	21	4	5	38	7	5	73	21	15	109
LIZARZABURU		IZQ	GIRO IZQ	37	2	5	43	2	4	4	2	5	33	3	1	117	9	15	141
	SUR-NORTE -	•	RECTO	75	10	10	75	11	2	70	8	2	65	9	2	285	38	16	339
	JON NONIE	DER	RECTO	85	0	0	80	0	0	79	0	0	90	0	0	334	0	0	334
			GIRO DER	4	0	0	5	0	0	3	0	0	6	0	0	18	0	0	18
				1													ı		
			GIRO IZQ	7	0	0	17	0	1	10	0	0	10	0	0	44	0	1	45
	ESTE-OESTE	UNICO	RECTO	35	1	2	40	0	4	42	0	2	35	0	2	152	1	10	163
			GIRO DER	6	3	0	10	2	2	13	2	1	17	1	2	46	8	5	59
AV. BY PASS		IZQ	GIRO IZQ	68	10	11	64	10	11	64	9	9	62	9	11	258	38	42	338
	OESTE-ESTE	•	RECTO	32	0	2	27	0	3	36	0	1	20	1	0	115	1	6	122
	0.0.2.2012	DER -	RECTO	37	0	2	30	1	1	18	0	0	21	0	0	106	1	3	110
		52.1	GIRO DER	56	6	5	42	6	2	44	6	2	48	6	1	190	24	10	224

A través de esta intersección circulan 26430 vehículos al día, en un promedio de 2202 vehículos por hora. La hora pico de esta intersección es de las 13:00 a 14:00 donde transitan 2700 autos. En la ilustración 16 se presentan los volúmenes vehiculares por cada 15 minutos de esta intersección.

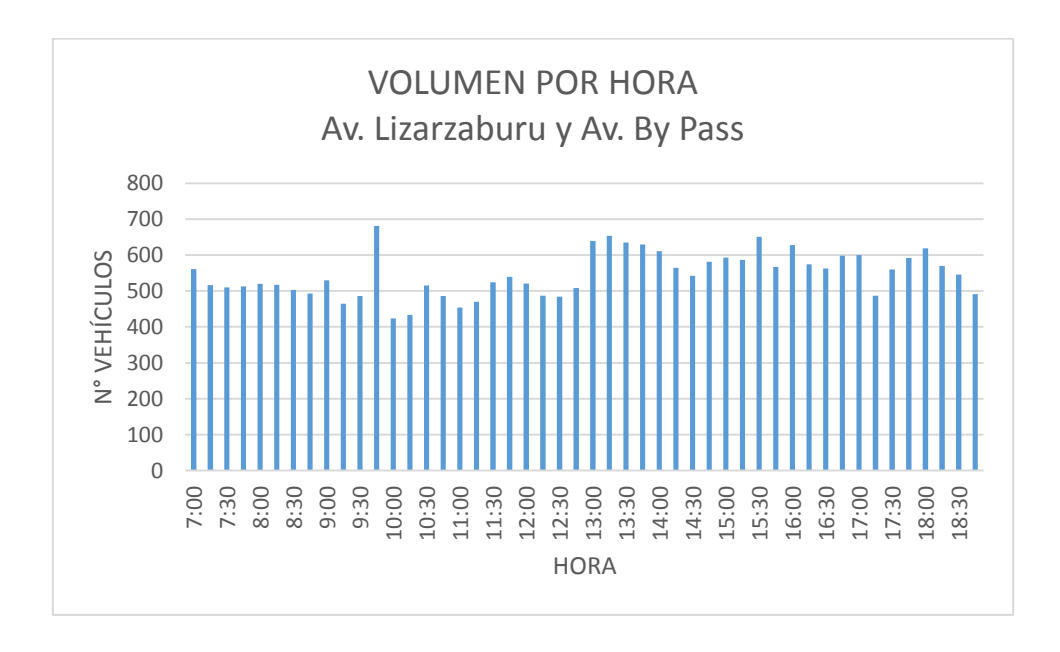


Ilustración 20: Intersección 1. Volúmenes por hora.

Fuente: Elaborado por los tesistas, es una observación de campo, 5 de Septiembre del 2016.

Análisis del plan de fases actuales.

Tabla 40 Sincronización semafórica actual.

SINCRONIZACIÓN SEMAFÓRICA								
Tot	al Ciclo		Fases	(G) seg.				
L=	12.00	1	G1	23.00				
I=	3	2	G2	23.00				
Co=	101.00	3	G3	23.00				
		4	G4	20.00				

Tabla 41 Intersección 1. Capacidad y nivel de servicio actual.

CAPACIDAD Y NIVEL DE SERVICIO DE LA INTERSECCIÓN ANÁLISIS DE LA CAPACIDAD								
ANAI	LISIS DE LA CA	APACIDAD						
Número de fase	1	2	3	4				
Grupo de carril	↓	**		→				
Volumen vehicular (veh/h)	656	832	267	794				
Flujo de saturación, S (veh/h)	2845.017578	2927.798264	1564.199007	2914.447426				
Tiempo perdido I (s)	3	3	3	3				
Tiempo de verde efectivo g , (s)	23.00	23.00	23.00	20.00				
Tasa de verde G/Co	0.228	0.228	0.228	0.198				
Capacidad del grupo de carril ,C (veh/h)	648	667	356	577				
Relación volumen-capacidad X	1.013	1.248	0.750	1.376				
Razón de flujo Yi , (veh/h)	0.231	0.284	0.171	0.272				
Flujo crítico de la intersección YC		0.9	58					
Tiempo perdido por ciclo L	12							
Volumen relacionado con la capacidad XC	1.087							
DETERMINACIÓN DE CAPACIDAD D	EL GRUPO DE	CARRIL, CON	TROL DE RETF	RASO, NIVEL				
	DE SERVICI	0						
	Norte	Sur	Este	Oeste				
Grupo de carril								
Volumen vehicular ,v (veh/h)	656	832	267	794				
Capacidad del grupo de carril ,c (veh/h)	648	667	356	577				
Relación Volumen-Capacidad X	1.013	1.248	0.750	1.376				
Taza de verde total g/C	0.228	0.228	0.228	0.198				
Retraso uniforme,d1, (s/veh)	39.000	39.000	36.318	40.500				
Calibración del incremento de retraso k	0.500	0.500	0.500	0.500				
Incremento de retraso, d2 (s/veh)	38.513	123.796	13.506	179.847				
Retraso inicial de la cola vehicular d3, (s/veh)	0	0	0	0				
Factor de progresión PF	1	1	1	1				
Retraso, d (s/veh)	77.5	162.8	49.8	220.3				
Nivel de servicio de grupo de carril	E	F	D	F				
Retraso por aproximación dA (s/veh)	77.5	162.8	49.8	220.3				
Nivel de servicio de aproximación	E	F	D	F				
Taza de flujo de la aproximación VA, (veh/h)	656	832	267	794				
Retraso de la intersección dl,		14	5.9					
(s/veh) NIVEL DE SERVICIO DE LA INTERSECCIÓN		ſ	:					

Análisis del plan de fases propuestas.

Tabla 42 Intersección1. Razón de flujo crítico Ycr.

Fase	Movimientos	Ycr
1	Norte-Sur	0.217
2	Sur-Norte	0.224
3	Este-Oeste	0.148
4	Oeste-Este	0.242

Fuente: Realizada por los tesistas.

Tabla 43 Intersección 1. Cálculo del ciclo óptimo.

CICLO ÓPTIMO								
Tiempo entre verde	1 (s)	3.000						
Tiempo perdido	L(s)	12.000						
Ciclo Óptimo	Co (s)	136.578						
Ciclo Óptimo redondeado	Co (s)	135.000						

Fuente: Realizada por los tesistas.

Tabla 44 Intersección 1. Cálculo del verde efectivo.

Fase	Movimientos	Verde efectivo	VERDE
1	Norte-Sur	32.081	32
2	Sur-Norte	33.157	33
3	Este-Oeste	21.918	22
4	Oeste-Este	35.844	36
		Co	135.000

Fuente: Realizada por los tesistas.

Tabla 45 Intersección 1. Nueva sincronización semafórica.

SINCRONIZACIÓN SEMAFÓRICA									
To	tal Ciclo	Fases (G) seg.							
L=	12.00	1	G1	32.00					
tL=	3	2	G2	33.00					
Co=	135.00	3	G3	22.00					
		4	G4	36.00					

Diagrama semafórica.



Ilustración 21: Intersección 1. Diagrama semafórica

Fuente: Realizado por los tesistas.

Al realizar la comparación del nivel de servicio actual con el propuesto podemos deducir que el nivel de servicio de la intersección en general ha pasado de nivel D a nivel C, lo que nos indica que los retrasos de los vehículos de ha reducido de 39.9 segundos a 27.7 segundos. Y el análisis de la capacidad de la intersección en general es de 0.718 este se encuentra bajo la capacidad de la intersección lo que quiere decir que la demanda no sobrepasa la capacidad de la intersección con esta propuesta.

Tabla 46 Intersección 1. Capacidad de la propuesta.

CAPACIDAD Y NIVEL DE SERVICIO DE LA INTERSECCIÓN									
ANÁLISIS DE LA CAPACIDAD									
Número de fase 1 2 3 4									
Grupo de carril		**							
Volumen vehicular (veh/h)	656	832	267	794					
Flujo de saturación, S (veh/h)	2845.017578	2927.798264	1564.199007	2914.447426					
Tiempo perdido I (s)	3	3	3	3					
Tiempo de verde efectivo g , (s)	32.00	33.00	22.00	36.00					
Tasa de verde G/Co	0.237	0.244	0.163	0.267					
Capacidad del grupo de carril ,C (veh/h)	674	716	255	777					
Relación volumen-capacidad X	0.973	1.163	1.047	1.022					
Razón de flujo Yi , (veh/h)	0.231	0.284	0.171	0.272					
Flujo crítico de la intersección YC		0.9	958						
Tiempo perdido por ciclo L 12									
Volumen relacionado con la	1.051								
capacidad XC	DEL GRUPO DE CARRIL, CONTROL DE RETRASO,								
	IVEL DE SER\		ONTROL DE F	RETRASO,					
	Norte	Sur	Este	Oeste					
Grupo de carril	→	7	•	√					
Volumen vehicular ,v (veh/h)	656	832	267	794					
Capacidad del grupo de carril ,c (veh/h)	674	716	255	777					
Relación Volumen-Capacidad X	0.973	1.163	1.047	1.022					
Taza de verde total g/C	0.237	0.244	0.163	0.267					
Retraso uniforme,d1, (s/veh)	51.068	51.000	56.500	49.500					
Calibración del incremento de retraso k	0.500	0.500	0.500	0.500					
Incremento de retraso, d2 (s/veh)	28.597	88.075	69.346	37.860					
Retraso inicial de la cola vehicular d3, (s/veh)	0	0	0	0					
Factor de progresión PF	1	1	1	1					
Retraso, d (s/veh)	79.7	139.1	125.8	87.4					
Nivel de servicio de grupo de carril	E	F	F	F					
Retraso por aproximación dA (s/veh)	79.7	139.1	125.8	87.4					
Nivel de servicio de aproximación	Е	F	F	F					
Taza de flujo de la aproximación VA, (veh/h)	656	832	267	794					
Retraso de la intersección dl, (s/veh)		10	6.3						
NIVEL DE SERVICIO DE LA INTERSECCIÓN		ı	F						

4.2.2. Intersección 2: Av. By Pass y calle Sergio Quirola.



Ilustración 22: Intersección semaforizada 2: Av. By Pass y calle Sergio Quirola.

Fuente: Google Maps-2016.

UBICACIÓN						
Norte = 9817969	Este = 758581					
Altitud	2847 msnm					

Esta intersección consta de 4 accesos, norte, sur, este y oeste, con carriles únicos por cada aproximación de sentido norte-sur, sur-norte mientras tanto que en el sentido oeste-este y este-oeste constan 2 de carriles de circulación. No posee un carril exclusivo para giros izquierdos en todas las aproximaciones, los movimientos que se pueden realizar son 12 ya que cada aproximación está habilitada para realizar giros izquierdos, giros derechos y rectos como indica la ilustración 23.

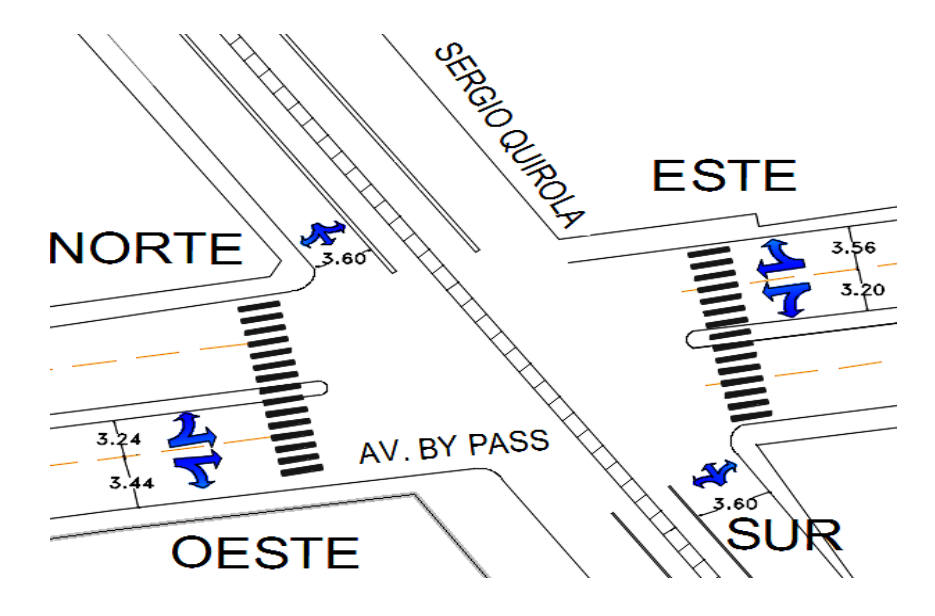


Ilustración 23: Intersección 2. Geometría y tipos de movimientos

En esta intersección se crea congestión vehicular ya que es usada como ruta de buses urbanos e interprovinciales, la misma que está controlada por un semáforo actuado ya que cuando cruza el ferrocarril este detiene el tránsito vehicular por completo. Esta intersección es simétrica en todos los sentidos

Tabla 47 Intersección 2. Características geométricas y condiciones semafóricas.

	CARA	CTERÍSTICAS DE LA	INTERSECCIÓN	N 2: Av. By Pas	ss y calle Sergio	Quirola.			
os generales Norte			Sur		Este	()este		
nriles 1			1 2			2			
riles exclusivos de giro NO		NO		NO		NO			
tido		NO		NO		NO		NO	
		NO		NO		NO		NO	
	N	N° de peatones y m	aniobras de es	stacionamient	o por aproxima	ición			
		Norte		Sur		Este	()este	
s hora pico		3		4		8		7	
oras de estacionamiento 0			0		0		0		
		C							
DIAGRAMA						_			
TIEMPO	A:							0	
(seg)								0	
	1	l l			L			Establecida	
			Орег				Establecida		
Semáforos vehículares sin giros exclusivos,			Semáforos vehículares sin giros exclusivos, semáforos						
	•			Aproximación Oeste					
Semáfo		•	clusivos,	Semáforos vehículares sin giros exclusivos, semáforos					
	TIEMPO (seg) Semáfo	ivos de giro tido s hora pico as de estacionamiento TIEMPO (seg) Duración de Aprox Semáforos vehícu semáforos vehícu semáforos vehícu	Norte 1 Nos de giro NO tido NO N° de peatones y m Norte S hora pico S de estacionamiento O TIEMPO (seg) A: 38 R: 18 V: 35 Duración del ciclo Aproximación Norte Semáforos peatonales Aproximación Este	Norte 1 Nos de giro NO No No No Norte Se hora pico Resultation Norte Norte PLAN I Resultation Resultation Norte Semáforos vehículares sin giros exclusivos, semáforos peatonales Aproximación Este Semáforos vehículares sin giros exclusivos,	Norte 1 1 1 Novos de giro NO	Norte 1 1 1 NO N	TIEMPO (seg) A:	Norte Sur Este 1 1 1 2 1 2 1 1 2 1 1 2 1 1 2 1 1 2 1 1 1 2 1 1 1 2 1 1 1 2 1 1 1 2 1 1 1 2 1 1 1 2 1 1 1 2 1 1 1 2 1 1 1 2 1 1 1 2 1 1 1 2 1 1 1 2 1 1 1 2 1 1 1 2 1 1 1 2 1 1 1 2 1 1 1 2 1 1 1 2 1 1 1 1 2 1 1 1 1 2 1 1 1 1 2 1 1 1 1 2 1 1 1 1 2 1 1 1 1 2 1 1 1 1 2 1 1 1 1 2 1 1 1 1 2 1 1 1 1 2 1 1 1 1 1 2 1 1 1 1 1 2 1 1 1 1 1 2 1 1 1 1 1 2 1 1 1 1 1 2 1 1 1 1 1 1 2 1 1 1 1 1 1 2 1 1 1 1 1 1 1 2 1	

Tabla 48: Intersección 2. Conteo volumétrico de tránsito de la hora pico.

	CONTEO DE TRÁFICO																		
REDONDEL E I	NTERSECCIÓN			IN	TERSI	ECCIÓ	Ń2:	AV. E	SY PA	SS Y (CALLE	SERC	310 C	QUIR	OLA				
	CALLE, SENTID	O A CVBBILES		HORARIO DE CONTEO												VOLUMEN			
	·			8:15			8:30				8:45			9:00		SUBTOTAL			POR CARRIL-
NOMBRE CALLE	SENTIDO	CARRIL	SENTIDO DE CIRCULACIÓN	Α	В	С	Α	В	С	Α	В	С	Α	В	С	Α	В	С	SENTIDO
			GIRO IZQ	1	0	0	1	0	1	2	0	0	1	0	0	5	0	1	6
CALLE	NORTE-SUR	ÚNICO	RECTO	0	0	0	1	0	0	1	0	0	0	0	0	2	0	0	2
CALLE SERGIO			GIRO DER	2	0	0	4	0	0	2	0	0	0	0	0	8	0	0	8
QUIROLA			GIRO IZQ	0	3	0	0	2	0	0	0	0	2	0	0	2	5	0	7
	SUR-NORTE	ÚNICO	RECTO	0	0	0	0	2	0	0	0	0	0	0	0	0	2	0	2
			GIRO DER	1	0	0	0	0	0	0	0	0	0	0	0	1	0	0	1
		IZQ	GIRO IZQ	1	0	0	2	0	0	5	0	0	2	0	0	10	0	0	10
	ESTE-OESTE	12Q	RECTO	45	9	7	55	8	7	60	7	9	60	12	14	220	36	37	293
	LSTE OLSTE	DER	RECTO	49	0	0	59	0	0	42	0	0	46	0	0	196	0	0	196
AV. BY PASS		DEIX	GIRO DER	1	0	0	2	0	0	0	0	0	0	0	0	3	0	0	3
AV. BI PASS		IZQ	GIRO IZQ	0	0	0	0	0	0	2	0	0	0	0	0	2	0	0	2
	OESTE-ESTE	120	RECTO	85	16	4	105	16	5	74	17	13	94	14	11	358	63	33	454
	OLSIL-LSIE	DER	RECTO	71	2	4	65	0	0	69	0	0	90	0	0	295	2	4	301
		DEL	GIRO DER	0	0	0	0	0	0	9	0	0	0	0	0	9	0	0	9

A través de esta intersección circulan 13311 vehículos al día, en un promedio de 1109 vehículos por hora. La hora pico de esta intersección es de las 8:15 a 9:15 donde transitan 1294 autos. En la ilustración se presentan los volúmenes vehiculares por cada 15 minutos.

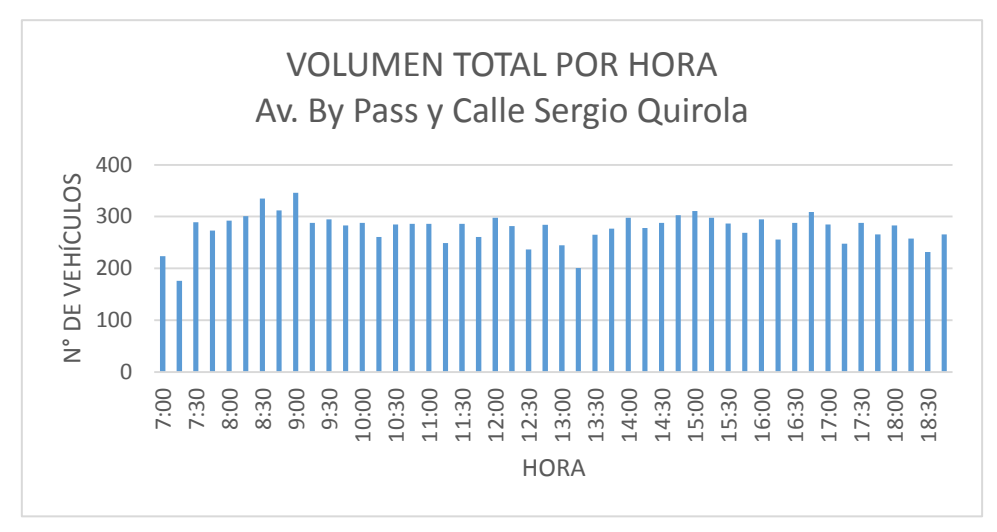


Ilustración 24: Intersección 2. Volúmenes por hora.

Fuente: Elaborado por los tesistas, es una observación de campo, 5 de Septiembre del 20

Análisis del plan de fases actuales.

Tabla 49: Intersección 2. Sincronización semafórica actual.

SINCRONIZACIÓN SEMAFÓRICA										
Tota	al Ciclo	Fases (G) seg.								
L=	6.00	1	G1	35.00						
tL=	3	2	G2	15.00						
Co=	56.00									

Tabla 50: Intersección 2. Capacidad y nivel de servicio actual.

CAPACIDAD Y NIVE	CAPACIDAD Y NIVEL DE SERVICIO DE LA INTERSECCIÓN										
ANÁL	ISIS DE LA C	APACIDAD									
Número de fase	1		2	2							
Grupo de carril	*	**	*	*							
Volumen vehicular (veh/h)	16	10	502	766							
Flujo de saturación, S (veh/h)	1564.19786	1552.7783	2795.68412	2849.94728							
Tiempo perdido I (s)	3	3	3	3							
Tiempo de verde efectivo g , (s)	15.00	15.00	35.00	35.00							
Tasa de verde G/Co	0.268	0.268	0.625	0.625							
Capacidad del grupo de carril ,C (veh/h)	419	416	1747	1781							
Relación volumen-capacidad X	0.038	0.024	0.287	0.430							
Razón de flujo Yi , (veh/h)	0.010	0.006	0.180	0.269							
Flujo crítico de la intersección Yc	0.279										
Tiempo perdido por ciclo L Volumen relacionado con la capacidad Xc	6 0.312										
DETERMINACIÓN DE CAPACIDAD DEL GRUPO DE CARRIL, CONTROL DE RETRASO, NIVEL DE SERVICIO											
-	NOO, INIVEL D	E SERVICIO									
	Norte	Sur	Este	Oeste							
Grupo de carril	· ·		Este	Oeste							
Grupo de carril	Norte	Sur	*	→							
Grupo de carril Volumen vehicular ,v (veh/h)	Norte 16	Sur 10	502	766							
Grupo de carril Volumen vehicular ,v (veh/h) Capacidad del grupo de carril ,c (veh/h)	Norte 16 419	Sur 10 416	502 1747	766 1781							
Grupo de carril Volumen vehicular ,v (veh/h) Capacidad del grupo de carril ,c (veh/h) Relación Volumen-Capacidad X	Norte 16 419 0.038	Sur 10 416 0.024	502 1747 0.287	766 1781 0.430							
Grupo de carril Volumen vehicular ,v (veh/h) Capacidad del grupo de carril ,c (veh/h) Relación Volumen-Capacidad X Taza de verde total g/C	Norte 16 419 0.038 0.268	Sur 10 416 0.024 0.268	502 1747 0.287 0.625	766 1781 0.430 0.625							
Grupo de carril Volumen vehicular ,v (veh/h) Capacidad del grupo de carril ,c (veh/h) Relación Volumen-Capacidad X Taza de verde total g/C Retraso uniforme,d1, (s/veh)	Norte 16 419 0.038 0.268 15.164	10 416 0.024 0.268 15.106	502 1747 0.287 0.625 4.799	766 1781 0.430 0.625 5.385							
Grupo de carril Volumen vehicular ,v (veh/h) Capacidad del grupo de carril ,c (veh/h) Relación Volumen-Capacidad X Taza de verde total g/C Retraso uniforme,d1, (s/veh) Calibración del incremento de retraso k	Norte 16 419 0.038 0.268 15.164 0.500	Sur 10 416 0.024 0.268 15.106 0.500	502 1747 0.287 0.625 4.799 0.500	766 1781 0.430 0.625 5.385 0.500							
Grupo de carril Volumen vehicular ,v (veh/h) Capacidad del grupo de carril ,c (veh/h) Relación Volumen-Capacidad X Taza de verde total g/C Retraso uniforme,d1, (s/veh) Calibración del incremento de retraso k Incremento de retraso, d2 (s/veh)	Norte 16 419 0.038 0.268 15.164 0.500	10 416 0.024 0.268 15.106	502 1747 0.287 0.625 4.799	766 1781 0.430 0.625 5.385							
Grupo de carril Volumen vehicular ,v (veh/h) Capacidad del grupo de carril ,c (veh/h) Relación Volumen-Capacidad X Taza de verde total g/C Retraso uniforme,d1, (s/veh) Calibración del incremento de retraso k Incremento de retraso, d2 (s/veh) Retraso inicial de la cola vehicular d3, (s/veh)	Norte 16 419 0.038 0.268 15.164 0.500	Sur 10 416 0.024 0.268 15.106 0.500	502 1747 0.287 0.625 4.799 0.500	766 1781 0.430 0.625 5.385 0.500							
Grupo de carril Volumen vehicular ,v (veh/h) Capacidad del grupo de carril ,c (veh/h) Relación Volumen-Capacidad X Taza de verde total g/C Retraso uniforme,d1, (s/veh) Calibración del incremento de retraso k Incremento de retraso, d2 (s/veh) Retraso inicial de la cola vehicular d3, (s/veh) Factor de progresión PF	Norte 16 419 0.038 0.268 15.164 0.500 0.171 0	Sur 10 416 0.024 0.268 15.106 0.500 0.107 0 1	502 1747 0.287 0.625 4.799 0.500 0.415 0	766 1781 0.430 0.625 5.385 0.500 0.760 0							
Grupo de carril Volumen vehicular ,v (veh/h) Capacidad del grupo de carril ,c (veh/h) Relación Volumen-Capacidad X Taza de verde total g/C Retraso uniforme,d1, (s/veh) Calibración del incremento de retraso k Incremento de retraso, d2 (s/veh) Retraso inicial de la cola vehicular d3, (s/veh) Factor de progresión PF Retraso, d (s/veh)	Norte 16 419 0.038 0.268 15.164 0.500 0.171 0	Sur 10 416 0.024 0.268 15.106 0.500 0.107 0	502 1747 0.287 0.625 4.799 0.500 0.415	766 1781 0.430 0.625 5.385 0.500 0.760							
Grupo de carril Volumen vehicular ,v (veh/h) Capacidad del grupo de carril ,c (veh/h) Relación Volumen-Capacidad X Taza de verde total g/C Retraso uniforme,d1, (s/veh) Calibración del incremento de retraso k Incremento de retraso, d2 (s/veh) Retraso inicial de la cola vehicular d3, (s/veh) Factor de progresión PF Retraso, d (s/veh) Nivel de servicio de grupo de carril	Norte 16 419 0.038 0.268 15.164 0.500 0.171 0	Sur 10 416 0.024 0.268 15.106 0.500 0.107 0 1	502 1747 0.287 0.625 4.799 0.500 0.415 0	766 1781 0.430 0.625 5.385 0.500 0.760 0							
Grupo de carril Volumen vehicular ,v (veh/h) Capacidad del grupo de carril ,c (veh/h) Relación Volumen-Capacidad X Taza de verde total g/C Retraso uniforme,d1, (s/veh) Calibración del incremento de retraso k Incremento de retraso, d2 (s/veh) Retraso inicial de la cola vehicular d3, (s/veh) Factor de progresión PF Retraso, d (s/veh) Nivel de servicio de grupo de carril Retraso por aproximación dA (s/veh)	Norte 16 419 0.038 0.268 15.164 0.500 0.171 0 1 15.3 B 15.3	Sur 10 416 0.024 0.268 15.106 0.500 0.107 0 1 15.2	502 1747 0.287 0.625 4.799 0.500 0.415 0 1 5.2	766 1781 0.430 0.625 5.385 0.500 0.760 0 1 6.1							
Grupo de carril Volumen vehicular ,v (veh/h) Capacidad del grupo de carril ,c (veh/h) Relación Volumen-Capacidad X Taza de verde total g/C Retraso uniforme,d1, (s/veh) Calibración del incremento de retraso k Incremento de retraso, d2 (s/veh) Retraso inicial de la cola vehicular d3, (s/veh) Factor de progresión PF Retraso, d (s/veh) Nivel de servicio de grupo de carril Retraso por aproximación dA (s/veh)	Norte 16 419 0.038 0.268 15.164 0.500 0.171 0 1 15.3 B 15.3	Sur 10 416 0.024 0.268 15.106 0.500 0.107 0 1 15.2 B	502 1747 0.287 0.625 4.799 0.500 0.415 0 1 5.2 A	766 1781 0.430 0.625 5.385 0.500 0.760 0 1 6.1							
Grupo de carril Volumen vehicular ,v (veh/h) Capacidad del grupo de carril ,c (veh/h) Relación Volumen-Capacidad X Taza de verde total g/C Retraso uniforme,d1, (s/veh) Calibración del incremento de retraso k Incremento de retraso, d2 (s/veh) Retraso inicial de la cola vehicular d3, (s/veh) Factor de progresión PF Retraso, d (s/veh) Nivel de servicio de grupo de carril Retraso por aproximación dA (s/veh) livel de servicio de aproximación Taza de flujo de la aproximación VA, (veh/h)	Norte 16 419 0.038 0.268 15.164 0.500 0.171 0 1 15.3 B 15.3	Sur 10 416 0.024 0.268 15.106 0.500 0.107 0 1 15.2 B 15.2	502 1747 0.287 0.625 4.799 0.500 0.415 0 1 5.2 A	766 1781 0.430 0.625 5.385 0.500 0.760 0 1 6.1 A							
Grupo de carril Volumen vehicular ,v (veh/h) Capacidad del grupo de carril ,c (veh/h) Relación Volumen-Capacidad X Taza de verde total g/C Retraso uniforme,d1, (s/veh) Calibración del incremento de retraso k Incremento de retraso, d2 (s/veh) Retraso inicial de la cola vehicular d3, (s/veh) Factor de progresión PF Retraso, d (s/veh) Nivel de servicio de grupo de carril Retraso por aproximación dA (s/veh) livel de servicio de aproximación Taza de flujo de la	Norte 16 419 0.038 0.268 15.164 0.500 0.171 0 1 15.3 B 15.3 B	Sur 10 416 0.024 0.268 15.106 0.500 0.107 0 1 15.2 B 15.2 B 10	502 1747 0.287 0.625 4.799 0.500 0.415 0 1 5.2 A	766 1781 0.430 0.625 5.385 0.500 0.760 0 1 6.1 A							

Análisis de plan de fases propuestas.

Tabla 51: Intersección 2. Razón de flujo crítico Ycr.

Fase	Movimientos	Ycr
1	Norte-Sur y Sur-Norte	0.009
2	Este-Oeste y Oeste-Este	0.351

Fuente: Realizada por los tesistas.

Tabla 52: Intersección 2. Cálculo del ciclo óptimo.

CICLO ÓPTIMO										
Tiempo entre verde	l (s)	3.000								
Tiempo perdido	L(s)	6.000								
Ciclo Óptimo	Co (s)	21.881								
Ciclo Óptimo (redondeado)	Co (s)	25.000								

Fuente: Realizada por los tesistas.

Tabla 53: Intersección 2. Cálculo del verde efectivo.

Fase	Sentido circulación	Verde efectivo	Verde adoptado
1	Norte-Sur y Sur-Norte	0.488	5
2	Este-Oeste y Oeste-Este	18.512	19
		Со	30.000

Fuente: Realizada por los tesistas.

Tabla 54: Intersección 2. Nueva sincronización semafórica.

SINCRONIZACIÓN SEMAFÓRICA									
Tota	l Ciclo	Fases (G) seg.							
L=	6.00	1	G1	19.00					
tL=	3	2	G2	5.00					
Co=	30.00								

Diagrama semafórica.



Ilustración 25: Intersección 2. Diagrama semafórica

Fuente: Realizado por los tesistas.

Al realizar la comparación del nivel de servicio actual con el propuesto podemos deducir que el nivel de servicio de la intersección en general se mantiene en un nivel A, pero los retrasos de los vehículos se han reducido de 6.0 segundos a 3.4 segundos. Y el análisis de la capacidad de la intersección en general es de 0.349 este se encuentra bajo la capacidad de la intersección, lo que quiere decir que la demanda no sobrepasa la capacidad de la intersección con esta propuesta.

Tabla 55: Intersección 2. Capacidad de la propuesta.

CAPACIDAD Y NIVEL DE SERVICIO DE LA INTERSECCIÓN											
	SIS DE LA CA		KSECCION								
Número de fase	1		2	2							
Grupo de carril		*	\$								
Grapo de carrii	▲ ◆	Y	*	-							
			•	•							
Volumen vehicular (veh/h)	16	10	502	766							
Flujo de saturación, S (veh/h)	1564.19786	1552.7783	2795.68412	2849.94728							
Tiempo perdido I (s)	3	3	3	3							
Tiempo de verde efectivo g , (s)	5.00	5.00	19.00	19.00							
Tasa de verde G/Co	0.167	0.167	0.633	0.633							
Capacidad del grupo de carril ,C (veh/h)	261	259	1771	1805							
Relación volumen-capacidad X	0.061	0.039	0.284	0.424							
Razón de flujo Yi , (veh/h)	0.010	0.006	0.180	0.269							
Flujo crítico de la intersección YC		0.2	79								
Tiempo perdido por ciclo L	L 6										
Volumen relacionado con la	0.349										
capacidad XC											
DETERMINACIÓN DE CAPACIDAD DEL GRUPO DE CARRIL, CONTROL DE RETRASO, NIVEL DE SERVICIO											
NI	VEL DE SERV	ICIO									
Ni	VEL DE SERV Norte	YICIO Sur	Este	Oeste							
Ni Grupo de carril			Este	·							
			Este	·							
			Este 502	·							
Grupo de carril	Norte	Sur	*	Oeste							
Grupo de carril Volumen vehicular ,v (veh/h) Capacidad del grupo de carril ,c	Norte 16	Sur 10	502	Oeste 766							
Grupo de carril Volumen vehicular ,v (veh/h) Capacidad del grupo de carril ,c	Norte 16 261	Sur 10 259	502 1771	Oeste 766 1805							
Grupo de carril Volumen vehicular ,v (veh/h) Capacidad del grupo de carril ,c	Norte 16 261 0.061	Sur 10 259 0.039	502 1771 0.284	766 1805							
Grupo de carril Volumen vehicular ,v (veh/h) Capacidad del grupo de carril ,c	Norte 16 261 0.061 0.167	Sur 10 259 0.039 0.167	502 1771 0.284 0.633	766 1805 0.424 0.633							
Grupo de carril Volumen vehicular ,v (veh/h) Capacidad del grupo de carril ,c	Norte 16 261 0.061 0.167 10.524	Sur 10 259 0.039 0.167 10.484	502 1771 0.284 0.633 2.458	766 1805 0.424 0.633 2.758							
Grupo de carril Volumen vehicular ,v (veh/h) Capacidad del grupo de carril ,c (veh/h) Relación Volumen-Capacidad X Taza de verde total g/C Retraso uniforme,d1, (s/veh) Calibración del incremento de retraso k Incremento de retraso, d2 (s/veh) Retraso inicial de la cola	Norte 16 261 0.061 0.167 10.524 0.500	Sur 10 259 0.039 0.167 10.484 0.500	502 1771 0.284 0.633 2.458 0.500	766 1805 0.424 0.633 2.758 0.500							
Grupo de carril Volumen vehicular ,v (veh/h) Capacidad del grupo de carril ,c	Norte 16 261 0.061 0.167 10.524 0.500 0.451	Sur 10 259 0.039 0.167 10.484 0.500 0.279	502 1771 0.284 0.633 2.458 0.500 0.402	766 1805 0.424 0.633 2.758 0.500 0.733							
Grupo de carril Volumen vehicular ,v (veh/h) Capacidad del grupo de carril ,c	Norte 16 261 0.061 0.167 10.524 0.500 0.451 0	Sur 10 259 0.039 0.167 10.484 0.500 0.279 0	502 1771 0.284 0.633 2.458 0.500 0.402 0	Oeste 766 1805 0.424 0.633 2.758 0.500 0.733 0							
Grupo de carril Volumen vehicular ,v (veh/h) Capacidad del grupo de carril ,c	Norte 16 261 0.061 0.167 10.524 0.500 0.451 0	Sur 10 259 0.039 0.167 10.484 0.500 0.279 0	502 1771 0.284 0.633 2.458 0.500 0.402 0	Oeste 766 1805 0.424 0.633 2.758 0.500 0.733 0							
Grupo de carril Volumen vehicular ,v (veh/h) Capacidad del grupo de carril ,c	Norte 16 261 0.061 0.167 10.524 0.500 0.451 0 1 11.0	Sur 10 259 0.039 0.167 10.484 0.500 0.279 0 1 10.8	502 1771 0.284 0.633 2.458 0.500 0.402 0 1 2.9	Oeste 766 1805 0.424 0.633 2.758 0.500 0.733 0 1 3.5							
Grupo de carril Volumen vehicular ,v (veh/h) Capacidad del grupo de carril ,c (veh/h) Relación Volumen-Capacidad X Taza de verde total g/C Retraso uniforme,d1, (s/veh) Calibración del incremento de retraso k Incremento de retraso, d2 (s/veh) Retraso inicial de la cola vehicular d3, (s/veh) Factor de progresión PF Retraso, d (s/veh) Nivel de servicio de grupo de carril	Norte 16 261 0.061 0.167 10.524 0.500 0.451 0 1 11.0 B	Sur 10 259 0.039 0.167 10.484 0.500 0.279 0 1 10.8 B	502 1771 0.284 0.633 2.458 0.500 0.402 0 1 2.9 A	Oeste 766 1805 0.424 0.633 2.758 0.500 0.733 0 1 3.5 A							
Grupo de carril Volumen vehicular ,v (veh/h) Capacidad del grupo de carril ,c (veh/h) Relación Volumen-Capacidad X Taza de verde total g/C Retraso uniforme,d1, (s/veh) Calibración del incremento de retraso k Incremento de retraso, d2 (s/veh) Retraso inicial de la cola vehicular d3, (s/veh) Factor de progresión PF Retraso, d (s/veh) Nivel de servicio de grupo de carril Retraso por aproximación dA (s/veh) Nivel de servicio de aproximación Taza de flujo de la aproximación	Norte 16 261 0.061 0.167 10.524 0.500 0.451 0 1 11.0 B 11.0	Sur 10 259 0.039 0.167 10.484 0.500 0.279 0 1 10.8 B 10.8	502 1771 0.284 0.633 2.458 0.500 0.402 0 1 2.9 A	Oeste 766 1805 0.424 0.633 2.758 0.500 0.733 0 1 3.5 A 3.5							
Volumen vehicular ,v (veh/h) Capacidad del grupo de carril ,c (veh/h) Relación Volumen-Capacidad X Taza de verde total g/C Retraso uniforme,d1, (s/veh) Calibración del incremento de retraso k Incremento de retraso, d2 (s/veh) Retraso inicial de la cola vehicular d3, (s/veh) Factor de progresión PF Retraso, d (s/veh) Nivel de servicio de grupo de carril Retraso por aproximación dA (s/veh) Nivel de servicio de aproximación	Norte 16 261 0.061 0.167 10.524 0.500 0.451 0 1 11.0 B 11.0 B	Sur 10 259 0.039 0.167 10.484 0.500 0.279 0 1 10.8 B 10.8 B 10	502 1771 0.284 0.633 2.458 0.500 0.402 0 1 2.9 A 2.9 A 502	Oeste 766 1805 0.424 0.633 2.758 0.500 0.733 0 1 3.5 A 3.5							
Grupo de carril Volumen vehicular ,v (veh/h) Capacidad del grupo de carril ,c (veh/h) Relación Volumen-Capacidad X Taza de verde total g/C Retraso uniforme,d1, (s/veh) Calibración del incremento de retraso k Incremento de retraso, d2 (s/veh) Retraso inicial de la cola vehicular d3, (s/veh) Factor de progresión PF Retraso, d (s/veh) Nivel de servicio de grupo de carril Retraso por aproximación dA (s/veh) Nivel de servicio de aproximación Taza de flujo de la aproximación	Norte 16 261 0.061 0.167 10.524 0.500 0.451 0 1 11.0 B 11.0 B	Sur 10 259 0.039 0.167 10.484 0.500 0.279 0 1 10.8 B 10.8 B 10	502 1771 0.284 0.633 2.458 0.500 0.402 0 1 2.9 A	Oeste 766 1805 0.424 0.633 2.758 0.500 0.733 0 1 3.5 A 3.5							

4.2.3. Intersección 3: Av. By Pass y Av. Canónigo Ramos.



Ilustración 26: Intersección semaforizada 3: Av. By Pass y Av. Canónigo Ramos.

Fuente: Google Maps-2016.

UBICACIÓN							
Norte = 9817848	Este = 757912						
Altitud	2847 msnm						

Esta intersección consta de 4 accesos, norte, sur, este y oeste, con dos carriles por cada aproximación de sentido sur-norte, este-oeste, oeste-este mientras tanto que en el sentido norte-sur consta de un carril único de circulación. No posee un carril exclusivo para giros izquierdos en todas las aproximaciones, los movimientos que se pueden realizar son 9 ya que la aproximación en sentido norte-sur tiene un solo sentido de circulación como lo indica la ilustración 27.

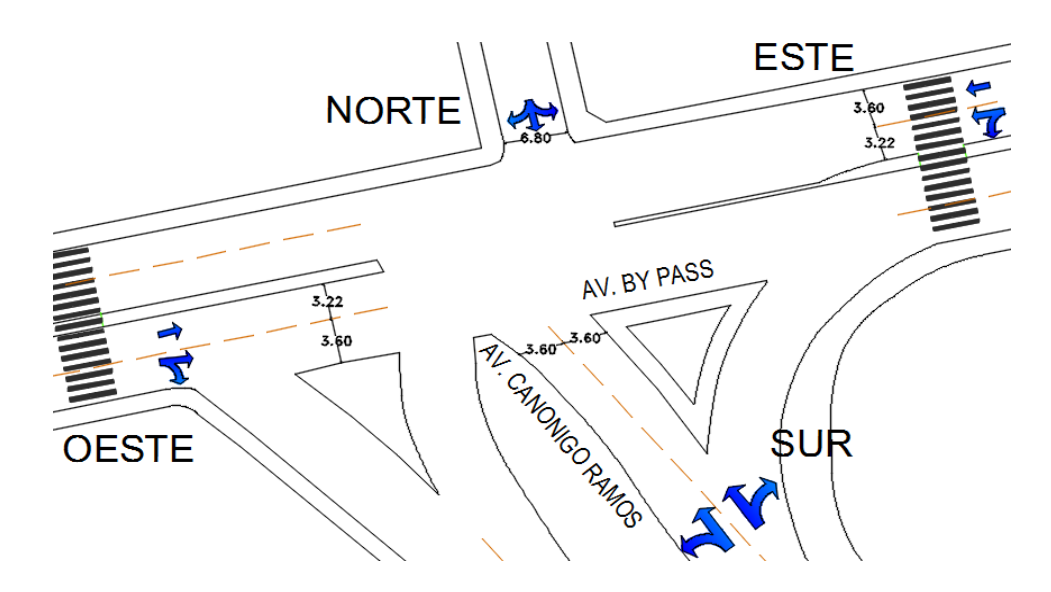


Ilustración 27: Intersección 3: Geometría y tipos de movimientos.

En esta intersección se crea congestión vehicular ya que es usada como ruta de buses urbanos e interprovinciales; además es una de las vías principales que nos dirige al centro de la urbe; la misma está controlada por un semáforo establecido. Esta intersección es simétrica en todos los sentidos.

Tabla 56: Características geométricas y condiciones semafóricas.

		CARAC	CTERÍSTICAS DE LA	INTERSECCIÓN	N 3: Av. By Pas	s y Av. Canonig	o Ramos.				
Datos general	es		Norte		Sur		Este	Oeste			
N° de carriles			1		2		2	2			
Carriles exclus	sivos de giro		NO		NO		NO	NO			
Parqueo perm	nitido		NO		NO		NO	NO			
Parada de bus			NO		NO		NO	NO			
		N	° de peatones y m	aniobras de es	stacionamient	o por aproxima	ción				
Hora Pico			Norte		Sur		Este	Oeste			
N° de peatone	es hora pico		9		13		8	10			
N° de maniob	ras de estacio	namiento	0		0		0	0			
			C	ONDICIONES	SEMAFÓRIC <i>A</i>	NS					
				PLAN I	DE FASES EXIS	STENTE					
			ф1	ф	2	ф	3	ф4			
V: Verde A: Amarillo R: Rojo	DIAGRAMA	k					\		'		
	TIEMPO	A:		A:	3	A:	3	A:	3		
	(seg)	R:	73	R:	68	R:	66	R:	66		
	(308)	V:	15	v:	20	V:	22	V:	22		
	D	uración de	l ciclo	91	Oper	ación		Establecida			
		Aproxi	mación Norte				roximación S				
	Semáfo	ros vehícul	ares sin giros exc	clusivos,	Semáforos vehículares sin giros exclusivos, semáforos						
C		semáfoi	ros peatonales		peatonales						
Semáforos		Aprox	imación Este		Aproximación Oeste						
	Semáfo	ros vehícul	ares sin giros exc	clusivos,	Semáfo	ros vehícular	es sin giros ex	xclusivos, semáfo	ros		
ı		semáfoi			Semáforos vehículares sin giros exclusivos, semáforos peatonales						

Tabla 57: Intersección 3. Conteo volumétrico de tránsito de la hora pico.

					CONT	TEO D	E TRA	 ÁFICC											
REDONDEL E I	NTERSECCIÓN			IN	TERS	ECCIÓ	ÓΝ 3:	AV. E	BY PA	SS Y A	V. CA	NÓN	IGO F	RAMO	OS.				
	CALLE SENTID	O V CADDII EC			HORARIO DE CONTEO										VOLUMEN				
CALLE, SENTIDO Y CARRILES			7:45			8:00				8:15			8:30		SU	втот	AL	POR CARRIL-	
NOMBRE CALLE	SENTIDO	CARRIL	SENTIDO DE CIRCULACIÓN	Α	В	С	Α	В	С	Α	В	С	Α	В	С	Α	В	С	SENTIDO
		GIRO IZQ	4	2	0	6	1	0	6	2	0	4	3	0	20	8	0	28	
	NORTE-SUR	ÚNICO	RECTO	23	0	0	14	0	1	16	0	2	16	0	1	69	0	4	73
AV.	1 170		GIRO DER	0	0	1	2	0	1	6	0	0	4	0	1	12	0	3	15
CANONIGO		170	GIRO IZQ	50	1	4	53	3	2	29	1	8	38	1	3	170	6	17	193
RAMOS.			RECTO	0	0	0	0	0	0	0	0	0	0	0	0	0	0	0	0
	SON NONTE	DER	RECTO	0	0	0	0	0	0	0	0	0	0	0	0	0	0	0	0
		DEN	GIRO DER	28	4	4	17	6	0	19	4	1	19	6	1	83	20	6	109
		IZQ	GIRO IZQ	39	3	2	38	7	3	19	6	1	19	5	0	115	21	6	142
	ESTE-OESTE	120	RECTO	32	4	6	31	5	3	28	6	7	43	5	2	134	20	18	172
	LSTE OLSTE	DER	RECTO	38	8	8	61	12	5	42	12	2	37	6	4	178	38	19	235
AV. BY PASS		DEIX	GIRO DER	0	0	0	0	0	0	0	0	0	0	0	0	0	0	0	0
AV. DI FASS		IZQ	GIRO IZQ	0	0	0	0	0	0	0	0	0	0	0	0	0	0	0	0
	OESTE-ESTE	120	RECTO	25	8	0	45	5	3	15	4	2	30	3	3	115	20	8	143
	OLSIL-LSIE	DER	RECTO	64	2	18	64	1	7	37	6	7	34	0	8	199	9	40	248
		DEN	GIRO DER	64	14	5	72	11	6	52	12	4	48	7	5	236	44	20	300

A través de esta intersección circulan 16214 vehículos al día, en un promedio de 1351 vehículos por hora. La hora pico de esta intersección es de las 7:45 a 8:45 donde transitan 1658 autos. En la ilustración se presentan los volúmenes vehiculares por cada 15 minutos.

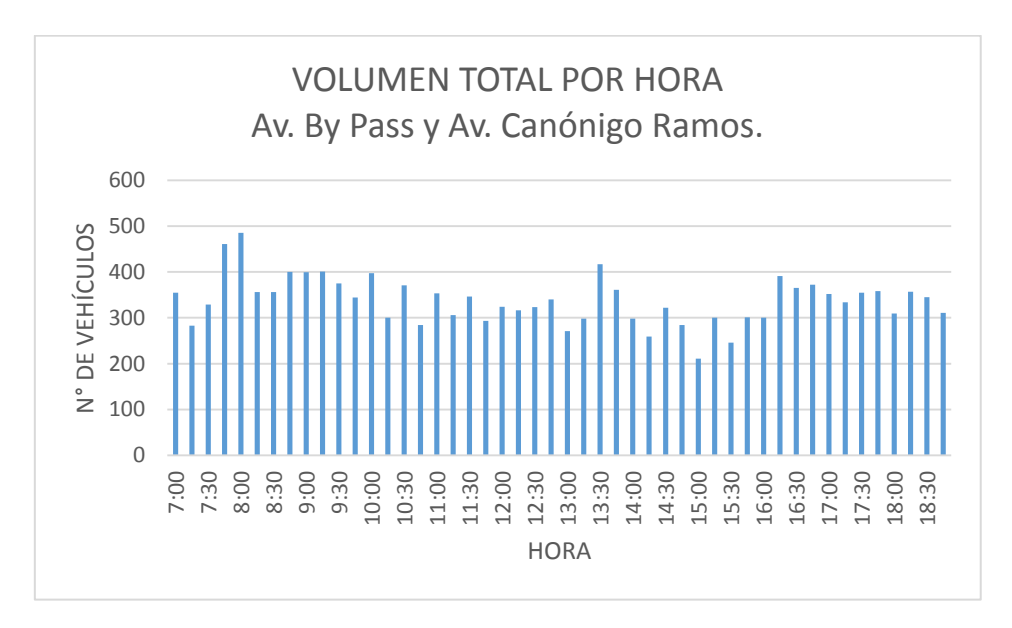


Ilustración 28: Intersección 3. Volúmenes por hora.

Fuente: Elaborado por los analistas, es una observación de campo, 5 de Septiembre del 2016.

Análisis del plan de fases actuales.

Tabla 58: Intersección 3. Sincronización semafórica actual.

SINCRONIZACIÓN SEMAFÓRICA										
Tota	al Ciclo		Fases (G)							
L=	12.00	1	G1	15.00						
tL=	3	2	G2	20.00						
Co=	91.00	3	G3	22.00						
		4	G4	22.00						

Tabla 59: Intersección 3. Capacidad y nivel de servicio actual.

CAPACIDAD Y NIVEL DE SERVICIO DE LA INTERSECCIÓN								
ANÁLISIS DE LA CAPACIDAD								
Numero de fase	1	2	3	4				
Grupo de carril	*		←	~				
Volumen vehicular (veh/h)	116	302	549	691				
Flujo de saturación, S (veh/h)	1564.27066	2926.40857	2676.07083	2820.244679				
Tiempo perdido I (s)	3	3	3	3				
Tiempo de verde efectivo g , (s)	15.00	20.00	22.00	22.00				
Tasa de verde G/Co	0.165	0.220	0.242	0.242				
Capacidad del grupo de carril ,C (veh/h)	258	643	647	682				
Relación volumen-capacidad X	0.450	0.470	0.849	1.013				
Razón de flujo Yi , (veh/h)	0.074	0.103	0.205	0.245				
Flujo crítico de la intersección Yc	0.628							
Tiempo perdido por ciclo L		1	12					
Volumen relacionado con la	0.723							
capacidad XC	DEL CRUPO I	DE CARRIL O	CONTROL DE	DETRACO				
DETERMINACIÓN DE CAPACIDAD NI	VEL DE SERV		ONTROL DE	REIRASU,				
	Norte	Sur	Este	Oeste				
Grupo de carril			$\stackrel{\longleftarrow}{\longrightarrow}$	\checkmark				
Volumen vehicular ,v (veh/h)	116	302	549	691				
Capacidad del grupo de carril ,c (veh/h)	258	643	647	682				
Relación Volumen-Capacidad X	0.450	0.470	0.849	1.013				
Taza de verde total g/C	0.165	0.220	0.242	0.242				
Retraso uniforme,d1, (s/veh) Calibración del incremento de	34.278	30.885	32.911	34.500				
retraso k	0.500	0.500	0.500	0.500				
Incremento de retraso, d2 (s/veh)	5.583	2.452	13.081	37.861				
Retraso inicial de la cola vehicular d3, (s/veh)	0	0	0	0				
Factor de progresión PF	1	1	1	1				
Retraso, d (s/veh)	39.9	33.3	46.0	72.4				
Nivel de servicio de grupo de carril	D	С	D	E				
Retraso por aproximación dA (s/veh)	39.9	33.3	46.0	72.4				
Nivel de servicio de aproximación	D	С	D	E				
Taza de flujo de la aproximación VA, (veh/h)	116	302	549	691				
Retraso de la intersección dl, (s/veh)		54	4.2					
NIVEL DE SERVICIO DE LA INTERSECCIÓN			D					

Análisis de plan de fases propuestas.

Tabla 60: Intersección 3. Razón de flujo crítico Ycr.

Fase	Movimientos	Ycr
1	Norte-Sur	0.064
2	Sur-Norte	0.115
3	Este-Oeste Oeste-Este	0.469
4	Este-Oeste Izq	0.094

Fuente: Realizada por los tesistas.

Tabla 61: Intersección 3. Cálculo del ciclo óptimo.

CICLO ÓPTIMO							
Tiempo entre verde	1 (s)	3.000					
Tiempo perdido	L(s)	12.000					
Ciclo Óptimo	Co (s)	89.083					
Ciclo Óptimo							
(redondeado)	Co (s)	90.000					

Fuente: Realizada por los tesistas.

Tabla 62: Intersección 3. Cálculo del verde efectivo.

Fase	Sentido circulación	Verde efectivo	Verde adoptado
1	Norte-Sur	6.684	7
2	Sur-Norte	12.080	12
3	Este-Oeste Oeste-Este	49.334	49
4	Este-Oeste Izq	9.902	10
		Co	90.000

Fuente: Realizada por los tesistas.

Tabla 63: Intersección 3. Nueva sincronización semafórica.

SINCRONIZACIÓN SEMAFÓRICA							
Total Ciclo Fases (G)							
L=	12.00	1	G1	7.00			
tL=	3	2	G2	12.00			
Co=	90.00	3	G3	49.00			
		4	G4	10.00			

Diagrama semafórica.

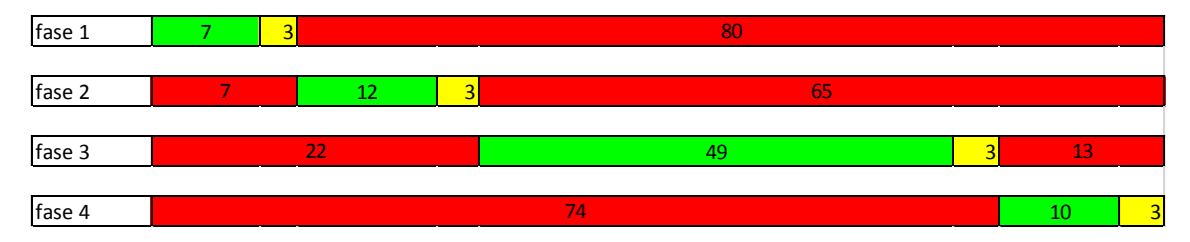


Ilustración 29: Intersección 3. Diagrama semafórica

Fuente: Realizado por los tesistas.

Al realizar la comparación del nivel de servicio actual con el propuesto podemos deducir que el nivel de servicio de la intersección en general ha pasado de nivel D a nivel C, lo que nos indica que los retrasos de los vehículos se han reducido de 54.2 segundos a 33.7 segundos. Y el análisis de la capacidad de la intersección en general es de 0.736, este se encuentra bajo la capacidad de la intersección, lo que quiere decir que la demanda no sobrepasa la capacidad de la intersección con esta propuesta.

Tabla 64: Intersección 3. Capacidad de la propuesta.

CAPACIDAD Y NIVE	CAPACIDAD Y NIVEL DE SERVICIO DE LA INTERSECCIÓN							
	ISIS DE LA CA							
Número de fase	1	2	3	4				
Grupo de carril		*	←	←				
Volumen vehicular (veh/h)	116	302	1098	142				
Flujo de saturación, S (veh/h)	1564.27066	2926.40857	2676.07083	2820.244679				
Tiempo perdido I (s)	3	3	3	3				
Tiempo de verde efectivo g , (s)	7.00	12.00	49.00	10.00				
Tasa de verde G/Co	0.078	0.133	0.544	0.111				
Capacidad del grupo de carril ,C (veh/h)	122	390	1457	313				
Relación volumen-capacidad X	0.953	0.774	0.754	0.453				
Razón de flujo Yi , (veh/h)	0.074	0.103	0.410	0.050				
Flujo crítico de la intersección YC	0.638							
Tiempo perdido por ciclo L	12							
Volumen relacionado con la	0.736							
capacidad XC								
DETERMINACIÓN DE CAPACIDAD N	DEL GRUPO		CONTROL DE	ERETRASO,				
	Norte	Sur	Este-Oeste	Este Izq.				
Grupo de carril	*			<u> </u>				
Volumen vehicular ,v (veh/h)	116	302	1098	142				
Capacidad del grupo de carril ,c (veh/h)	122	390	1457	313				
Relación Volumen-Capacidad X	0.953	0.774	0.754	0.453				
Taza de verde total g/C	0.078	0.133	0.544	0.111				
Retraso uniforme,d1, (s/veh)	41.338	37.689	15.837	37.441				
Calibración del incremento de retraso k	0.500	0.500	0.500	0.500				
Incremento de retraso, d2 (s/veh)	69.880	13.899	3.658	4.671				
Retraso inicial de la cola vehicular d3, (s/veh)	0	0	0	0				
Factor de progresión PF	1	1	1	1				
Retraso, d (s/veh)	111.2	51.6	19.5	42.1				
Nivel de servicio de grupo de carril	F	D	В	D				
Retraso por aproximación dA (s/veh)	111.2	51.6	19.5	42.1				
Nivel de servicio de aproximación	F	D	В	D				
Taza de flujo de la aproximación VA, (veh/h)	116	302	1098	142				
Retraso de la intersección dl, (s/veh)		3	3.7					
NIVEL DE SERVICIO DE LA INTERSECCIÓN		С						

4.2.4. Intersección 4: Av. Pedro Vicente Maldonado y Av. By Pass.



Ilustración 30: Intersección semaforizada 4: Av. Pedro Vicente Maldonado y Av. By Pass.

Fuente: Google Maps-2016.

UBICACIÓN					
Norte = 9816824	Este = 756452				
Altitud	2886 msnm				

Esta intersección consta de 3 accesos, norte, sur, y este, con dos carriles por cada aproximación de sentido circulación. No posee un carril exclusivo para giros izquierdos en todas las aproximaciones, los movimientos que se pueden realizar son 6 ya que la aproximación en sentido oeste-este no existe como lo indica la ilustración 31.

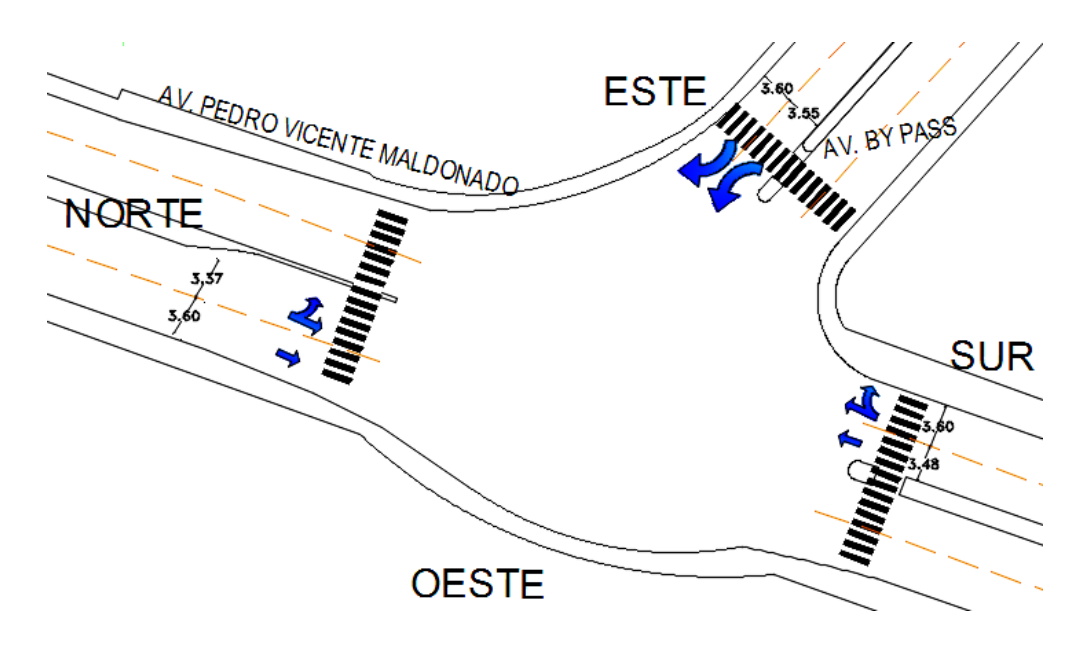


Ilustración 31: Intersección 4. Geometría y tipos de movimientos.

En esta intersección se crea congestión vehicular ya que es usada como ruta de buses urbanos e interprovinciales; además es una de las vías principales que nos dirige al centro de la urbe y también es una zona comercial; la misma está controlada por un semáforo establecido. Esta intersección es simétrica en el sentido norte-sur y sur-norte.

Tabla 65: Características geométricas y condiciones semafóricas.

	CARACTER	EÍSTICAS DE LA INTE	ERSECCIÓN 4:	Av. By Pass y Av	v. Pedro Vicente	Maldonado		
<u>!</u> S		Norte		Sur		Este	Oeste	
		2		2		2	-	
ivos de giro		NO		NO		NO	-	
itido		NO		NO		NO	-	
		SI		SI		NO	-	
	N	√ de peatones y m	aniobras de e	stacionamiento	o por aproximac	ción		
		Norte		Sur		Este	Oeste	
s hora pico		47		73		25	21	
as de estacio	namiento	0		0		0	0	
	<u>,</u>	C	ONDICIONES	SEMAFÓRICA	NS .	· · · · · · · · · · · · · · · · · · ·	•	
			PLAN	DE FASES EXIS	STENTE			
		ф1	Ó	2	ф3	3	ф4	
DIAGRAMA				**		7		
TIEMPO	A:	3	A:	3	A:	3 A:		0
	R:	53	R:	53	R:	56 R:		0
(368)	V:	25	v:	25	V:	22 V:		0
D			81	•				
C = 4 C -			al at a a	·				
Semaro		-	ciusivos,	_				
		•					•	
Semáfoi	•		rlusivos		Арго	AIIIIaCIUII OESU	<u> </u>	
Jennaron		ros peatonales	ci a 31 v 0 3,					
į	ivos de giro tido s hora pico as de estacion TIEMPO (seg) Di Semáfor	ivos de giro tido s hora pico as de estacionamiento TIEMPO (seg) Duración de Aproxi Semáforos vehícu semáfo Semáforos vehícu	Norte 2 Nos de giro NO tido NO SI N° de peatones y m Norte S hora pico Afroximación Norte R: 53 V: 25 Duración del ciclo Aproximación Norte Semáforos vehículares sin giros ex Semáforos y	Norte 2 Nos de giro NO tido NO SI N° de peatones y maniobras de e Norte Norte Norte Norte Norde Shora pico A7 as de estacionamiento O CONDICIONES PLAN TIEMPO (seg) A: R: V: 25 v: Duración del ciclo 81 Aproximación Norte Semáforos vehículares sin giros exclusivos, semáforos peatonales Aproximación Este Semáforos vehículares sin giros exclusivos,	Norte 2 2 2 2 2 2 2 2 2 2 2 2 2 2 2 2 2 2	Norte 2 2 2 1	2 2 2 2 2 2 2 2 2 2	Norte Sur Este Oeste 2 2 2 2 Nos de giro NO NO NO NO NO NO O NO NO O NO O NO O

Tabla 66: Intersección 4. Conteo volumétrico de tránsito de la hora pico.

	CONTEO DE TRÁFICO																		
REDONDEL E II	REDONDEL E INTERSECCIÓN INTERSECCIÓN 3: AV. BY PASS Y AV. PEDRO VICENTE MALDONADO																		
	CALLE, SENTID	O V CARRILES			HORARIO DE CONTEO										VOLUMEN				
	CALLE, SENTID	O I CAMMILLS			14:15		1	14:30	ı		14:45	5		15:00		SU	втот	AL	POR CARRIL-
NOMBRE CALLE	SENTIDO	CARRIL	SENTIDO DE CIRCULACIÓN	Α	В	С	Α	В	С	Α	В	С	Α	В	С	Α	В	С	SENTIDO
		IZQ	GIRO IZQ	75	18	8	77	10	3	71	11	14	69	7	11	292	46	36	374
	NORTE-SUR	12Q	RECTO	39	0	0	43	1	1	54	2	1	35	11	3	171	14	5	190
	NONTE-SON	DER	RECTO	76	13	3	84	5	5	89	9	5	77	5	4	326	32	17	375
AV. PEDRO VICENTE		DEIX	GIRO DER	0	0	0	0	0	0	0	0	0	0	0	0	0	0	0	0
MALDONADO.		IZQ	GIRO IZQ	0	0	0	0	0	0	0	0	0	0	0	0	0	0	0	0
SUR-NORTE	120	RECTO	120	6	7	81	4	5	81	5	2	108	6	2	390	21	16	427	
JOK-NORTE	DER	RECTO	11	0	0	5	0	0	9	0	0	23	3	1	48	3	1	52	
		DEN	GIRO DER	108	8	3	92	8	5	141	6	3	104	4	3	445	26	14	485
		IZQ	GIRO IZQ	21	3	1	27	5	3	17	3	4	32	3	0	97	14	8	119
	ESTE-OESTE	120	RECTO	0	0	0	0	0	0	0	0	0	0	0	0	0	0	0	0
	LSTE-OLSTE	DER	RECTO	0	0	0	0	0	0	0	0	0	0	0	0	0	0	0	0
AV. BY PASS		DEK	GIRO DER	55	12	8	56	10	8	54	8	10	70	7	7	235	37	33	305
AV. DITASS		IZQ	GIRO IZQ	0	0	0	0	0	0	0	0	0	0	0	0	0	0	0	0
	OESTE-ESTE		RECTO	0	0	0	0	0	0	0	0	0	0	0	0	0	0	0	0
	OLSIL-LSIE	DER	RECTO	0	0	0	0	0	0	0	0	0	0	0	0	0	0	0	0
		DEN	GIRO DER	0	0	0	0	0	0	0	0	0	0	0	0	0	0	0	0

A través de esta intersección circulan 24477 vehículos al día, en un promedio de 2040 vehículos por hora. La hora pico de esta intersección es de las 14:15 a 15:15 donde transitan 2327 autos. En la ilustración se presentan los volúmenes vehiculares por cada 15 minutos.

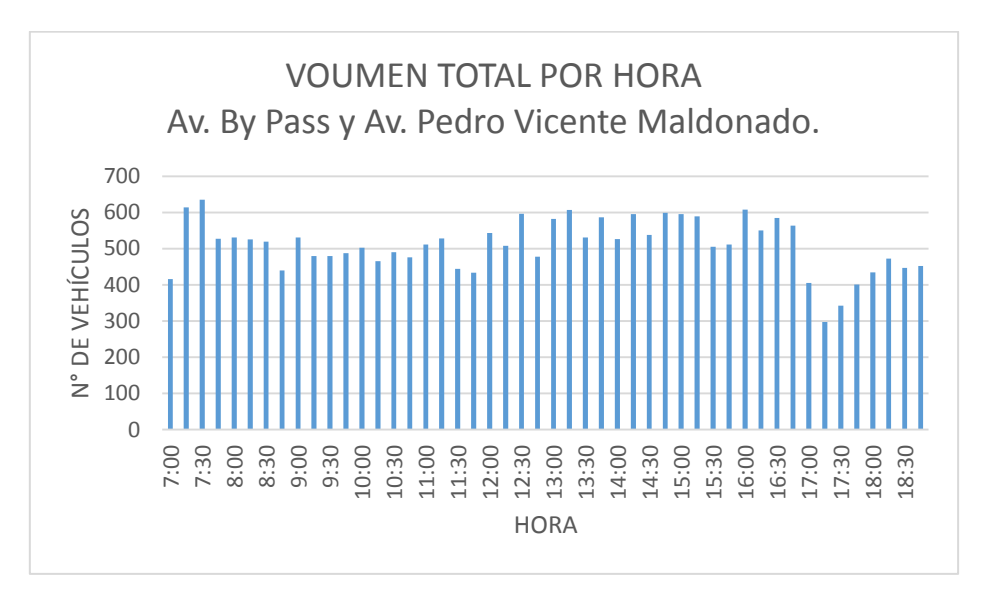


Ilustración 32: Intersección 4. Volúmenes por hora.

Fuente: Elaborado por los tesistas, es una observación de campo, 5 de Septiembre del 2016.

Análisis del plan de fases actuales.

Tabla 67: Intersección 4. Sincronización semafórica actual.

SINCRONIZACIÓN SEMAFÓRICA								
Tota	al Ciclo	Fases (G)						
L=	9.00	1	G1	25.00				
tL=	3	2	G2	25.00				
Co=	81.00	3	G3	22.00				

Tabla 68: Intersección 4. Capacidad y nivel de servicio actual.

CAPACIDAD Y NIVEL DE SE	PVICIO DE I		ŚN				
ANÁLISIS DE LA CAPACIDAD							
Número de fase	1	2	3				
Numero de lase	'	2	3				
Grupo de carril							
Volumen vehicular (veh/h)	939	964	424				
Flujo de saturación, S (veh/h)	3250.26996	2754.377602	2926.05824				
Tiempo perdido I (s)	3	3	3				
Tiempo de verde efectivo g , (s)	25.00	25.00	22.00				
Tasa de verde G/Co	0.309	0.309	0.272				
Capacidad del grupo de carril ,C (veh/h)	1003	850	795				
Relación volumen-capacidad X	0.936	1.134	0.534				
Razón de flujo Yi , (veh/h)	0.289	0.350	0.145				
Flujo crítico de la intersección YC		0.784					
Tiempo perdido por ciclo L		9					
Volumen relacionado con la		0.882					
capacidad XC							
DETERMINACIÓN DE CAPACIDAD I RETRASO, NIV		•	NTROL DE				
KETKASO, NI	Aprox. Norte		Aprox. Este				
Grupo de carril	/ prox. Norte	THE SUIT	THE TOTAL PROPERTY OF THE PROP				
Volumen vehicular ,v (veh/h)	939	964	424				
Capacidad del grupo de carril ,c (veh/h)	1003	850	795				
Relación Volumen-Capacidad X	0.936	1.134	0.534				
Taza de verde total g/C	0.309	0.309	0.272				
Retraso uniforme,d1, (s/veh)	27.223	28.000	25.129				
Calibración del incremento de retraso k	0.500	0.500	0.500				
Incremento de retraso, d2 (s/veh)	16.639	74.739	2.559				
Retraso inicial de la cola vehicular d3, (s/veh)	0	0	0				
Factor de progresión PF	1	1	1				
Retraso, d (s/veh)	43.9	102.7	27.7				
Nivel de servicio de grupo de carril	D	F	С				
Retraso por aproximación dA (s/veh)	43.9	102.7	27.7				
Nivel de servicio de aproximación	D	F	С				
Taza de flujo de la aproximación	939 964 424						
VA, (veh/h)	939	304					
		65.3					

Análisis de plan de fases propuestas.

Tabla 69: Intersección 4. Razón de flujo crítico Ycr.

Fase	Movimientos	Ycr
1	Norte-Sur Sur- Norte	0.299
2	Norte-Sur Izq Este-Oeste Der	0.273
3	Este-Oeste Izq.	0.233

Fuente: Realizada por los tesistas.

Tabla 70: Intersección 4. Cálculo del ciclo óptimo.

CICLO ÓPTIMO					
Tiempo entre verde	1 (s)	3.000			
Tiempo perdido	L(s)	9.000			
Ciclo Óptimo	Co (s)	95.282			
Ciclo Óptimo (redondeado)	Co (s)	95.000			

Fuente: Realizada por los tesistas.

Tabla 71: Intersección 4. Cálculo del verde efectivo.

Fase	Sentido circulación	Verde efectivo	Verde adoptado
1	Norte-Sur Sur- Norte	31.946	32
2	Norte-Sur Izq Este-Oeste Der	29.181	29
3	Este-Oeste Izq.	24.872	25
		Co	95.000

Fuente: Realizada por los tesistas.

Tabla 72: Intersección 4. Nueva sincronización semafórica.

SINCRONIZACIÓN SEMAFÓRICA					
Tota	al Ciclo		Fase	es (G)	
L=	9.00	1	G1	32.00	
tL=	3	2	G2	29.00	
Co=	95.00	3	G3	25.00	

Diagrama semafórica.

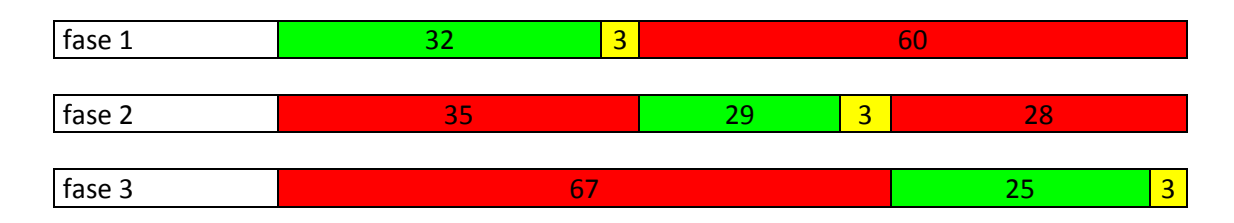


Ilustración 33: Intersección 4. Diagrama semafórica

Fuente: Realizado por los tesistas.

Al realizar la comparación del nivel de servicio actual con el propuesto podemos deducir que el nivel de servicio de la intersección en general ha pasado de nivel E a nivel C, lo que nos indica que los retrasos de los vehículos se han reducido de 65.3 segundos a 29.9 segundos. Y el análisis de la capacidad de la intersección en general es de 0.457, este se encuentra bajo la capacidad de la intersección, lo que quiere decir que la demanda no sobrepasa la capacidad de la intersección con esta propuesta.

Tabla 73: Intersección 4. Capacidad de la propuesta.

CAPACIDAD Y NIVEL DE S	ERVICIO DE I	LA INTERSECCI	ÓN	
	E LA CAPACI			
Número de fase	1	2	3	
Numero de lase			<u> </u>	
Grupo de carril			*	
Volumen vehicular (veh/h)	1529	374	119	
Flujo de saturación, S (veh/h)	6004.64756	3154.940768	2926.05824	
Tiempo perdido I (s)	3	3	3	
Tiempo de verde efectivo g , (s)	32.00	29.00	25.00	
Tasa de verde G/Co	0.337	0.305	0.263	
Capacidad del grupo de carril ,C (veh/h)	2023	963	770	
Relación volumen-capacidad X	0.756	0.388	0.155	
Razón de flujo Yi , (veh/h)	0.255	0.119	0.041	
Flujo crítico de la intersección Yc	0.414			
Tiempo perdido por ciclo L 9				
Volumen relacionado con la		0.457		
capacidad XC				
DETERMINACIÓN DE CAPACIDAD RETRASO, NI		•	NTROL DE	
nemaos, n	Aprox. Norte		Aprox. Este	
Grupo de carril		A Sur	√ FIRST ESTE	
Volumen vehicular ,v (veh/h)	1529	374	119	
Capacidad del grupo de carril ,c (veh/h)	2023	963	770	
Relación Volumen-Capacidad X	0.756	0.388	0.155	
Taza de verde total g/C	0.337	0.305	0.263	
Retraso uniforme,d1, (s/veh)	28.026	26.010	26.883	
Calibración del incremento de retraso k	0.500	0.500	0.500	
Incremento de retraso, d2 (s/veh)	2.691	1.182	0.427	
Retraso inicial de la cola vehicular d3, (s/veh)	0	0	0	
Factor de progresión PF	1	1	1	
Retraso, d (s/veh)	30.7	27.2	27.3	
Nivel de servicio de grupo de carril	С	С	С	
Retraso por aproximación dA (s/veh)	30.7	27.2	27.3	
Nivel de servicio de aproximación	С	С	С	
Taza de flujo de la aproximación VA, (veh/h)	1529	374	119	
Retraso de la intersección dl, (s/veh)		29.9		
NIVEL DE SERVICIO DE LA INTERSECCIÓN		С		

4.2.5. Intersección 5: Av. Pedro Vicente Maldonado y calle José Araujo.





Ilustración 34: Intersección semaforizada 5: Av. Pedro Vicente Maldonado y Calle José Araujo.

Fuente: Google Maps-2016.

UBICACIÓN				
Norte= 9816516	Este= 757393			
Altitud	2848 msnm			

Esta intersección consta de 4 accesos, norte, sur, este y oeste, con 2 carriles por cada aproximación de sentido norte-sur, sur-norte mientras tanto que en el sentido oeste-este y este-oeste constan de un carril único de circulación. No posee un carril exclusivo para giros izquierdos en todas las aproximaciones, los movimientos que se pueden realizar son 12 ya que cada aproximación está habilitada para realizar giros izquierdos, giros derechos y rectos como indica la ilustración 35.



Ilustración 35: Intersección 5. Geometría y tipos de movimientos.

En esta intersección se crea congestión vehicular ya que es usada como ruta de buses urbanos e interprovinciales; además es una de las vías principales que nos dirige al centro de la urbe; además esta intersección está controlada por un semáforo establecido. Esta intersección es simétrica en el sentido norte-sur y sur-norte.

Tabla 74: Características geométricas y condiciones semafóricas.

	CAF	ACTERÍSTI	CAS DE LA INTERSEC	CCIÓN 5: Av. P	edro Vicente N	Naldor	nado y calle José de Ara	ujo.	
Datos general	s Norte			Sur		Este	Oeste		
N° de carriles	es 2		2		1	1			
Carriles exclus	sivos de giro		NO		NO		NO	NO	
Parqueo perm	itido		NO		NO		NO	NO	
Parada de bus			SI		SI		NO	NO	
			N° de peatones y m	naniobras de e	stacionamient	o por a	aproximación	•	
Hora Pico			Norte		Sur		Este	Oeste	
N° de peatone	s hora pico		3		4		28	7	
N° de maniob	ras de estacio	namiento	0		0		0	0	
			C		SEMAFÓRICA		-		
		1				DE FASES EXISTENTE			
			ф1 ф		2		ф3	ф4	
V: Verde A: Amarillo R: Rojo	DIAGRAMA					_			
		A:		A:		A:	3		3
	TIEMPO	R:	70			R:	92		92
		V:	35		35 V:		13		13
	U	uración de		108	B Operación Establecida Aproximación Sur				
	Aproximación Norte Semáforos vehículares sin giros exclusivos,			Semáforos vehículares sin giros exclusivos, semáforos					
Semáforos	semáforos peatonales			peatonales					
	Aproximación Este			Aproximación Oeste					
	Semáforos vehículares sin giros exclusivos,			Semáforos vehículares sin giros exclusivos, semáforos					
		semáfo	oros peatonales			peatonales			

Tabla 75: Intersección 5: Conteo volumétrico de tránsito de la hora pico.

					CON	TEO [DE TRA	ÁFICO												
REDONDEL E II	NTERSECCIÓN		INTERS	ECCI	ÓΝ 5:	AV. P	EDRC	VICE	NTE N	ЛALD	ONAI	00 Y	CALLE	JOSI	É DE /	ARAU.	JO			
	CALLE SENTID	O V CADDILES		HORARIO DE CONTEO												VOLUMEN				
CALLE, SENTIDO Y CARRILES				13:00			13:15			13:30)		13:45	<u> </u>	SUBTOTAL			POR CARRIL-		
NOMBRE CALLE	SENTIDO	CARRIL	SENTIDO DE CIRCULACIÓN	Α	В	С	Α	В	С	Α	В	С	Α	В	С	Α	В	С	SENTIDO	
		170	IZQ	GIRO IZQ	6	1	0	2	1	0	3	0	0	5	1	0	16	3	0	19
	NORTE-SUR	12Q	RECTO	79	1	7	78	2	5	80	2	3	78	1	8	315	6	23	344	
	NONTE-SON	DER	RECTO	75	9	3	79	8	5	85	7	4	80	7	5	319	31	17	367	
AV. PEDRO VICENTE		DEN	GIRO DER	3	0	0	0	0	1	2	0	0	1	0	0	6	0	1	7	
MALDONADO.		IZQ UR-NORTE	GIRO IZQ	16	2	2	3	1	0	9	0	1	12	0	6	40	3	9	52	
	SUR-NORTE		RECTO	83	7	6	93	6	4	96	11	12	74	4	4	346	28	26	400	
	SUR-NURTE	DER	RECTO	86	6	6	89	8	5	89	16	7	75	7	7	339	37	25	401	
		DLIN	GIRO DER	10	1	3	1	0	1	6	0	4	5	0	4	22	1	12	35	
			GIRO IZQ	5	0	2	3	0	1	3	0	1	5	2	1	16	2	5	23	
	ESTE-OESTE	ÚNICO	RECTO	2	0	1	1	0	1	2	0	0	3	0	0	8	0	2		
CALLE JOSÉ DE			GIRO DER	1	1	3	0	1	4	2	1	3	6	2	2	9	5	12	26	
ARAUJO		ESTE ÚNICO	GIRO IZQ	6	0	0	8	0	0	5	1	1	2	0	0	21	1	1	23	
	OESTE-ESTE		RECTO	2	1	0	1	0	1	2	0	0	3	0	0	8	1	1	10	
			GIRO DER	9	0	0	9	0	0	8	0	1	11	0	0	37	0	1	38	

A través de esta intersección circulan 15258 vehículos al día, en un promedio de 1272 vehículos por hora. La hora pico de esta intersección es de las 13:00 a 14:00 donde transitan 1755 autos. En la ilustración se presentan los volúmenes vehiculares por cada 15 minutos.

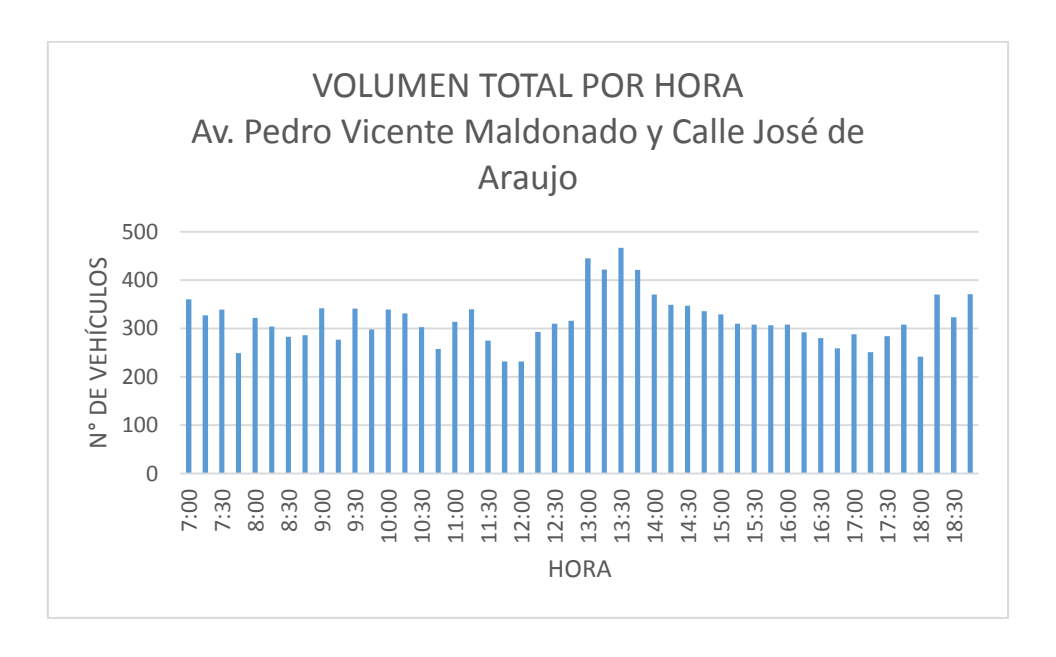


Ilustración 36: Intersección 5. Volúmenes por hora.

Fuente: Elaborado por los tesistas, es una observación de campo, 5 de Septiembre del 2016.

Análisis del plan de fases actuales.

Tabla 76: Intersección 5. Sincronización semafórica actual.

SIN	SINCRONIZACIÓN SEMAFÓRICA									
To	tal Ciclo	Fases (G)								
L=	12.00	1	G1	35.00						
tL=	3	2	G2	35.00						
Co=	108.00	3	G3	13.00						
		4	G4	13.00						

Tabla 77: Intersección 5. Capacidad y nivel de servicio actual.

CAPACIDAD Y NIVEL DE SERVICIO DE LA INTERSECCIÓN										
	LISIS DE LA C		ROEUCIUN							
Número de fase	1	2	3	4						
Grupo de carril	**	**	*	*						
Volumen vehicular (veh/h)	737	888	59	71						
Flujo de saturación, S (veh/h)	2856.088015	2598.95045	1560.272186	1541.096281						
Tiempo perdido I (s)	3	3	3	3						
Tiempo de verde efectivo g , (s)	35.00	35.00	13.00	13.00						
Tasa de verde G/Co	0.324	0.324	0.120	0.120						
Capacidad del grupo de carril , C (veh/h)	926	842	188	186						
Relación volumen-capacidad X	0.796	1.054	0.314	0.383						
Razón de flujo Yi, (veh/h)	0.258	0.342	0.038	0.046						
Flujo crítico de la intersección YC	C 0.684									
Tiempo perdido por ciclo L	12									
Volumen relacionado con la capacidad XC	0.769									
DETERMINACIÓN DE CAPACIDAD I			ITROL DE RET	RASO, NIVEL						
	DE SERVIO	00								
Grupo de carril	→	7	*	*						
Volumen vehicular ,v (veh/h)	737	888	59	71						
Capacidad del grupo de carril ,c (veh/h)	926	842	188	186						
Relación Volumen-Capacidad X	0.796	1.054	0.314	0.383						
Taza de verde total g/C	0.324	0.324	0.120	0.120						
Retraso uniforme,d1, (s/veh)	33.252	36.500	43.424	43.800						
Calibración del incremento de retraso k	0.500	0.500	0.500	0.500						
Incremento de retraso, d2 (s/veh)	7.057	46.328	4.329	5.892						
Retraso inicial de la cola vehicular d3, (s/veh)	0	0	0	0						
Factor de progresión PF	1	1	1	1						
Retraso, d (s/veh)	40.3	82.8	47.8	49.7						
Nivel de servicio de grupo de carril	D	F	D	D						
Retraso por aproximación dA (s/veh)	40.3	82.8	47.8	49.7						
Nivel de servicio de aproximación	D	F	D	D						
Taza de flujo de la aproximación VA, (veh/h)	737	888	59	71						
Retraso de la intersección dl, (s/veh)		62	.5							
(§ven) NIVEL DE SERVICIO DE LA INTERSECCIÓN										

Análisis de plan de fases propuestas.

Tabla 78: Intersección 5. Razón de flujo crítico Ycr.

Fase	Movimientos	Ycr
1	Norte-Sur	0.236
2	Sur-Norte	0.283
3	Este-Oeste	0.034
4	Oeste-Este	0.042

Fuente: Realizada por los tesistas.

Tabla 79: Intersección 5. Cálculo del ciclo óptimo.

CICLO ÓPTIMO									
Tiempo entre verde	1 (s)	3.000							
Tiempo perdido	L(s)	12.000							
Ciclo Óptimo	Co (s)	56.887							
Ciclo Óptimo (redondeado)	Co (s)	60.000							

Fuente: Realizada por los tesistas.

Tabla 80: Intersección 5. Cálculo del verde efectivo.

Fase	Sentido circulación	Verde efectivo	Verde adoptado				
1	Norte-Sur	19.045	19				
2	Sur-Norte	22.834	23				
3	Este-Oeste	2.974	5				
4	Oeste-Este	3.356	5				
		Co	64.000				

Fuente: Realizada por los tesistas.

Tabla 81: Intersección 5. Nueva sincronización semafórica.

SINCRONIZACIÓN SEMAFÓRICA										
Tota	al Ciclo	Fases (G)								
L=	12.00	1	G1	19.00						
tL=	3	2	G2	23.00						
Co=	64.00	3	G3	5.00						
		4	G4	5.00						

Diagrama semafórica.

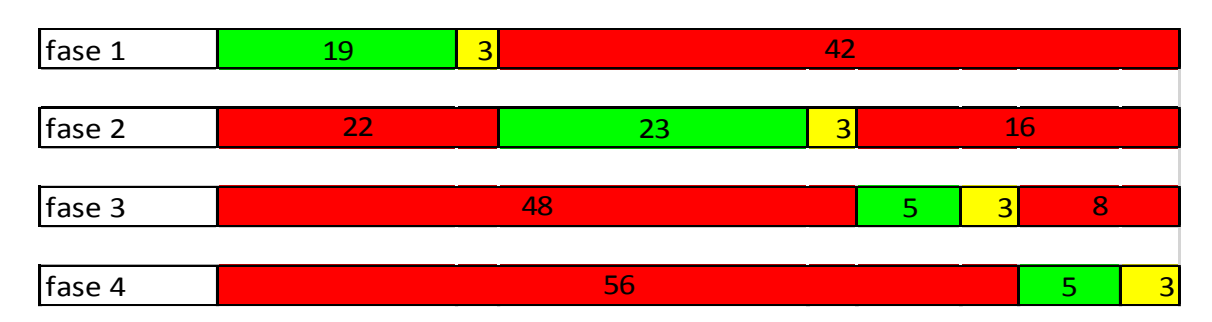


Ilustración 37: Intersección 5. Diagrama semafórica

Fuente: Realizado por los tesistas.

Al realizar la comparación del nivel de servicio actual con el propuesto podemos deducir que el nivel de servicio de la intersección en general ha pasado de nivel E a nivel D, lo que nos indica que los retrasos de los vehículos se han reducido de 62.5 segundos a 37.3 segundos. Y el análisis de la capacidad de la intersección en general es de 0.841, este se encuentra bajo la capacidad de la intersección, lo que quiere decir que la demanda no sobrepasa la capacidad de la intersección con esta propuesta.

Tabla 82: Intersección 5. Capacidad de la propuesta.

CAPACIDAD Y NIVEL	DE SERVICIO	O DE LA INTE	ERSECCIÓN					
ANÁLI	SIS DE LA CA	APACIDAD						
Número de fase	1	2	3	4				
	preesta	blecido	preesta	preestablecido				
Grupo de carril	→	**	*	*				
Volumen vehicular (veh/h)	737	888	59	71				
Flujo de saturación, S (veh/h)	2856.08802	2598.95045	1560.27219	1541.09628				
Tiempo perdido I (s)	3	3	3	3				
Tiempo de verde efectivo g , (s)	19.00	23.00	5.00	5.00				
Tasa de verde G/Co	0.297	0.359	0.078	0.078				
Capacidad del grupo de carril , C (veh/h)	848 934		122	120				
Relación volumen-capacidad X	0.869	0.951	0.484	0.590				
Razón de flujo Yi, (veh/h)	0.258	0.342	0.038	0.046				
Flujo crítico de la intersección Yc		0.6	84					
Tiempo perdido por ciclo L	12							
Volumen relacionado con la capacidad XC	0.841							
DETERMINACIÓN DE CAPACIDAD	DEL GRUPO	•	CONTROL DE	RETRASO,				
Grupo de carril	J L	**************************************	\$					
	→ →	1 1	*	\rightarrow				
Volumen vehicular ,v (veh/h)	737	888	59	71				
Capacidad del grupo de carril ,c (veh/h)	848	934	122	120				
Relación Volumen-Capacidad X	0.869	0.951	0.484	0.590				
Taza de verde total g/C	0.297	0.359	0.078	0.078				
Retraso uniforme,d1, (s/veh) Calibración del incremento de	21.322	19.949	28.264	28.509				
retraso k	0.500	0.500	0.500	0.500				
Incremento de retraso, d2 (s/veh)	11.759	19.698	13.112	19.441				
Retraso inicial de la cola vehicular d3, (s/veh)	0	0	0	0				
Factor de progresión PF	1	1	1	1				
Retraso, d (s/veh)	33.1	39.6	41.4	47.9				
Nivel de servicio de grupo de carril	С	D	D	D				
Retraso por aproximación dA (s/veh)	33.1	39.6	41.4	47.9				
Nivel de servicio de aproximación	С	D	D	D				
Taza de flujo de la aproximación VA, (veh/h)	737	888	59 71					
Retraso de la intersección dl, (s/veh)		37	'.3					
NIVEL DE SERVICIO DE LA INTERSECCIÓN		Г)					

4.2.6. Intersección 6: Av. Pedro Vicente Maldonado y calle José Peralta.



Ilustración 38: Intersección semaforizada 6: Av. Pedro Vicente Maldonado y Calle José Peralta.

Fuente: Google Maps-2016.

UBICACIÓN							
Norte= 9816357	Este= 757966						
Altitud	2821 msnm						

Esta intersección consta de 4 accesos, norte, sur, este y oeste, con 2 carriles por cada aproximación de sentido norte-sur y sur-norte, mientras tanto que en el sentido oeste-este y este-oeste constan de un carril único de circulación. No posee un carril exclusivo para giros izquierdos en todas las aproximaciones, los movimientos que se pueden realizar son 12 ya que cada aproximación está habilitada para realizar giros izquierdos, giros derechos y rectos como indica la ilustración 39.

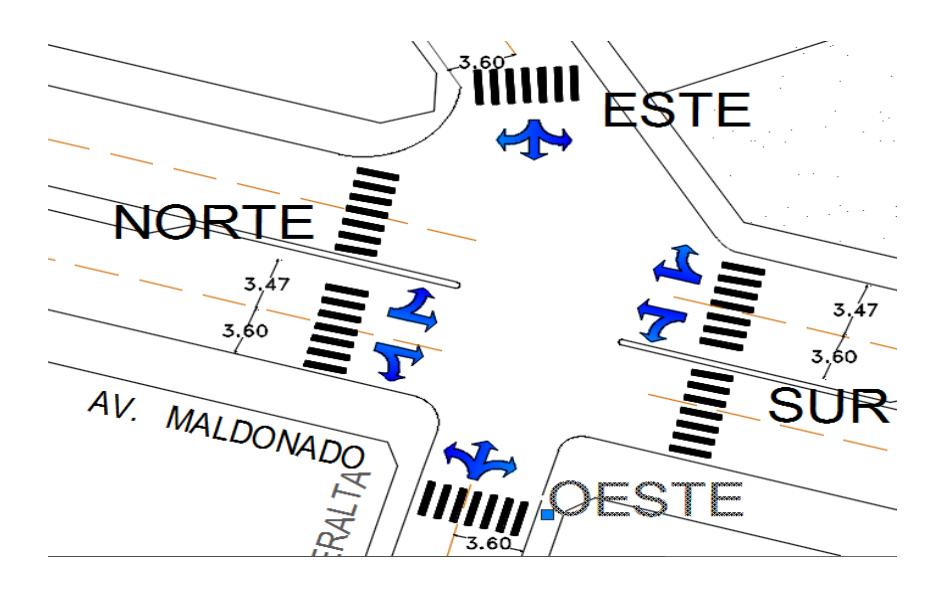


Ilustración 39: Intersección 6. Geometría y tipos de movimientos.

En esta intersección se crea congestión vehicular ya que es usada como ruta de buses urbanos e interprovinciales; además es una de las vías principales que nos dirige al centro de la urbe. Este sector es comercial, de vivienda y de estudio ya que se encuentra ubicada la Escuela Superior Politécnica de Chimborazo (ESPOCH); dicha intersección está controlada por un semáforo establecido. Esta intersección es simétrica en el sentido norte-sur y sur-norte.

Tabla 83: Características geométricas y condiciones semafóricas

	CAF	ACTERÍSTICAS	DE LA INTERSEC	CCIÓN 6: Av. Pe	edro Vicente N	//aldonado y cal	e José de Pei	ralta.			
Datos general	es		Norte		Sur		Este	0e	ste		
N° de carriles			2		2		1	1			
Carriles exclus	sivos de giro		NO		NO		NO	N	10		
Parqueo perm	itido		NO		NO		NO	N	0		
Parada de bus			SI		SI		NO	N	10		
		N° (de peatones y m	ianiobras de es	stacionamient	o por aproxima	ción				
Hora Pico	o Norte Sur Este					Oe	ste				
N° de peatone	es hora pico		7		11		39	1	.0		
N° de maniob	ras de estacio	namiento	0		0		0	(0		
			C	ONDICIONES	SEMAFÓRIC <i>A</i>	AS .					
		1		PLAN [DE FASES EXIS	STENTE		ı			
			ф1	ф	2	ф:	3	ф4			
V: Verde A: Amarillo R: Rojo	DIAGRAMA	K.					→				
	TIEMPO	A:	3	A:	3	A:	3	A:	0		
	(seg)	R:	71	R:	71	R:	96	R:	0		
		V:	45	v:	45	V:	20	V:	0		
	D	uración del c		119	Oper	ración		Establecida			
	- /6		ación Norte		Aproximación Sur						
	Semato		es sin giros ex	clusivos,	Semáforos vehículares sin giros exclusivos, semáforos						
Semáforos			s peatonales		peatonales						
	Com-41-		nación Este	alaia	Aproximación Oeste						
	Semaro		es sin giros ex	uusivos,	Semáforos vehículares sin giros exclusivos, semáforos						
		semaioro	s peatonales				peatonales				

Tabla 84: Intersección 6: Conteo volumétrico de tránsito de la hora pico.

					CONT	EO D	E TRÁ	ÁFICC												
REDONDEL E I	NTERSECCIÓN		INTERS	SECCI	ÓN 6	: AV. I	PEDR	O VI	CENTI	E MAI	LDON	IADO	Y CA	LLE J	OSÉ F	PERAL	TA			
	CALLE SENTID	O V CARRILES		HORARIO DE CONTEO											VOLUMEN					
CALLE, SENTIDO Y CARRILES				8:15		-	8:30			8:45		-	9:00		SUBTOTAL			POR CARRIL-		
NOMBRE CALLE	SENTIDO	CARRIL	SENTIDO DE CIRCULACIÓN	Α	В	С	Α	В	С	Α	В	С	Α	В	С	Α	В	С	SENTIDO	
		IZQ	GIRO IZQ	0	0	0	0	1	0	1	0	0	1	0	1	2	1	1	4	
	NORTE-SUR		RECTO	70	3	5	91	5	12	80	8	7	76	3	6	317	19	30	366	
AV 05000	NONTE SON	DER	RECTO	35	4	1	55	4	2	46	9	4	46	12	3	182	29	10	221	
AV. PEDRO VICENTE		DEIX	GIRO DER	0	0	0	1	0	0	0	0	0	0	0	0	16	0	0	16	
MALDONADO.		IZQ DER	GIRO IZQ	2	1	0	2	0	0	1	0	0	1	0	0	6	1	0	7	
	SUR-NORTE		RECTO	87	7	7	60	6	7	60	3	17	73	7	9	280	23	40	343	
	SOK NOKIE		RECTO	65	16	11	60	18	6	60	11	6	62	15	7	247	60	30	337	
		DEN	GIRO DER	5	0	5	10	0	0	11	1	0	11	1	0	37	2	5	44	
			GIRO IZQ	60	2	0	47	0	0	42	3	0	43	6	0	192	11	0	203	
	ESTE-OESTE	ÚNICO	RECTO	0	0	0	0	0	0	0	0	0	0	0	1	0	0	1	1	
CALLE JOSÉ			GIRO DER	6	3	0	2	2	0	36	3	0	13	3	0	57	11	0	68	
PERALTA.	OESTE-ESTE	ÚNICO	GIRO IZQ	7	0	0	7	0	0	7	0	0	8	0	0	29	0	0	29	
			RECTO	0	0	0	0	0	0	0	0	0	0	0	0	0	0	0	0	
			GIRO DER	1	0	0	0	0	0	0	0	0	3	0	0	4	0	0	4	

A través de esta intersección circulan 16453 vehículos al día, en un promedio de 1371 vehículos por hora. La hora pico de esta intersección es de las 08:15 a 09:15 donde transitan 1628 autos. En la ilustración se presentan los volúmenes vehiculares por cada 15 minutos.

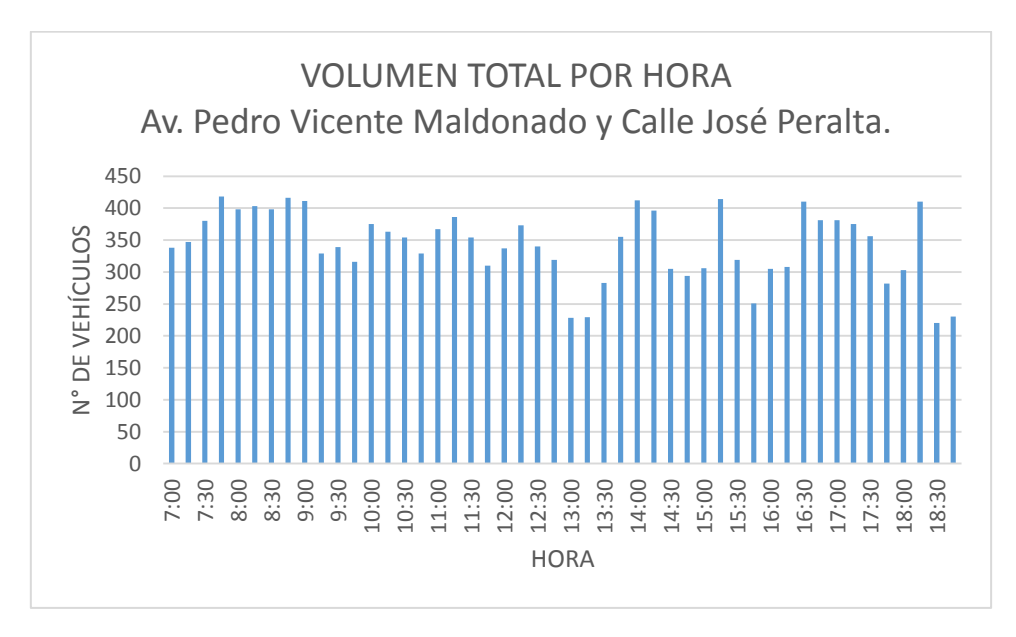


Ilustración 40: Intersección 6. Volúmenes por hora.

Fuente: Elaborado por los tesistas, es una observación de campo, 5 de Septiembre del 2016.

Tabla 85: Intersección 6. Sincronización semafórica actual.

SINCRONIZACIÓN SEMAFÓRICA									
To	tal Ciclo	Fases (G)							
L=	9.00	1	G1	45.00					
tL=	3	2	G2	45.00					
Co=	119.00	3	G3	20.00					

Tabla 86: Intersección 6. Capacidad y nivel de servicio actual.

CAPACIDAD Y NIVEL DE SERVICIO DE LA INTERSECCIÓN								
ANÁLISIS DE LA CAPACIDAD								
Número de fase	1	3						
Grupo de carril	4		***					
Volumen vehicular (veh/h)	607	731	272					
Flujo de saturación, S (veh/h)	2856.088015	2598.95045	1560.272186					
Tiempo perdido I (s)	3	3	3					
Tiempo de verde efectivo g , (s)	45.00	45.00	20.00					
Tasa de verde G/Co	0.378	0.378	0.168					
Capacidad del grupo de carril ,C (veh/h)	1080	983	262					
Relación volumen-capacidad X	0.562	0.744	1.037					
Razón de flujo Yi, (veh/h)	0.213	0.281	0.174					
Flujo crítico de la intersección YC	0.668							
Tiempo perdido por ciclo L		9						
Volumen relacionado con la capacidad XC	0.723							
DETERMINACIÓN DE CAPACIDA	D DEL GRUPO	DE CARRIL. CO	NTROL DE					
	NIVEL DE SERV							
	Norte	Sur	Este-Oeste					
Grupo de carril	→							
Volumen vehicular ,v (veh/h)	607	731	272					
Capacidad del grupo de carril ,c (veh/h)	1080	983	262					
Relación Volumen-Capacidad X	0.562	0.744	1.037					
Taza de verde total g/C	0.378	0.378	0.168					
Retraso uniforme,d1, (s/veh)	29.218	32.012	49.500					
Calibración del incremento de retraso k	0.500	0.500	0.500					
Incremento de retraso, d2 (s/veh)	2.116	5.092	65.603					
Retraso inicial de la cola vehicular d3, (s/veh)	0	0	0					
Factor de progresión PF	1	1	1					
Retraso, d (s/veh)	31.3	37.1	115.1					
Nivel de servicio de grupo de carril	С	D	F					
Retraso por aproximación dA (s/veh)	31.3	37.1	115.1					
Nivel de servicio de aproximación	С	D	F					
Taza de flujo de la aproximación VA, (veh/h)	607	731	272					
Retraso de la intersección dl, (s/veh)		48.1						
NIVEL DE SERVICIO DE LA INTERSECCIÓN	D							

Análisis de plan de fases propuestas.

Tabla 87: Intersección 6. Razón de flujo crítico Ycr.

Fase	Movimientos	Ycr
1	Norte-Sur	0.224
2	Sur-Norte	0.274
3	Este-Oeste Oeste-Este	0.161

Fuente: Realizada por los tesistas.

Tabla 88: Intersección 6. Cálculo del ciclo óptimo.

CICLO ÓPTIMO								
Tiempo entre verde	1 (s)	3.000						
Tiempo perdido	L(s)	9.000						
Ciclo Óptimo	Co (s)	54.387						
Ciclo Óptimo (redondeado)	Co (s)	55.000						

Fuente: Realizada por los tesistas.

Tabla 89: Intersección 6. Cálculo del verde efectivo.

Fase	Sentido circulación	Verde efectivo	Verde adoptado
1	Norte-Sur	15.644	16
2	Sur-Norte	19.121	19
3	Este-Oeste Oeste-Este	11.235	11
		Co	55.000

Fuente: Realizada por los tesistas.

Tabla 90: Intersección 6. Nueva sincronización semafórica.

SINCRONIZACIÓN SEMAFÓRICA								
Total Ciclo			Fases (G)					
L=	9.00	1	G1	16.00				
tL=	3	2	G2	19.00				
Co=	55.00	3	G3	11.00				

Diagrama semafórica.



Ilustración 41: Intersección 6. Diagrama semafórica

Fuente: Realizado por los tesistas.

Al realizar la comparación del nivel de servicio actual con el propuesto podemos deducir que el nivel de servicio de la intersección en general ha pasado de nivel D a nivel C, lo que nos indica que los retrasos de los vehículos se han reducido de 48.1 segundos a 27.9 segundos. Y el análisis de la capacidad de la intersección en general es de 0.799, este se encuentra bajo la capacidad de la intersección, lo que quiere decir que la demanda no sobrepasa la capacidad de la intersección con esta propuesta.

Tabla 91: Intersección 6. Capacidad de la propuesta.

CAPACIDAD Y NIVEL DE SERVICIO DE LA INTERSECCIÓN							
ANÁLISIS DE	LA CAPACIDA	AD					
Número de fase	1	2	3				
Grupo de carril	**						
Volumen vehicular (veh/h)	607	731	272				
Flujo de saturación, S (veh/h)	2856.088015	2598.95045	1560.27219				
Tiempo perdido I (s)	3	3	3				
Tiempo de verde efectivo g , (s)	16.00	19.00	11.00				
Tasa de verde G/Co	0.291	0.345	0.200				
Capacidad del grupo de carril ,C (veh/h)	831	898	312				
Relación volumen-capacidad X	0.731	0.814	0.872				
Razón de flujo Yi, (veh/h)	0.213	0.281	0.174				
Flujo crítico de la intersección YC		0.668					
Tiempo perdido por ciclo L		9					
Volumen relacionado con la		0.799					
capacidad XC		- CARRIL OC	NITEGI DE				
DETERMINACIÓN DE CAPACIDAD D RETRASO, NIV			DNIROL DE				
	Norte	Sur	Este-Oeste				
Grupo de carril	→		*				
Volumen vehicular ,v (veh/h)	607	731	272				
Capacidad del grupo de carril ,c (veh/h)	831	898	312				
Relación Volumen-Capacidad X	0.731	0.814	0.872				
Taza de verde total g/C	0.291	0.345	0.200				
Retraso uniforme,d1, (s/veh) Calibración del incremento de	17.559	16.392	21.316				
retraso k	0.500	0.500	0.500				
Incremento de retraso, d2 (s/veh)	5.614	8.017	26.767				
Retraso inicial de la cola vehicular d3, (s/veh)	0	0	0				
Factor de progresión PF	1	1	1				
Retraso, d (s/veh)	23.2	24.4	48.1				
Nivel de servicio de grupo de carril	С	С	D				
Retraso por aproximación dA (s/veh)	23.2	24.4	48.1				
Nivel de servicio de aproximación	С	С	D				
Taza de flujo de la aproximación VA, (veh/h)	607	731	272				
Retraso de la intersección dl, (s/veh)		27.9					
NIVEL DE SERVICIO DE LA INTERSECCIÓN	С						

4.2.7. Intersección 7: Av. Pedro Vicente Maldonado y Av. 11 de Noviembre.



Ilustración 42: Intersección semaforizada 7: Av. Pedro Vicente Maldonado y Av. 11 de Noviembre.

Fuente: Google Maps-2016.

UBICACIÓN					
Norte= 9816162	Este= 758661				
Altitud	2844 msnm				

Esta intersección consta de 4 accesos norte, sur, este y oeste, con 2 carriles por cada aproximación de sentido norte-sur, sur-norte y este-oeste; mientras tanto que en el sentido oeste-este consta de un carril único de circulación. No posee un carril exclusivo para giros izquierdos en todas las aproximaciones, los movimientos que se pueden realizar son 12 ya que cada aproximación está habilitada para realizar giros izquierdos, giros derechos y rectos como indica la ilustración 43.

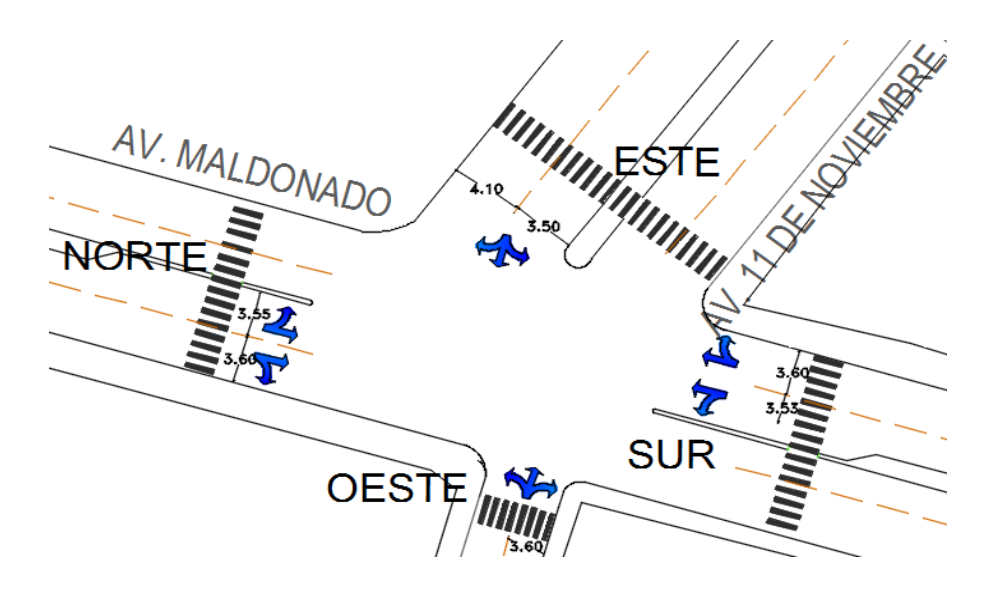


Ilustración 43: Intersección 7. Geometrías y tipos de movimientos.

En esta intersección se crea congestión vehicular ya que es usada como ruta de buses urbanos e interprovinciales; además es una de las vías principales que nos dirige al centro de la urbe. Este sector es comercial, de vivienda y de estudio ya que se encuentra ubicada la Escuela Superior Politécnica de Chimborazo (ESPOCH); dicha intersección está controlada por un semáforo establecido. Esta intersección es simétrica en el sentido norte-sur y sur-norte.

Tabla 92: Características geométricas y condiciones semafóricas.

	CAR	ACTERÍSTIC	AS DE LA INTERSEC	CIÓN 7: Av. Pe	dro Vicente N	aldor	nado y Av. 11 de Novie	mbre.			
Datos general	rales Norte			Sur		Este	Oest	e			
N° de carriles			2		2		2	1			
Carriles exclus	sivos de giro		NO		NO		NO	NO			
Parqueo perm	itido		NO		NO		NO	NO			
Parada de bus			SI		SI		NO	NO			
		١	N° de peatones y m	aniobras de e	stacionamient	o por	aproximación				
Hora Pico			Norte		Sur		Este	Oest	e		
N° de peatone	s hora pico		4		6		12	13			
N° de maniobi	ras de estacio	namiento	0		0		0	0			
			C		SEMAFÓRICA			·			
				PLAN	DE FASES EXIS	TENT		1			
			ф1	ф	2		ф3	ф4			
V: Verde A: Amarillo R: Rojo	DIAGRAMA	•				_					
	TIEMPO	A:	3	A:	3	A:	3	3 A:	3		
	(seg)	R:	74			R:		9 R:	89		
		V:	35		35 V:) V:	20		
	D	uración de	el ciclo imación Norte	112							
	Semáfo		lares sin giros ex	lusivos	Aproximación Sur Semáforos vehículares sin giros exclusivos, semáforos						
	Semaro		ros peatonales	31431433	Jemare			0.03			
Semáforos		Aproximación Este					peatonales Aproximación Oeste				
	Semáfo		lares sin giros ex	clusivos,	Semáfo	ros v	ehículares sin giros e		oros		
	semáforos peatonales				peatonales						

Tabla 93: Intersección 7: Conteo volumétrico de tránsito de la hora pico.

	CONTEO DE TRÁFICO																		
REDONDEL E II	NTERSECCIÓN		INTERSECCI	IÓN 7	7: AV	. PEC	RO V	ICEN	ITE N	ИALD	ONA	DO Y	Av. 1	1 DE	NOV	/IEME	BRRE		
	CALLE, SENTIDO	V C V DDII EC							НОІ	RARIO) DE	CON.	TEO						
	CALLE, SENTIDE	TCARRILLS			10:45	;	-	11:00)		11:15	5		11:30)	SUBTOTAL			VOLUMEN
NOMBRE CALLE	SENTIDO	CARRIL	SENTIDO DE CIRCULACIÓN	Α	В	C	Α	В	C	А	В	C	Α	В	С	А	В	С	POR CARRIL SENTIDO
		IZQ	GIRO IZQ	38	1	3	30	1	2	32	1	0	24	1	0	124	4	5	133
	NORTE-SUR	IZQ	RECTO	92	8	5	110	2	7	105	1	6	94	2	8	401	13	26	440
AV. PEDRO	NORTE-30K	DER	RECTO	75	4	5	99	12	9	87	11	6	93	14	3	354	41	23	418
VICENTE	, [DEK	GIRO DER	2	0	0	1	0	0	2	0	0	3	0	0	8	0	0	8
MALDONADO.		IZQ	GIRO IZQ	4	0	0	4	0	0	4	0	0	12	0	0	24	0	0	24
IVIALDONADO.	SUR-NORTE	IZQ	RECTO	93	3	2	86	3	7	87	3	6	90	4	4	356	13	19	388
	30K-NOKIL	DER	RECTO	57	5	3	48	8	2	43	9	1	52	8	1	200	30	7	237
		DEN	GIRO DER	11	0	0	13	0	0	4	0	0	9	0	0	37	0	0	37
		IZQ	GIRO IZQ	35	1	2	45	0	2	42	0	2	27	0	0	149	1	6	156
	ESTE-OESTE	IZQ	RECTO	5	0	0	5	0	0	0	0	2	0	0	0	10	0	2	12
AV. 11 DE	L31L-OL31L	DER	RECTO	4	0	0	5	0	0	0	0	0	1	0	0	10	0	0	10
AV. 11 DE NOVIEMBRE.		DEL	GIRO DER	36	3	4	39	5	4	45	3	5	38	4	0	158	15	13	186
INOVIEWBRE.			GIRO IZQ	11	0	2	12	0	0	3	0	0	1	0	0	27	0	2	29
	OESTE-ESTE	ÚNICO	RECTO	6	0	1	11	0	0	5	0	0	6	0	0	28	0	1	29
			GIRO DER	9	1	2	16	0	0	6	0	0	16	0	0	47	1	2	50

A través de esta intersección circulan 25061 vehículos al día, en un promedio de 2088 vehículos por hora. La hora pico de esta intersección es de las 10:45 a 11:45 donde circulan 2633 autos. En la ilustración se presentan los volúmenes vehiculares por cada 15 minutos.



Ilustración 44: Intersección 7. Volúmenes por hora.

Fuente: Elaborado por los tesistas, es una observación de campo, 5 de Septiembre del 2016.

Tabla 94: Intersección 7. Sincronización semafórica actual.

SINCRONIZACIÓN SEMAFÓRICA							
To	tal Ciclo	Fases (G)					
L=	12.00	1	G1	35.00			
tL=	3	2	G2	35.00			
Co=	112.00	3	G3	20.00			
		4	G4	10.00			

Tabla 95: Intersección 7. Capacidad y nivel de servicio actual.

CAPACIDAD Y NIVEL DE SERVICIO DE LA INTERSECCIÓN								
ANÁLISIS DE LA CAPACIDAD								
Número de fase	1 2 3 4							
Grupo de carril	→	* * * * * * * * * * * * * * * * * * * *	*	\rightarrow				
Volumen vehicular (veh/h)	999	686	364	108				
Flujo de saturación, S (veh/h)	2774.687303	2576.193496	2926.727695	1564.490316				
Tiempo perdido I (s)	3	3	3	3				
Tiempo de verde efectivo g , (s)	35.00	35.00	20.00	10.00				
Tasa de verde G/Co	0.313	0.313	0.179	0.089				
Capacidad del grupo de carril ,C (veh/h)	867	805	523	140				
Relación volumen-capacidad X	1.152	0.852	0.696	0.773				
Razón de flujo Yi , (veh/h)	0.360	0.266	0.124	0.069				
Flujo crítico de la intersección Yc		0.8	20					
Tiempo perdido por ciclo L		1	2					
Volumen relacionado con la capacidad XC	0.918							
DETERMINACIÓN DE CAPACIDAD DEL		ARRIL, CONTR	OL DE RETRAS	SO, NIVEL DE				
	SERVICIO		Ī					
	Norte	Sur	Este	Oeste				
Grupo de carril			*	\rightarrow				
Volumen vehicular ,v (veh/h)	999	686	364	108				
Capacidad del grupo de carril ,c (veh/h)	867	805	523	140				
Relación Volumen-Capacidad X	1.152	0.852	0.696	0.773				
Taza de verde total g/C	0.313	0.313	0.179	0.089				
Retraso uniforme,d1, (s/veh) Calibración del incremento de	38.500	36.075	43.153	49.890				
retraso k	0.500	0.500	0.500	0.500				
Incremento de retraso, d2 (s/veh)	81.641	11.048	7.492	33.153				
Retraso inicial de la cola vehicular d3, (s/veh)	0	0	0	0				
Factor de progresión PF	1	1	1	1				
Retraso, d (s/veh)	120.1	47.1	50.6	83.0				
Nivel de servicio de grupo de carril	F	D	D	F				
Retraso por aproximación dA (s/veh)	120.1	47.1	50.6	83.0				
Nivel de servicio de aproximación	F	D	D	F				
Taza de flujo de la aproximación VA, (veh/h)	999	686	364	108				
Retraso de la intersección dl, (s/veh)		83	.3					
NIVEL DE SERVICIO DE LA INTERSECCIÓN	F							

Análisis de plan de fases propuestas.

Tabla 96: Intersección 7. Razón de flujo crítico Ycr.

Fase	Movimientos	Ycr
1	Norte-Sur	0.340
2	Sur-Norte	0.242
3	Este-Oeste	0.134
4	Oeste-Este	0.062

Fuente: Realizada por los tesistas.

Tabla 97: Intersección 7. Cálculo del ciclo óptimo.

CICLO ÓPTIMO							
Tiempo entre verde	1 (s)	3.000					
Tiempo perdido	L(s)	12.000					
Ciclo Óptimo	Co (s)	103.640					
Ciclo Óptimo (redondeado)	Co (s)	100.000					

Fuente: Realizada por los tesistas.

Tabla 98: Intersección 7. Cálculo del verde efectivo.

Fase	Sentido circulación	Verde efectivo	Verde adoptado
1	Norte-Sur	38.415	38
2	Sur-Norte	27.396	28
3	Este-Oeste	15.192	16
4	Oeste-Este	6.997	7
		Co	101.000

Fuente: Realizada por los tesistas.

Tabla 99: Intersección 7. Nueva sincronización semafórica.

SINCRONIZACIÓN SEMAFÓRICA							
Total Ciclo Fases (G)							
L=	12.00	1	G1	38.00			
tL=	3.00	2	G2	28.00			
Co=	101.00	3	G3	16.00			
		4	G4	7.00			

Diagrama semafórica.

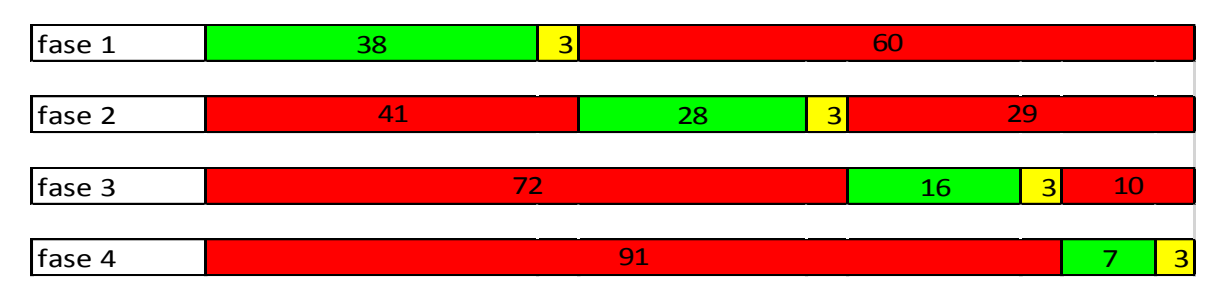


Ilustración 45: Intersección 7. Diagrama semafórica

Fuente: Realizado por los tesistas.

Al realizar la comparación del nivel de servicio actual con el propuesto podemos deducir que el nivel de servicio de la intersección en general ha pasado de nivel F a nivel E, lo que nos indica que los retrasos de los vehículos se han reducido de 83.3 segundos a 58.2 segundos. Y el análisis de la capacidad de la intersección en general es de 0.930, este se encuentra bajo la capacidad de la intersección, lo que quiere decir que la demanda no sobrepasa la capacidad de la intersección con esta propuesta.

Tabla 100: Intersección 7. Capacidad de la propuesta.

CAPACIDAD Y NIVEL D			SECCION					
ANÁLISIS DE LA CAPACIDAD								
Número de fase	1	2	3	4				
Grupo de carril	→	7	*	\rightarrow				
Volumen vehicular (veh/h)	999	686	364	108				
Flujo de saturación, S (veh/h)	2774.6873	2576.1935	2926.7277	1564.49032				
Tiempo perdido I (s)	3	3	3	3				
Tiempo de verde efectivo g , (s)	38.00	28.00	16.00	7.00				
Tasa de verde G/Co	0.376	0.277	0.158	0.069				
Capacidad del grupo de carril ,C (veh/h)	1044	714	464	108				
Relación volumen-capacidad X	0.957	0.961	0.785	0.996				
Razón de flujo Yi , (veh/h)	0.360	0.266	0.124	0.069				
Flujo crítico de la intersección YC		0.8	20					
Tiempo perdido por ciclo L		1:	2					
Volumen relacionado con la capacidad XC		0.9	30					
DETERMINACIÓN DE CAPACIDAD DI	EL GRUPO DI EL DE SERVI	•	NTROL DE R	ETRASO,				
THI V	Norte	Sur	Este	Oeste				
Grupo de carril	Norte	→	\$	CESILE				
Volumen vehicular ,v (veh/h)	999	686	364	108				
Capacidad del grupo de carril ,c (veh/h)	1044	714	464	108				
Relación Volumen-Capacidad X	0.957	0.961	0.785	0.996				
Taza de verde total g/C	0.376	0.277	0.158	0.069				
Retraso uniforme,d1, (s/veh)	30.703	35.956	40.848	46.986				
Calibración del incremento de retraso k	0.500	0.500	0.500	0.500				
Incremento de retraso, d2 (s/veh)	19.233	25.298	12.553	85.371				
Retraso inicial de la cola vehicular d3, (s/veh)	0	0	0	0				
Factor de progresión PF	1	1	1	1				
Retraso, d (s/veh)	49.9	61.3	53.4	132.4				
Nivel de servicio de grupo de carril	D	E	D	F				
Retraso por aproximación dA (s/veh)	49.9	61.3	53.4	132.4				
Nivel de servicio de aproximación	D	E	D	F				
Taza de flujo de la aproximación VA, (veh/h)	999	686	364	108				
Retraso de la intersección dl, (s/veh)		58	.2					
NIVEL DE SERVICIO DE LA INTERSECCIÓN		E						

4.2.8. Intersección 8: Av. Pedro Vicente Maldonado y Av. Saint Amont Montreal.



Ilustración 46: Intersección semaforizada 8: Av. Pedro Vicente Maldonado y Av. Saint Amont Montread.

Fuente: Google Maps-2016.

UBICACIÓN					
Norte= 9816012	Este= 759126				
Altitud	2801 msnm				

Esta intersección consta de 3 accesos, norte, sur, y este, con dos carriles por cada aproximación de sentido circulación. No posee un carril exclusivo para giros izquierdos en todas las aproximaciones, los movimientos que se pueden realizar son 6 ya que la aproximación en sentido oeste-este no existe como lo indica la ilustración 47.

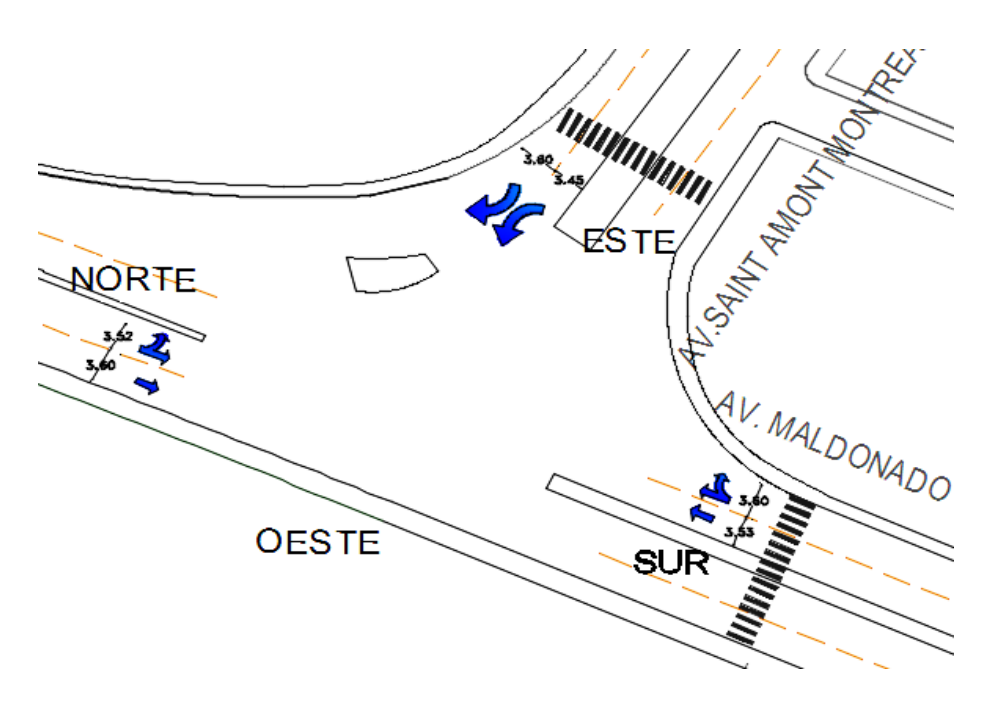


Ilustración 47: Intersección 8. Geometría y tipos de movimientos.

En esta intersección se crea congestión vehicular ya que es usada como ruta de buses urbanos; además es una de las vías principales que nos dirige al centro de la urbe, la misma está controlada por un semáforo establecido. Esta intersección es simétrica en el sentido norte-sur y sur-norte.

Tabla 101: Características geométricas y condiciones semafóricas.

	CARAC	TERÍSTICAS	DE LA INTERSECCIÓ	ÓN 8: Av. Pedro	Vicente Malo	donado y Av.	Saint Amont Mo	ntread.	
Datos general	es		Norte				Este	Oest	е
N° de carriles			2		2		2	-	
Carriles exclus	sivos de giro		NO		NO		NO	-	
Parqueo perm	itido		NO		NO		NO	-	
Parada de bus			NO		NO		NO	-	
		N	° de peatones y m	aniobras de es	tacionamient	o por aproxii	mación	•	
Hora Pico			Norte		Sur		Este	Oest	e
N° de peatone	s hora pico		3		4		6	4	
N° de maniobi	ras de estacio	namiento	0		0		0	0	
		•	С	ONDICIONES	SEMAFÓRICA	NS.	· ·		
			ф1	PLAN [DE FASES EXIS	TENTE	ф3	ф4	
V: Verde A: Amarillo R: Rojo	DIAGRAMA	,			_	(`*		
	TIEMPO	A:		A:		A:		A:	0
	(seg)	R: V:	36			R:	61		0
	Г	v: •uración de	L ciclo	v: 79		V: ación	15	v: Establecida	0
	Aproximación Norte			Aproximación Sur					
	Semáforos vehículares sin giros exclusivos, semáforos peatonales			Semáforos vehículares sin giros exclusivos, semáforos peatonales				oros	
Semáforos			imación Este			А	proximación Oe	este	
	Semáforos vehículares sin giros exclusivos, semáforos peatonales								

Tabla 102: Intersección 8: Conteo volumétrico de tránsito de la hora pico.

	CONTEO DE TRÁFICO																			
REDONDEL E II	REDONDEL E INTERSECCIÓN INTERSECCIÓN 8: AV. PEDRO VICENTE MALDONADO Y AV. SAINT AMONT MONTREAD.																			
	CALLE, SENTIDO	V CARRII FS		HORARIO DE CONTEO																
	CALLE, SENTIDE	7 CARRILLS			13:30)		13:45			14:00)		14:15)	SUI	зтот	AL	VOLUMEN	
NOMBRE CALLE	SENTIDO	CARRIL	SENTIDO DE CIRCULACIÓN	Α	В	С	Α	В	C	Α	В	С	Α	В	C	А	В	С	POR CARRIL SENTIDO	
		IZQ	GIRO IZQ	7	1	0	10	1	0	6	0	1	12	0	1	35	2	2	39	
	NORTE-SUR	IZQ	RECTO	101	8	8	90	8	7	91	5	7	111	6	5	393	27	27	447	
AV PEDRO	AV. PEDRO DER VICENTE	DER	RECTO	75	5	2	72	3	5	88	4	6	54	6	0	289	18	13	320	
		DLIN	GIRO DER	0	0	0	0	0	0	0	0	0	0	0	0	0	0	0	0	
MALDONADO.	170	IZQ	GIRO IZQ	0	0	0	0	0	0	0	0	0	0	0	0	0	0	0	0	
IVII (LDOIV) (DO.	SUR-NORTE	120	RECTO	117	5	4	100	4	8	138	6	7	119	5	8	474	20	27	521	
	JON NORTE	DER	RECTO	90	6	5	96	3	5	113	5	7	96	7	4	395	21	21	437	
		DLIN	GIRO DER	38	1	1	57	0	0	30	2	2	30	1	2	155	4	5	164	
AV. SAINT		IZQ	GIRO IZQ	40	0	1	33	1	2	36	0	2	32	0	1	141	1	6	148	
AMONT ESTE-OESTE	120	RECTO	0	0	0	0	0	0	0	0	0	0	0	0	0	0	0	0		
MONTREAD.	LOIL OLOIL	DER	RECTO	0	0	0	0	0	0	0	0	0	0	0	0	0	0	0	0	
WONTHEAD.		DLIN	GIRO DER	4	1	0	6	1	1	4	1	0	5	0	0	19	3	1	23	

A través de esta intersección circulan 21520 vehículos al día, en un promedio de 1793 vehículos por hora. La hora pico de esta intersección es de las 13:30 a 14:30 donde transitan 2099 autos. En la ilustración se presentan los volúmenes vehiculares por cada 15 minutos.

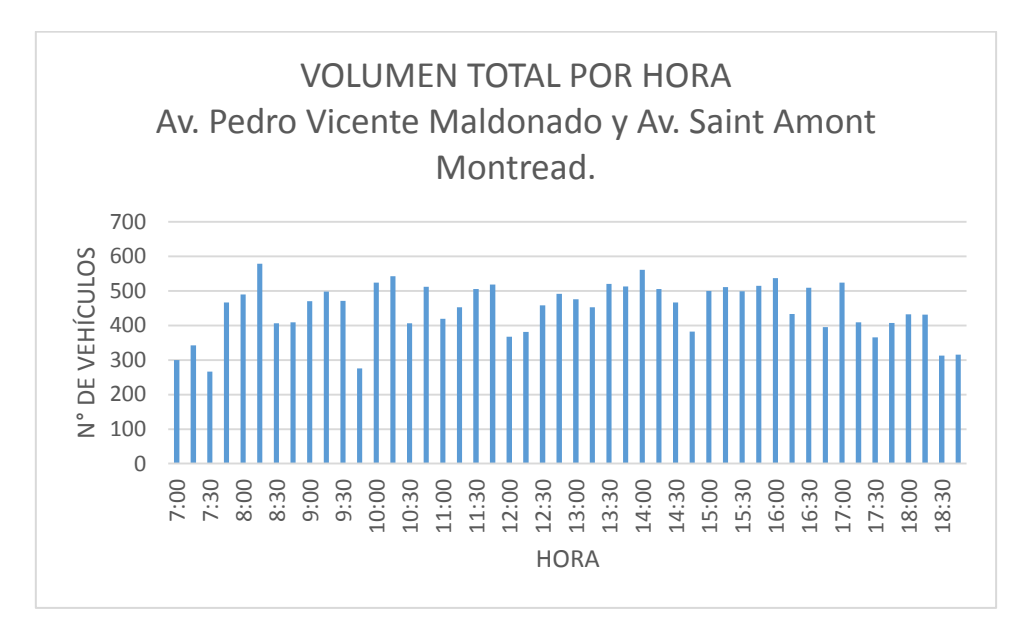


Ilustración 48: Intersección 8. Volúmenes por hora.

Fuente: Elaborado por los tesistas, es una observación de campo, 5 de Septiembre del 2016.

Tabla 103: Intersección 8. Sincronización semafórica actual.

SINCRONIZACIÓN SEMAFÓRICA							
Tota	al Ciclo	Fases (G)					
L=	9.00	1	G1	40.00			
tL=	3	2	G2	15.00			
Co=	79.00	3	G3	15.00			

Tabla 104: Intersección 8. Capacidad y nivel de servicio actual.

CAPACIDAD Y NIVEL DE SERVICIO DE LA INTERSECCIÓN						
_	E LA CAPACID		IX			
Número de fase	1	2	3			
Grupo de carril		> ,	_			
Volumen vehicular (veh/h)	1889	148	39			
Flujo de saturación, S (veh/h)	5409.30476	2693.584502	2926.969092			
Tiempo perdido I (s)	3	3	3			
Tiempo de verde efectivo g , (s)	40.00	15.00	15.00			
Tasa de verde G/Co	0.506	0.190	0.190			
Capacidad del grupo de carril , C (veh/h)	2739	511	556			
Relación volumen-capacidad X	0.690	0.289	0.070			
Razón de flujo Yi , (veh/h)	0.349	0.055	0.013			
Flujo crítico de la intersección YC		0.417				
Tiempo perdido por ciclo L Volumen relacionado con la		9				
capacidad XC		0.471				
DETERMINACIÓN DE CAPACIDAD DEL	L GRUPO DE CAI	RRIL, CONTROL	DE RETRASO,			
NIVEL	DE SERVICIO					
Grupo de carril	Norte.Sur	Este- Sur Izq	Nortte Izq.			
Volumen vehicular ,v (veh/h)	1889	148	39			
Capacidad del grupo de carril ,c (veh/h)	2739	511	556			
Relación Volumen-Capacidad X	0.690	0.289	0.070			
Taza de verde total g/C	0.506	0.190	0.190			
Retraso uniforme,d1, (s/veh)	14.792	27.431	26.274			
Calibración del incremento de retraso k	0.500	0.500	0.500			
Incremento de retraso, d2 (s/veh)	1.446	1.427	0.244			
Retraso inicial de la cola vehicular d3, (s/veh)	0	0	0			
Factor de progresión PF	1	1	1			
Retraso, d (s/veh)	16.2	28.9	26.5			
Nivel de servicio de grupo de carril	В	С	С			
Retraso por aproximación dA (s/veh)	16.2	28.9	26.5			
Nivel de servicio de aproximación	В	С	С			
Taza de flujo de la aproximación VA, (veh/h)	1889	148	39			
Retraso de la intersección dl, (s/veh)		17.3				
NIVEL DE SERVICIO DE LA INTERSECCIÓN		В				

Análisis de plan de fases propuestas.

Tabla 105: Intersección 8. Razón de flujo crítico Ycr.

Fase	Movimientos	Ycr
1	Norte-Sur Sur-Norte	0.580
2	Sur-Norte	0.101
3	Este-Oeste	0.023

Fuente: Realizada por los tesistas.

Tabla 106: Intersección 8. Cálculo del ciclo óptimo.

CICLO ÓPTIMO								
Tiempo entre verde	1 (s)	3.000						
Tiempo perdido	L(s)	9.000						
Ciclo Óptimo	Co (s)	62.460						
Ciclo Óptimo (redondeado)	Co (s)	65.000						

Fuente: Realizada por los tesistas.

Tabla 107: Intersección 8. Cálculo del verde efectivo.

Fase	Sentido circulación	Verde efectivo	Verde adoptado
1	Norte-Sur Sur-Norte	46.110	46
2	Sur-Norte	8.072	8
3	Este-Oeste	1.817	5
		Co	68.000

Fuente: Realizada por los tesistas.

Tabla 108: Intersección 8. Nueva sincronización semafórica.

SINCRONIZACIÓN SEMAFÓRICA									
Total Ciclo			Fases (G)						
L=	9.00	1	G1	46.00					
tL=	3	2	G2	8.00					
Co=	68.00	3	G3	5.00					

Diagrama semafórica.

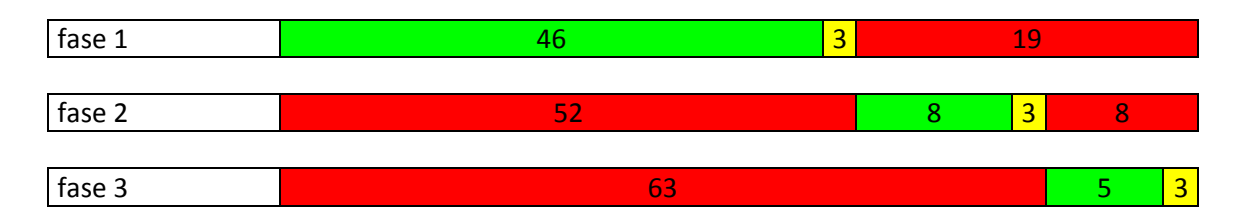


Ilustración 49: Intersección 8. Diagrama semafórica

Fuente: Realizado por los tesistas.

Al realizar la comparación del nivel de servicio actual con el propuesto podemos deducir que el nivel de servicio de la intersección en general ha pasado de nivel F a nivel D, lo que nos indica que los retrasos de los vehículos se han reducido de 177.6 segundos a 38.9 segundos. Y el análisis de la capacidad de la intersección en general es de 0.880, este se encuentra bajo la capacidad de la intersección, lo que quiere decir que la demanda no sobrepasa la capacidad de la intersección con esta propuesta.

Tabla 109: Intersección 8. Capacidad de la propuesta.

			,					
CAPACIDAD Y NIVEL DE SE			ION					
ANÁLISIS DE LA CAPACIDAD								
Número de fase	1	2	3					
Grupo de carril		>-						
Volumen vehicular (veh/h)	1889	148	39					
Flujo de saturación, S (veh/h)	5409.30476	2693.5845	2926.969092					
Tiempo perdido I (s)	3	3	3					
Tiempo de verde efectivo g , (s)	46.00	8.00	5.00					
Tasa de verde G/Co	0.676	0.118	0.074					
Capacidad del grupo de carril , C (veh/h)	3659	317	215					
Relación volumen-capacidad X	0.516	0.467	0.181					
Razón de flujo Yi , (veh/h)	0.349	0.055	0.013					
Flujo crítico de la intersección YC		0.417						
Tiempo perdido por ciclo L		9						
Volumen relacionado con la		0.481						
capacidad XC								
DETERMINACIÓN DE CAPACIDAD D RETRASO, NIV			NTROL DE					
RETRASO, NIV	Norte.Sur	Este- Sur Izq	Nortto Iza					
Grupo de carril		Lister Sur 12q	Nortte Izq.					
Grupo de carril Volumen vehicular ,v (veh/h)	1889	148	39					
·								
Volumen vehicular ,v (veh/h) Capacidad del grupo de carril ,c	1889	148	39					
Volumen vehicular ,v (veh/h) Capacidad del grupo de carril ,c (veh/h)	1889	148	39 215					
Volumen vehicular ,v (veh/h) Capacidad del grupo de carril ,c (veh/h) Relación Volumen-Capacidad X	1889 3659 0.516	148 317 0.467	39 215 0.181 0.074					
Volumen vehicular ,v (veh/h) Capacidad del grupo de carril ,c	1889 3659 0.516 0.676	148 317 0.467 0.118	39 215 0.181					
Volumen vehicular ,v (veh/h) Capacidad del grupo de carril ,c	1889 3659 0.516 0.676 5.468	148 317 0.467 0.118 28.010	39 215 0.181 0.074 29.578					
Volumen vehicular ,v (veh/h) Capacidad del grupo de carril ,c	1889 3659 0.516 0.676 5.468 0.500	148 317 0.467 0.118 28.010 0.500	39 215 0.181 0.074 29.578 0.500					
Volumen vehicular ,v (veh/h) Capacidad del grupo de carril ,c	1889 3659 0.516 0.676 5.468 0.500 0.524	148 317 0.467 0.118 28.010 0.500 4.878	39 215 0.181 0.074 29.578 0.500 1.842					
Volumen vehicular ,v (veh/h) Capacidad del grupo de carril ,c	1889 3659 0.516 0.676 5.468 0.500 0.524	148 317 0.467 0.118 28.010 0.500 4.878	39 215 0.181 0.074 29.578 0.500 1.842 0					
Volumen vehicular ,v (veh/h) Capacidad del grupo de carril ,c	1889 3659 0.516 0.676 5.468 0.500 0.524 0	148 317 0.467 0.118 28.010 0.500 4.878 0	39 215 0.181 0.074 29.578 0.500 1.842 0					
Volumen vehicular ,v (veh/h) Capacidad del grupo de carril ,c	1889 3659 0.516 0.676 5.468 0.500 0.524 0 1 6.0	148 317 0.467 0.118 28.010 0.500 4.878 0 1 32.9	39 215 0.181 0.074 29.578 0.500 1.842 0 1 31.4					
Volumen vehicular ,v (veh/h) Capacidad del grupo de carril ,c (veh/h) Relación Volumen-Capacidad X Taza de verde total g/C Retraso uniforme,d1, (s/veh) Calibración del incremento de retraso k Incremento de retraso, d2 (s/veh) Retraso inicial de la cola vehicular d3, (s/veh) Factor de progresión PF Retraso, d (s/veh) Nivel de servicio de grupo de carril Retraso por aproximación dA (s/veh)	1889 3659 0.516 0.676 5.468 0.500 0.524 0 1 6.0	148 317 0.467 0.118 28.010 0.500 4.878 0 1 32.9	39 215 0.181 0.074 29.578 0.500 1.842 0 1 31.4					
Volumen vehicular ,v (veh/h) Capacidad del grupo de carril ,c	1889 3659 0.516 0.676 5.468 0.500 0.524 0 1 6.0 A	148 317 0.467 0.118 28.010 0.500 4.878 0 1 32.9 C	39 215 0.181 0.074 29.578 0.500 1.842 0 1 31.4 C					
Volumen vehicular ,v (veh/h) Capacidad del grupo de carril ,c (veh/h) Relación Volumen-Capacidad X Taza de verde total g/C Retraso uniforme,d1, (s/veh) Calibración del incremento de retraso k Incremento de retraso, d2 (s/veh) Retraso inicial de la cola vehicular d3, (s/veh) Factor de progresión PF Retraso, d (s/veh) Nivel de servicio de grupo de carril Retraso por aproximación dA (s/veh) Nivel de servicio de aproximación Taza de flujo de la aproximación VA,	1889 3659 0.516 0.676 5.468 0.500 0.524 0 1 6.0 A	148 317 0.467 0.118 28.010 0.500 4.878 0 1 32.9 C	39 215 0.181 0.074 29.578 0.500 1.842 0 1 31.4 C					

4.2.9. Intersección 9: Av. Pedro Vicente Maldonado y Av. 9 de Octubre.



Ilustración 50: Intersección semaforizada 9: Av. Pedro Vicente Maldonado y Av. 9 de Octubre.

Fuente: Google Maps-2016.

UBICACIÓN					
Norte= 9815878	Este= 759397				
Altitud	2844 msnm				

Esta intersección consta de 3 accesos, norte, sur, y oeste, con dos carriles por cada aproximación de sentido circulación. No posee un carril exclusivo para giros izquierdos en todas las aproximaciones, los movimientos que se pueden realizar son 6 ya que la aproximación en sentido este-oeste no existe ya como indica la ilustración 51.

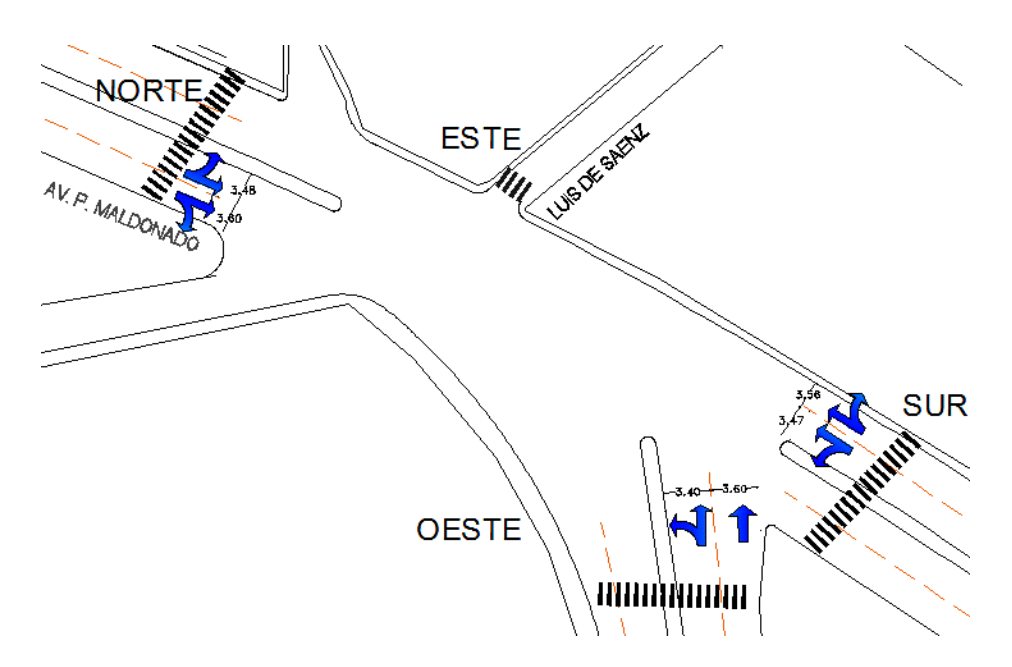


Ilustración 51: Intersección 9. Características y tipos de movimientos.

En esta intersección se crea congestión vehicular ya que es usada como ruta de buses urbanos, transporte pesado; además es una de las vías principales que nos dirige a la periferia de la urbe, la misma está controlada por un semáforo establecido. Esta intersección es simétrica en el sentido norte-sur y sur-norte.

Tabla 110: Características geométricas y condiciones semafóricas.

	CA	ARACTERÍST	TICAS DE LA INTERS	ECCIÓN 9: Av.	Pedro Vicente	Maldonado y /	Av. 9 de Octub	re.		
Datos generale	es		Norte		Sur		Este	Oes:	te	
N° de carriles			2		2		-	2		
Carriles exclus	ivos de giro		NO		NO		-	NC)	
Parqueo perm	itido		NO		NO		-	NC)	
Parada de bus			NO		NO		-	NC)	
		١	N° de peatones y m	naniobras de e	stacionamient	o por aproxima	nción			
Hora Pico			Sur		Este	Oes	te			
N° de peatone	s hora pico		3		4		2	3		
N° de maniobr	as de estacio	namiento	0		0		0	0		
			C		SEMAFÓRICA		-			
-		1	ф1		DE FASES EXIS	STENTE φ		ф4		
V: Verde A: Amarillo R: Rojo	DIAGRAMA	•		K			4			
	TIEMPO	A:	_	A:		A:		A:	0	
	(seg)	R: V:	46			R: V:		R: V:	0	
-		uración de	22 Pliciclo	V: 71		ración	22	Establecida	0	
	Aproximación Norte					Aproximación Sur				
Semáforos	Semáforos vehículares sin giros exclusivos,				Semáforos vehículares sin giros exclusivos, semáforos peatonales					
					Aproximación Oeste Semáforos vehículares sin giros exclusivos, semáforos peatonales					

Tabla 111: Intersección 9: Conteo volumétrico de tránsito de la hora pico.

	CONTEO DE TRÁFICO									•									
REDONDEL E II	REDONDEL E INTERSECCIÓN INTERSECCIÓN 9: AV. PEDRO VICENTE MALDONADO Y AV. 9 DE OCTUBRE.																		
	CALLE, SENTID	O V CADDILES							HOR	ARIO	DE C	CONT	EO						VOLUMEN
	CALLE, SENTID	O 1 CARRILES			17:45			18:00)		18:15	5		18:30)	SU	втот	AL	POR CARRIL-
NOMBRE CALLE	SENTIDO	CARRIL	SENTIDO DE CIRCULACIÓN	Α	В	С	Α	В	С	Α	В	С	Α	В	С	Α	В	С	SENTIDO
		IZQ	GIRO IZQ	0	0	0	0	0	0	0	0	0	0	0	0	0	0	0	0
	NORTE-SUR	12Q	RECTO	65	4	1	67	2	1	60	5	2	58	1	0	250	12	4	266
AV 05000	NONTE SON	DER	RECTO	56	2	0	52	4	0	66	3	0	50	6	0	224	15	0	239
AV. PEDRO VICENTE		DEIX	GIRO DER	61	0	4	59	2	1	56	0	1	58	0	2	234	2	8	244
MALDONADO.		IZQ	GIRO IZQ	8	0	0	3	0	0	5	0	0	4	0	0	20	0	0	20
		120	RECTO	59	0	1	40	0	0	64	0	3	51	0	1	214	0	5	219
	SON NONTE	DER	RECTO	31	7	2	26	9	1	33	9	0	42	4	0	132	29	3	164
		DEIN	GIRO DER	6	0	0	2	0	0	11	0	0	4	0	0	23	0	0	23
		IZQ	GIRO IZQ	0	0	0	0	0	0	0	0	0	0	0	0	0	0	0	0
	ESTE-OESTE	120	RECTO	0	0	0	0	0	0	0	0	0	0	0	0	0	0	0	0
	ESTE-OESTE	DER	RECTO	0	0	0	0	0	0	0	0	0	0	0	0	0	0	0	0
AV. 9 DE		DEK	GIRO DER	0	0	0	0	0	0	0	0	0	0	0	0	0	0	0	0
OCTUBRE		IZQ	GIRO IZQ	4	0	0	3	0	0	2	0	0	1	0	0	10	0	0	10
	OFCTF FCTF		RECTO	57	0	5	57	0	5	64	1	5	55	0	4	233	1	19	253
	OESTE-ESTE	2	RECTO	75	0	0	81	0	3	83	1	2	70	0	4	309	1	9	319
		3	GIRO DER	6	0	0	5	0	0	14	0	0	11	0	0	36	0	0	36

A través de esta intersección circulan 16760 vehículos al día, en un promedio de 1397 vehículos por hora. La hora pico de esta intersección es de las 17:45 a 18:45 donde transitan 1793 autos. En la ilustración se presentan los volúmenes vehiculares por cada 15 minutos.



Ilustración 52: Intersección 9. Volúmenes por hora.

Fuente: Elaborado por los tesistas, es una observación de campo, 5 de Septiembre del 2016.

Tabla 112: Intersección 9. Sincronización semafórica actual.

SINCRONIZACIÓN SEMAFÓRICA								
Tota	al Ciclo	Fases (G)						
L=	9.00	1	G1	22.00				
tL=	3	2	G2	18.00				
Co=	71.00	3	G3	22.00				

Tabla 113: Intersección 9. Capacidad y nivel de servicio actual.

CAPACIDAD Y NIVEL DE S	ERVICIO DE L	A INTERSECCIÓ)N
	E LA CAPACID		
Número de fase	1	2	3
Grupo de carril	4	7	
Volumen vehicular (veh/h)	749	426	618
Flujo de saturación, S (veh/h)	2926.73494	2551.994758	2898.403037
Tiempo perdido I (s)	3	3	3
Tiempo de verde efectivo g , (s)	22.00	18.00	22.00
Tasa de verde G/Co	0.310	0.254	0.310
Capacidad del grupo de carril , C (veh/h)	907	647	898
Relación volumen-capacidad X	0.826	0.658	0.688
Razón de flujo Yi , (veh/h)	0.256	0.167	0.213
Flujo crítico de la intersección YC		0.636	
Tiempo perdido por ciclo L		9	
Volumen relacionado con la		0.728	
capacidad XC		DDII OONTDOI	DE DETDAGO
DETERMINACIÓN DE CAPACIDAD DEL (NIVEL	DE SERVICIO	RRIL, CONTROL	DE REIRASO,
	Norte	Sur - Oeste giro Der	Oeste - Norte giro Der
Grupo de carril	→	7	2
Volumen vehicular ,v (veh/h)	749	426	618
Capacidad del grupo de carril ,c (veh/h)	907	647	898
Relación Volumen-Capacidad X	0.826	0.658	0.688
Taza de verde total g/C	0.310	0.254	0.310
Retraso uniforme,d1, (s/veh)	22.724	23.745	21.491
Calibración del incremento de retraso k	0.500	0.500	0.500
Incremento de retraso, d2 (s/veh)	8.495	5.188	4.291
Retraso inicial de la cola vehicular d3, (s/veh)	0	0	0
Factor de progresión PF	1	1	1
Retraso, d (s/veh)	31.2	28.9	25.8
Nivel de servicio de grupo de carril Retraso por aproximación dA (s/veh)	C 31.2	28.9	25.8
Nivel de servicio de aproximación	C	C	
Taza de flujo de la aproximación VA,	749	426	618
(veh/h)	743		010
Retraso de la intersección dl, (s/veh) NIVEL DE SERVICIO DE LA		28.8 C	
INTERSECCIÓN			

Análisis de plan de fases propuestas.

Tabla 114: Intersección 9. Razón de flujo crítico Ycr.

Fase	Movimientos	Ycr
1	Norte-Sur Sur-Norte	0.357
3	Este-Oeste	0.347

Fuente: Realizada por los tesistas.

Tabla 115: Intersección 9. Cálculo del ciclo óptimo.

CICLO ÓPTIMO						
Tiempo entre verde	1 (s)	3.000				
Tiempo perdido	L(s)	9.000				
Ciclo Óptimo	Co (s)	62.503				
Ciclo Óptimo (redondeado)	Co (s)	65.000				

Fuente: Realizada por los tesistas.

Tabla 116: Intersección 9. Cálculo del verde efectivo.

Fase	Sentido circulación	Verde efectivo	Verde adoptado
1	Norte-Sur Sur-Norte	28.414	29
3	Este-Oeste	27.586	28
		Co	66.000

Fuente: Realizada por los tesistas.

Tabla 117: Intersección 9. Nueva sincronización semafórica.

SINCRONIZACIÓN SEMAFÓRICA								
Tota	al Ciclo		Fases (G)					
L=	9.00	1	G1	29.00				
tL=	3	2	G2	28.00				
Co=	66.00	3						

Diagrama semafórica.



Ilustración 53: Intersección 9. Diagrama semafórica

Fuente: Realizado por los tesistas.

Al realizar la comparación del nivel de servicio actual con el propuesto podemos deducir que el nivel de servicio de la intersección en general ha pasado de nivel C a nivel B, lo que nos indica que los retrasos de los vehículos se han reducido de 28.8 segundos a 14.4 segundos. Y el análisis de la capacidad de la intersección en general es de 0.495, este se encuentra bajo la capacidad de la intersección, lo que quiere decir que la demanda no sobrepasa la capacidad de la intersección con esta propuesta.

Tabla 118: Intersección 9. Capacidad de la propuesta.

CAPACIDAD Y NIVEL DE SERVICIO DE LA INTERSECCIÓN							
ANÁLISIS DE LA CA	PACIDAD						
Número de fase	1	3					
Grupo de carril	117						
Volumen vehicular (veh/h)	1175	618					
Flujo de saturación, S (veh/h)	5478.729698	2898.403037					
Tiempo perdido I (s)	3	3					
Tiempo de verde efectivo g , (s)	29.00	28.00					
Tasa de verde G/Co	0.439	0.424					
Capacidad del grupo de carril , C (veh/h)	2407	1230					
Relación volumen-capacidad X	0.488	0.503					
Razón de flujo Yi , (veh/h)	0.214	0.213					
Flujo crítico de la intersección YC	0.	428					
Tiempo perdido por ciclo L		9					
Volumen relacionado con la	0.495						
capacidad XC							
DETERMINACIÓN DE CAPACIDAD I							
CONTROL DE RETRASO, NIV	VEL DE SERV						
	Norte - Sur	Oeste - Norte giro Der					
Grupo de carril	1177						
Volumen vehicular ,v (veh/h)	1175	618					
Capacidad del grupo de carril ,c (veh/h)	2407	1230					
Relación Volumen-Capacidad X	0.488	0.503					
Taza de verde total g/C	0.439	0.424					
Retraso uniforme,d1, (s/veh)	13.203	13.904					
Calibración del incremento de retraso k	0.500	0.500					
Incremento de retraso, d2 (s/veh)	0.711	1.469					
Retraso inicial de la cola vehicular d3, (s/veh)	0	0					
Factor de progresión PF	1	1					
Retraso, d (s/veh)	13.9	15.4					
Nivel de servicio de grupo de carril	В	В					
Retraso por aproximación dA (s/veh)	13.9	15.4					
Nivel de servicio de aproximación	В	В					
Taza de flujo de la aproximación VA, (veh/h)	1175	618					
Retraso de la intersección dl, (s/veh)	14.4						
NIVEL DE SERVICIO DE LA INTERSECCIÓN							

4.2.10. Intersección 10: Av. 9 de Octubre y calle S/N.





Ilustración 54: Intersección semaforizada 10: Av. 9 de Octubre y Calle S/N.

Fuente: Google Maps-2016.

UBICACIÓN

Norte= 9815547 Este= 759459

Altitud 2784 msnm

Esta intersección consta de 4 accesos, norte, sur, este y oeste, con 2 carriles por cada aproximación de sentido norte-sur, sur-norte mientras tanto que en el sentido este-oeste y oeste-este constan de un carril único de circulación. No posee un carril exclusivo para giros izquierdos en todas las aproximaciones, los movimientos que se pueden realizar son 12 ya que cada aproximación está habilitada para realizar giros izquierdos, giros derechos y rectos como indica la ilustración 55.

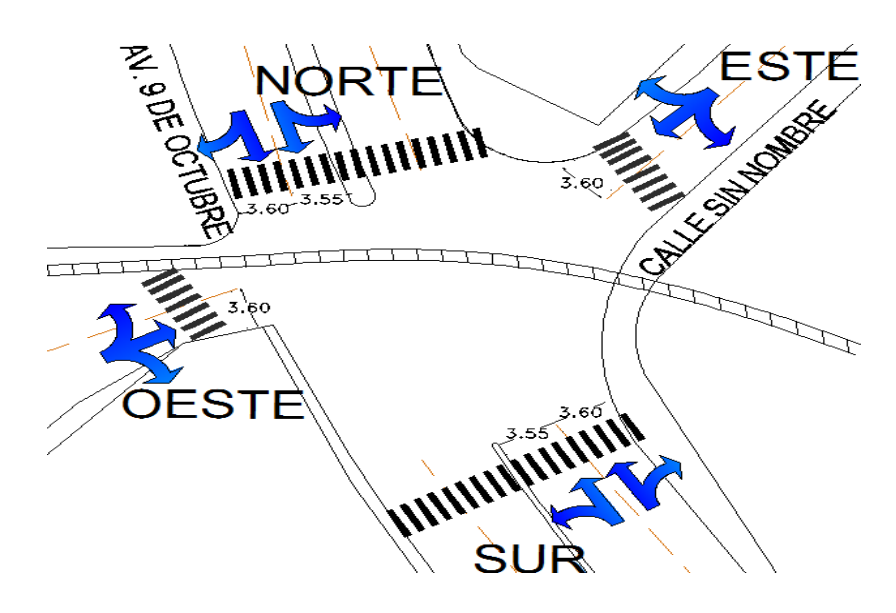


Ilustración 55: Intersección 10. Geometría y tipos de movimientos.

En esta intersección se crea congestión vehicular ya que existe un centro educativo colegio Jefferson, además es usada como ruta de transporte pesado, la misma que está controlada por un semáforo actuado ya que cuando cruza el ferrocarril este detiene el tránsito vehicular por completo. Esta intersección es simétrica en el sentido norte-sur y sur-norte.

Tabla 119: Características geométricas y condiciones semafóricas.

		CARA	CTERÍSTICAS DE	LA INTERSECCI	ÓN 10: Av. 9 d	e Octi	ubre y calle	S/N.			
Datos general	es		Norte		Sur		Es	ste	(Deste	
N° de carriles			1		2			1	2		
Carriles exclus	sivos de giro		NO		NO		N	10		NO	
Parqueo perm	nitido NO				NO		N	10		NO	
Parada de bus	bus NO			NO		N	10		NO		
		N°	de peatones y m	naniobras de es	tacionamient	o por	aproximació	'n			
Hora Pico			Norte		Sur		Es	ste	(Deste	
N° de peatone	s hora pico		6		5			8		4	
N° de maniobi	e maniobras de estacionamiento 0			0			0		0		
			C	ONDICIONES					•		
		T			DE FASES EXIS	TENT			T		
			ф1	ф2 ф3				\$ 4			
V: Verde A: Amarillo R: Rojo	DIAGRAMA				→						
	TIEMPO	A:	3	A:	3	A:		C	A:	0	
	(seg)	R:		R:	31	-			R:	0	
		V:		v:	25				V:	0	
	D	uración del		59	Oper	aciór			uada	Establecida	
	Semáfo	Aproximación Norte Semáforos vehículares sin giros exclusivos,				ros v		ximación s		máforos	
	Semaro	semáforos peatonales				Semáforos vehículares sin giros exclusivos, semáforos peatonales					
Semáforos			nación Este		Aproximación Oeste						
	Semáfo		res sin giros ex	clusivos,	Semáfo	ros v	ehículares:	sin giros e	xclusivos, se	máforos	
		semáforo	s peatonales			_	ре	eatonales	_		

Tabla 120: Intersección 10: Conteo volumétrico de tránsito de la hora pico.

	CONTEO DE TRÁFICO																		
REDONDEL E I	REDONDEL E INTERSECCIÓN				INTERSECCIÓN 10: AV. 9 DE OCTUBRE Y CALLE S/N.														
	CALLE, SENTIDO Y CARRILES			HORARIO DE CONTEO									VOLUMEN						
			1	7:15			17:30		1	7:45		-	18:00		SU	втот	AL	POR CARRIL-	
NOMBRE CALLE	SENTIDO	CARRIL	SENTIDO DE CIRCULACIÓN	Α	В	С	Α	В	С	Α	В	С	Α	В	С	Α	В	С	SENTIDO
		IZQ	GIRO IZQ	0	0	0	0	0	0	0	0	0	0	0	0	0	0	0	0
	NORTE-SUR	12Q	RECTO	36	1	3	40	0	2	35	0	2	27	2	1	138	3	8	149
	NOTITE SOR	DER	RECTO	14	0	2	24	0	0	26	0	2	32	0	0	96	0	4	100
AV. 9 DE	DEN	DEIX	GIRO DER	0	0	0	0	0	0	0	0	0	0	0	0	0	0	0	0
OCTUBRE	IZQ SUR-NORTE	170	GIRO IZQ	0	0	0	0	0	0	0	0	0	0	0	0	0	0	0	0
		120	RECTO	72	12	16	138	19	24	114	16	6	120	42	18	444	89	64	597
	30K-NOKTE	DER	RECTO	120	6	12	132	12	24	56	11	0	108	24	6	416	53	42	511
		DLIN	GIRO DER	84	0	12	42	12	0	36	5	0	114	12	4	276	29	16	321
			GIRO IZQ	10	0	0	4	0	0	15	2	0	10	0	1	39	2	1	42
	ESTE-OESTE	ÚNICO	RECTO	0	0	0	0	0	0	0	0	0	0	0	0	0	0	0	0
CALLE S/N			GIRO DER	8	0	0	7	0	0	5	0	0	5	0	0	25	0	0	25
CALLE 3/ N			GIRO IZQ	0	0	0	3	0	0	1	0	0	0	0	0	4	0	0	4
	OESTE-ESTE	-ESTE ÚNICO	RECTO	0	0	0	1	0	0	1	0	0	0	0	0	2	0	0	2
			GIRO DER	0	0	0	1	0	0	0	0	0	1	0	0	2	0	0	2

A través de esta intersección circulan 12096 vehículos al día, en un promedio de 1008 vehículos por hora. La hora pico de esta intersección es de las 17:15 a 18:15 donde transitan 1753 autos. En la ilustración se presentan los volúmenes vehiculares por cada 15 minutos.

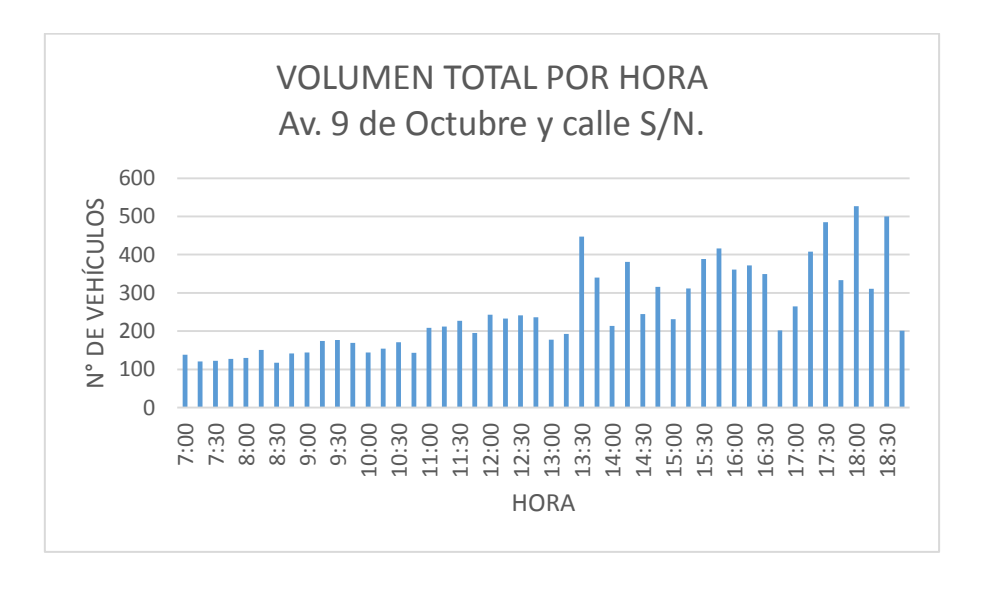


Ilustración 56: Intersección 10. Volúmenes por hora.

Fuente: Elaborado por los tesistas, es una observación de campo, 5 de Septiembre del 2016.

Tabla 121: Intersección 10. Sincronización semafórica actual.

SINCRONIZACIÓN SEMAFÓRICA										
Total Ciclo Fases (G)										
L=	6.00	1	G1	28.00						
tL=	3	2	G2	25.00						
Co=	59.00									

Tabla 122: Intersección 10. Capacidad y nivel de servicio actual.

CAPACIDAD Y NIVEL	DE SERVICIO I	DE LA INTERSE	ECCIÓN					
ANÁLIS	IS DE LA CAPA	ACIDAD						
Número de fase	1		2	2				
Grupo de carril	4	**		\rightarrow				
Volumen vehicular (veh/h)	249	1429	67	8				
Flujo de saturación, S (veh/h)	3073.188362	2926.153753	1564.8441	1565.085485				
Tiempo perdido I (s)	3	3	3	3				
Tiempo de verde efectivo g , (s)	28.00	28.00	25.00	25.00				
Tasa de verde G/Co	0.475	0.475	0.424	0.424				
Capacidad del grupo de carril ,C (veh/h)	1458	1389	663	663				
Relación volumen-capacidad X	0.171	1.029	0.101	0.012				
Razón de flujo Yi , (veh/h)	0.081	0.488	0.043	0.005				
Flujo crítico de la intersección YC		0.5	31					
Tiempo perdido por ciclo L	6							
Volumen relacionado con la capacidad Xc	ad 0.591							
DETERMINACIÓN DE CAPACIDAD DEL G	SRUPO DE CAR SERVICIO	RIL, CONTROL	DE RETRASO	, NIVEL DE				
	Norte	Sur	Este	Oeste				
Grupo de carril	4	* * * * * * * * * * * * * * * * * * * *	*	**				
Volumen vehicular ,v (veh/h)	249	1429	67	8				
Capacidad del grupo de carril ,c (veh/h)	1458	1389	663	663				
Relación Volumen-Capacidad X	0.171	1.029	0.101	0.012				
Taza de verde total g/C	0.475	0.475	0.424	0.424				
Retraso uniforme,d1, (s/veh)	8.862	15.500	10.235	9.847				
Calibración del incremento de retraso k	0.500	0.500	0.500	0.500				
Incremento de retraso, d2 (s/veh)	0.254	31.888	0.305	0.033				
Retraso inicial de la cola vehicular d3, (s/veh)	0	0	0	0				
Factor de progresión PF	1	1	1	1				
Retraso, d (s/veh)	9.1	47.4	10.5	9.9				
Nivel de servicio de grupo de carril	A 0.1	D 47.4	B 10.5	Α 0.0				
Retraso por aproximación dA (s/veh) Nivel de servicio de aproximación	9.1 A	47.4 D	10.5 B	9.9 A				
Taza de flujo de la aproximación VA,	249	1429	67	8				
(veh/h) Retraso de la intersección dl, (s/veh) NIVEL DE SERVICIO DE LA INTERSECCIÓN	40.4 D							

Análisis de plan de fases propuestas.

Tabla 123: Intersección 10. Razón de flujo crítico Ycr.

Fase	Movimientos	Ycr
1	Norte-Sur Sur-Norte	0.595
2	Este-Oeste Oeste-Este	0.039

Fuente: Realizada por los tesistas.

Tabla 124: Intersección 10. Cálculo del ciclo óptimo.

CICLO ÓPTIMO									
Tiempo entre verde	1 (s)	3.000							
Tiempo perdido	L(s)	6.000							
Ciclo Óptimo	Co (s)	38.225							
Ciclo Óptimo (redondeado)	Co (s)	40.000							

Fuente: Realizada por los tesistas.

Tabla 125: Intersección 10. Cálculo del verde efectivo.

Fase	Sentido circulación	Verde efectivo	Verde adoptado
1	Norte-Sur Sur-Norte	31.928	32
2	Este-Oeste Oeste-Este	2.072	5
		Со	43.000

Fuente: Realizada por los tesistas.

Tabla 126: Intersección 10. Nueva sincronización semafórica.

SINCRONIZACIÓN SEMAFÓRICA									
Total Ciclo Fases (G)									
L=	6.00	1	G1	32.00					
tL=	3	2	G2	5.00					
Co=	43.00								

Diagrama semafórica.

fase 1 32 3 8 5

Ilustración 57: Intersección 10. Diagrama semafórica

Fuente: Realizado por los tesistas.

Al realizar la comparación del nivel de servicio actual con el propuesto podemos deducir que el nivel de servicio de la intersección en general ha pasado de nivel D a nivel A, lo que nos indica que los retrasos de los vehículos se han reducido de 40.4 segundos a 4.7 segundos. Y el análisis de la capacidad de la intersección en general es de 0.617, este se encuentra bajo la capacidad de la intersección, lo que quiere decir que la demanda no sobrepasa la capacidad de la intersección con esta propuesta.

Tabla 127: Intersección 10. Capacidad de la propuesta.

CAPACIDAD Y NIVEL DE SERVICIO DE LA INTERSECCIÓN								
	DE LA CAPA							
Número de fase			2	2				
Grupo de carril	↓	**		\rightarrow				
Volumen vehicular (veh/h)	249	1429	67	8				
Flujo de saturación, S (veh/h)	3073.18836	2926.15375	1564.8441	1565.08548				
Tiempo perdido I (s)	3	3	3	3				
Tiempo de verde efectivo g , (s)	32.00	32.00	5.00	5.00				
Tasa de verde G/Co	0.744	0.744	0.116	0.116				
Capacidad del grupo de carril , C (veh/h)	2287	2178	182	182				
Relación volumen-capacidad X	0.109	0.656	0.368	0.044				
Razón de flujo Yi , (veh/h)	0.081	0.488	0.043	0.005				
Flujo crítico de la intersección YC		0.5	31					
Tiempo perdido por ciclo L	6							
Volumen relacionado con la capacidad Xc	0.617							
	RUPO DE CARRIL, CONTROL DE RETRASO, NIVEL DE SERVICIO							
Grupo de carril	Norte	Sur	Este	Oeste				
Volumen vehicular ,v (veh/h)	249	1429	67	8				
Capacidad del grupo de carril ,c (veh/h)	2287	2178	182	182				
Relación Volumen-Capacidad X	0.109	0.656	0.368	0.044				
Taza de verde total g/C	0.744	0.744	0.116	0.116				
Retraso uniforme,d1, (s/veh)	1.531	2.750	17.542	16.877				
Calibración del incremento de retraso k	0.500	0.500	0.500	0.500				
Incremento de retraso, d2 (s/veh)	0.096	1.562	5.653	0.454				
Retraso inicial de la cola vehicular d3, (s/veh)	0	0	0	0				
Factor de progresión PF	1	1	1	1				
Retraso, d (s/veh)	1.6	4.3	23.2	17.3				
Nivel de servicio de grupo de carril Retraso por aproximación dA (s/veh)	1.6	4.3	C 23.2	17.3				
Nivel de servicio de aproximación	Α	4.3 A	23.2 C	В				
Taza de flujo de la aproximación VA, (veh/h)	249	1429	67	8				
Retraso de la intersección dl, (s/veh) NIVEL DE SERVICIO DE LA INTERSECCIÓN			.7 A					

4.2.11. Intersección 11: Av. 9 de Octubre y calle Carabobo.



Ilustración 58: Intersección semaforizada 11: Av. 9 de Octubre y Calle Carabobo.

Fuente: Google Maps-2016.

UBICACIÓN						
Norte= 9814502	Este= 760460					
Altitud	2773 msnm					

Esta intersección consta de 4 accesos, norte, sur, este y oeste, con 2 carriles por cada aproximación de sentido norte-sur, sur-norte y oeste-este; mientras tanto que en el sentido oeste-este constan de un carril único de circulación. No posee un carril exclusivo para giros izquierdos en todas las aproximaciones, los movimientos que se pueden realizar son 12 ya que cada aproximación está habilitada para realizar giros izquierdos, giros derechos y rectos como indica la ilustración 59.

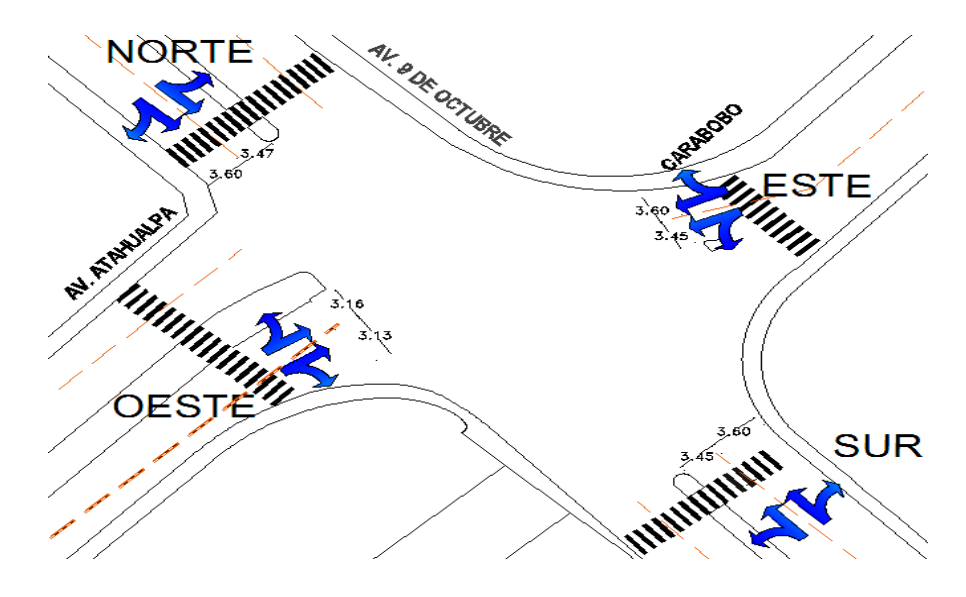


Ilustración 59: Intersección 11. Geometría y tipos de movimientos.

En esta intersección se crea congestión vehicular ya que existe un centro educativo colegio Edmundo Chiriboga, además es usada como ruta de buses y de transporte pesado, la misma que está controlada por un semáforo establecido. Esta intersección es simétrica en el sentido norte-sur y sur-norte.

Tabla 128: Características geométricas y condiciones semafóricas.

		CARAC	TERÍSTICAS DE LA	INTERSECCIÓI	N 11: Av. 9 de C	Octubre y calle	Carabobo.			
Datos general					Sur		Este		Oeste	
N° de carriles			1		2		1	2		
Carriles exclus	s exclusivos de giro NO			NO		NO		NO		
Parqueo perm	itido	tido NO		NO		NO		NO		
Parada de bus	ada de bus NO		NO		NO		NO			
		N	√ de peatones y m	naniobras de e	stacionamient	o por aproxima	ación			
Hora Pico			Norte		Sur		Este		Oeste	
N° de peatone	s hora pico		87		55		32		26	
N° de maniobr	as de estacio	namiento	0		0		0		0	
			C	ONDICIONES	SEMAFÓRIC <i>A</i>	AS	-			
				PLAN	DE FASES EXIS			1		
			ф1	4	2	ф	ф3		ф4	
V: Verde A: Amarillo R: Rojo	DIAGRAMA								₹	
	TIEMPO	A:	3	A:	3	A:	3	A:	3	
	(seg)	R:	65	R:		R:		R:	69	
		V:	22			V:		V:	18	
	D	uración de	l ciclo mación Norte	90	Oper	ración		uada	Establecida	
	Semáfo			clusivos	Aproximación Sur Semáforos vehículares sin giros exclusivos, semáforos					
	Semáforos vehículares sin giros exclusivos, semáforos peatonales				peatonales					
Semáforos	Aproximación Este				Aproximación Oeste					
	Semáfo	ros vehícul	lares sin giros ex	clusivos,	Semáfo	oros vehícular	es sin giros e	xclusivos,	semáforos	
		semáfo	ros peatonales				peatonales			

Tabla 129: Intersección 11: Conteo volumétrico de tránsito de la hora pico.

					CON	TEO D)E TR <i>É</i>	 ÁFICC)						-	-	•		
REDONDEL E II	NTERSECCIÓN			IN	TERSE	CCIÓ	N 11:	AV . 9	DE C	CTUE	BRE Y	CALLE	CAR	ABOB	Ю.				
	CALLE SENTID	O V CARRILES		HORARIO DE CONTEO											VOLUMEN				
	CALLE, SENTID	U Y CARRILES			7:30			7:45			8:00)		8:15		SUBTOTAL			POR CARRIL-
NOMBRE CALLE	SENTIDO	CARRIL	SENTIDO DE CIRCULACIÓN	Α	В	С	Α	В	С	Α	В	С	Α	В	С	Α	В	С	SENTIDO
		IZQ	GIRO IZQ	40	0	1	44	0	1	50	0	1	21	0	0	155	0	3	158
	NORTE-SUR	12Q	RECTO	11	0	0	6	0	0	8	0	0	10	0	0	35	0	0	35
	NORTE-SOR	DER	RECTO	27	2	0	17	4	1	23	1	0	27	2	0	94	9	1	104
AV. 9 DE		DEIX	GIRO DER	33	0	1	17	0	1	12	0	0	14	0	0	76	0	2	78
OCTUBRE		IZQ	GIRO IZQ	18	0	2	26	0	1	28	0	5	21	0	0	93	0	8	101
	SUR-NORTE		RECTO	142	2	26	156	0	14	138	0	28	151	0	18	587	2	86	675
	SOK NOKIE	DER	RECTO	0	0	0	0	0	0	0	0	0	0	0	0	0	0	0	0
		DEN	GIRO DER	12	0	0	10	0	0	12	0	0	11	0	1	45	0	1	46
		IZQ	GIRO IZQ	12	0	0	10	0	3	7	0	0	12	0	1	41	0	4	45
CARABOBO	ESTE-OESTE	12Q	RECTO	42	3	0	39	2	2	45	3	6	55	2	0	181	10	8	199
CARABOBO	L31L-OL31L	DER	RECTO	0	0	0	0	0	0	0	0	0	0	0	0	0	0	0	0
		DEK	GIRO DER	6	1	0	10	1	0	9	1	1	12	0	2	37	3	3	43
		170	GIRO IZQ	13	1	0	10	1	1	10	1	0	11	1	0	44	4	1	49
AV.	OFCTF FCTF	IZQ	RECTO	62	2	8	65	1	2	74	0	7	66	0	5	267	3	22	292
ATAHUALPA	OESTE-ESTE		RECTO	60	0	1	60	1	2	70	0	0	60	0	9	250	1	12	263
		DER	GIRO DER	24	0	0	14	0	0	13	0	0	15	0	0	66	0	0	66

A través de esta intersección circulan 23545 vehículos al día, en un promedio de 1962 vehículos por hora. La hora pico de esta intersección es de las 07:30 a 08:30 donde transitan 2154 autos. En la ilustración se presentan los volúmenes vehiculares por cada 15 minutos.

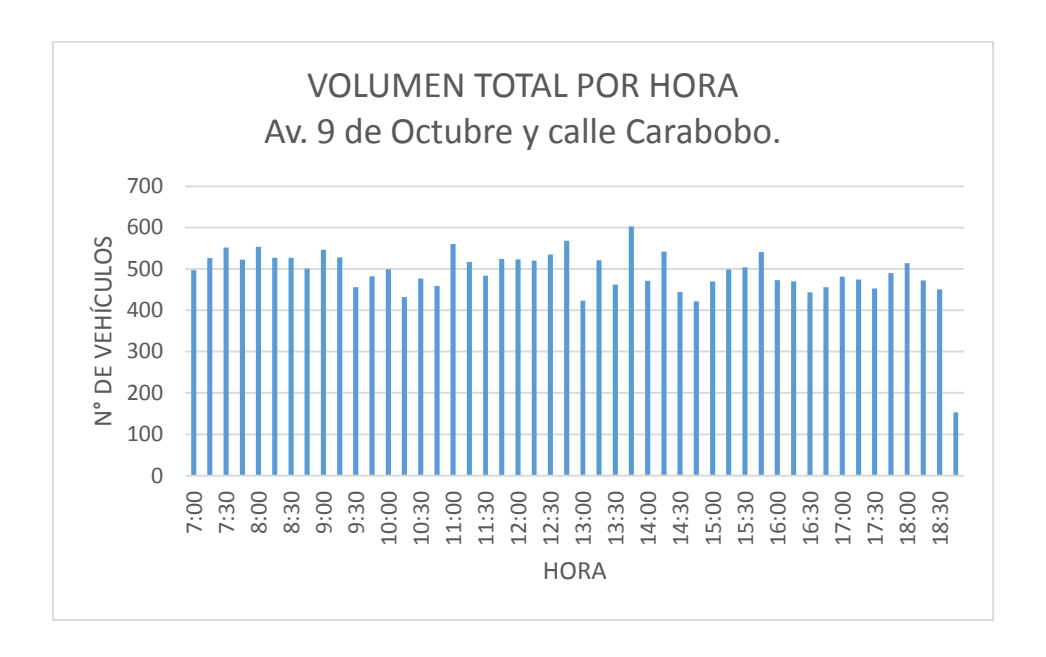


Ilustración 60: Intersección 11. Volúmenes por hora..

Fuente: Elaborado por los tesistas, es una observación de campo, 5 de Septiembre del 2016.

Tabla 130: Intersección 11. Sincronización semafórica actual.

SIN	SINCRONIZACIÓN SEMAFÓRICA										
Tota	al Ciclo	Fases (G)									
L=	12.00	1	G1	22.00							
tL=	3	2	G2	22.00							
Co=	90.00	3	G3	16.00							
		4	G4	18.00							

Tabla 131: Intersección 11. Capacidad y nivel de servicio actual.

CAPACIDAD Y NIVE	L DE SERVICIO	DE LA INTER	SECCIÓN							
ANÁL	ISIS DE LA CA	PACIDAD								
Número de fase	1	2	3	4						
Grupo de carril	*			→						
Volumen vehicular (veh/h)	375	824	287	670						
Flujo de saturación, S (veh/h)	2927.962361	2913.534528	2880.170044	2750.176742						
Tiempo perdido I (s)	3	3	3	3						
Tiempo de verde efectivo g , (s)	22.00	22.00	16.00	18.00						
Tasa de verde G/Co	0.244	0.244	0.178	0.200						
Capacidad del grupo de carril ,C (veh/h)	716	712	512	550						
Relación volumen-capacidad X	0.524	1.157	0.561	1.218						
Razón de flujo Yi , (veh/h)	0.128	0.100	0.244							
Flujo crítico de la intersección YC 0.754										
Tiempo perdido por ciclo L 12										
Volumen relacionado con la		0.8	370							
capacidad XC										
DETERMINACIÓN DE CAPACIDAD DEL	SERVICIO	ARRIL, CONTR	OL DE REIRAS	SO, NIVEL DE						
	Norte	Sur	Este - Sur giro Der	Oeste						
Grupo de carril	→			→						
Volumen vehicular ,v (veh/h)	375	824	287	670						
Capacidad del grupo de carril ,c	716	712	512	550						
(veh/h) Relación Volumen-Capacidad X	0.524	1.157	0.561	1.218						
Taza de verde total g/C	0.244	0.244	0.178	0.200						
Retraso uniforme,d1, (s/veh)	29.462	34.000	33.789	36.000						
Calibración del incremento de retraso k	0.500	0.500	0.500	0.500						
Incremento de retraso, d2 (s/veh)	2.733	85.952	4.386	113.896						
Retraso inicial de la cola vehicular d3, (s/veh)	0	0	0	0						
Factor de progresión PF	1	1	1	1						
Retraso, d (s/veh)	32.2	120.0	38.2	149.9						
Nivel de servicio de grupo de carril	С	F	D	F						
Retraso por aproximación dA (s/veh)	32.2	120.0	38.2	149.9						
Nivel de servicio de aproximación	С	F	D	F						
Taza de flujo de la aproximación VA, (veh/h)	375	824	287	670						
Retraso de la intersección dl, (s/veh)		103	3.1							
NIVEL DE SERVICIO DE LA INTERSECCIÓN		F	=							
		ľ								

Análisis de plan de fases propuestas.

Tabla 132: Intersección 11. Razón de flujo crítico Ycr.

Fase	Movimientos	Ycr
1	Norte-Sur	0.113
2	Sur-Norte	0.248
3	Este-Oeste	0.085
4	Oeste-Este	0.202

Fuente: Realizada por los tesistas.

Tabla 133: Intersección 11. Cálculo del ciclo óptimo.

CI	CICLO ÓPTIMO											
Tiempo entre verde	1 (s)	3.000										
Tiempo perdido	L(s)	12.000										
Ciclo Óptimo	Co (s)	65.263										
Ciclo Óptimo (redondeado)	Co (s)	70.000										

Fuente: Realizada por los tesistas.

Tabla 134: Intersección 11. Cálculo del verde efectivo.

Fase	Sentido circulación	Verde efectivo	Verde adoptado				
1	Norte-Sur	10.089	10				
2	Sur-Norte	22.175	22				
3	Este-Oeste	7.616	8				
4	Oeste-Este	18.120	18				
		Co	70.000				

Fuente: Realizada por los tesistas.

Tabla 135: Intersección 11. Nueva sincronización semafórica.

SINCRONIZACIÓN SEMAFÓRICA										
Tota	al Ciclo	Fases (G)								
L=	12.00	1	G1	10.00						
tL=	3	2	G2	22.00						
Co=	70.00	3	G3	8.00						
		4	G4	18.00						

Diagrama semafórica.

:

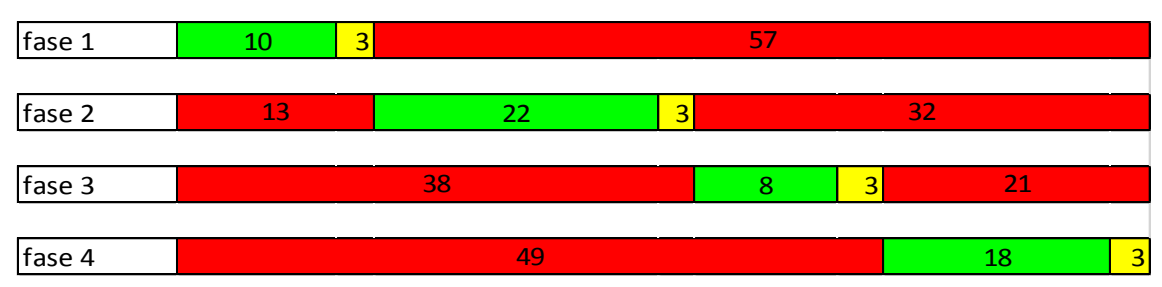


Ilustración 61: Intersección 11. Diagrama semafórica

Fuente: Realizado por los tesistas.

Al realizar la comparación del nivel de servicio actual con el propuesto podemos deducir que el nivel de servicio de la intersección en general ha pasado de nivel F a nivel D, lo que nos indica que los retrasos de los vehículos se han reducido de 103.1 segundos a 46.0 segundos. Y el análisis de la capacidad de la intersección en general es de 0.910, este se encuentra bajo la capacidad de la intersección, lo que quiere decir que la demanda no sobrepasa la capacidad de la intersección con esta propuesta.

Tabla 136: Intersección 11. Capacidad de la propuesta.

CAPACIDAD Y NIVEL DE	SERVICIO DE	LA INTERSE	CCIÓN						
ANÁLISIS	DE LA CAPAC	CIDAD							
Número de fase	1	2	3	4					
Grupo de carril	44	7		***					
Volumen vehicular (veh/h)	375	824	287	670					
Flujo de saturación, S (veh/h)	2927.96236	2913.53453	2880.17004	2750.17674					
Tiempo perdido I (s)	3	3	3	3					
Tiempo de verde efectivo G , (s)	10.00	22.00	8.00	18.00					
Tasa de verde G/Co	0.143	0.314	0.114	0.257					
Capacidad del grupo de carril ,C (veh/h)	418	916	329	707					
Relación volumen-capacidad X	0.897	0.900	0.872	0.947					
Razón de flujo Yi , (veh/h)	0.128	0.283	0.100	0.244					
Flujo crítico de la intersección YC 0.754									
Tiempo perdido por ciclo L		1	2						
Volumen relacionado con la capacidad		0.9	910						
Xc									
DETERMINACIÓN DE CAPACIDAD DEL GE DE	SERVICIO	RIL, CONTRO	DL DE REIRA	SO, NIVEL					
	Norte	Sur	Este - Sur giro Der	Oeste					
Grupo de carril	**								
Volumen vehicular ,v (veh/h)	375	824	287	670					
Capacidad del grupo de carril ,c (veh/h)	418	916	329	707					
Relación Volumen-Capacidad X	0.897	0.900	0.872	0.947					
Taza de verde total g/C	0.143	0.314	0.114	0.257					
Retraso uniforme,d1, (s/veh)	29.491	22.947	30.496	25.535					
Calibración del incremento de retraso k	0.500	0.500	0.500	0.500					
Incremento de retraso, d2 (s/veh)	24.449	13.576	25.734	23.170					
Retraso inicial de la cola vehicular d3, (s/veh)	0	0	0	0					
Factor de progresión PF	1	1	1	1					
Retraso, d (s/veh)	53.9	36.5	56.2	48.7					
Nivel de servicio de grupo de carril	D	D	E	D					
Retraso por aproximación dA (s/veh)	53.9	36.5	56.2	48.7					
Nivel de servicio de aproximación	D	D	E	D					
Taza de flujo de la aproximación VA, (veh/h)	375	824	287	670					
Retraso de la intersección dl, (s/veh)		46	5.0						
NIVEL DE SERVICIO DE LA INTERSECCIÓN)						

4.2.12. Intersección12: Av. 9 de octubre y Av. Juan Félix Proaño.



Ilustración 62: Intersección semaforizada 12: Av. 9de Octubre y Av. Juan Félix Proaño.

Fuente: Google Maps-2016.

UBICACIÓN								
Norte= 9813501								
Altitud	2844 msnm							

Esta intersección consta de 4 accesos, norte, sur, este y oeste, con 2 carriles por cada aproximación. No posee un carril exclusivo para giros izquierdos en todas las aproximaciones, los movimientos que se pueden realizar son 12 ya que cada aproximación está habilitada para realizar giros izquierdos, giros derechos y rectos como indica la ilustración 63.

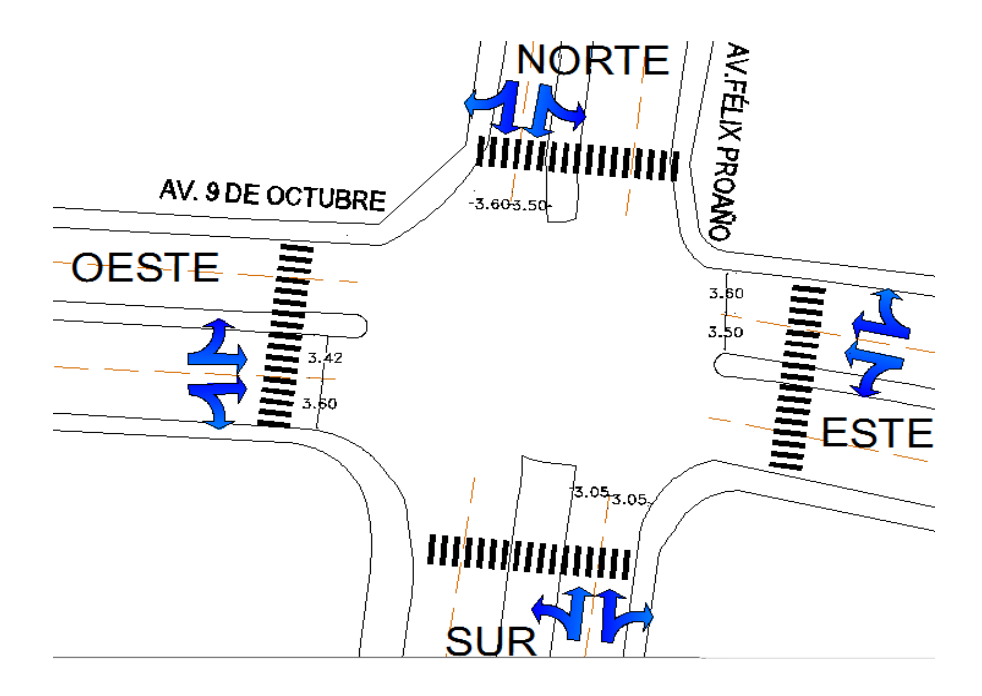


Ilustración 63: Intersección 12. Geometría y tipos de movimientos.

En esta intersección se crea congestión vehicular porque es una zona comercial, además es usada como ruta de buses urbanos, inter parroquiales y de transporte pesado, la misma que está controlada por un semáforo establecido. Esta intersección es simétrica en el sentido norte-sur y sur-norte.

Tabla 137: Características geométricas y condiciones semafóricas.

		CARACTE	RÍSTICAS DE LA INT	ERSECCIÓN 12	2: Av. Juan Féli	x Proaño y Av.	9 de Octubre							
Datos general	es		Norte		Sur		Este		Oeste					
N° de carriles			1		2		1		2					
Carriles exclus	ivos de giro		NO		NO		NO	NO						
Parqueo perm	itido	NO			NO		NO	NO						
Parada de bus			NO		NO		NO		NO					
		N	I° de peatones y m	naniobras de e	estacionamiento por aproximación									
Hora Pico			Norte		Sur		Este		Oeste					
N° de peatone	s hora pico		65		48		14		23					
N° de maniob	obras de estacionamiento				0		0		0					
			C	ONDICIONES	SEMAFÓRICA	AS								
		T				DE FASES EXISTENTE								
			ф1	4	2	ф	3		ф4					
V: Verde A: Amarillo R: Rojo	DIAGRAMA						·							
	TIEMPO	A:		A:		A:	3	A:	3					
	(seg)	R:	86			R:		R:	96					
		V:	28			V:		V:	19					
	D	uración de		90	•									
	Semáfo		mación Norte ares sin giros ex	clusivos	Aproximación Sur Semáforos vehículares sin giros exclusivos, semáforos									
	Semaro		ros peatonales	0.001.00)	peatonales									
Semáforos			imación Este		Aproximación Oeste									
	Semáfo	ros vehícu	ares sin giros ex	clusivos,	Semáforos vehículares sin giros exclusivos, semáforos									
		semáfo	ros peatonales				peatonales							

Tabla 138: Intersección 12: Conteo volumétrico de tránsito de la hora pico.

			-		ONT	 EO D	E TRÁ	FICO			•		•		•	•		-	
REDONDEL E I	NTERSECCIÓN		IN	TERS	ECCIO	ÓN 1	2: AV	. JUAI	N FÉL	IX PF	ROAÑ	IO AV	. 9 DI	ОСТ	UBR	Ε.			
	CALLE, SENTID	O A CABBILES		HORARIO DE CONTEO										VOLUMEN					
	CALLE, SENTID	O I CARRILLS			7:00			7:15			7:30			7:45		SU	ЈВТО	ΓAL	POR CARRIL-
NOMBRE CALLE	SENTIDO	CARRIL	SENTIDO DE CIRCULACIÓN	Α	В	С	Α	В	С	Α	В	С	Α	В	С	А	В	С	SENTIDO
	170	IZQ	GIRO IZQ	26	0	5	25	2	4	10	0	1	54	0	5	115	2	15	132
	NORTE-SUR	12Q	RECTO	50	2	8	58	2	12	79	1	13	88	6	9	275	11	42	328
	NONTE SON	DER	RECTO	50	0	21	54	3	9	66	0	10	70	4	6	240	7	46	293
AV. JUAN FÉLIX			GIRO DER	37	0	25	17	12	12	19	2	4	56	0	6	129	14	47	190
PROAÑO		IZQ	GIRO IZQ	19	1	2	18	2	1	21	2	0	26	0	1	84	5	4	93
	SUR-NORTE DER		RECTO	54	3	8	44	2	1	39	1	2	51	1	2	188	7	13	208
		RECTO	22	2	5	25	1	11	29	2	5	29	1	6	105	6	27	138	
		DEN	GIRO DER	15	0	0	17	1	1	12	0	0	17	0	0	61	1	1	63
		IZQ	GIRO IZQ	25	1	1	20	0	0	18	1	0	20	0	0	83	2	1	86
	ESTE-OESTE	120	RECTO	49	2	2	39	2	0	42	1	2	50	2	0	180	7	4	191
	L31L-OL31L	DER	RECTO	51	1	0	41	1	1	48	2	1	37	0	1	177	4	3	184
AV. 9 DE	IZQ	DEK	GIRO DER	28	1	3	33	0	4	28	1	2	30	0	3	119	2	12	133
OCTUBRE		170	GIRO IZQ	19	2	2	26	0	3	22	1	1	17	1	1	84	4	7	95
		IZŲ	RECTO	61	2	2	65	1	0	54	1	0	56	1	0	236	5	2	243
	OESTE-ESTE		RECTO	57	0	0	60	0	1	49	1	0	48	2	1	214	3	2	219
		DER	GIRO DER	12	0	2	13	0	3	21	0	0	14	0	0	60	0	5	65

A través de esta intersección circulan 24046 vehículos al día, en un promedio de 2004 vehículos por hora. La hora pico de esta intersección es de las 07:00 a 08:00 donde transitan 2661 autos. En la ilustración se presentan los volúmenes vehiculares por cada 15 minutos.

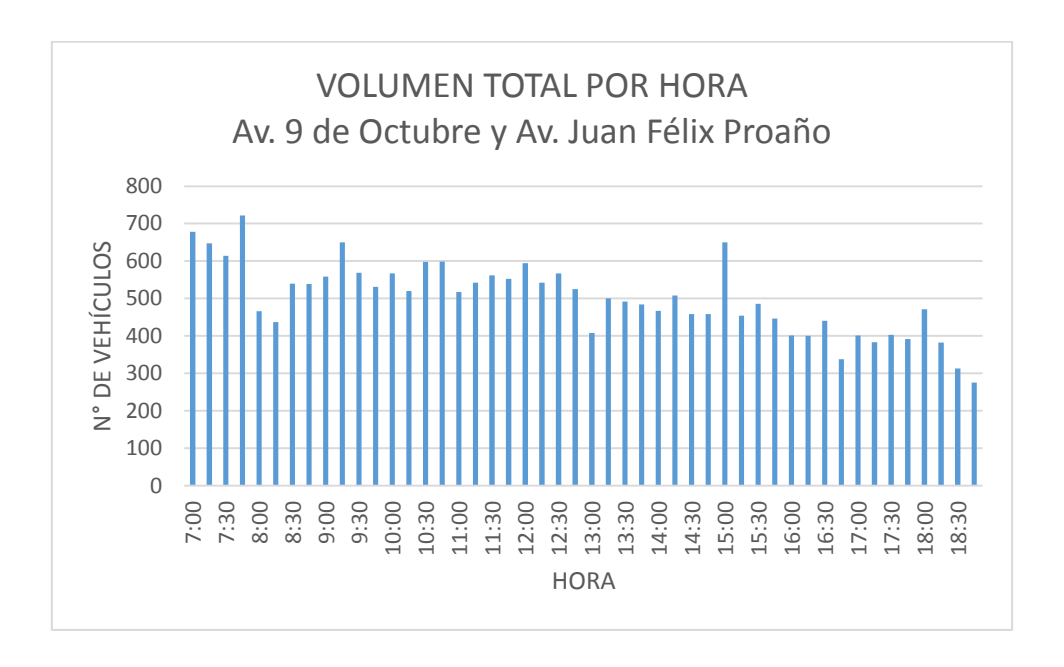


Ilustración 64: Intersección 12. Volúmenes por hora.

Fuente: Elaborado por los tesistas, es una observación de campo, 5 de Septiembre del 2016.

Tabla 139: Intersección 12. Sincronización semafórica actual.

SINCRONIZACIÓN SEMAFÓRICA										
To	tal Ciclo	Fases (G)								
L=	12.00	1	G1	28.00						
tL=	3	2	G2	30.00						
Co=	117.00	3	G3	28.00						
		4	G4	19.00						

Tabla 140: Intersección 12. Capacidad y nivel de servicio actual.

CAPACIDAD Y NIVEL DE SERVICIO DE LA INTERSECCION ANÁLISIS DE LA CAPACIDAD							
Número de fase 1 2 3 4							
Numero de tase	I		3	4			
Grupo de carril				→			
Volumen vehicular (veh/h)	745	502	461	622			
Flujo de saturación, S (veh/h)	2853.278513	2670.636786	2880.863864	2892.489195			
Tiempo perdido I (s)	3	3	3	3			
Tiempo de verde efectivo G , (s)	28.00	30.00	28.00	19.00			
Tasa de verde G/Co	0.239	0.256	0.239	0.162			
Capacidad del grupo de carril ,C (veh/h)	683	685	689	470			
Relación volumen-capacidad X	1.091	0.733	0.669	1.324			
Razón de flujo Yİ , (veh/h)	0.261	0.188	0.160	0.215			
Flujo crítico de la intersección YC	0.824						
Tiempo perdido por ciclo L	12						
Volumen relacionado con la capacidad 0.918							
Xc		DIL CONTROL	DE DETENA	AUNTEL DE			
DETERMINACIÓN DE CAPACIDAD DEL G	SERVICIO	RIL, CONTROL	L DE RETRASC	, NIVEL DE			
	A1t	C	Este - Sur	04			
	Norte	Sur	giro Der.	Oeste			
Grupo de carril	→			→			
Volumen vehicular ,v (veh/h)	745	502	461	622			
Capacidad del grupo de carril ,c (veh/h)	683	685	689	470			
Relación Volumen-Capacidad X	1.091	0.733	0.669	1.324			
Taza de verde total g/C	0.239	0.256	0.239	0.162			
Retraso uniforme,d1, (s/veh)	44.500	39.834	40.299	49.000			
Calibración del incremento de retraso k	0.500	0.500	0.500	0.500			
Incremento de retraso, d2 (s/veh)	61.882	6.831	5.095	160.145			
Retraso inicial de la cola vehicular d3, (s/veh)	0	0	0	0			
Factor de progresión PF	1	1	1	1			
Retraso, d (s/veh)	106.4	46.7	45.4	209.1			
Nivel de servicio de grupo de carril	F	D	D	F			
Retraso por aproximación dA (s/veh)	106.4	46.7	45.4	209.1			
Nivel de servicio de aproximación	F	D	D	F			
Taza de flujo de la aproximación VA, (veh/h)	745	502	461	622			
Retraso de la intersección dl, (s/veh)		10	8.9				
NIVEL DE SERVICIO DE LA INTERSECCIÓN		F	=				

Análisis de plan de fases propuestas.

Tabla 141: Intersección 12. Razón de flujo crítico Ycr.

Fase	Movimientos	Ycr
1	Norte-Sur	0.228
2	Sur-Norte	0.185
3	Este-Oeste	0.191
4	Oeste-Este	0.197

Fuente: Realizada por los tesistas.

Tabla 142: Intersección 12. Cálculo del ciclo óptimo.

CICLO ÓPTIMO							
Tiempo entre verde	1 (s)	3.000					
Tiempo perdido	L(s)	12.000					
Ciclo Óptimo	Co (s)	115.313					
Ciclo Óptimo (redondeado)	Co (s)	115.000					

Fuente: Realizada por los tesistas.

Tabla 143: Intersección 12. Cálculo del verde efectivo.

Fase	Sentido circulación	Verde efectivo	Verde adoptado
1	Norte-Sur	29.343	29
2	Sur-Norte	23.779	24
3	Este-Oeste	24.519	25
4	Oeste-Este	25.358	25
		Co	115.000

Fuente: Realizada por los tesistas.

Tabla 144: Intersección 12. Nueva sincronización semafórica.

SINCRONIZACIÓN SEMAFÓRICA							
To	otal Ciclo		Fases (G)				
L=	12.00	1	G1	29.00			
tL=	3	2	G2	24.00			
Co=	115.00	3	G3	25.00			
		4	G4	25.00			

Diagrama semafórica.

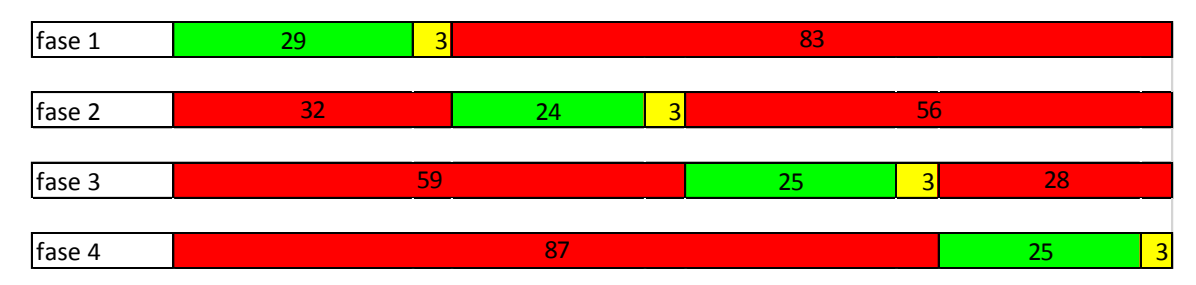


Ilustración 65: Intersección 12. Diagrama semafórica

Fuente: Realizado por los tesistas.

Al realizar la comparación del nivel de servicio actual con el propuesto podemos deducir que el nivel de servicio de la intersección en general ha pasado de nivel F a nivel E, lo que nos indica que los retrasos de los vehículos se han reducido de 108.2 segundos a 72.1 segundos. Y el análisis de la capacidad de la intersección en general es de 0.920, este se encuentra bajo la capacidad de la intersección, lo que quiere decir que la demanda no sobrepasa la capacidad de la intersección con esta propuesta.

Tabla 145: Intersección 12. Capacidad de la propuesta.

CAPACIDAD Y NIVEL DE SERVICIO DE LA INTERSECCIÓN ANÁLISIS DE LA CAPACIDAD								
Número de fase	1	2	3	4				
Grupo de carril			,	*				
Volumen vehicular (veh/h)	745	502	461	622				
Flujo de saturación, S (veh/h)	2853.27851	2670.63679	2880.86386	2892.48919				
Tiempo perdido I (s)	3	3	3	3				
Tiempo de verde efectivo G , (s)	29.00	24.00	25.00	25.00				
Tasa de verde G/Co	0.252	0.209	0.217	0.217				
Capacidad del grupo de carril ,C (veh/h)	720	557	626	629				
Relación volumen-capacidad X	1.035	0.901	0.736	0.989				
Razón de flujo Yi, (veh/h)	0.261	0.188	0.160	0.215				
Flujo crítico de la intersección YC	0.824							
Tiempo perdido por ciclo L	12							
Volumen relacionado con la capacidad Xc		0.9	920					
DETERMINACIÓN DE CAPACIDAD DEL GRUPO SEI	DE CARRIL, RVICIO	CONTROL D	E RETRASO,	NIVEL DE				
Grupo de carril	Norte	Sur	Este - Sur giro Der.	Oeste				
Volumen vehicular ,v (veh/h)	745	502	461	622				
Capacidad del grupo de carril ,c (veh/h)	720	557	626	629				
Relación Volumen-Capacidad X	1.035	0.901	0.736	0.989				
Taza de verde total g/C	0.252	0.209	0.217	0.217				
Retraso uniforme,d1, (s/veh)	43.000	44.339	41.927	44.865				
Calibración del incremento de retraso k	0.500	0.500	0.500	0.500				
Incremento de retraso, d2 (s/veh)	43.025	20.179	7.538	33.345				
Retraso inicial de la cola vehicular d3, (s/veh)	0	0	0	0				
Factor de progresión PF	1	1	1	1				
Retraso, d (s/veh)	86.0	64.5	49.5	78.2				
Nivel de servicio de grupo de carril	F	E	D	Е				
Retraso por aproximación dA (s/veh)	86.0	64.5	49.5	78.2				
Nivel de servicio de aproximación	F	E	D	Е				
Taza de flujo de la aproximación VA, (veh/h)	745	502	461	622				
Retraso de la intersección dl, (s/veh)		72	2.1					
NIVEL DE SERVICIO DE LA INTERSECCIÓN		I	I					

4.2.13. Intersección 13: Av. 9 de Octubre y Av. Leopoldo Freire



Ilustración 66: Intersección semaforizada 13: Av. 9 de Octubre y Av. Leopoldo Freire.

Fuente: Google Maps-2016.

UBICACIÓN					
Norte= 9813128	Este= 763484				
Altitud	2743 msnm				

Esta intersección consta de 4 accesos, norte, sur, este y oeste, cada uno de ellos con control semafórico, con 2 carriles por cada aproximación de sentido norte-sur, sur-norte, oeste-este y este-oeste. No posee un carril exclusivo para giros izquierdos en todas las aproximaciones, los movimientos que se pueden realizar son 12 ya que cada aproximación está habilitada para realizar giros izquierdos, giros derechos y rectos como indica la ilustración 67.

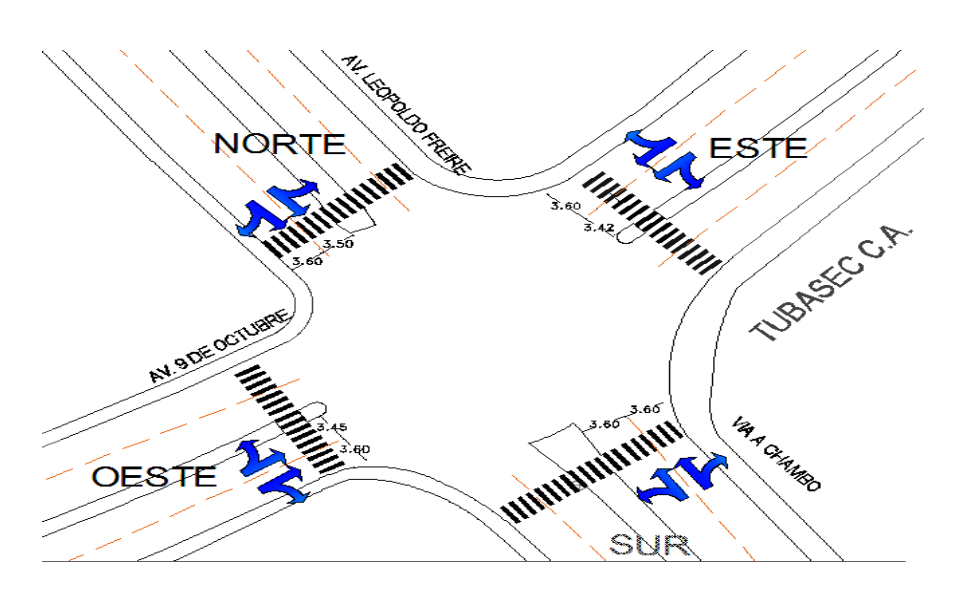


Ilustración 67: Intersección 13. Geometría y Tipos de movimientos.

En esta intersección se crea congestión vehicular ya que es usada como ruta de buses urbanos, intraparroquial y cantonales que se dirigen a Chambo, también por los que se dirigen al camal y mercado mayorista de la ciudad; además este sector es de tipo comercial (TUBASEC), vivienda y estudio por el colegio Fernando Daquilema; la misma que está controlada por un semáforo establecido.

Esta intersección es simétrica en el sentido norte-sur, sur-norte, este-oeste y oeste-este.

Tabla 146: Intersección 13. Características geométricas y condiciones semafóricas

		CARACTE	RÍSTICAS DE LA IN	ITERSECCIÓN :	13: Av. 9 de Oct	tubre y Av. Leop	oldo Freire			
Datos general				Sur	[Este	Oeste			
N° de carriles			2		2		2	2		
Carriles exclu	sivos de giro		NO		NO		NO	NO		
Parqueo perm	nitido		NO		NO		NO	NO		
Parada de bus	5		NO		SI		SI	NO		
		N°	de peatones y m	naniobras de e	stacionamient	o por aproxima	ción			
Hora Pico			Norte		Sur	I	Este	Oeste		
N° de peatone	es hora pico		26		62		11	19		
N° de maniob	ras de estacio	namiento	0		0		0	0		
	T	•	C		SEMAFORICA					
	PLAN DE FASES EXISTENTE Φ1 Φ2 Φ3									
			ф1		ф:		3	ф4		
V: Verde A: Amarillo R: Rojo	DIAGRAMA	K		K			₹			
	TIEMPO	A:		A:		A:	3 A:	3		
	(seg)	R:	89		79	-	79 R:	89		
		∨: uración del	20	v: 112	1	V:	30 V:	20		
	U		nación Norte	112	112 Operación Establecida Aproximacion Sur					
	Semáfo		ares sin giros ex	clusivos,	Semáforos vehículares sin giros exclusivos, semáforos					
Semáforos			os peatonales		peatonales					
Jeniaroros	2 /5		mación Este		Aproximación Oeste Semáforos vehículares sin giros exclusivos, semáforos					
	Semáto		ares sin giros ex	clusivos,	Semáto			ivos, semátoros		
	semáforos peatonales peatonales									

Tabla 147: Intersección 13: Conteo volumétrico de tránsito de la hora pico.

	CONTEO DE TRÁFICO																		
REDONDEL E IN	REDONDEL E INTERSECCIÓN INTERSECCIÓN 13: AV. LEOPOLDO FREIRE Y AV. 9 DE OCTUBRE																		
										НО	RA PI	СО							VOLLIMEN
1	CALLE, SENTIDO	Y CARRILES			8:15			8:30			8:45			9:00		SU	SUBTOTAL		VOLUMEN POR CARRIL
NOMBRE CALLE	SENTIDO	CARRIL	SENTIDO DE CIRCULACIÓN	Α	В	С	Α	В	С	Α	В	С	Α	В	С	Α	В	С	SENTIDO
		IZQ	GIRO IZQ	29	4	0	28	3	1	29	4	2	30	4	1	116	15	4	135
	NORTE-SUR	12Q	RECTO	21	2	1	18	2	0	30	2	2	29	4	2	98	10	5	113
	NONTE-SON	DER	RECTO	17	1	2	19	0	1	22	1	1	22	2	1	80	4	5	89
Av. Leopoldo		DLIN	GIRO DER	22	0	0	23	0	0	17	0	0	12	0	1	74	0	1	75
Freire		IZQ	GIRO IZQ	41	6	4	42	5	9	47	1	5	44	6	2	174	18	20	212
	SUR-NORTE	120	RECTO	28	3	2	42	0	4	34	1	1	29	0	0	133	4	7	144
	JON-NORTE	DER	RECTO	27	3	3	21	4	2	34	2	1	15	0	0	97	9	6	112
		DLK	GIRO DER	38	12	11	36	5	8	40	4	10	44	7	0	158	28	29	215
			•									-							
		IZQ	GIRO IZQ	27	2	4	24	1	4	39	1	3	14	1	1	104	5	12	121
	ESTE-OESTE	12Q	RECTO	13	0	5	7	0	1	8	0	1	9	0	0	37	0	7	44
	ESIE-OESIE	DER	RECTO	10	0	1	7	0	0	10	0	0	11	0	0	38	0	1	39
A. O da Oatubua		DEK	GIRO DER	38	5	5	42	5	1	19	3	1	22	2	0	121	15	7	143
Av. 9 de Octubre		170	GIRO IZQ	29	1	1	10	12	10	12	12	2	44	1	2	95	26	15	136
		IZQ	RECTO	46	0	1	20	18	0	18	10	14	49	0	2	133	28	17	178
	OESTE-ESTE		RECTO	33	0	0	14	12	0	11	12	3	41	1	0	99	25	3	127
		DER	GIRO DER	59	1	0	19	5	2	9	9	0	51	0	1	138	15	3	156

A través de esta intersección circulan 20713 vehículos al día, en un promedio de 1726 vehículos por hora. La hora pico de esta intersección es de las 8:15 a 9:15 donde transitan 2039 autos. En la ilustración se presentan los volúmenes vehiculares por cada 15 minutos de esta intersección.

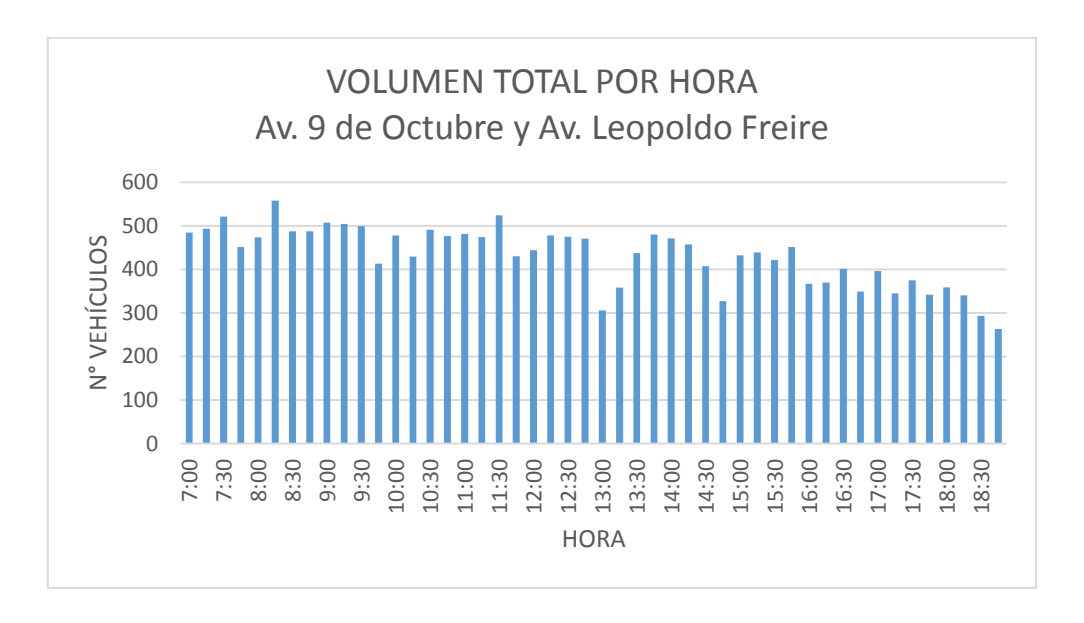


Ilustración 68: Intersección 13. Volúmenes por hora.

Fuente: Elaborado por los tesistas, es una observación de campo, 5 de Septiembre del 2016.

Análisis del plan de fases actuales.

Tabla 148: Intersección 13. Sincronización semafórica actual.

SINCRONIZACIÓN SEMAFÓRICA							
Total Ciclo			Fases (G) seg.				
L=	12,00	1	G1	20			
l=	3	2	G2	30			
Co=	112,00	3	G3	20			
		4	G4	30			

Tabla 149: Intersección 13. Capacidad y nivel de servicio actual.

CAPACIDAD Y NIVEL DE SERVICIO DE LA INTERSECCIÓN								
ANÁLISIS DE LA CAPACIDAD								
Numero de fase 1 2 3 4								
Grupo de carril			-					
Volumen vehicular (veh/h)	412	683	347	597				
Flujo de saturación, S (veh/h)	2849	2821	2944	2634				
Tiempo perdido I (s)	3	3	3	3				
Tiempo de verde efectivo G, (s)	20,00	30,00	20,00	30,00				
Tasa de verde G/Co	0,179	0,268	0,179	0,268				
Capacidad del grupo de carril ,C (veh/h)	509	756	526	706				
Relación volumen-capacidad X	0,810	0,904	0,660	0,846				
Razón de flujo Yi , (veh/h)	0,145	0,242	0,118	0,227				
Flujo crítico intersección YC		0,731						
Tiempo perdido por ciclo L		12						
Volumen relacionado con la		0,819	<u> </u>					
capacidad XC		0,813	,					
DETERMINACIÓN DE CAPACIDAD D	DEL GRUPO DE C SERVICIO		_ DE RETRASO	D, NIVEL DE				
Grupo de carril	Norte	Sur	Este	Oeste				
Volumen vehicular (veh/h)	412	683	347	597				
Capacidad del grupo de carril ,C (veh/h)	509	756	526	706				
Relación Volumen-Capacidad X	0,810	0,904	0,660	0,846				
Tasa de verde total g/Co	0,179	0,268	0,179	0,268				
Retraso uniforme, d1, (s/veh)	44,174	39,609	42,835	38,816				
Calibración del incremento de retraso k	0,500	0,500	0,500	0,500				
Incremento de retraso, d2 (s/veh)	13,072	16,295	6,383	11,966				
Retraso inicial de la cola vehicular d3, (s/veh)	0	0	0	0				
Factor de progresión PF	1	1	1	1				
Retraso, d (s/veh)	57,2	55,9	49,2	50,8				
Nivel de servicio de grupo de carril	E	E	D	D				
Retraso por aproximación dA (s/veh)	57,2	55,9	49,2	50,8				
Nivel de servicio de aproximación	E	E	D	D				
Tasa de flujo de la aproximación VA, (veh/h)	412	683	347	597				
Retraso de la intersección d I, (s/veh)	h) 53,5							
NIVEL DE SERVICIO DE LA INTERSECCIÓN	D							

Análisis de plan de fases propuestas.

Tabla 150: Intersección 13. Razón de flujo crítico Ycr.

Fase	Movimientos	Ycr
	Norte-Sur	
1	Sur-Norte	0,3029
	Norte-Sur	
	Sur-Norte	
2	Izquierdos	0,1327
3	Este-Oeste	0,1199
4	Oeste -Este	0,2025

Fuente: Realizada por los tesistas.

Tabla 151: Intersección 13. Cálculo del ciclo óptimo.

CICLO ÓPTIMO						
Tiempo entre verde	l(s)	3				
Tiempo perdido	L(s)	12				
Ciclo Óptimo	Co (s)	95,0558814				
Ciclo Óptimo (redondeado)	Co (s)	95				

Fuente: Realizada por los tesistas.

Tabla 152: Intersección 13. Calculo del verde efectivo.

Fase	Sentido circulación	Verde efectivo	Verde adoptado	
1	Norte-Sur	33,17	33	
2	Sur-Norte	14,53	15	
3	Este-Oeste	13,12	13	
4	Oeste -Este	22,18	22	
		Co	95	

Fuente: Realizada por los tesistas.

Tabla 153: Intersección 13. Nueva sincronización semafórica.

SINCRONIZACIÓN SEMAFÓRICA					
Total Ciclo			Fases (G) seg.		
L=	12,00	1	G1	33	
tL=	3	2	G2	15	
Co=	95,00	3	G3	13	
		4	G4	22	

Diagrama semafórica.

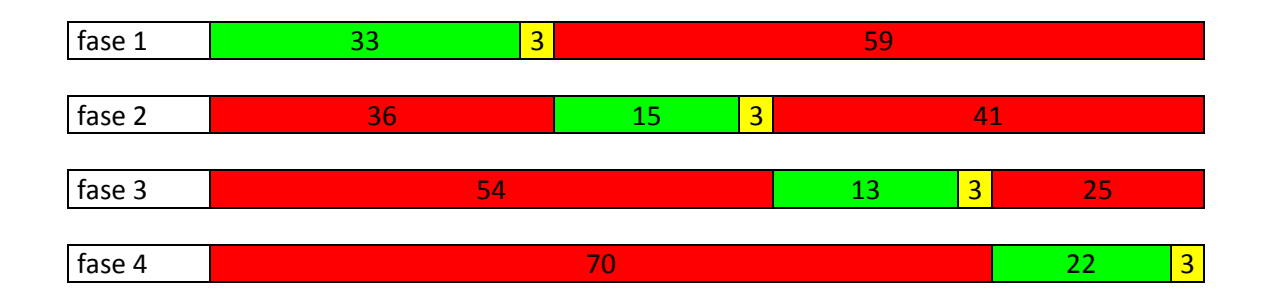


Ilustración 69: Intersección 13. Diagrama semafórica

Fuente: Realizado por los tesistas.

Al realizar la comparación del nivel de servicio actual con el propuesto podemos deducir que el nivel de servicio de la intersección en general se mantiene en el nivel D, pero los retrasos de los vehículos de ha reducido de 53.5 segundos a 38.9 segundos. Y el análisis de la capacidad de la intersección en general es de 0.657 este se encuentra bajo la capacidad de la intersección lo que quiere decir que la demanda no sobrepasa la capacidad de la intersección con esta propuesta.

Tabla 154: Intersección 13. Capacidad y nivel de servicio de la propuesta.

CAPACIDAD Y NIVEL DE SERVICIO DE LA INTERSECCIÓN						
ANÁLISIS DE LA CAPACIDAD						
Numero de fase	1	2	3	4		
Grupo de carril	J 1 1		*			
Volumen vehicular (veh/h)	748	212	204	441		
Flujo de saturación, S (veh/h)	2849	2821	2944	2634		
Tiempo perdido I (s)	3	3	3	3		
Tiempo de verde efectivo G, (s)	33,00	15,00	13,00	22,00		
Tasa de verde G/Co	0,347	0,158	0,137	0,232		
Capacidad del grupo de carril , C (veh/h)	990	445	403	610		
Relación volumen-capacidad X	0,756	0,476	0,506	0,723		
Razón de flujo Yi, (veh/h)	0,263	0,075	0,069	0,167		
Flujo crítico intersección YC			0,574			
Tiempo perdido por ciclo L Volumen relacionado con la						
capacidad XC 0,657						
DETERMINACIÓN DE CAPACIDAD			TROL DE RETRAS	SO, NIVEL DE		
	SERVIC			_		
Grupo de carril	Norte- Sur	Norte-Sur i	Este	Oeste		
Volumen vehicular (veh/h)	748	212	204	441		
Capacidad del grupo de carril ,C (veh/h)	990	445	403	610		
Relación Volumen-Capacidad X	0,756	0,756 0,800 0,506		0,723		
Tasa de verde total g/Co	0,347	0,158	0,137	0,232		
Retraso uniforme, d1, (s/veh)	27,435	·		33,688		
Calibración del incremento de retraso k	0,500	0,500	0,500	0,500		
Incremento de retraso, d2 (s/veh)	5,368	13,992	4,493	7,277		
Retraso inicial de la cola vehicular d3, (s/veh)	0	0 0		0		
Factor de progresión PF	1	1	1	1		
Retraso, d (s/veh)	32,8	52,5	42,5	41,0		
Nivel de servicio de grupo de carril	С	D	D	D		
Retraso por aproximación dA (s/veh)	32,8	52,5	42,5	41,0		
Nivel de servicio de aproximación	С	D	D	D		
Tasa de flujo de la aproximación VA, (veh/h)	748	441				
Retraso de la intersección d I, (s/veh)	38,9					
NIVEL DE SERVICIO DE LA INTERSECCIÓN	D					

4.2.14. Intersección 14: Av. 9 de Octubre y Calle Costa Rica.

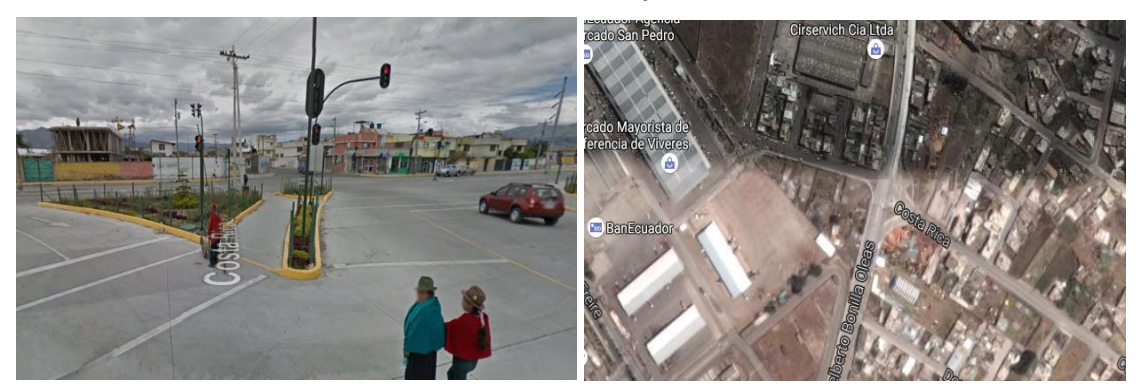


Ilustración 70: Intersección semaforizada 14: Av. 9 de Octubre y Calle Costa Rica.

Fuente: Google Maps-2016.

UBICACIÓN			
Norte= 9813445	Este= 763625		
Altitud	2745 msnm		

Esta intersección consta de 3 accesos, sur, este y oeste, cada uno de ellos con control semafórico, con 2 carriles por cada aproximación de sentido sur-norte, oeste-este y este-oeste. No posee un carril exclusivo para giros izquierdos en todas las aproximaciones, los movimientos que se pueden realizar son 9 ya que cada aproximación está habilitada para realizar giros izquierdos, giros derechos y rectos como indica la ilustración 71.

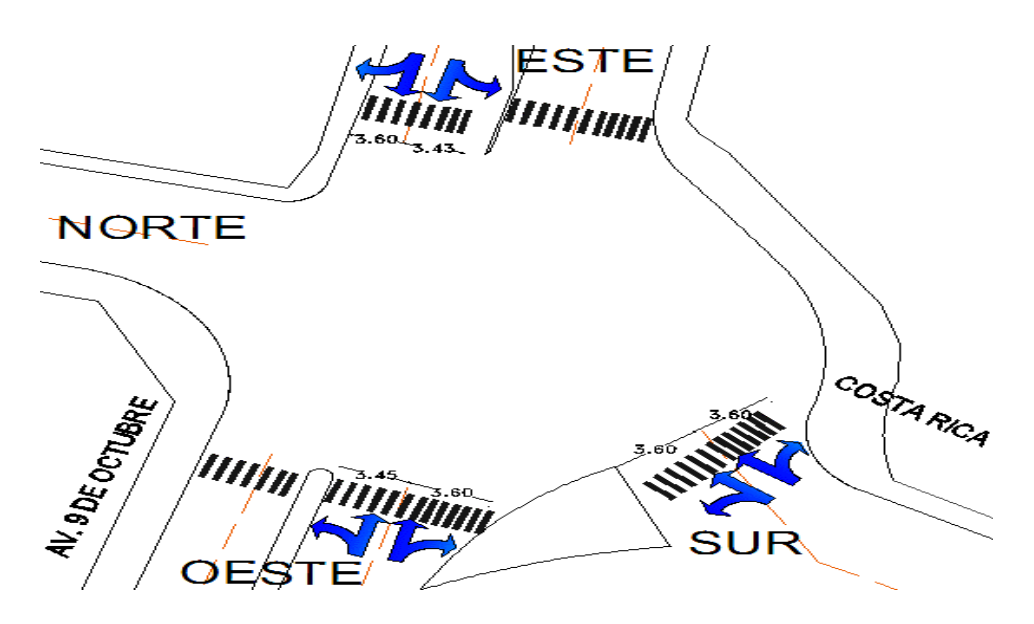


Ilustración 71: Intersección 14. Geometría y Tipos de movimientos

En esta intersección se crea congestión vehicular ya que es usada como ruta de buses urbanos, también por los vehículos que se dirigen al mercado mayorista de la ciudad; además este sector es de tipo comerciar y vivienda; la misma que está controlada por un semáforo establecido.

Esta intersección es simétrica en el sentido este-oeste y oeste-este, presentan dos carriles para la circulación vehicular por cada aproximación y en los sentidos norte-sur y surnorte es asimétrica porque la calle Costa Rica tiene un solo sentido de circulación.

Tabla 155: Intersección 14. Características geométricas y condiciones semafóricas

		CARA	ACTERÍSTICAS DE	LA INTERSECCI	ÓN 14: Av. 9 d	le Octubre y C	osta Rica			
Datos general	lles Norte			Sur		Este		Oeste		
N° de carriles	-		2		2		2			
Carriles exclus	usivos de giro -		NO		NO		NO			
Parqueo perm	nitido		-		NO		NO		NO	
Parada de bus			-		NO		SI		NO	
		N°	de peatones y m	naniobras de es	stacionamient	to por aproxim	ación			
Hora Pico			Norte		Sur		Este		Oeste	
N° de peatone	es hora pico		6	6			6		4	
N° de maniob	ras de estacio	namiento	0		0		0		0	
		-	С	ONDICIONES	SEMAFORIC/	AS	•	·		
				PLAN [DE FASES EXIS	TENTE				
	DIAGRAMA		ф1 ф		2	ф3		ф4		
V: Verde A: Amarillo R: Rojo						•				
	TIEMPO	A:	3	A:	3	A:	3	A:	0	
		R:	43	R:	50	R:	47	R:	0	
		V:	24	v:	17	V:	20	V:	0	
	Duración del ciclo 70 Aproximación Norte			Operación Actuada Estal Aproximacion Sur			Establecida			
-		Aproxir	nacion Norte		Semáfo	Semáforos vehículares sin giros exclusivos, semáforos peatonales			máforos	
Semáforos		Aproximación Este			Aproximación Oeste					
	Semáforos vehículares sin giros exclusivos, semáforos peatonales			Semáforos vehículares sin giros exclusivos, semáforos peatonales						

Tabla 156: Intersección 14: Conteo volumétrico de tránsito de la hora pico.

					CON	TEO D	E TRÁ	FICO								•				
REDONDEL E I	REDONDEL E INTERSECCIÓN SEMAFORO MAYORISTA "14"																			
	-					HORA PICO														
CALLE, SENTIDO Y CARRILES				7:00			7:15		7:30				7:45		SUBTOTAL			VOLUMEN		
NOMBRE CALLE	SENTIDO	CARRIL	SENTIDO DE CIRCULACIÓN	Α	В	С	Α	В	С	Α	В	С	Α	В	С	Α	В	С	POR CARRIL- SENTIDO	
	170	IZQ	GIRO IZQ	17	3	10	5	1	10	28	1	13	8	1	1	58	6	34	98	
Av. Costa	SUR-NORTE	120	RECTO	16	0	15	5	0	6	18	0	6	15	0	2	54	0	29	83	
Rica	SUK-NOKTE	DER	RECTO	27	0	0	10	0	0	16	0	9	12	0	2	65	0	11	76	
		DEIX	GIRO DER	35	10	15	50	2	26	65	2	12	50	2	10	200	16	63	279	
		IZQ	GIRO IZQ	5	0	1	31	2	5	2	4	0	22	0	0	60	6	6	72	
	ESTE-OESTE	120	RECTO	26	16	5	48	5	12	72	2	2	14	0	0	160	23	19	202	
	ESTE-OESTE	DER	RECTO	61	15	5	42	9	5	36	5	2	38	5	11	177	34	23	234	
Av. 9 de		DEK	GIRO DER	70	0	4	48	1	6	67	1	25	34	0	0	219	2	35	256	
Octubre		IZQ	GIRO IZQ	40	6	5	55	4	15	47	3	0	35	2	5	177	15	25	217	
	OFCIE FOIF	05075 5075		RECTO	0	5	2	0	3	0	0	3	0	0	4	2	0	15	4	19
	OESTE-ESTE	DER	RECTO	25	0	3	20	1	10	15	0	5	20	0	5	80	1	23	104	
		DEN	GIRO DER	15	2	0	2	0	0	10	0	0	8	2	0	35	4	0	39	

A través de esta intersección circulan 13310 vehículos al día, en un promedio de 1109 vehículos por hora. La hora pico de esta intersección es de las 07:00 a 08:00 donde transitan 1679 autos. En la ilustración se presentan los volúmenes vehiculares por cada 15 minutos de esta intersección.



Ilustración 72: Intersección 14. Volúmenes por hora.

Fuente: Elaborado por los tesistas, es una observación de campo, 5 de Septiembre del 2016.

Análisis del plan de fases actuales.

Tabla 157: Intersección 14. Sincronización semafórica actual.

SINCRONIZACIÓN SEMAFÓRICA									
Tota	al Ciclo	Fases (G) seg.							
L=	9,00	1	G1	24					
tL=	3	2	G2	17					
Co=	70,00	3	G3	20					

Tabla 158: Intersección 14. Capacidad y nivel de servicio actual.

CAPACIDAD Y NIVEL DE SERVICIO DE LA INTERSECCIÓN									
	S DE LA CAPACIE		ON						
Numero de fase	1	2	3						
Grupo de carril	→	\(\)	*						
Volumen vehicular (veh/h)	379	764	347						
Flujo de saturación, S (veh/h)	2906	2656	2920						
Tiempo perdido I (s)	3	3	3						
Tiempo de verde efectivo G, (s)	24,00	17,00	20,00						
Tasa de verde G/Co	0,343	0,243	0,286						
Capacidad del grupo de carril ,C (veh/h)	996	645	834						
Relación volumen-capacidad X	0,380	1,184	0,416						
Razón de flujo Yi , (veh/h)	0,130	0,288	0,119						
Flujo crítico intersección YC		0,537							
Tiempo perdido por ciclo L		9							
Volumen relacionado con la									
capacidad XC 0,616									
DETERMINACIÓN DE CAPACIDAD DEL GRUPO DE CARRIL, CONTROL DE RETRASO, NIVEL DE SERVICIO									
Grupo de carril	Oeste	Este	Sur						
Volumen vehicular (veh/h)	379	764	347						
Capacidad del grupo de carril ,C (veh/h)	996								
Relación Volumen-Capacidad X	0,380	0,380 1,184							
Tasa de verde total g/Co	0,343	0,243	0,286						
Retraso uniforme, d1, (s/veh)	17,381	26,500	20,265						
Calibración del incremento de retraso k	0,500	0,500	0,500						
Incremento de retraso, d2 (s/veh)	1,104	98,134	1,527						
Retraso inicial de la cola vehicular d3, (s/veh)	0	0	0						
Factor de progresión PF	1	1	1						
Retraso, d (s/veh)	18,5	124,6	21,8						
Nivel de servicio de grupo de carril	В	F	С						
Retraso por aproximación dA (s/veh)	18,5	124,6	21,8						
Nivel de servicio de aproximación	В	F	С						
Tasa de flujo de la aproximación VA, (veh/h)	379 764 347								
Retraso de la intersección d I, (s/veh)	73,7								
NIVEL DE SERVICIO DE LA INTERSECCIÓN	E								

Análisis de plan de fases propuestas.

Tabla 159: Intersección 14. Razón de flujo crítico Ycr.

Fase	Movimientos	Ycr
1	Sur-Norte	0,1045
2	Este-Oeste	0,3180
3	Oeste -Este	0,1479

Fuente: Realizada por los tesistas.

Tabla 160: Intersección 14. Cálculo del ciclo óptimo

CICLO ÓPTIMO										
Tiempo entre verde	l(s)	3								
Tiempo perdido	L(s)	9								
Ciclo Óptimo	Co (s)	43,0567034								
Ciclo Óptimo (redondeado)	Co (s)	45								

Fuente: Realizada por los tesistas.

Tabla 161: Intersección 14. Calculo del verde efectivo.

Fase	Sentido circulación	Verde efectivo	Verde adoptado
1	Sur-Norte	6,60	7
2	Este-Oeste	20,07	20
3	Oeste -Este	9,33	10
		Co	46

Fuente: Realizada por los tesistas.

Tabla 162: Intersección 14. Nueva sincronización semafórica.

SINCE	SINCRONIZACIÓN SEMAFÓRICA										
Tota	l Ciclo	Fases (G) seg.									
L=	9,00	1	G1	10							
tL=	3	2	G2	20							
Co=	46,00	3	G3	7							

Diagrama semafórica.

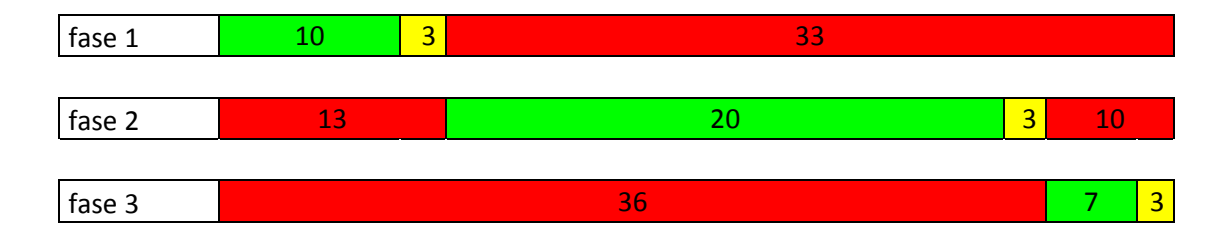


Ilustración 73: Intersección 14. Diagrama semafórica

Fuente: Realizado por los tesistas.

Al realizar la comparación del nivel de servicio actual con el propuesto podemos deducir que el nivel de servicio de la intersección en general ha pasado de nivel E a nivel B, lo que nos indica que los retrasos de los vehículos de ha reducido de 73.7 segundos a 19.3 segundos. Y el análisis de la capacidad de la intersección en general es de 0.667 este se encuentra bajo la capacidad de la intersección lo que quiere decir que la demanda no sobrepasa la capacidad de la intersección con esta propuesta.

Tabla 163: Intersección 14. Capacidad y nivel de servicio de la propuesta.

CAPACIDAD Y NIVEL DE SERVICIO DE LA INTERSECCIÓN									
,	DE LA CAPA		CION						
Numero de fase	1	2	3						
Grupo de carril	*	*							
Volumen vehicular (veh/h)	379	764	347						
Flujo de saturación, S (veh/h)	2906	2656	2920						
Tiempo perdido I (s)	3	3	3						
Tiempo de verde efectivo G, (s)	10,00	20,00	7,00						
Tasa de verde G/Co	0,217	0,435	0,152						
Capacidad del grupo de carril ,C (veh/h)	632	1155	444						
Relación volumen-capacidad X	0,600	0,662	0,781						
Razón de flujo Yi, (veh/h)	0,130	0,288	0,119						
Flujo crítico intersección YC		0,537							
Tiempo perdido por ciclo L		9							
Volumen relacionado con la capacidad XC		0,667							
DETERMINACIÓN DE CAPACIDAD DEL GRUPO DE CARRIL, CONTROL DE RETRASO, NIVEL DE SERVICIO									
Grupo de carril	Oeste	Este	Sur						
	*	√	347						
Volumen vehicular (veh/h)	379	379 764							
Capacidad del grupo de carril ,C (veh/h)	632	444							
Relación Volumen-Capacidad X	•	0,600 0,662 0,							
Tasa de verde total g/Co	0,217	0,435	0,152						
Retraso uniforme,d1, (s/veh)	16,199	10,315	18,762						
Calibración del incremento de retraso k	0,500	0,500	0,500						
Incremento de retraso, d2 (s/veh)	4,174	2,988	12,780						
Retraso inicial de la cola vehicular d3, (s/veh)	0	0	0						
Factor de progresión PF	1	1	1						
Retraso, d (s/veh)	20,4	13,3	31,5						
Nivel de servicio de grupo de carril	С	В	С						
Retraso por aproximación dA (s/veh)	20,4	13,3	31,5						
Nivel de servicio de aproximación	С	В	С						
Tasa de flujo de la aproximación VA, (veh/h)	379 764 347								
Retraso de la intersección d I, (s/veh)	19,3								
NIVEL DE SERVICIO DE LA INTERSECCIÓN		В							

4.2.15. Intersección 15: Av. Celso Rodríguez y Av. Edelberto Bonilla.



Ilustración 74: Intersección semaforizada 15: Av. Celso Rodríguez y Av. Edelberto Bonilla.

Fuente: Google Maps-2016.

UBICACIÓN								
Norte= 9814065	Este= 763674							
Altitud	2844 msnm							

Esta intersección consta de 4 accesos norte, sur, este y oeste, cada uno de ellos con control semafórico, con 2 carriles por cada aproximación de sentido norte-sur, oeste-este y este-oeste pero en el sentido sur-norte presenta un solo carril de circulación. No posee un carril exclusivo para giros izquierdos en todas las aproximaciones, los movimientos que se pueden realizar son 12 ya que cada aproximación está habilitada para realizar giros izquierdos, giros derechos y rectos como indica la ilustración 75.

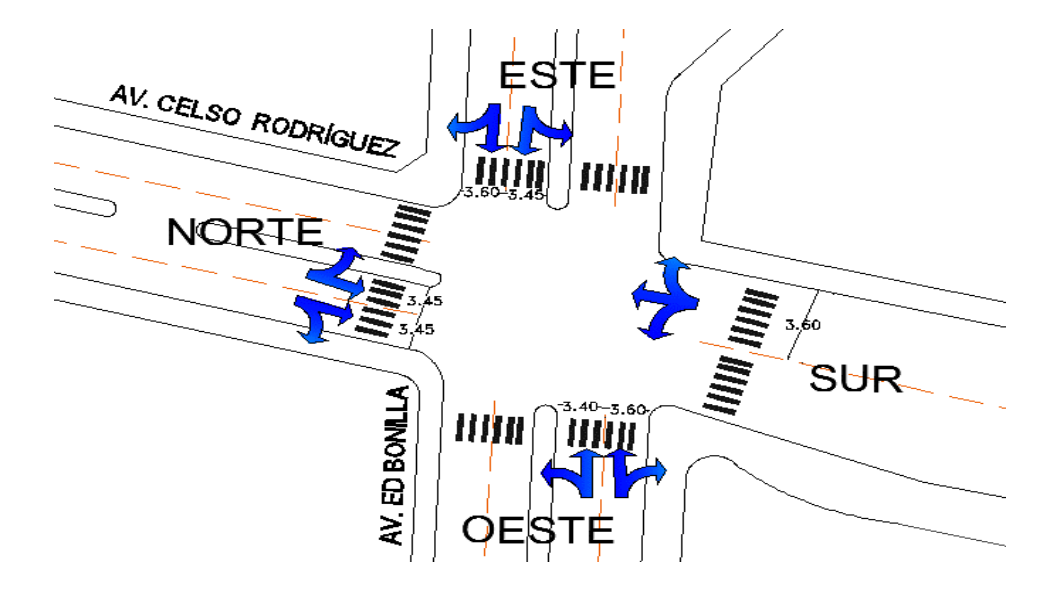


Ilustración 75: Intersección 15. Geometría y Tipos de movimientos.

En esta intersección se crea congestión vehicular ya que es usada como ruta de buses urbanos, también por los vehículos que se dirigen al sector Caminos del Sol y a la Comunidad San Clemente; además este sector es de tipo comercial y vivienda; la misma que está controlada por un semáforo establecido.

Esta intersección es simétrica en el sentido este-oeste y oeste-este, en los sentidos norte-sur y sur-norte es asimétrica porque la avenida Celso Rodríguez termina el parterre en el sentido norte-sur al llegar a la intersección.

Tabla 164: Intersección 15. Características geométricas y condiciones semafóricas

	CAF	ACTERÍSTICAS	S DE LA INTERSI	CCIÓN 15: Av	. Celso Rodrígu	ıez y Av. Edelbe	rto Bonilla O	leas				
Datos general	es		Norte		Sur	[Este	Oeste				
N° de carriles			2		1		2	2				
Carriles exclus	sivos de giro	e giro NO					NO	NO				
Parqueo perm	itido		NO		NO		NO	NO				
Parada de bus			SI		NO		NO	NO				
		N° d	le peatones y m	aniobras de e	stacionamient	o por aproxima	ción					
Hora Pico			Norte		Sur	[Este	Oeste				
N° de peatone	es hora pico		18		15		3	4				
N° de maniob	ras de estacio	namiento	0		0		0	0				
			C	ONDICIONES	SEMAFORICA	NS						
		1			DE FASES EXISTENTE							
			ф1	¢	2	φ3	3	ф4				
V: Verde A: Amarillo R: Rojo	DIAGRAMA	Κ,										
	TIEMPO	A:	3	A:	3	A:	3	A:	3			
	(seg)	R:	70	R:	75	R:	67	R:	67			
	(seg)	V:	20	v:	15	V:	23	V:	23			
	D	uración del c		93	Oper	ación		Establecida				
	Somáfoi	•	ación Norte es sin giros ex	clucivos	Aproximacion Sur							
	Semanon		es sili gilos exi s peatonales	liusivos,	Semáforos vehículares sin giros exclusivos, semáforos peatonales							
Semáforos			nación Este		Aproximación Oeste							
	Semáfoi		es sin giros ex	clusivos,	Semáforos vehículares sin giros exclusivos, semáforos							
	21		s peatonales	,			peatonales	,	-			

Tabla 165: Intersección 15. Conteo volumétrico de tránsito de la hora pico.

					CC	NTEC	DE TE	RÁFICC)											
REDONDEL E IN	TERSECCIÓN		1	INTER	SECCI	ÓN 1	5: AV. (CELSO	RODE	RIGUES	S Y AV.	EDEL	BERTO	O BON	ILLA OI	LEAS				
				HORA PICO											VOLUMEN					
	CALLE, SENTIDO Y CARRILES				8:45			9:00			9:15			9:30			ВТОТА	POR CARRIL-		
NOMBRE CALLE	SENTIDO	CARRIL	SENTIDO DE CIRCULACIÓN	Α	В	С	А	В	С	А	В	С	Α	В	С	А	В	С	SENTIDO	
		IZQ	GIRO IZQ	44	2	1	34	2	1	43	3	1	32	3	0	153	10	3	166	
	NORTE-SUR	120	RECTO	3	0	1	1	0	0	0	0	0	1	0	1	5	0	2	7	
	NORTE-30K	DER	RECTO	13	1	0	8	0	0	9	3	1	8	0	0	38	4	1	43	
Av. Celso Rodríguez		DEK	GIRO DER	24	2	0	12	0	0	10	0	3	15	0	0	61	2	3	66	
Nouriguez		E UNICO	GIRO IZQ	5	0	0	6	0	2	2	0	2	6	0	1	19	0	5	24	
	SUR-NORTE		RECTO	10	1	3	11	1	1	6	0	0	10	0	0	37	2	4	43	
			GIRO DER	7	0	0	6	0	4	3	0	2	6	0	1	22	0	7	29	
		IZQ	GIRO IZQ	11	0	1	21	1	2	10	6	0	28	6	0	70	13	3	86	
	ESTE-OESTE	120	RECTO	80	2	16	80	0	4	85	1	10	72	0	7	317	3	37	357	
	E31E-0E31E	DER	RECTO	75	0	0	85	0	5	65	1	4	39	0	3	264	1	12	277	
Av. Edelberto		DEK	GIRO DER	5	0	0	13	0	2	2	1	0	9	0	2	29	1	4	34	
Bonilla Oleas		IZQ	GIRO IZQ	26	0	0	32	2	2	31	1	0	34	2	8	123	5	10	138	
	OESTE-ESTE		RECTO	60	0	2	60	2	15	35	0	2	51	0	15	206	2	34	242	
		2.50	RECTO	60	1	6	60	0	3	55	0	6	48	2	3	223	3	18	244	
		DER	GIRO DER	10	0	0	1	0	1	3	0	1	2	0	1	16	0	3	19	

A través de esta intersección circulan 14148 vehículos al día, en un promedio de 1179 vehículos por hora. La hora pico de esta intersección es de las 08:45 a 09:45 donde transitan 1775 autos. En la ilustración se presentan los volúmenes vehiculares por cada 15 minutos de esta intersección.

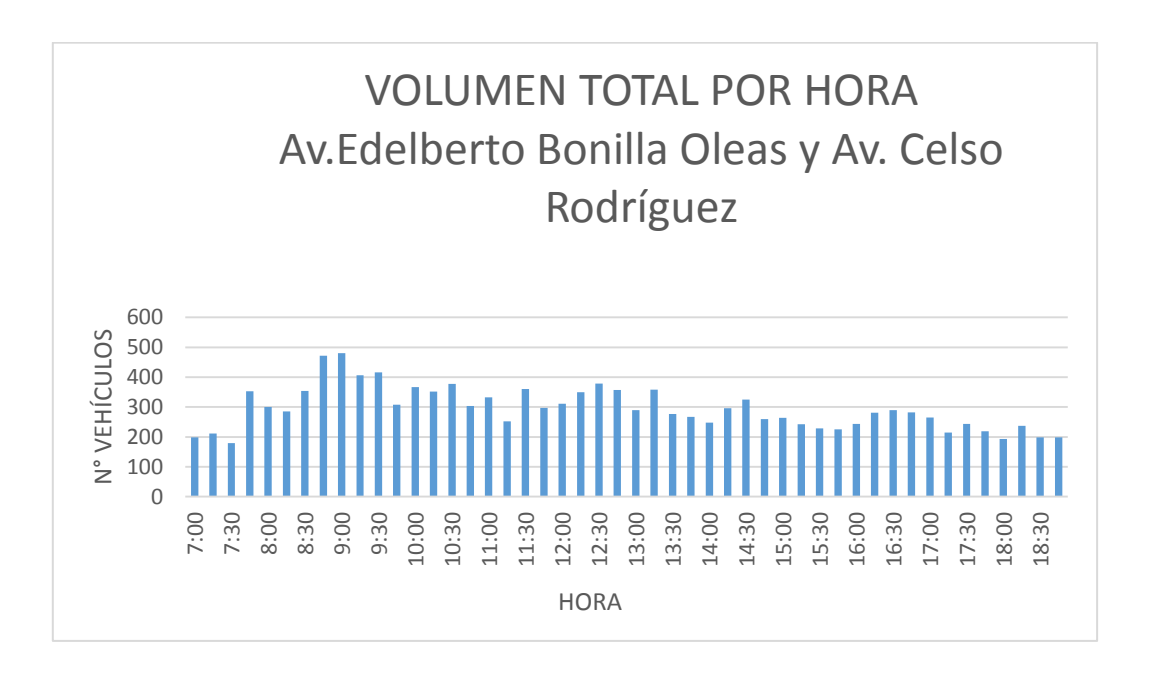


Ilustración 76: Intersección 15. Volúmenes por hora.

Fuente: Elaborado por los tesistas, es una observación de campo, 5 de Septiembre del 2016.

Análisis del plan de fases actuales.

Tabla 166: Intersección 15. Sincronización semafórica actual.

SINCRONIZACIÓN SEMAFÓRICA									
Total Ciclo Fases (G) seg.									
L=	12,00	1	G1	20					
tL=	3	2	G2	15					
Co=	93,00	3	G3	23					
		4	G4	23					

Tabla 167: Intersección 15. Capacidad y nivel de servicio actual.

CAPACIDAD Y NIVEL DE SERVICIO DE LA INTERSECCIÓN							
	ISIS DE LA CAP		22001011				
Numero de fase 1 2 3 4							
Grupo de carril				*			
Volumen vehicular (veh/h)	282	96	754	643			
Flujo de saturación, S (veh/h)	2895	1783	2891	2890			
Tiempo perdido I (s)	3	3	3	3			
Tiempo de verde efectivo G, (s)	20,00	15,00	23,00	23,00			
Tasa de verde G/Co	0,215	0,161	0,247	0,247			
Capacidad del grupo de carril ,C (veh/h)	623	288	715	715			
Relación volumen-capacidad X	0,453	0,334	1,055	0,900			
Razón de flujo Yi , (veh/h)	0,097	0,054	0,261	0,222			
Flujo crítico intersección YC		0,635	5				
Tiempo perdido por ciclo L		12					
Volumen relacionado con la		0,729	9				
capacidad XC		<u> </u>					
DETERMINACIÓN DE CAPACIDAD N	DEL GRUPO DI		NTROL DE	RETRASO,			
Grupo de carril	Norte	Sur	Este	Oeste			
Volumen vehicular (veh/h)	282	96	▼ 754	643			
Capacidad del grupo de carril ,C	623	288	715	715			
(veh/h) Relación Volumen-Capacidad X	0,453	0,334	1,055	0,900			
Tasa de verde total g/Co	0,215	0,161	0,247	0,247			
Retraso uniforme, d1, (s/veh)	31,742	34,572	35,000	33,881			
Calibración del incremento de retraso k	0,500	0,500	0,500	0,500			
Incremento de retraso, d2 (s/veh)	2,370	3,106	48,941	16,513			
Retraso inicial de la cola vehicular d3, (s/veh)	0	0	0	0			
Factor de progresión PF	1	1	1	1			
Retraso, d (s/veh)	34,1	37,7	83,9	50,4			
Nivel de servicio de grupo de carril	С	D	F	D			
Retraso por aproximación dA (s/veh)	34,1	37,7	83,9	50,4			
Nivel de servicio de aproximación	С	D	F	D			
Tasa de flujo de la aproximación VA, (veh/h)	282	96	754	643			
Retraso de la intersección d I, (s/veh)		61,4					
NIVEL DE SERVICIO DE LA INTERSECCIÓN	E						

Análisis de plan de fases propuestas.

Tabla 168: Intersección 15. Razón de flujo crítico Ycr.

Fase	Movimientos	Ycr
1	Norte-Sur	0,1054
2	Sur-Norte	0,0515
3	Este-Oeste	0,2583
4	Oeste -Este	0,2206

Fuente: Realizada por los tesistas.

Tabla 169: Intersección 15. Cálculo del ciclo óptimo.

CICLO ÓPTIMO							
Tiempo entre verde	l(s)	3					
Tiempo perdido	L(s)	12					
Ciclo Óptimo	Co (s)	63,1571157					
Ciclo Óptimo (redondeado)	Co (s)	65					

Fuente: Realizada por los tesistas.

Tabla 170: Intersección 15. Calculo del verde efectivo.

Fase	Sentido circulación	Verde efectivo	Verde adoptado
1	Norte-Sur	8,79	9
2	Sur-Norte	4,30	5
3	Este-Oeste	21,53	22
4	Oeste -Este	18,39	19
		Co	67

Fuente: Realizada por los tesistas.

Tabla 171: Intersección 15. Nueva sincronización semafórica.

SINCRONIZACIÓN SEMAFÓRICA							
Total Ciclo Fases (G) seg.							
L=	12,00	1	G1	9			
tL=	3	2	G2	5			
Co=	67,00	3	G3	22			
		4	G4	19			

Diagrama semafórica.

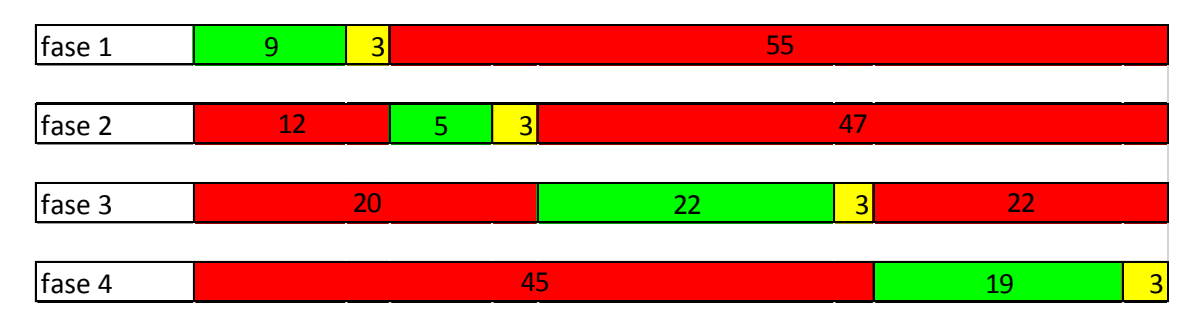


Ilustración 77: Intersección 15. Diagrama semafórica

Fuente: Realizado por los tesistas.

Al realizar la comparación del nivel de servicio actual con el propuesto podemos deducir que el nivel de servicio de la intersección en general ha pasado de nivel E a nivel C, lo que nos indica que los retrasos de los vehículos de ha reducido de 61.4 segundos a 31.7 segundos. Y el análisis de la capacidad de la intersección en general es de 0.773 este se encuentra bajo la capacidad de la intersección lo que quiere decir que la demanda no sobrepasa la capacidad de la intersección con esta propuesta.

Tabla 172: Intersección 15. Capacidad y nivel de servicio de la propuesta.

CAPACIDAD Y NIVEL DE SERVICIO DE LA INTERSECCIÓN							
A	NÁLISIS DE LA CA	PACIDAD					
Numero de fase	1	2	3	4			
Grupo de carril			*	→			
Volumen vehicular (veh/h)	282	96	754	643			
Flujo de saturación, S (veh/h)	2895	1783	2891	2890			
Tiempo perdido I (s)	3	3	3	3			
Tiempo de verde efectivo G, (s)	9,00	5,00	22,00	19,00			
Tasa de verde G/Co	0,134	0,075	0,328	0,284			
Capacidad del grupo de carril ,C (veh/h)	389	133	949	820			
Relación volumen-capacidad X	0,725	0,722	0,794	0,784			
Razón de flujo Yi , (veh/h)	0,097	0,054	0,261	0,222			
Flujo crítico intersección YC		0,63	35				
Tiempo perdido por ciclo L Volumen relacionado con la		12					
capacidad XC		0,77	' 5				
DETERMINACIÓN DE CAPACIDAD	DEL GRUPO DE CA SERVICIO	ARRIL, CONTR	OL DE RETRAS	O, NIVEL DE			
	Norte	Sur	Este	Oeste			
Grupo de carril		*					
	\downarrow	Ý	*				
Volumen vehicular (veh/h)	282	96	754	643			
Capacidad del grupo de carril ,C (veh/h)	389	133	949	820			
Relación Volumen-Capacidad X	0,725	0,722	0,794	0,784			
Tasa de verde total g/Co	0,134	0,075	0,328	0,284			
Retraso uniforme, d1, (s/veh)	27,813	30,319	20,443	22,113			
Calibración del incremento de retraso k	0,500	0,500	0,500	0,500			
Incremento de retraso, d2 (s/veh)	11,192	28,570	6,817	7,425			
Retraso inicial de la cola vehicular d3, (s/veh)	0	0	0	0			
Factor de progresión PF	1	1	1	1			
Retraso, d (s/veh)	39,0	58,9	27,3	29,5			
Nivel de servicio de grupo de carril	D	E	С	С			
Retraso por aproximación dA (s/veh)	39,0	58,9	27,3	29,5			
Nivel de servicio de aproximación	D	E	С	С			
Tasa de flujo de la aproximación VA, (veh/h)	282	96	754	643			
Retraso de la intersección d I, (s/veh)	31,7						
NIVEL DE SERVICIO DE LA INTERSECCIÓN		С					

4.2.16. Intersección 16: Av. Edelberto Bonilla y Av. Araujo Chiriboga.



Ilustración 78: Intersección semaforizada 16: Av. Edelberto Bonilla y Av. Araujo Chiriboga.

Fuente: Google Maps-2016.

UBICACIÓN					
Norte= 9815632	Este= 762742				
Altitud	2844 msnm				

Esta intersección consta de 3 accesos norte, sur, este, cada uno de ellos con control semafórico, con dos carriles por cada aproximación de sentido norte-sur, sur-norte pero en el sentido este-oeste presenta un solo carril de circulación. No posee un carril exclusivo para giros izquierdos en todas las aproximaciones, los movimientos que se pueden realizar son 9 ya que cada aproximación está habilitada para realizar giros izquierdos, giros derechos y rectos como indica la ilustración 79.

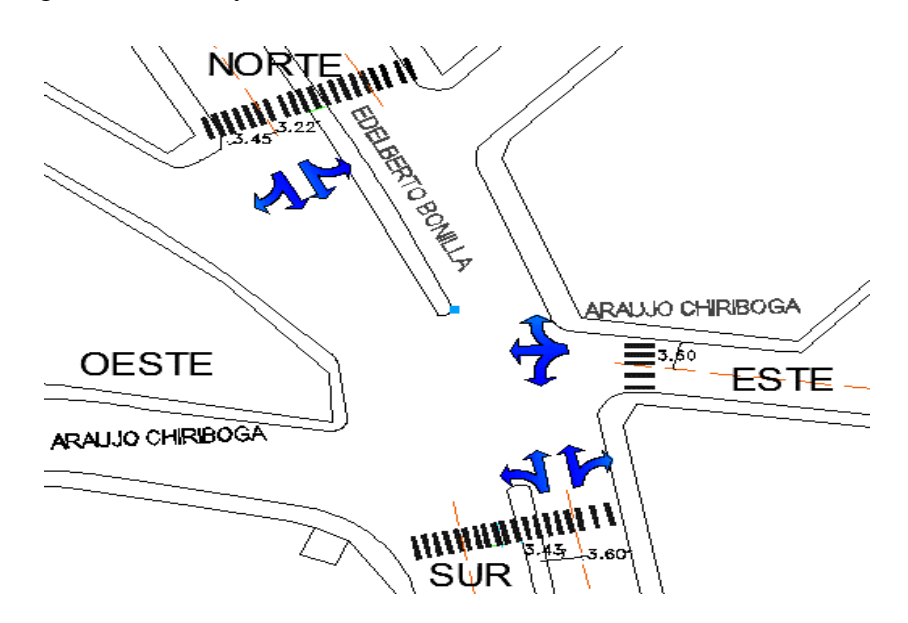


Ilustración 79: Intersección 16. Geometría y Tipos de movimientos.

En esta intersección se crea congestión vehicular ya que es usada como ruta de buses urbanos, también por los que se dirigen vehículos al sector Cerro Negro y a la Comunidad Porlón; además este sector es de tipo comercial ya que se encuentra la Dirección de Movilidad del GAD Riobamba y vivienda; la misma que está controlada por un semáforo establecido.

Esta intersección es simétrica en el sentido norte-sur y sur-norte, en el sentido este-oeste es asimétrica porque la avenida Araujo Chiriboga tiene un solo carril de circulación.

Tabla 173: Intersección 16. Características geométricas y condiciones semafóricas

	CAR	ACTERÍSTIC	AS DE LA INTERSE	CCIÓN 16: Av.	Edelberto Bon	nilla Oleas y Av.	Araujo Chiri	boga	
Datos general	es		Norte		Sur		Este	Oe	ste
N° de carriles			2		2		1		-
Carriles exclus	sivos de giro		NO		NO		NO		-
Parqueo perm	nitido		NO		NO		NO		-
Parada de bus			SI		SI		NO		-
		N	° de peatones y m	aniobras de e	stacionamient	to por aproxima	ción		
Hora Pico			Norte		Sur		Este	Oe	ste
N° de peatone	es hora pico		7		11		4		6
N° de maniob	ras de estacio	namiento	0		0		0		-
			C	ONDICIONES	SEMAFORIC <i>A</i>	AS .			
		1			DE FASES EXIS			T	
			ф1	¢	2	ф:	3	ф	4
V: Verde A: Amarillo R: Rojo	DIAGRAMA								
	TIEMPO	A:	3	A:	3	A:	3	A:	0
	(seg)	R:	49	R:	43	R:	52	R:	0
		V:	20			V:	17		0
	D	uración de		72					
	Semáfo		mación Norte ares sin giros exc	rlusivos	Aproximacion Sur Semáforos vehículares sin giros exclusivos, semáfo				ráforos
	Scillaro		ros peatonales	ciasivos,	peatonales				
Semáforos			imación Este				ximación O	este	
	Semáfo	•	ares sin giros ex	clusivos,					
			ros peatonales						

Tabla 174: Intersección 16. Conteo volumétrico de tránsito de la hora pico.

		•	C	ONTEO	DE TR	ÁFICO)									•			
REDONDEL E I	NTERSECCIÓN		INTERS	ECCIÓN	16: A\	/ EDE	LBERT(O BOI	NILLA	OLEA	S Y A	V. AR	AUJO	CHIR	IBOO	GA.			
	CALLE SENTIDO	V CARRILES								HORA	A PICO)							VOLUMEN
	CALLE, SENTIDO	Y CARRILES		1	3:45			9:00			9:15			9:30		SU	JBTOT	ΓAL	POR
NOMBRE CALLE	SENTIDO	CARRIL	SENTIDO DE CIRCULACIÓN	А	В	С	А	В	С	Α	В	С	Α	В	С	А	В	С	CARRIL- SENTIDO
		IZQ	GIRO IZQ	16	0	3	13	0	1	15	0	3	21	0	5	65	0	12	77
	NORTE-SUR	120	RECTO	105	1	15	140	2	9	123	1	11	129	2	14	497	6	49	552
	NONTE-SON	DER	RECTO	121	0	0	29	0	5	69	0	4	197	0	3	416	0	12	428
Av. Edelberto	Av. Edelberto	DEN	GIRO DER	9	0	1	14	0	1	10	0	0	22	0	2	55	0	4	59
Bonilla Oleas		IZQ	GIRO IZQ	2	0	0	2	0	0	1	0	0	3	0	0	8	0	0	8
	SUR-NORTE	120	RECTO	49	2	10	125	2	1	104	1	1	133	2	5	411	7	17	435
	30K-NOKTE	DER	RECTO	35	1	1	106	2	3	92	5	6	118	1	8	351	9	18	378
		DEK	GIRO DER	5	0	0	3	0	0	4	0	1	4	0	0	16	0	1	17
		GIRO IZQ	2	0	0	6	0	0	4	0	0	9	0	0	21	0	0	21	
Av. Araujo Chiriboga	ESTE-OESTE	UNICO	RECTO	1	0	0	12	0	0	5	0	0	4	0	0	22	0	0	22
Cililiboga			GIRO DER	7	0	1	19	0	1	12	0	3	6	1	0	44	1	5	50

A través de esta intersección circulan 15735 vehículos al día, en un promedio de 1311 vehículos por hora. La hora pico de esta intersección es de las 08:45 a 09:45 donde transitan 2047 autos. En la ilustración se presentan los volúmenes vehiculares por cada 15 minutos de esta intersección.

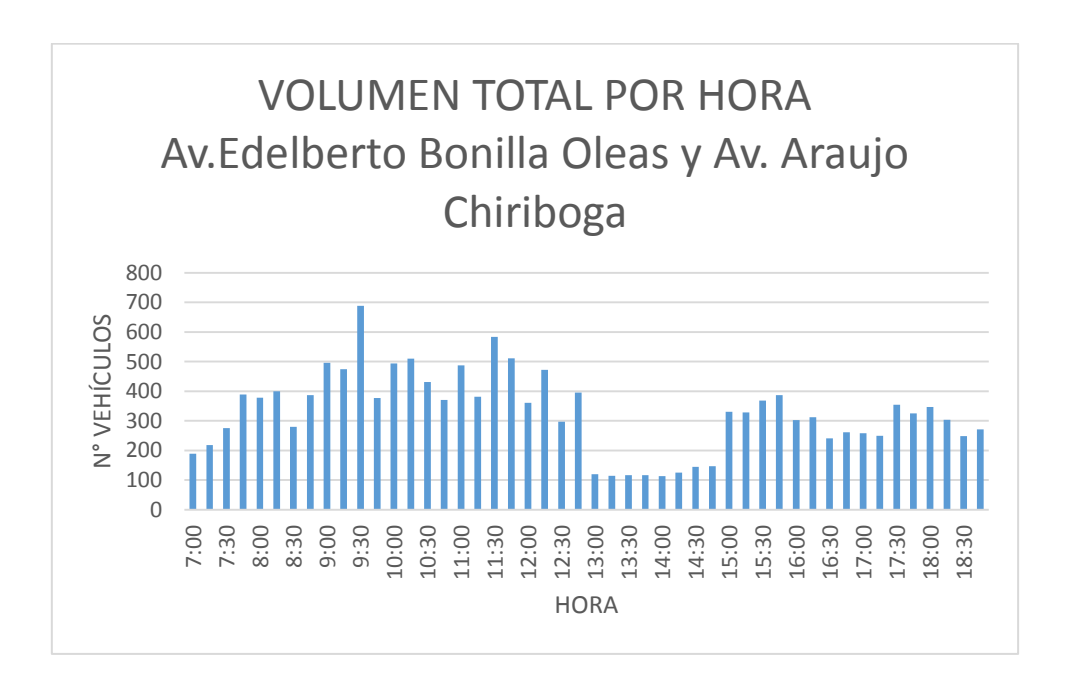


Ilustración 80: Intersección 16. Volúmenes por hora.

Fuente: Elaborado por los analistas, es una observación de campo, 5 de Septiembre del 2016.

Análisis del plan de fases actuales.

Tabla 175: Intersección 16. Sincronización semafórica actual.

SINCRONIZACIÓN SEMAFÓRICA								
Tota	al Ciclo	Fases (G) seg.						
L=	9,00	1	G1	20				
tL=	3	2	G2	26				
Co=	72,00	3	G3	17				

Tabla 176: Intersección 16. Capacidad y nivel de servicio actual.

,	CAPACIDAD Y NIVEL DE SERVICIO DE LA INTERSECCION ANÁLISIS DE LA CAPACIDAD							
Numero de fase	1	2	3					
Grupo de carril	↓	* * * * * * * * * * * * * * * * * * * *						
Volumen vehicular (veh/h)	1116	838	93					
Flujo de saturación, S (veh/h)	2876	2845	1741					
Tiempo perdido I (s)	3	3	3					
Tiempo de verde efectivo G, (s)	20,00	26,00	17,00					
Tasa de verde G/Co	0,278	0,361	0,236					
Capacidad del grupo de carril , C (veh/h)	799	1028	411					
Relación volumen-capacidad X	1,397	0,816	0,226					
Razón de flujo Yi , (veh/h)	0,388	0,295	0,053					
Flujo crítico intersección YC		0,736						
Tiempo perdido por ciclo L		9						
Volumen relacionado con la		0.941						
capacidad XC		0,841						
DETERMINACIÓN DE CAPACIDAD DE NIVE	L GRUPO DE CAF L DE SERVICIO	RRIL, CONTROL	DE RETRASO,					
	Norte	Sur	Este					
Grupo de carril	→	**						
Volumen vehicular (veh/h)	1116	838	93					
Capacidad del grupo de carril ,C (veh/h)	799	1028	411					
Relación Volumen-Capacidad X	1,397	0,816	0,226					
Tasa de verde total g/Co	0,278	0,361	0,236					
Retraso uniforme,d1, (s/veh)	26,000	20,829	22,192					
Calibración del incremento de retraso k	0,500	0,500	0,500					
Incremento de retraso, d2 (s/veh)	186,292	7,133	1,275					
Retraso inicial de la cola vehicular d3, (s/veh)	0	0	0					
Factor de progresión PF	1	1	1					
Retraso, d (s/veh)	212,3	28,0	23,5					
Nivel de servicio de grupo de carril	F	С	С					
Retraso por aproximación dA (s/veh)	212,3	28,0	23,5					
Nivel de servicio de aproximación	F	С	С					
Tasa de flujo de la aproximación VA, (veh/h)	1116	838	93					
Retraso de la intersección d I, (s/veh)	128,3							
NIVEL DE SERVICIO DE LA INTERSECCIÓN	F							

Análisis de plan de fases propuestas.

Tabla 177: Intersección 16. Razón de flujo crítico Ycr.

Fase	Movimientos	Ycr
1	Norte-Sur	0,3735
2	Sur-Norte	0,2570
3	Este - Oeste	0,0513

Fuente: Realizada por los tesistas.

Tabla 178: Intersección 16. Cálculo del ciclo óptimo.

CICLO ÓPTIMO						
Tiempo entre verde	l(s)	3				
Tiempo perdido	L(s)	9				
Ciclo Óptimo	Co(s)	58,13526249				
Ciclo Óptimo (redondeado)	Co (s)	60				

Fuente: Realizada por los tesistas.

Tabla 179: Intersección 16. Calculo del verde efectivo.

Fase	Sentido circulación	Verde efectivo	Verde adoptado
	Norte – Sur giro		
1	izq	27,94	28
2	Norte - Sur	19,23	20
3	Este - Oeste	3,84	5
		Co	62

Fuente: Realizada por los tesistas.

Tabla 180: Intersección 15. Nueva sincronización semafórica.

SINCR	SINCRONIZACIÓN SEMAFÓRICA					
Total Ciclo			Fases (G) seg.			
L=	9,00	1	G1	28		
tL=	3	2	G2	20		
Co=	62,00	3	G3	5		

Diagrama semafórica.



Ilustración 81: Intersección 16. Diagrama semafórica

Fuente: Realizado por los tesistas.

Al realizar la comparación del nivel de servicio actual con el propuesto podemos deducir que el nivel de servicio de la intersección en general ha pasado de nivel F a nivel C, lo que nos indica que los retrasos de los vehículos de ha reducido de 128.3 segundos a 29.0 segundos. Y el análisis de la capacidad de la intersección en general es de 0.861 este se encuentra bajo la capacidad de la intersección lo que quiere decir que la demanda no sobrepasa la capacidad de la intersección con esta propuesta.

Tabla 181: Intersección 16. Capacidad y nivel de servicio de la propuesta.

CAPACIDAD Y NIVEL DE SERVICIO DE LA INTERSECCIÓN					
ANÁLISIS	DE LA CAPACIO	AD			
Numero de fase	1	2	3		
Grupo de carril	4	**			
Volumen vehicular (veh/h)	1116	838	93		
Flujo de saturación, S (veh/h)	2876	2845	1741		
Tiempo perdido I (s)	3	3	3		
Tiempo de verde efectivo G, (s)	28,00	20,00	5,00		
Tasa de verde G/Co	0,452	0,323	0,081		
Capacidad del grupo de carril , C (veh/h)	1299	918	140		
Relación volumen-capacidad X	0,859	0,913	0,662		
Razón de flujo Yi, (veh/h)	0,388	0,295	0,053		
Flujo crítico intersección YC		0,736			
Tiempo perdido por ciclo L		9			
Volumen relacionado con la		0,861			
capacidad XC					
DETERMINACIÓN DE CAPACIDAD DE NIVE	L GRUPO DE CAI L DE SERVICIO	RRIL, CONTROI	L DE RETRASO,		
	Norte	Sur	Este		
Grupo de carril					
Volumen vehicular (veh/h)	1116	838	93		
Capacidad del grupo de carril ,C (veh/h)	1299	918	140		
Relación Volumen-Capacidad X	0,859	0,913	0,662		
Tasa de verde total g/Co	0,452	0,323	0,081		
Retraso uniforme, d1, (s/veh)	15,235	20,164	27,680		
Calibración del incremento de retraso k	0,500	0,500	0,500		
Incremento de retraso, d2 (s/veh)	7,563	14,903	21,953		
Retraso inicial de la cola vehicular d3, (s/veh)	0	0	0		
Factor de progresión PF	1	1	1		
Retraso, d (s/veh)	22,8	35,1	49,6		
Nivel de servicio de grupo de carril	С	D	D		
Retraso por aproximación d A (s/veh)	22,8	35,1	49,6		
Nivel de servicio de aproximación	С	D	D		
Tasa de flujo de la aproximación VA, (veh/h)	1116	838	93		
Retraso de la intersección d I, (s/veh)		29,0			
NIVEL DE SERVICIO DE LA INTERSECCIÓN		С			

4.2.17. Intersección 17: Av. Edelberto Bonilla y Av. Alfonso Chávez.



Ilustración 82: Intersección con redondel 17: Av. Edelberto Bonilla y Av. Alfonso Chávez.

Fuente: Google Maps-2016.

UBICACIÓN				
Norte= 9815909	Este= 762419			
Altitud	2776 msnm			

Esta intersección consta de 4 accesos brazo I, brazo II, brazo III y brazo IV. Los movimientos que se pueden realizar son 12 ya que cada aproximación está habilitada para realizar giros izquierdos, giros derechos, rectos y en U como indica la ilustración 83.

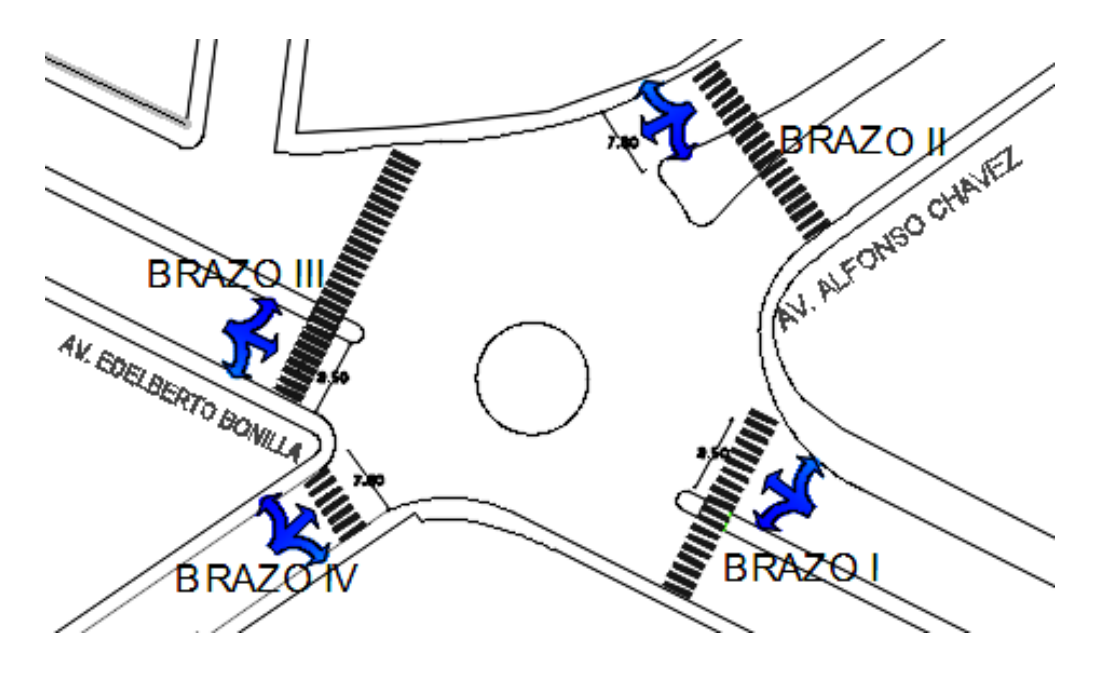


Ilustración 83: Intersección 17. Geometría y Tipos de movimientos.

En esta intersección se crea congestión vehicular ya que es usada como ruta de buses urbanos, también por los que se dirigen vehículos al Cantón Penipe y a Comunidad aledañas; además este sector es de tipo comercial y vivienda.

Tabla 182: Intersección 17. Características geométricas.

CARACTERÍSTICAS DE LA INTERSECCIÓN 17: Av. Edelberto Bonilla Oleas y Av. Alfonso Chavez							
Datos generales	Brazo I	Brazo II	Brazo III	Brazo IV			
N° de carriles	2	2	2	2			
Carriles exclusivos de giro	NO	NO	NO	NO			
Parqueo permitido	NO	NO	NO	NO			
Parada de bus	NO	NO	NO	NO			
N	° de peatones y maniob	ras de estacionamiento po	r aproximación				
Hora Pico	Norte	Sur	Este	Oeste			
N° de peatones hora pico	83	55	12	15			
N° de maniobras de estacionamiento	0	0	0	0			

Fuente: Elaborado por los tesistas, es una observación de campo, 5 de Septiembre del 2016.

A través de esta intersección circulan 30162 vehículos al día, en un promedio de 2513 vehículos por hora. La hora pico de esta intersección es de las 18:00 a 19:00 donde transitan 3104 autos. En la ilustración se presentan los volúmenes vehiculares por cada 15 minutos de esta intersección.

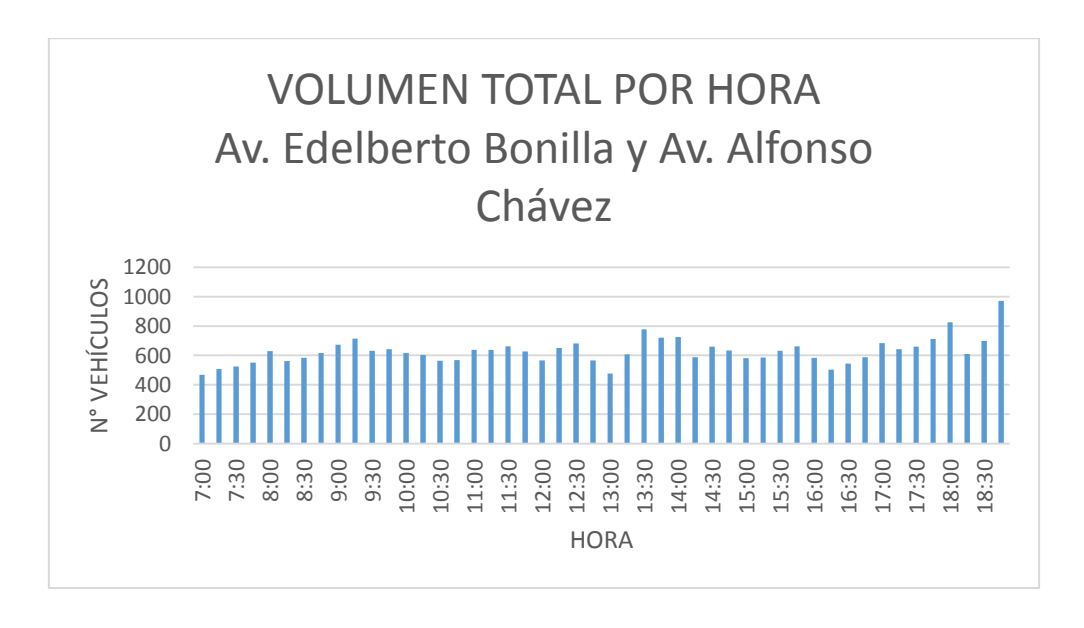


Ilustración 84: Intersección 17. Volúmenes por hora.

Tabla 183: Intersección 17. Conteo volumétrico de tránsito de la hora pico.

	CONTEO DE TRÁFICO									•							
DEDONDEI CENTID	NDEL SENTIDO DE CIRCULACIÓN						HORA PICO										
KEDONDEL SENTID	O DE CINCULACION			18:00			18:15			18:30			18:45			SUBTOTAL	
REDONDEL	BRAZO	GIRO	А	В	C	А	В	C	А	В	C	A	В	С	А	В	C
		RECTO	105	7	8	110	13	10	114	17	15	115	20	25	444	57	58
	1	DER	84	10	6	88	9	13	92	14	9	95	18	22	359	51	50
		En U	7	0	0	4	0	0	6	0	0	7	0	2	24	0	2
		IZQ	158	5	10	106	6	3	120	6	3	142	12	12	526	29	28
	2	DER	100	1	9	79	0	4	59	0	6	82	2	8	320	3	27
LA BASIJA		En U	6	0	0	4	0	0	3	0	0	12	0	0	25	0	0
LA DAJIJA		RECTO	142	2	4	98	0	7	134	1	2	210	1	2	584	4	15
	3	IZQ	72	1	2	74	1	2	74	0	2	103	2	4	323	4	10
		En U	1	0	0	3	0	0	0	0	0	0	0	0	4	0	0
		RECTO	49	7	1	40	4	0	32	3	1	35	1	3	156	15	5
	4	IZQ	7	1	0	8	0	1	10	1	2	12	2	1	37	4	4
		DER	10	0	0	16	0	0	14	0	0	18	0	0	58	0	0

Análisis del redondel.

Tabla 184: Intersección 17. Volumen.

VOLUMEN	BRAZO 1	BRAZO 2	BRAZO 3	BRAZO 4
VOLUMEN ENTRANTE	1045	958	944	279
VOLUMEN SALIENTE	1270	998	958	-
VOLUMEN CIRCULANTE	587	634	634	1578

Fuente: Realizada por los tesistas.

Tabla 185: Intersección 17. Datos de la geometría.

DATOS	BRAZO 1	BRAZO 2	BRAZO 3	BRAZO 4
ANCHO DE ENTRADA (e) (m)	6,85	7	6,95	6,85
ANCHO MEDIO EN APROX (v)				
(m)	6,85	7	6,95	6,85
LONG. EFEC. ENSANCH. (l) (m)	14	1	1	1
DIÁMETRO CIRC. INSCRITA				
(D) (m)	38	38	38	38
ÁNGULO DE ENTRADA (φ)				
(grados)	65	70	60	65
RADIO DE ENTRADA (r)	3,35	2,95	2,8	2,4

Fuente: Realizada por los tesistas.

Tabla 186: Intersección 17. Capacidad del redondel.

PARÁMETRO	DESCRIPCIÓN	BRAZO 1	BRAZO 2	BRAZO 3	BRAZO 4
k	Constante	0.60145	0.5189	0.5536	0.43845
s	Medida de agudeza del ensanchamiento	0	0	0	0
X2	Constante	6.85	7	6.95	6.85
M	Constante	0.110803158	0.11080316	0.11080316	0.11080316
ţD	Constante	1.450124755	1.45012476	1.45012476	1.45012476
Ec	Constante	0.721727091	0.73086288	0.72781761	0.72172709
F	Constante	2075.55	2121	2105.85	2075.55
Qc	Flujo circulante conflictivo	587	634	634	1578
Qe	Capacidad de entrada	994	860	910	411
Ve	Volumen de entrada	1045	958	944	279
v/c	Grado de saturación (V/C)	105%	111%	104%	68%
	Verificación	SATURADO	SATURADO	SATURADO	OK

Tabla 187: Intersección 17. Volumen.

Intersección 17	BRAZO 1	BRAZO 2	BRAZO 3	BRAZO 4			
Demora (seg/veh)	58.13888481	82.3209455	56.1508127	25.3647762			
Nivel de servicio de aproximación	F	F F		D			
Volumen entrante	1045	958	944	279			
Demora del redondel	61.90382521						
Nivel de servicio del redondel	F						

Fuente: Realizada por los tesistas.

Esta intersección presenta un nivel de servicio F por lo que la mayoría de sus aproximaciones esta con la capacidad máxima de circulación y nos indica que los retrasos de los vehículos es de 61.90 segundos.

4.2.18. Intersección 18: Av. Edelberto Bonilla y Av. Antonio José de Sucre.





Ilustración 85: Intersección semaforizada 18: Av. Edelberto Bonilla y Av. Antonio José de Sucre.

Fuente: Google Maps-2016.

UBICACIÓN			
Norte= 9816253	Este= 761659		
Altitud	2799 msnm		

Esta intersección consta de 4 accesos norte, sur, este y oeste, cada uno de ellos con control semafórico, con 2 carriles por cada aproximación de sentido este-oeste, oeste-este, sur-norte pero en el sentido norte-sur presenta un solo carril de circulación. No posee un carril exclusivo para giros izquierdos en todas las aproximaciones, los movimientos que se pueden realizar son 12 ya que cada aproximación está habilitada para realizar giros izquierdos, giros derechos y rectos como indica la ilustración 86.

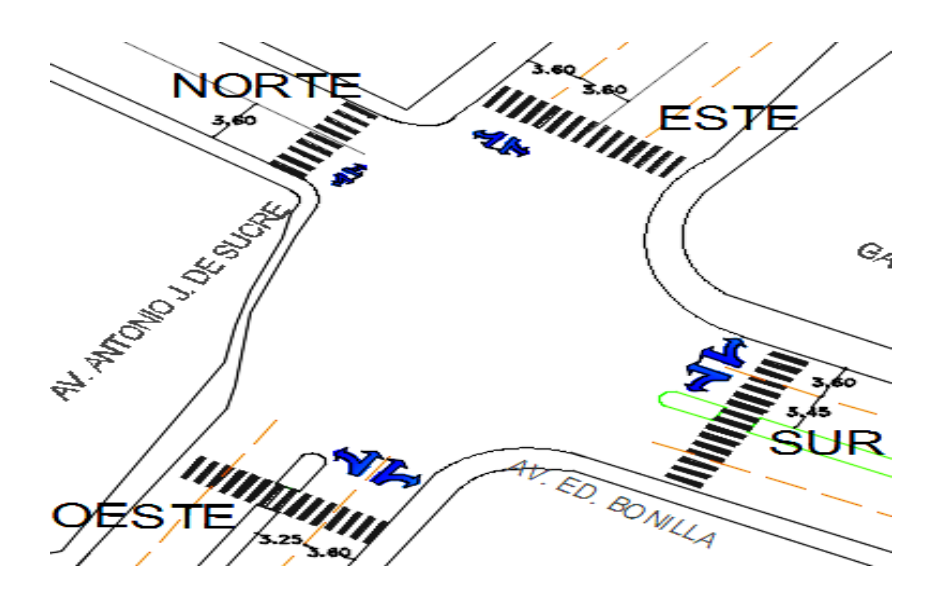


Ilustración 86: Intersección 18. Geometría y tipos de movimientos.

En esta intersección se crea congestión vehicular ya que es usada como ruta de buses urbanos, también por los vehículos que se dirigen al cantón Guano; además este sector es de tipo comercial, vivienda, estudio por el Colegio Maldonado y la universidad Nacional de Chimborazo; la misma que está controlada por un semáforo establecido.

Esta intersección es simétrica en el sentido este-oeste, oeste-este y sur-norte, y en el sentido norte-sur es asimétrica porque la avenida Edelberto Bonilla tiene un solo carril tiene un solo sentido de circulación.

Tabla 188: Intersección 18. Características geométricas y condiciones semafóricas

	CARA	CTERÍSTICAS	DE LA INTERSECC	IÓN 18: Av. Ed	elberto Bonill	la Oleas y Av. A	ntonio José d	e Sucre	
Datos general	es		Norte		Sur		Este	Oeste	
N° de carriles 1		2		2	2				
Carriles exclus	sivos de giro		NO		NO		NO	NC)
Parqueo perm	nitido		NO		NO		NO	NC)
Parada de bus			NO		NO		NO	NC)
		N	° de peatones y m	aniobras de e	stacionamient	to por aproxima	nción	*	
Hora Pico			Norte		Sur		Este	Oes	te
N° de peatone	es hora pico		7		3		22	16)
N° de maniob		onamiento	0		0		0	0	
	CONDICIONES SEMAFORICAS								
		,		PLAN I	DE FASES EXIS				
V: Verde A: Amarillo R: Rojo	DIAGRAMA	•	ф1		12	ф	4	ф4	
		A:		A:		A:		A:	3
	TIEMPO	R: V:	99			R:	74		74 35
		uración de	-	v: 112		20 V: 35 V Operación		Establecida	33
Aproximación Norte			Aproximacion Sur						
Semáforos vehículares sin giros exclusivos,			Semáforos vehículares sin giros exclusivos, semáforos						
Semáforos	semáforos peatonales			peatonales					
Jemaroros			imación Este		Aproximación Oeste				
	Semáfo		ares sin giros ex	clusivos,	Semáforos vehículares sin giros exclusivos, semáforos				
	semáforos peatonales				peatonales				

Tabla 189: Intersección 18. Conteo volumétrico de tránsito de la hora pico.

			•		CC	NTEO	DE TF	RÁFICO)										
REDONDEL E INT	TERSECCIÓN			INTER	SECCIÓ	N 18:	AV. EI	DELBEI	RTO B	ONIL	_A Y A\	/. ANTO	OINC.	JOSÉ [DE SU	CRE.			
				HORA PICO															
(CALLE, SENTIDO	Y CARRILES			14:00		14:15			14:30		14:45			SUBTOTAL		AL	VOLUMEN POR CARRIL-	
NOMBRE CALLE	SENTIDO	CARRIL	SENTIDO DE CIRCULACIÓN	Α	В	С	Α	В	С	А	В	С	Α	В	С	А	В	С	SENTIDO
			GIRO IZQ	6	0	0	5	0	0	4	0	0	2	0	0	17	0	0	17
	NORTE-SUR	UNICO	RECTO	5	0	0	11	0	2	10	0	0	8	0	0	34	0	2	36
A . E.I.II			GIRO DER	3	0	0	2	0	0	3	0	0	2	0	0	10	0	0	10
Av. Edelberto Bonilla Oleas		IZQ	GIRO IZQ	54	2	12	32	0	12	39	2	12	41	1	4	166	5	40	211
Bomma Orcas	SUR-NORTE		RECTO	0	0	4	4	0	0	0	0	1	4	0	1	8	0	6	14
	30K-NORTE	DER	RECTO	18	0	5	20	0	12	8	0	4	8	0	0	54	0	21	75
			GIRO DER	27	2	9	25	1	17	38	2	8	20	3	10	110	8	44	162
		IZQ	GIRO IZQ	46	4	4	41	0	1	28	2	1	42	3	2	157	9	8	174
	ESTE-OESTE	120	RECTO	95	3	1	82	4	2	64	2	3	81	0	0	322	9	6	337
	L31L-OL31L	DER	RECTO	67	0	0	65	0	0	56	0	0	68	0	0	256	0	0	256
Av. Antonio José de Sucre	DLN	GIRO DER	1	1	0	0	0	0	0	0	0	2	0	0	3	1	0	4	
		IZQ	GIRO IZQ	75	3	24	34	2	18	30	13	1	44	0	5	183	18	48	249
	OESTE-ESTE	120	RECTO	34	18	12	24	4	1	84	2	2	37	2	1	179	26	16	221
	OESTE-ESTE	DER	RECTO	60	11	24	72	12	2	67	11	1	62	0	2	261	34	29	324
		טבא	GIRO DER	24	5	12	48	5	5	26	1	5	27	1	1	125	12	23	160

A través de esta intersección circulan 21581 vehículos al día, en un promedio de 1798 vehículos por hora. La hora pico de esta intersección es de las 18:00 a 19:00 donde transitan 2250 autos. En la ilustración se presentan los volúmenes vehiculares por cada 15 minutos de esta intersección.

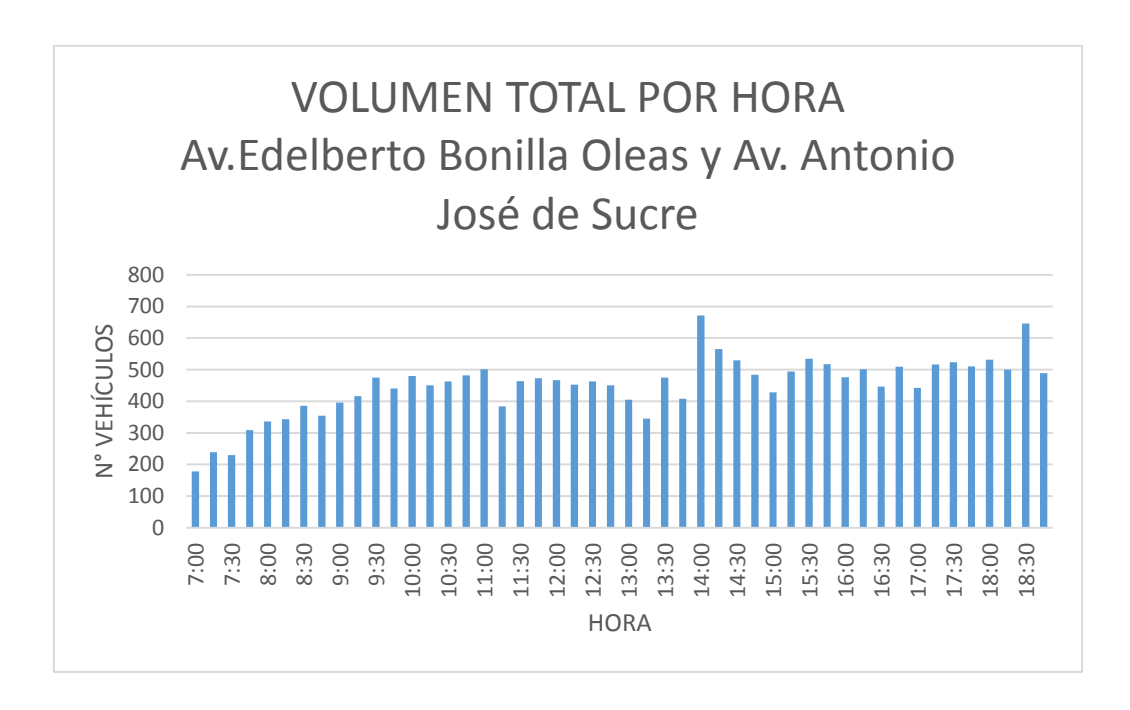


Ilustración 87: Intersección 18. Volúmenes por hora.

Fuente: Elaborado por los tesistas, es una observación de campo, 5 de Septiembre del 2016.

Análisis del plan de fases actuales.

Tabla 190: Intersección 18. Sincronización semafórica actual.

SINCRONIZACIÓN SEMAFÓRICA							
Total Ciclo			Fases (G) seg.				
L=	12,00	1	G1	10			
tL=	3	2	G2	20			
Co=	112,00	3	G3	35			
		4	G4	35			

Tabla 191: Intersección 18. Capacidad y nivel de servicio actual.

CAPACIDAD Y NIVEL DE SERVICIO DE LA INTERSECCIÓN						
ANÁL	ISIS DE LA CAP	ACIDAD				
Numero de fase	1	2	3	4		
Grupo de carril	*	* * * * * * * * * * * * * * * * * * * *	*	*		
Volumen vehicular (veh/h)	63	462	954	771		
Flujo de saturación, S (veh/h)	1977	3050	2992	2797		
Tiempo perdido I (s)	3	3	3	3		
Tiempo de verde efectivo G, (s)	10,00	20,00	35,00	35,00		
Tasa de verde G/Co	0,089	0,179	0,313	0,313		
Capacidad del grupo de carril ,C (veh/h)	176	545	935	874		
Relación volumen-capacidad X	0,357	0,848	1,020	0,882		
Razón de flujo Yi , (veh/h)	0,032	0,151	0,319	0,276		
Flujo crítico intersección YC		0,778				
Tiempo perdido por ciclo L		12				
Volumen relacionado con la		0.074	·			
capacidad XC		0,871	_			
DETERMINACIÓN DE CAPACIDAD DEL GRUPO DE CARRIL, CONTROL DE RETRASO, NIVEL DE SERVICIO						
	Norte	Sur	Este	Oeste		
Grupo de carril		★	 			
Grapo de danni	*	1	\rightarrow	*		
Volumen vehicular (veh/h)	63	462	954	771		
Capacidad del grupo de carril ,C (veh/h)	176	545	935	874		
Relación Volumen-Capacidad X	0,357	0,848	1,020	0,882		
Tasa de verde total g/Co	0,089	0,179	0,313	0,313		
Retraso uniforme,d1, (s/veh)	47,976	44,531	38,500	36,541		
Calibración del incremento de retraso k	0,500	0,500	0,500	0,500		
Incremento de retraso, d2 (s/veh)	5,555	15,127	34,653	12,468		
Retraso inicial de la cola vehicular d3, (s/veh)	0	0	0	0		
Factor de progresión PF	1	1	1	1		
Retraso, d (s/veh)	53,5	59,7	73,2	49,0		
Nivel de servicio de grupo de carril	D	E	E	D		
Retraso por aproximación dA (s/veh)	53,5	59,7	73,2	49,0		
Nivel de servicio de aproximación	D	Е	E	D		
Tasa de flujo de la aproximación VA, (veh/h)	63	462	954	771		
Retraso de la intersección d I, (s/veh)	61,6					
NIVEL DE SERVICIO DE LA INTERSECCIÓN	E					

Análisis de plan de fases propuestas.

Tabla 192: Intersección 18. Razón de flujo crítico Ycr.

Fase	Movimientos	Ycr
1	Norte-Sur	0,0313
2	Sur-Norte	0,1475
3	Este-Oeste	0,2917
4	Oeste -Este	0,2970

Fuente: Realizada por los tesistas.

Tabla 193: Intersección 18. Cálculo del ciclo óptimo.

CICLO ÓPTIMO					
Tiempo entre verde	l(s)	3			
Tiempo perdido	L(s)	12			
Ciclo Óptimo	Co (s)	98,9139302			
Ciclo Óptimo (redondeado)	Co (s)	100			

Fuente: Realizada por los tesistas.

Tabla 194: Intersección 18. Calculo del verde efectivo.

Fase	Sentido circulación	Verde efectivo	Verde adoptado
1	Norte-Sur	3,59	5
2	Sur-Norte	16,91	17
3	Este-Oeste	33,45	33
4	Oeste -Este	34,05	34
		Co	101

Fuente: Realizada por los tesistas.

Tabla 195: Intersección 18. Nueva sincronización semafórica.

SINCRONIZACIÓN SEMAFÓRICA							
Total Ciclo			Fases (G) seg.				
L=	12,00	1	G1	5			
tL=	3	2	G2	17			
Co=	101,00	3	G3	33			
		4	G4	34			

Diagrama semafórica.

 fase 1
 5
 3
 97

 fase 2
 8
 17
 3
 73

 fase 3
 28
 33
 3
 37

 fase 4
 64
 34
 34

Ilustración 88: Intersección 18. Diagrama semafórica

Fuente: Realizado por los tesistas.

Al realizar la comparación del nivel de servicio actual con el propuesto podemos deducir que el nivel de servicio de la intersección en general ha pasado de nivel E a nivel D, lo que nos indica que los retrasos de los vehículos de ha reducido de 61.6 segundos a 52.4 segundos. Y el análisis de la capacidad de la intersección en general es de 0.883 este se encuentra bajo la capacidad de la intersección lo que quiere decir que la demanda no sobrepasa la capacidad de la intersección con esta propuesta.

Tabla 196: Intersección 18. Capacidad y nivel de servicio de la propuesta

CAPACIDAD Y N	CAPACIDAD Y NIVEL DE SERVICIO DE LA INTERSECCIÓN				
Al	NÁLISIS DE LA CA	PACIDAD			
Numero de fase	1	2	3	4	
Grupo de carril			*	*	
Volumen vehicular (veh/h)	63	462	954	771	
Flujo de saturación, S (veh/h)	1977	3050	2992	2797	
Tiempo perdido I (s)	3	3	3	3	
Tiempo de verde efectivo G, (s)	5,00	17,00	33,00	34,00	
Tasa de verde G/Co	0,050	0,168	0,327	0,337	
Capacidad del grupo de carril ,C (veh/h)	98	513	978	942	
Relación volumen-capacidad X	0,644	0,900	0,976	0,819	
Razón de flujo Yi , (veh/h)	0,032	0,151	0,319	0,276	
Flujo crítico intersección YC		0,77	78		
Tiempo perdido por ciclo L		12			
Volumen relacionado con la capacidad XC		0,88	33		
DETERMINACIÓN DE CAPACIDAD DEL GRUPO DE CARRIL, CONTROL DE RETRASO, NIVEL DE SERVICIO					
	Norte	Sur	Este	Oeste	
Grupo de carril		*	\$		
Grapo de Garrii	\downarrow	Y		\rightarrow	
Volumen vehicular (veh/h)	63	462	954	771	
Capacidad del grupo de carril ,C (veh/h)	98	513	978	942	
Relación Volumen-Capacidad X	0,644	0,900	0,976	0,819	
Tasa de verde total g/Co	0,050	0,168	0,327	0,337	
Retraso uniforme, d1, (s/veh)	47,126	41,167	33,607	30,679	
Calibración del incremento de retraso k	0,500	0,500	0,500	0,500	
Incremento de retraso, d2 (s/veh)	28,265	21,385	23,521	7,877	
Retraso inicial de la cola vehicular d3, (s/veh)	0	0	0	0	
Factor de progresión PF	1	1	1	1	
Retraso, d (s/veh)	75,4	62,6	57,1	38,6	
Nivel de servicio de grupo de carril	E	E	E	D	
Retraso por aproximación dA (s/veh)	75,4	62,6	57,1	38,6	
Nivel de servicio de aproximación	E	Е	E	D	
Tasa de flujo de la aproximación VA, (veh/h)	63	462	954	771	
Retraso de la intersección d I, (s/veh)	52,4				
NIVEL DE SERVICIO DE LA INTERSECCIÓN	D				

4.2.19. Intersección 19: Av. Antonio José de Sucre y Av. Héroes de Tapi.

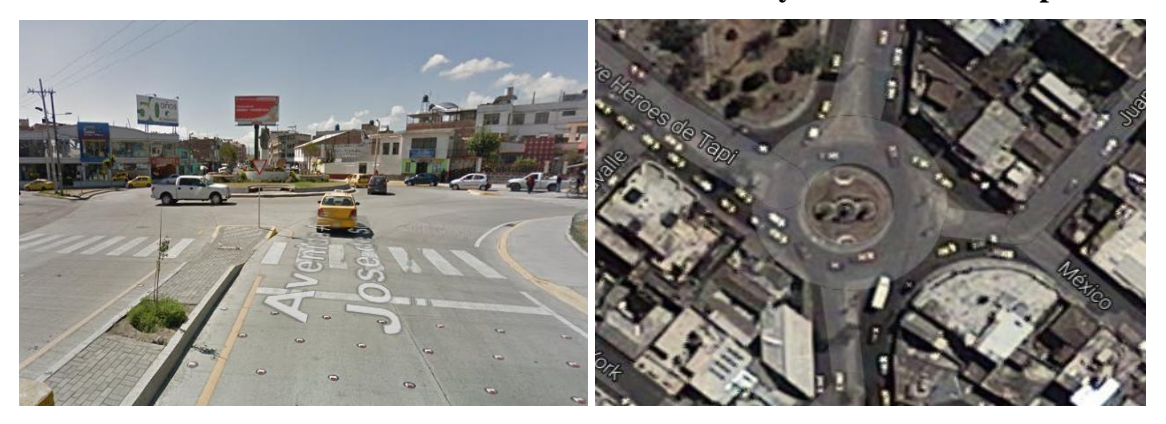


Ilustración 89: Intersección con redondel 19: Av. Antonio José de Sucre y Av. Héroes de Tapi.

Fuente: Google Maps-2016.

UBICACIÓN				
Norte= 9815970	Este= 761506			
Altitud	2773 msnm			

Esta intersección consta de 4 accesos brazo I, brazo II, brazo III y brazo IV. Los movimientos que se pueden realizar son 16 ya que cada aproximación está habilitada para realizar giros izquierdos, giros derechos, rectos y en U como indica la ilustración 90.

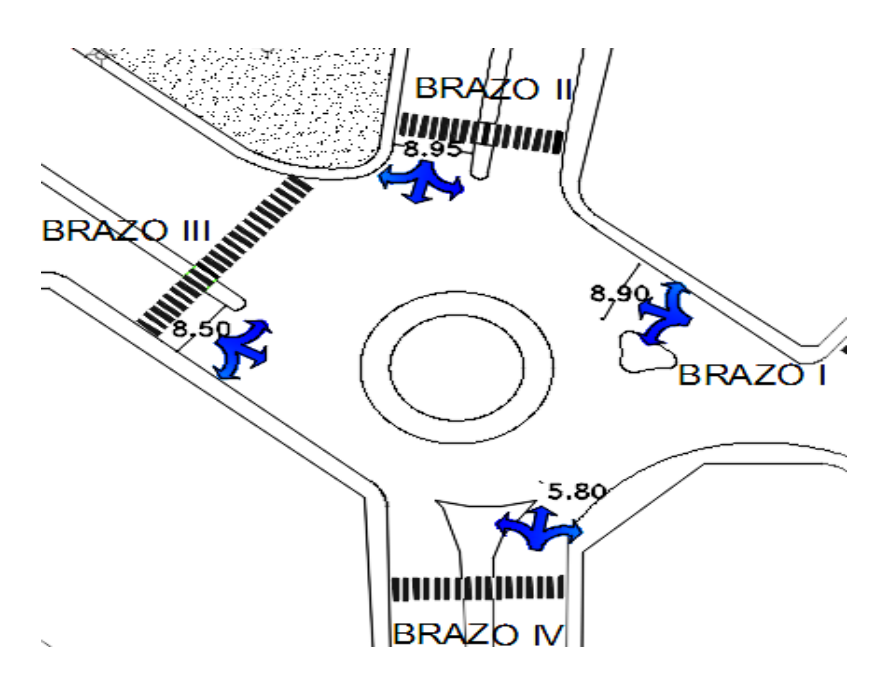


Ilustración 90: Intersección 19. Geometría y tipos de movimientos.

En esta intersección se crea congestión vehicular ya que es usada como ruta de buses urbanos, también por los que se dirigen vehículos al Cantón Guano y a Comunidad aledañas; además este sector es de tipo comercial, estudio por el Colegio COMIL y vivienda.

Tabla 197: Intersección 19. Características geométricas.

CARACTERÍSTICAS DE LA INTERSECCIÓN 19: Av. Antonio José de Sucre y Av. Héroes de Tapi								
Datos generales	Brazo I	Brazo II	Brazo III	Brazo IV				
N° de carriles	1	1	1	1				
Carriles exclusivos de giro	NO	NO	NO	NO				
Parqueo permitido	NO	NO	NO	NO				
Parada de bus	NO	NO	NO	NO				
N	° de peatones y maniob	ras de estacionamiento po	r aproximación					
Hora Pico	Norte	Sur	Este	Oeste				
N° de peatones hora pico	83	55	12	15				
N° de maniobras de estacionamiento	0	0	0	0				

Fuente: Elaborado por los tesistas, es una observación de campo, 5 de Septiembre del 2016.

A través de esta intersección circulan 28574 vehículos al día, en un promedio de 2381 vehículos por hora. La hora pico de esta intersección es de las 11:00 a 12:00 donde transitan 3106 autos. En la ilustración se presentan los volúmenes vehiculares por cada 15 minutos de esta intersección.

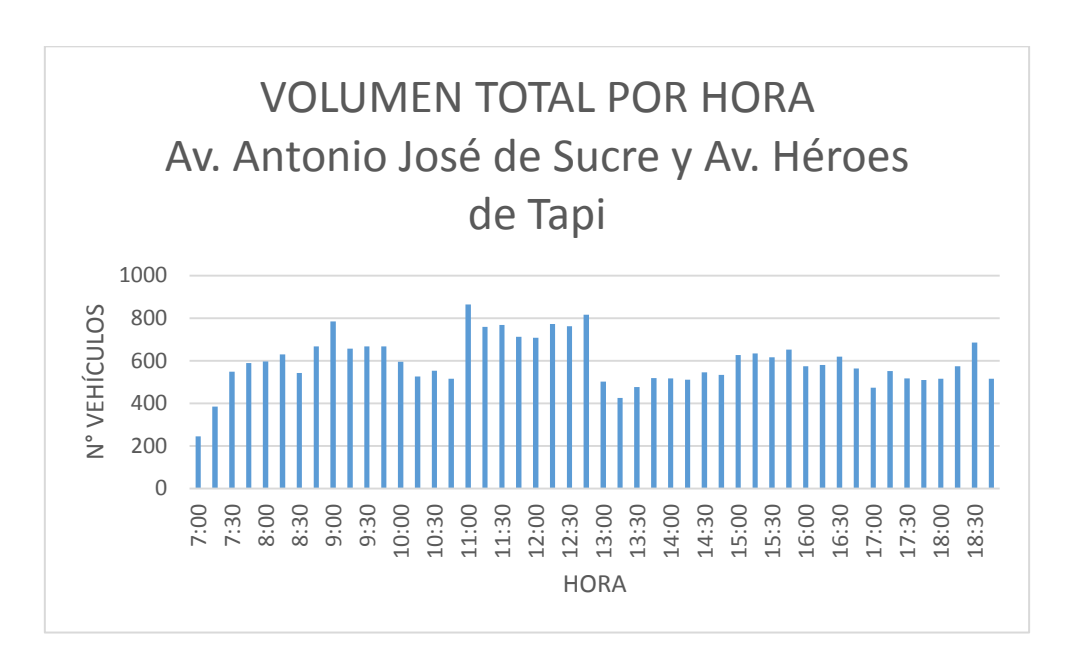


Ilustración 91: Intersección 19. Volúmenes por hora.

Tabla 198: Intersección 19. Conteo volumétrico de tránsito de la hora pico.

	,						CONTEO DI	TRÁFICO					•				
REDONDEL SENTID	O DE CIDCUII ACIÓN									HORA PICO							
KEDONDEL SENTID	O DE CINCULACION			11:00			11:15			11:30			11:45			SUBTOTAL	
REDONDEL	BRAZO	GIRO	А	В	С	А	В	С	А	В	С	А	В	С	Α	В	С
		RECTO	80	0	1	60	0	1	52	0	3	40	0	1	232	0	6
	1	IZQ	113	0	1	90	1	1	69	0	2	50	1	0	322	2	4
	1	DER	2	0	0	1	0	2	3	0	1	2	0	0	8	0	3
		En U	0	0	0	0	0	0	0	0	0	0	0	0	0	0	0
		RECTO	100	1	3	100	1	3	112	1	3	82	1	2	394	4	11
		IZQ	0	0	1	1	0	1	3	0	1	1	0	1	5	0	4
	2	DER	40	2	5	37	2	5	52	2	5	47	2	4	176	8	19
COMIL		En U	2	0	0	0	0	0	0	0	0	2	0	0	4	0	0
COIVIIL		RECTO	173	1	2	152	0	1	134	0	2	152	0	2	611	1	7
	3	IZQ	110	2	0	75	3	0	91	2	0	80	2	3	356	9	3
	3	DER	50	1	2	39	0	3	62	0	2	45	0	1	196	1	8
		En U	2	0	0	0	0	0	2	0	0	1	0	0	5	0	0
		RECTO	65	3	5	75	2	3	72	2	3	80	3	6	292	10	17
		IZQ	32	1	1	36	0	1	23	2	0	25	1	2	116	4	4
	4	DER	57	2	2	57	1	6	54	3	5	65	2	3	233	8	16
		En U	3	0	0	0	0	0	1	0	0	3	0	0	7	0	0

Análisis del redondel.

Tabla 199: Intersección 19. Volumen.

VOLUMEN	BRAZO 1	BRAZO 2	BRAZO 3	BRAZO 4
VOLUMEN ENTRANTE	577	625	1197	707
VOLUMEN SALIENTE	885	702	570	949
VOLUMEN CIRCULANTE	827	702	757	1005

Fuente: Realizada por los tesistas.

Tabla 200: Intersección 19. Datos de la geometría.

DATOS	BRAZO 1	BRAZO 2	BRAZO 3	BRAZO 4
ANCHO DE ENTRADA (e) (m)	7,5	8,9	8,55	8,22
ANCHO MEDIO EN APROX (v)				
(m)	7,5	8,9	8,55	8,22
LONG. EFEC. ENSANCH. (1) (m)	1	1	1	1
DIÁMETRO CIRC. INSCRITA (D)				
(m)	46,5	46,5	46,5	46,5
ÁNGULO DE ESTRADA (φ)				
(grados)	42	46	43	40
RADIO DE ENTRADA (r)	2.1	2.4	2.8	2.05

Fuente: Realizada por los tesistas.

Tabla 201: Intersección 19. Capacidad del redondel.

PARAMETRO	DESCRIPCION	BRAZO 1	BRAZO 2	BRAZO 3	BRAZO 4
k	Constante	0.54154571	0.58588	0.65450429	0.53712683
S	Medida de agudeza del ensanchamiento	0	0	0	0
X2	Constante	7.5	8.9	8.55	8.22
M	Constante	0.25924026	0.25924026	0.25924026	0.25924026
tD	Constante	1.39706481	1.39706481	1.39706481	1.39706481
Fc	Constante	0.73345903	0.81560644	0.79506959	0.77570627
F	Constante	2272.5	2696.7	2590.65	2490.66
Qc	Flujo circulante conflictivo	827	702	757	1005
Qe	Capacidad de entrada	902	1244	1302	919
Ve	Volumen de entrada	577	625	1197	707
V/C	Grado de saturació (V/C)	63.97%	50%	92%	77%
	Verificación	OK	OK	OK	OK

Tabla 202: Intersección 17. Volumen.

Intersección 19	BRAZO 1	BRAZO 2	BRAZO 3	BRAZO 4			
Demora (seg/veh)	10.79169	5.77866637	23.0013816	15.6541373			
Nivel de servicio de aproximación	В	A	С	С			
Volumen entrante	577	625	1197	707			
Demora del redondel	15.59517079						
Nivel de servicio del redondel	С						

Fuente: Realizada por los tesistas.

Esta intersección presenta un nivel de servicio A por lo que la mayoría de sus aproximaciones esta con la capacidad adecuada de circulación y nos indica que los retrasos de los vehículos es de 6.93 segundos.

4.2.20. Intersección 20: Av. Héroes de Tapi y Calle Brasil.



Ilustración 92: Intersección semaforizada 20: Av. Héroes de Tapi y Calle Brasil

Fuente: Google Maps-2016.

UBICACIÓN							
Norte= 9816231	Este= 761186						
Altitud	2775 msnm						

Esta intersección consta de 4 accesos norte, sur, este y oeste, cada uno de ellos con control semafórico, con 2 carriles por cada aproximación de sentido norte-sur, sur-norte pero en el sentido oeste-este presenta un solo carril de circulación. No posee un carril exclusivo para giros izquierdos en todas las aproximaciones, los movimientos que se pueden realizar son 9 ya que cada aproximación está habilitada para realizar giros izquierdos, giros derechos y rectos como indica la ilustración 93.

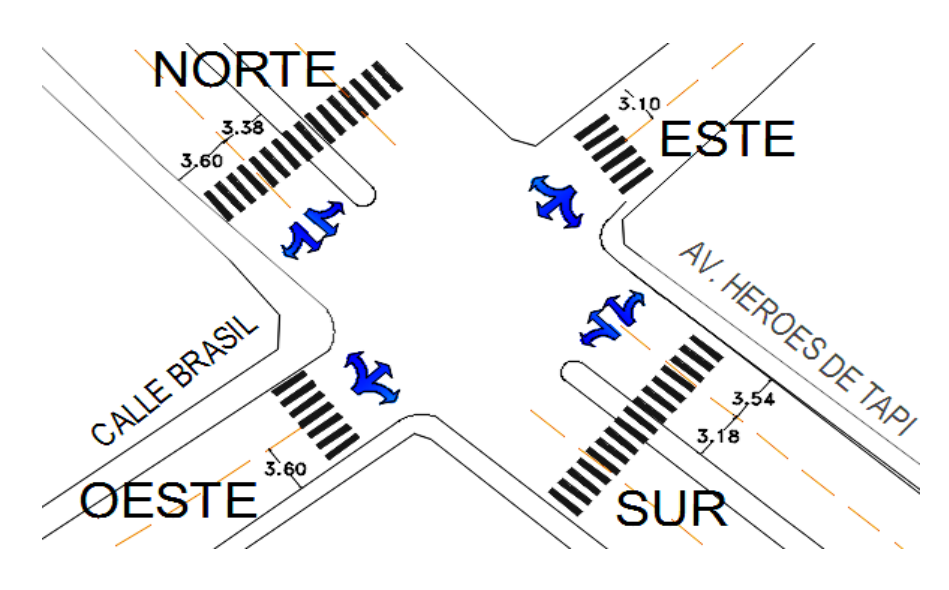


Ilustración 93: Intersección 20. Geometría y tipos de movimientos.

En esta intersección se crea congestión vehicular ya que es usada como ruta de buses urbanos, también por los vehículos que se dirigen al terminal terrestre de la ciudad; además este sector es de tipo comercial, vivienda, estudio por la unidad educativa José María Román; la misma que está controlada por un semáforo establecido.

Esta intersección es simétrica en el sentido este-oeste, oeste-este y sur-norte, y en el sentido norte-sur es asimétrica porque la calle Brasil tiene un solo carril tiene un solo sentido de circulación.

Tabla 203: Intersección 20. Características geométricas y condiciones semafóricas

		CARAC	TERÍSTICAS DE LA	A INTERSECCIÓ	N 20: Av. Héro	oes de Tapi y C	alle Brasil				
Datos general	es		Norte		Sur		Este	Oe	ste		
N° de carriles			2		2		-	1			
Carriles exclus	sivos de giro		NO		NO		-	N	0		
Parqueo perm		NO			NO		-	N	0		
Parada de bus		NO			NO		-	N	0		
N° de peatones y maniobras de					stacionamient	o por aproxim	ación	•			
Hora Pico			Norte		Sur		Este	Oe	ste		
N° de peatone	es hora pico		8		11		4		5		
N° de maniob	ras de estacio	namiento	0		0		-		0		
			C	ONDICIONES	SEMAFORICA	AS .		•			
	PLAN DE FASES EXISTENTE										
			ф1	¢	2	ф	3	ф	4		
V: Verde A: Amarillo R: Rojo	DIAGRAMA	K					$\stackrel{\bullet}{\rightarrow}$				
	TIEMPO	A:	3	A:	3	A:	3	A:	0		
	(seg)	R:	54	R:	54	R:	62	R:	0		
		V:	28	v:		V:	20		0		
	D	uración del		85	Oper	ación	vavimasian C	Establecida			
	Aproximación Norte Semáforos vehículares sin giros exclusivos,					Aproximacion Sur Semáforos vehículares sin giros exclusivos, semáforos					
Semáforos			os peatonales		peatonales						
3		Aproxi	mación Este		Aproximación Oeste						
					Semáforos vehículares sin giros exclusivos, semáforos peatonales						

Tabla 204: Intersección 20. Conteo volumétrico de tránsito de la hora pico.

						CONTE	O DE 1	RÁFIC	0		•							•			
REDONDEL E IN	TERSECCIÓN				l	NTERS	ECCIÓ	N 20:	AV. H	ÉROES	S DE TA	API Y C	ALLE BI	RASIL.							
	CALLE CENTIDO Y CARRUES			HORA PICO													VOLUMEN				
	CALLE, SENTIDO	Y CARRILES	Y CARRILES		CARRILES		10:15			10:30			10:45			11:00		SU	ЈВТОТ	AL	POR CARRIL-
NOMBRE CALLE	SENTIDO	CARRIL	SENTIDO DE CIRCULACIÓN	Α	В	С	Α	В	С	Α	В	С	Α	В	С	А	В	С	SENTIDO		
		IZQ	GIRO IZQ	0	0	0	0	0	0	0	0	0	0	0	0	0	0	0	0		
	NORTE-SUR	120	RECTO	105	4	3	120	3	7	80	4	8	105	1	7	410	12	25	447		
	NONTE-SON	DER	RECTO	28	0	0	32	0	0	31	0	0	51	0	0	142	0	0	142		
Av. Héroes de		DLIN	GIRO DER	33	2	1	50	1	0	32	4	1	43	1	1	158	8	3	169		
Tapi		IZQ	GIRO IZQ	20	1	0	15	0	0	17	1	0	16	0	0	68	2	0	70		
	SUR-NORTE	120	RECTO	108	5	7	105	0	5	90	1	5	112	2	0	415	8	17	440		
	JON-NORTE	DER	RECTO	88	4	0	72	1	0	90	2	2	88	3	0	338	10	2	350		
		DEK	GIRO DER	2	0	0	0	0	0	0	0	0	0	0	0	2	0	0	2		
			GIRO IZQ	12	0	0	5	0	0	8	0	0	5	0	0	30	0	0	30		
Calle Brasil	OESTE-ESTE UNICO	RECTO	0	0	0	0	0	0	0	0	0	0	0	0	0	0	0	0			
			GIRO DER	15	1	0	14	2	0	10	1	1	10	0	0	49	4	1	54		

A través de esta intersección circulan 17522 vehículos al día, en un promedio de 1460 vehículos por hora. La hora pico de esta intersección es de las 10:15 a 11:15 donde transitan 1634 autos. En la ilustración se presentan los volúmenes vehiculares por cada 15 minutos de esta intersección.

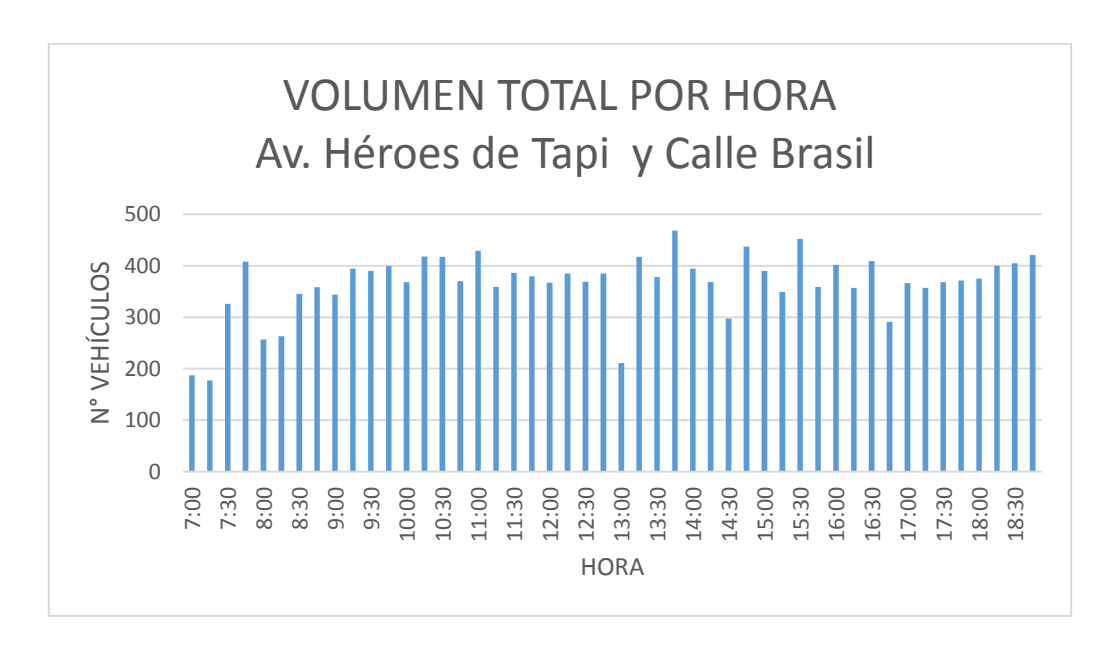


Ilustración 94: Intersección 20. Volúmenes por hora.

Fuente: Elaborado por los tesistas, es una observación de campo, 5 de Septiembre del 2016.

Análisis del plan de fases actuales.

Tabla 205: Intersección 20. Sincronización semafórica actual.

SINCRONIZACIÓN SEMAFÓRICA								
Tota	al Ciclo	Fases (G) seg.						
L=	9,00	1	G1	28				
tL=	3	2	G2	28				
Co=	85,00	3	G3	20				

Tabla 206: Intersección 20. Capacidad y nivel de servicio actual.

CAPACIDAD Y NIVEL DE SERVICIO DE LA INTERSECCIÓN							
,	S DE LA CAPACIO						
Numero de fase	1	2	3				
Grupo de carril	→	-	→				
Volumen vehicular (veh/h)	758	792	84				
Flujo de saturación, S (veh/h)	3141	3107	1713				
Tiempo perdido I (s)	3	3	3				
Tiempo de verde efectivo G, (s)	28,00	28,00	20,00				
Tasa de verde G/Co	0,329	0,329	0,235				
Capacidad del grupo de carril ,C (veh/h)	1035	1024	403				
Relación volumen-capacidad X	0,733	0,774	0,208				
Razón de flujo Yi, (veh/h)	0,241	0,255	0,049				
Flujo crítico intersección YC		0,545					
Tiempo perdido por ciclo L		9					
Volumen relacionado con la		0,610					
capacidad XC							
DETERMINACIÓN DE CAPACIDAD DEL GRUPO DE CARRIL, CONTROL RETRASO, NIVEL DE SERVICIO							
	Norte	Sur	Este				
Grupo de carril		**	\rightarrow				
Volumen vehicular (veh/h)	758	792	84				
Capacidad del grupo de carril ,C (veh/h)	1035	1024	403				
Relación Volumen-Capacidad X	0,733	0,774	0,208				
Tasa de verde total g/Co	0,329	0,329	0,235				
Retraso uniforme,d1, (s/veh)	25,190	25,650	26,134				
Calibración del incremento de retraso k	0,500	0,500	0,500				
Incremento de retraso, d2 (s/veh)	4,589	5,697	1,172				
Retraso inicial de la cola vehicular d3, (s/veh)	0	0	0				
Factor de progresión PF	1	1	1				
Retraso, d (s/veh)	29,8	31,3	27,3				
Nivel de servicio de grupo de carril	С	С	С				
Retraso por aproximación dA (s/veh)	29,8	31,3	27,3				
Nivel de servicio de aproximación	С	С	С				
Tasa de flujo de la aproximación VA, (veh/h)	758	792	84				
Retraso de la intersección d I, (s/veh)	30,4						
NIVEL DE SERVICIO DE LA INTERSECCIÓN		С					

Análisis de plan de fases propuestas.

:

Tabla 207: Intersección 20. Razón de flujo crítico Ycr.

Fase	Movimientos	Ycr
1	Norte-Sur	0,2409
2	Sur-Norte	0,2762
3	Este-Oeste	0,0473

Fuente: Realizada por los tesistas.

Tabla 208: Intersección 20. Cálculo del ciclo óptimo.

CICLO ÓPTIMO							
Tiempo entre							
verde	l(s)	3					
Tiempo perdido	L(s)	9					
Ciclo Óptimo	Co (s)	42,4717046					
Ciclo Óptimo	Co						
(redondeado)	(s)	45					

Fuente: Realizada por los tesistas.

Tabla 209: Intersección 20. Calculo del verde efectivo.

Fase	Sentido circulación	Verde efectivo	Verde adoptado
1	Norte-Sur	15,37	16
2	Sur-Norte	17,62	18
3	Este-Oeste	3,02	5
		Co	48

Fuente: Realizada por los tesistas.

Tabla 210: Intersección 20. Nueva sincronización semafórica.

SINCRONIZACIÓN SEMAFÓRICA							
Tota	al Ciclo	Fases (G)					
L=	9,00	1	G1	16			
tL=	3	2	G2	18			
Co=	48,00	3	G3	5			

Diagrama semafórica.

 fase 1
 16
 3
 29

 fase 2
 19
 18
 3
 8

 fase 3
 40
 5
 3

Ilustración 95: Intersección 20. Diagrama semafórica

Fuente: Realizado por los tesistas.

Al realizar la comparación del nivel de servicio actual con el propuesto podemos deducir que el nivel de servicio de la intersección en general ha pasado de nivel C a nivel B, lo que nos indica que los retrasos de los vehículos de ha reducido de 30.4 segundos a 17.7 segundos. Y el análisis de la capacidad de la intersección en general es de 0.671 este se encuentra bajo la capacidad de la intersección lo que quiere decir que la demanda no sobrepasa la capacidad de la intersección con esta propuesta.

Tabla 211: Intersección 20. Capacidad y nivel de servicio de la propuesta.

CAPACIDAD Y NIVEL DE SERVICIO DE LA INTERSECCIÓN					
ANÁLIS	IS DE LA CAPAC	IDAD			
Numero de fase	1	2	3		
Grupo de carril	→ →	**	→		
Volumen vehicular (veh/h)	758	792	84		
Flujo de saturación, S (veh/h)	3141	3107	1713		
Tiempo perdido I (s)	3	3	3		
Tiempo de verde efectivo G, (s)	16,00	18,00	5,00		
Tasa de verde G/Co	0,333	0,375	0,104		
Capacidad del grupo de carril , C (veh/h)	1047	1165	178		
Relación volumen-capacidad X	0,724	0,680	0,471		
Razón de flujo Yi , (veh/h)	0,241	0,255	0,049		
Flujo crítico intersección YC		0,545			
Tiempo perdido por ciclo L		9			
Volumen relacionado con la capacidad XC		0,671			
DETERMINACIÓN DE CAPACIDAD DEL GRUPO DE CARRIL, CONTROL DE RETRASO, NIVEL DE SERVICIO					
	Norte	Sur	Este		
Grupo de carril	→	→			
Volumen vehicular (veh/h)	758	792	84		
Capacidad del grupo de carril ,C (veh/h)	1047	1165	178		
Relación Volumen-Capacidad X	0,724	0,680	0,471		
Tasa de verde total g/Co	0,333	0,375	0,104		
Retraso uniforme,d1, (s/veh)	14,059	12,582	20,254		
Calibración del incremento de retraso k	0,500	0,500	0,500		
Incremento de retraso, d2 (s/veh)	4,355	3,207	8,657		
Retraso inicial de la cola vehicular d3, (s/veh)	0	0	0		
Factor de progresión PF	1	1	1		
Retraso, d (s/veh)	18,4	15,8	28,9		
Nivel de servicio de grupo de carril	В	В	С		
Retraso por aproximación dA (s/veh)	18,4	15,8	28,9		
Nivel de servicio de aproximación	В	В	С		
Tasa de flujo de la aproximación VA, (veh/h)	758	792	84		
Retraso de la intersección d I, (s/veh)		17,7			
NIVEL DE SERVICIO DE LA INTERSECCIÓN		В			

4.2.21. Intersección 21: Av. La Prensa y Calle Gonzalo Dávalos.



Ilustración 96: Intersección con redondel 21: Av. La Prensa y Calle Gonzalo Dávalos.

Fuente: Google Maps-2016.

UBICACIÓN				
Norte= 9816770	Este= 760661			
Altitud	2798 msnm			

Esta intersección consta de 3 accesos brazo I, brazo II y brazo III. Los movimientos que se pueden realizar son 9 ya que cada aproximación está habilitada para realizar giros izquierdos, giros derechos, rectos y en U como indica la ilustración 97.

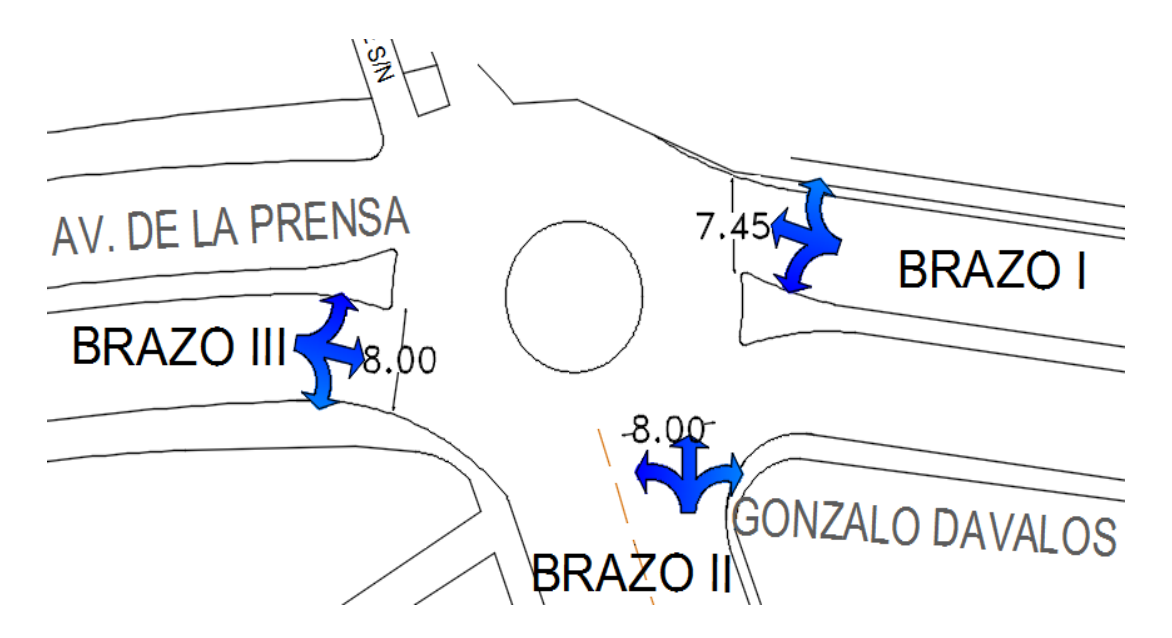


Ilustración 97: Intersección 21. Geometría y tipos de movimiento.

En esta intersección se crea congestión vehicular ya que es usada como ruta de buses urbanos, también por los vehículos que se dirigen al terminal terrestre de la ciudad; además este sector es de tipo comercial, estudio por el Colegio Salesianos y vivienda.

Tabla 212: Intersección 21. Características geométricas.

CARACTERÍSTICAS DE LA INTERSECCIÓN 21: Av. La Prensa y Calle Gonzalo Davalos							
Datos generales	Brazo I	Brazo II	Brazo III	Brazo IV			
N° de carriles	1	1	1	1			
Carriles exclusivos de giro	NO	NO	NO	NO			
Parqueo permitido	NO	NO	NO	NO			
Parada de bus	NO	NO	NO	NO			
N° de peatones y maniobras de estacionamiento por aproximación							
Hora Pico	Norte	Sur	Este	Oeste			
N° de peatones hora pico	83	55	12	15			
N° de maniobras de estacionamiento	0	0	0	0			

Fuente: Elaborado por los tesistas, es una observación de campo, 5 de Septiembre del 2016.

A través de esta intersección circulan 16934 vehículos al día, en un promedio de 1411 vehículos por hora. La hora pico de esta intersección es de las 09:45 a 10:45 donde transitan 1647 autos. En la ilustración se presentan los volúmenes vehiculares por cada 15 minutos de esta intersección.

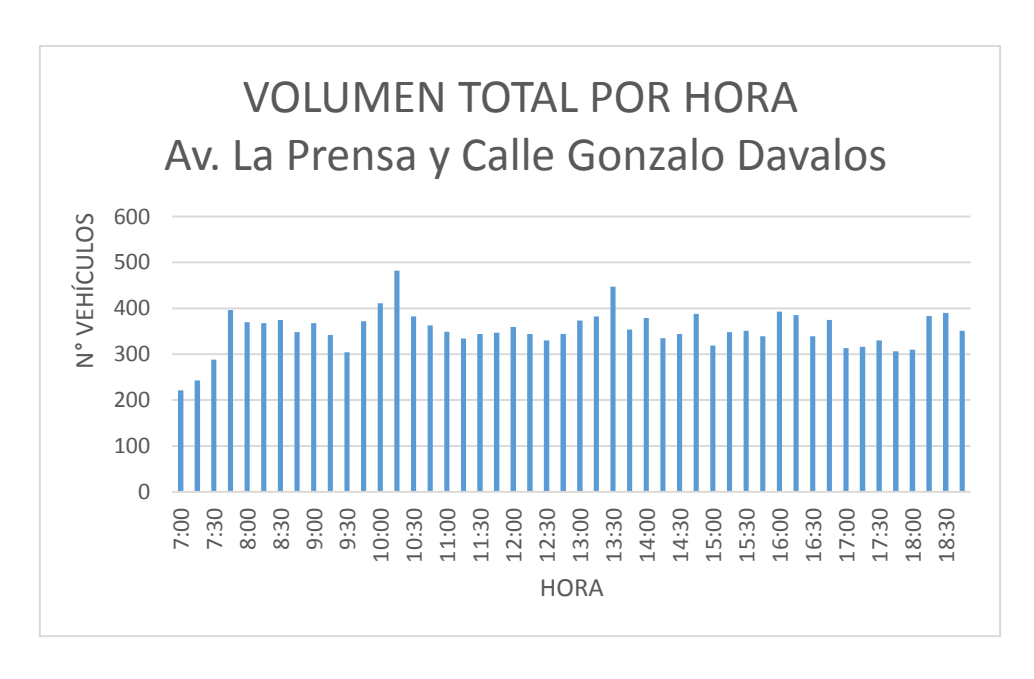


Ilustración 98: Intersección 21. Volúmenes por hora.

Tabla 213: Intersección 21. Conteo volumétrico de tránsito de la hora pico.

	CONTEO DE TRÁFICO									,							
DEDONDEI CENTIDO E	REDONDEL SENTIDO DE CIRCULACIÓN						HORARIO DE CONTEO										
KEDONDEL SENTIDO E	JE CIKCULACION			9:45			10:00			10:15			10:30			SUBTOTAL	
REDONDEL	BRAZO	GIRO	A	В	С	A	В	С	А	В	С	А	В	C	A	В	C
		RECTO	160	2	4	152	1	4	174	3	5	125	1	4	611	7	17
	1	IZQ	6	0	0	5	0	1	3	0	0	3	0	1	17	0	2
	1	DER	0	0	0	0	0	0	0	0	0	0	0	0	0	0	0
		En U	1	0	0	2	0	0	4	0	0	1	0	0	8	0	0
		RECTO	0	0	0	0	0	0	0	0	0	0	0	0	0	0	0
AEROPUERTO	2	IZQ	11	0	0	20	0	0	25	1	0	23	1	0	79	2	0
AENOPUENTO		DER	3	0	0	2	0	2	1	0	0	6	0	0	12	0	2
		En U	0	0	0		0	0	0	0	0	0	0	0	0	0	0
		RECTO	129	4	9	168	3	10	195	2	9	171	1	8	663	10	36
	IZQ	0	0	0	0	0	0	0	0	0	0	0	0	0	0	0	
	3	DER	33	1	3	36	1	2	47	0	6	27	0	7	143	2	18
		En U	6	0	0	2	0	0	7	0	0	3	0	0	18	0	0

Análisis del redondel.

Tabla 214: Intersección 21. Volumen.

VOLUMEN	BRAZO 1	BRAZO 2	BRAZO 3
VOLUMEN ENTRANTE	662	95	890
VOLUMEN SALIENTE	731	182	734
VOLUMEN CIRCULANTE	99	735	27

Fuente: Realizada por los tesistas.

Tabla 215: Intersección 21. Datos de la geometría.

DATOS	BRAZO 1	BRAZO 2	BRAZO 3
ANCHO DE ENTRADA (e) (m)	8,45	8,5	8,5
ANCHO MEDIO EN APROX			
(v) (m)	8,45	8,5	8,5
LONG. EFEC. ENSANCH. (1)			
(m)	1	1	1
DIÁMETRO CIRC. INSCRITA			
(D) (m)	30,7	30,7	30,7
ÁNGULO DE ESTRADA (φ)			
(grados)	39	41	44
RADIO DE ENTRADA (r)	10	13	12

Fuente: Realizada por los tesistas.

Tabla 216: Intersección 21. Capacidad del redondel.

PARÁMETRO	DESCRIPCIÓN	BRAZO 1	BRAZO 2	BRAZO 3	
K	Constante	0,91987	0,93549923	0,91882	
S	Medida de agudeza del ensanchamiento	0	0	0	
X2	Constante	8,45	8,5	8,5	
М	Constante	0,05339704	0,05339704	0,05339704	
Td	Constante	1,47465484	1,47465484	1,47465484	
Fc	Constante	0,83303252	0,83612929	0,83612929	
F	Constante	2560,35	2575,5	2575,5	
Qc	Qc Flujo circulante conflictivo		735	27	
Qe	Capacidad de entrada	2279	1834	2346	
Ve	Volumen de entrada	662	95	890	
V/C	Grado de saturació (V/C)	29,05%	5%	38%	
	Verificación	OK	OK	OK	

Tabla 217: Intersección 21. Volumen.

Intersección 21	BRAZO 1	BRAZO 2	BRAZO 3			
Demora (seg/veh)	2,22504048	2,07012833	2,4693981			
Nivel de servicio de aproximación	A	A	A			
Volumen entrante	662	95	890			
Demora del redondel	2,348150147					
Nivel de servicio del redondel	A					

Fuente: Realizada por los tesistas.

Esta intersección presenta un nivel de servicio A por lo que la mayoría de sus aproximaciones esta con la capacidad adecuada de circulación y nos indica que los retrasos de los vehículos es de 2.34 segundos.

4.2.22. Intersección 22: Av. La Prensa y Av. Lizarzaburu.



Ilustración 99: Intersección semaforizada 22: Av. La Prensa y Av. Lizarzaburu.

Fuente: Google Maps-2016.

UBICACIÓN				
Norte= 9814502	Este= 760133			
Altitud	2790 msnm			

Esta intersección consta de 4 accesos norte, sur, este y oeste, cada uno de ellos con control semafórico, con 2 carriles por cada aproximación de sentido norte-sur, sur-norte, oeste-este y este-oeste. No posee un carril exclusivo para giros izquierdos en todas las aproximaciones pero tiene un paso a desnivel, los movimientos que se pueden realizar son 12 ya que cada aproximación está habilitada para realizar giros izquierdos, giros derechos y rectos como indica la ilustración 100.

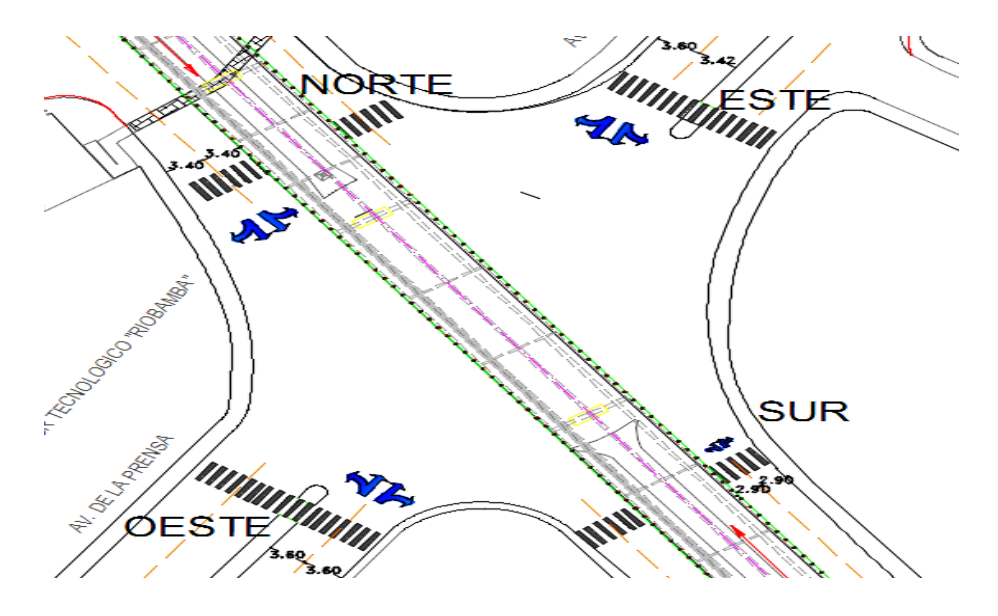


Ilustración 100: Intersección 22. Geometría y tipos de movimientos.

En esta intersección se crea congestión vehicular ya que es usada como ruta de buses urbanos, también por los vehículos que se dirigen al terminal terrestre de la ciudad; además este sector es de tipo comercial, vivienda, estudio por la unidad Riobamba; la misma que está controlada por un semáforo establecido.

Esta intersección es simétrica en todos los sentidos de circulación.

Tabla 218: Intersección 22. Características geométricas y condiciones semafóricas

	CARAC	TERÍSTICAS DE L	A INTERSECCIÓ	N 22: Av. La P	Prensa y Av. Liza	rzaburu						
es		Norte		Sur	E	ste	Oes	te				
		2		2		2	2					
sivos de giro		NO		NO		NO	NC)				
itido		NO		NO		NO	NO					
		NO		NO		NO	NC)				
	N°	de peatones y m	aniobras de es	stacionamient	to por aproxima	ción	•					
		Norte		Sur	E	ste	Oes	te				
s hora pico		24		8		6	9					
e maniobras de estacionamiento 0			0		0	0						
		C	ONDICIONES	SEMAFORICA	AS							
	1											
DIAGRAMA	K					\}		→				
TIEMPO	A:							3				
(seg)		-			 			94				
					1	35		35				
			132	Орсі	Aproximacion Sur							
Semáfo		•	clusivos,	Semáforos vehículares sin giros exclusivos, semáforos								
		•		'								
Semáfo	ros vehícula	res sin giros exc	clusivos,	Semáforos vehículares sin giros exclusivos, semáforos								
	sivos de giro itido es hora pico es hora pico es de estacio TIEMPO (seg) D Semáfo	rivos de giro itido N° es hora pico ras de estacionamiento TIEMPO (seg) Aproxim Semáforos vehícula semáforo Semáforos vehícula	es Norte 2 ivos de giro NO itido NO N° de peatones y m Norte es hora pico 24 ras de estacionamiento 0 TIEMPO (seg) A: 3 R: 104 V: 25 Duración del ciclo Aproximación Norte Semáforos vehículares sin giros exisemáforos peatonales Aproximación Este	Norte 2 divos de giro NO No No No No Norte Se hora pico Se shora pico Se se estacionamiento Se se estacionamiento Se se estacionamiento O SE S	Norte 2 2 2 2 2 2 2 2 2 2 2 2 2 2 2 2 2 2	Pes Norte Sur Electric Sur	ivos de giro NO	es Norte Sur Este Oesi 2 2 2 2 2 2 2 2 2 2 2 2 2 2 2 2 2 2 2				

Tabla 219: Intersección 22: Conteo volumétrico de tránsito de la hora pico.

				С	ONTE	O DE	TRÁF	ICO												
REDONDEL E IN	TERSECCIÓN			11	NTERS	ECCI	ÓN 22	2: AV	. LIZA	ARZAE	BURU	Y AV.	LA P	RENS	A.					
	04115 CENTID	2 V 64 P P U F 6								ноі	RA PI	СО							VOLUMEN	
CALLE, SENTIDO Y CARRILES			7:45			3:00			8:15			8:30		SUBTO		ΓAL	POR CARRIL-			
NOMBRE CALLE	SENTIDO	CARRIL	SENTIDO DE CIRCULACIÓN	Α	В	С	Α	В	С	Α	В	С	Α	В	С	Α	В	С	SENTIDO	
	IZQ	GIRO IZQ	69	0	1	80	0	5	88	0	1	82	0	2	319	0	9	328		
	NORTE-SUR	120	RECTO	6	0	0	6	0	1	6	0	0	4	0	1	22	0	2	24	
	NONTE-SON	DER	RECTO	5	0	0	14	0	0	8	0	2	7	0	0	34	0	2	36	
Av. Lizarzaburu		DLIN	GIRO DER	32	0	0	36	0	2	36	0	1	30	0	0	134	0	3	137	
Av. Lizarzaburu		IZQ	GIRO IZQ	31	0	0	42	2	0	27	6	0	24	4	0	124	12	0	136	
	SUR-NORTE	120	RECTO	16	2	1	11	1	1	2	3	1	7	0	1	36	6	4	46	
	JON NOME	DER	RECTO	9	0	0	7	0	0	10	2	0	3	0	0	29	2	0	31	
		JEN .	GIRO DER	4	0	0	5	0	0	14	0	0	4	0	0	27	0	0	27	
			,															•		
		IZQ	GIRO IZQ	18	0	0	11	0	0	14	0	0	6	0	0	49	0	0	49	
	ESTE-OESTE	1200	RECTO	96	1	6	61	0	0	52	2	4	66	0	2	275	3	12	290	
	2012 02312	DER	RECTO	60	0	3	54	0	2	51	0	2	56	0	0	221	0	7	228	
Av. La Prensa		DEN	GIRO DER	66	0	11	66	0	2	48	0	1	66	0	3	246	0	17	263	
7.0. Eu 1101130		IZQ -	GIRO IZQ	35	0	0	28	0	0	17	2	0	22	1	0	102	3	0	105	
	OESTE-ESTE		RECTO	60	4	1	66	12	0	71	4	0	55	7	0	252	27	1	280	
		DER	RECTO	43	7	1	30	8	0	49	0	0	58	0	0	180	15	1	196	
		DLIN	GIRO DER	11	0	0	17	0	1	16	7	0	17	3	0	61	10	1	72	

A través de esta intersección circulan 20651 vehículos al día, en un promedio de 1720 vehículos por hora. La hora pico de esta intersección es de las 07:45 a 08:45 donde transitan 2248 autos. En la ilustración se presentan los volúmenes vehiculares por cada 15 minutos de esta intersección.

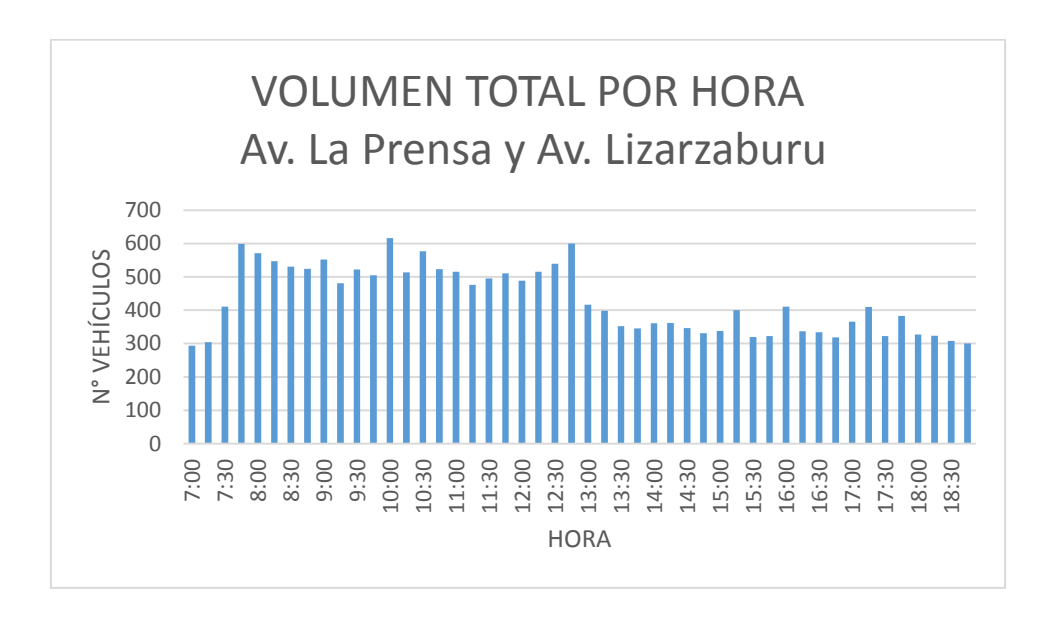


Ilustración 101: Intersección 22. Volúmenes por hora.

Fuente: Elaborado por los tesistas, es una observación de campo, 5 de Septiembre del 2016.

Análisis del plan de fases actuales.

Tabla 220: Intersección 22. Sincronización semafórica actual.

SINCRONIZACIÓN SEMAFÓRICA										
To	tal Ciclo	Fases (G) seg.								
L=	12,00	1	G1	25						
tL=	3	2	G2	25						
Co=	132,00	3	G3	35						
		4	G4	35						

Tabla 221: Intersección 22. Capacidad y nivel de servicio actual.

CAPACIDAD Y NIVE	DE SERVICIO	DE LA INTERS	SECCIÓN						
,	ISIS DE LA CAP		BECCION						
			_	_					
Numero de fase Grupo de carril	1	2	3	4					
Volumen vehicular (veh/h)	525	240	830	653					
Flujo de saturación, S (veh/h)	3156	3031	2991	2937					
Tiempo perdido I (s)	3	3							
Tiempo de verde efectivo G, (s)	25,00	25,00	35,00	35,00					
Tasa de verde G/Co	0,189	0,189	0,265	0,265					
Capacidad del grupo de carril ,C (veh/h)	598	574	793	779					
Relación volumen-capacidad X	0,878	0,418	1,046	0,839					
Razón de flujo Yi, (veh/h)	0,166	0,079	0,277	0,222					
Flujo crítico intersección Y C		0,745	5						
Tiempo perdido por ciclo L		12							
Volumen relacionado con la		0,820)						
capacidad XC									
DETERMINACIÓN DE CAPACIDAD N	DEL GRUPO DI		NTROL DE	RETRASO,					
	Norte	Sur	Oeste	Este					
Grupo de carril			1	*					
	4 * * *		•	<u> </u>					
Volumen vehicular (veh/h)	525	240	830	653					
Capacidad del grupo de carril ,C (veh/h)	598	574	793	779					
Relación Volumen-Capacidad X	0,878	0,418	1,046	0,839					
Tasa de verde total g/Co	0,189	0,189	0,265	0,265					
Retraso uniforme,d1, (s/veh)	52,022	47,097	48,500	45,830					
Calibración del incremento de retraso k	0,500	0,500	0,500	0,500					
Incremento de retraso, d2 (s/veh)	16,672	2,234	44,769	10,491					
Retraso inicial de la cola vehicular d3, (s/veh)	0	0	0	0					
Factor de progresión PF	1	1	1	1					
Retraso, d (s/veh)	68,7	49,3	93,3	56,3					
Nivel de servicio de grupo de carril	E	D	F	E					
Retraso por aproximación dA (s/veh)	68,7	49,3	93,3	56,3					
Nivel de servicio de aproximación	E	D	F	E					
Tasa de flujo de la aproximación VA, (veh/h)	525	240	830	653					
Retraso de la intersección d l, (s/veh)	72,1								
NIVEL DE SERVICIO DE LA INTERSECCIÓN		E							

Análisis de plan de fases propuestas.

Tabla 222: Intersección 22. Razón de flujo crítico Ycr.

Fase	Movimientos	Ycr
1	Norte-Sur	0,1890
2	Sur-Norte	0,1004
3	Este-Oeste	0,2909
4	Oeste -Este	0,2205

Fuente: Realizada por los tesistas.

Tabla 223: Intersección 22. Cálculo del ciclo óptimo.

CICLO	ÓPTI	MO
Tiempo entre		
verde	l(s)	3
Tiempo perdido	L(s)	12
Ciclo Óptimo	Co (s)	115,429143
Ciclo Óptimo (redondeado)	Co (s)	115

Fuente: Realizada por los tesistas.

Tabla 224: Intersección 22. Calculo del verde efectivo.

Fase	Sentido circulación	Verde efectivo	Verde adoptado				
1	Norte-Sur	24,31	24				
2	Sur-Norte	12,91	13				
3	Este-Oeste	37,42	38				
4	Oeste -Este	28,36	28				
		Co	115				

Fuente: Realizada por los tesistas.

Tabla 225: Intersección 22. Nueva sincronización semafórica.

SINC	SINCRONIZACIÓN SEMAFÓRICA											
Total	l Ciclo	Fases (G) seg.										
L=	12,00	1	G1	24								
tL=	3	2	G2	13								
Co=	115,00	3	G3	38								
		4	G4	28								

Diagrama semafórica.



Ilustración 102: Intersección 22. Diagrama semafórica

Fuente: Realizado por los tesistas.

Al realizar la comparación del nivel de servicio actual con el propuesto podemos deducir que el nivel de servicio de la intersección en general ha pasado de nivel E a nivel D, lo que nos indica que los retrasos de los vehículos de ha reducido de 72.1 segundos a 52.7 segundos. Y el análisis de la capacidad de la intersección en general es de 0.832 este se encuentra bajo la capacidad de la intersección lo que quiere decir que la demanda no sobrepasa la capacidad de la intersección con esta propuesta.

Tabla 226: Intersección 22. Capacidad y nivel de servicio de la propuesta.

CAPACIDAD Y NIVEL DE SERVICIO DE LA INTERSECCIÓN												
CAPACIDAD			RSECCION									
	ANÁLISIS DE LA	I		_								
Numero de fase	1	2	3	4								
Grupo de carril		1		$\stackrel{\longrightarrow}{\Rightarrow}$								
Volumen vehicular (veh/h)	525	240	830	653								
Flujo de saturación, S (veh/h)	3156	3031	2991	2937								
Tiempo perdido I (s)	3	3	3	3								
Tiempo de verde efectivo G, (s)	24,00	13,00	38,00	28,00								
Tasa de verde G/Co	0,209	0,113	0,330	0,243								
Capacidad del grupo de carril ,C (veh/h)	659	343	988	715								
Relación volumen-capacidad X	0,797	0,701		0,913								
Razón de flujo Yi , (veh/h)	0,166	0,079	0,277	0,222								
Flujo crítico intersección YC		0,74	15									
Tiempo perdido por ciclo L		12										
Volumen relacionado con la		0,83	32									
capacidad XC		•										
DETERMINACIÓN DE CAPACIDAD DEL GRUPO DE CARRIL, CONTROL DE RETRASO, NIVEL DE SERVICIO												
	Norte	Sur	Oeste	Este								
Grupo de carril		*										
	△ ♦ ♦ ♦		√	7								
Volumen vehicular (veh/h)	525	240	830	653								
Capacidad del grupo de carril ,C (veh/h)	659	343	988	715								
Relación Volumen-Capacidad X	0,797	0,701	0,840	0,913								
Tasa de verde total g/Co	0,209	0,113	0,330	0,243								
Retraso uniforme,d1, (s/veh)	43,189	49,125	35,678	42,318								
Calibración del incremento de retraso k	0,500	0,500	0,500	0,500								
ncremento de retraso, d2 (s/veh	9,708	11,336	8,530	18,099								
Retraso inicial de la cola vehicular d3, (s/veh)	0	0	0	0								
Factor de progresión PF	1	1	1	1								
Retraso, d (s/veh)	52,9	60,5	44,2	60,4								
Nivel de servicio de grupo de carril	D	E	D	E								
Retraso por aproximación dA (s/veh)	52,9	60,5	44,2	60,4								
livel de servicio de aproximació	D	E	D	E								
Tasa de flujo de la aproximación VA, (veh/h)	525	240	830	653								
Retraso de la intersección dI, (s/veh)												
NIVEL DE SERVICIO DE LA INTERSECCIÓN		D										

4.2.23. Intersección 23: Av. Lizarzaburu y Calle Agustín Torres.



Ilustración 103: Intersección semaforizada 23: Av. Lizarzaburu y Calle Agustín Torres.

Fuente: Google Maps-2016.

UBICACIÓN								
Norte= 9816686	Este= 759900							
Altitud	2806 msnm							

Esta intersección consta de 4 accesos norte, sur, este y oeste, cada uno de ellos con control semafórico, con 2 carriles por cada aproximación de sentido norte-sur, sur-norte, mientras que en los sentidos oeste-este y este-oeste poseen un carril de circulación. No posee un carril exclusivo para giros izquierdos en todas las aproximaciones pero tiene un paso a desnivel, los movimientos que se pueden realizar son 12 ya que cada aproximación está habilitada para realizar giros izquierdos, giros derechos y rectos como indica la ilustración 104.

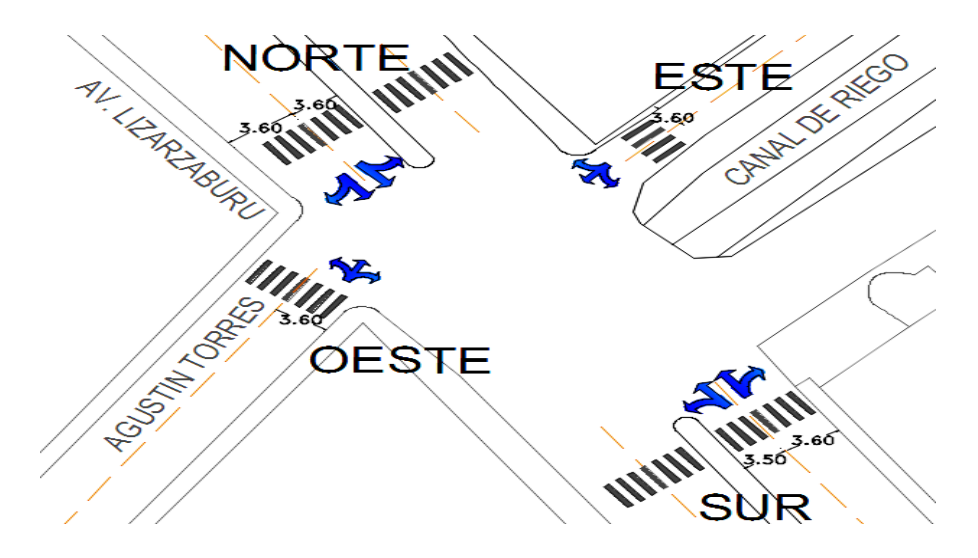


Ilustración 104: Intersección 23. Geometría y tipos de movimientos.

En esta intersección se crea congestión vehicular ya que es usada por los vehículos que se dirigen fuera de la ciudad; además este sector es de tipo comercial, vivienda, estudio por la unidad Riobamba; la misma que está controlada por un semáforo establecido.

Esta intersección es simétrica en el sentido norte-sur, sur-norte y en el sentido esteoeste, oeste-este es asimétrica porque la calle Agustín Torres tiene un solo carril tiene un solo sentido de circulación.

Tabla 227: Intersección 205. Características geométricas y condiciones semafóricas

		CARACTE	RÍSTICAS DE LA II	NTERSECCIÓN 2	23: Av. Lizarzal	buru y Calle Ag	gustín Torres						
Datos general	es		Norte		Sur		Este	Oeste					
N° de carriles			2		2		1	1					
Carriles exclu	sivos de giro		NO		NO		NO	NO					
Parqueo perm	nitido		NO		NO		NO	NO					
Parada de bus	<u>;</u>		NO		NO		NO	NO					
		N'	de peatones y m	aniobras de e	stacionamient	o por aproxim	ación	•					
Hora Pico			Norte		Sur		Este	Oeste					
N° de peatone	es hora pico		19		13		11	15					
N° de maniob	naniobras de estacionamiento 0			0		0	0						
			С	ONDICIONES	SEMAFORICA	AS .	-	•					
		_		PLAN I	DE FASES EXIS	TENTE							
			ф1	ф	2	4	3	ф4					
V: Verde A: Amarillo R: Rojo	DIAGRAMA				→		$\stackrel{\bullet}{\rightarrow}$		▼				
	TIEMPO	A:		A:		A:	3		3				
	(seg)	R:	54			R:	89	+	89				
		V: uración del	50			V:	15	V: Establecida	15				
	ע		nación Norte	107	Oper	ración Aj	l proximacion S						
	Semáfo		ares sin giros ex	clusivos,	Semáforos vehículares sin giros exclusivos, semáforos								
Semáforos			os peatonales		peatonales								
Semaioros			mación Este		Aproximación Oeste								
	Semáfo		ares sin giros ex	clusivos,									
		semátor	os peatonales										

Tabla 228: Intersección 23: Conteo volumétrico de tránsito de la hora pico.

					CONT	EO D	E TRÁ	FICO											
REDONDEL E IN	ITERSECCIÓN			INT	ERSEC	CIÓN	23: A	V. LIZ	ARZA	BURL	J Y CA	ALLE A	GUSTI	N TO	RRES				
	CALLE SENTING	V 04551150		HORA PICO													VOLUMEN		
	CALLE, SENTIDO Y CARRILES			12:00			1	l2:15		1	12:30)	1	2:45	SUBTOT			AL	POR CARRIL-
NOMBRE CALLE	SENTIDO	CARRIL	SENTIDO DE CIRCULACIÓN	Α	В	С	Α	В	С	Α	В	С	Α	В	С	А	В	С	SENTIDO
		IZQ	GIRO IZQ	3	0	0	8	0	0	9	0	1	10	1	2	30	1	3	34
	NORTE-SUR	120	RECTO	80	0	1	108	0	2	111	0	1	104	1	2	403	1	6	410
	NONIL JON	DER	RECTO	64	0	2	96	0	1	76	0	2	100	0	0	336	0	5	341
Av. Lizarzaburu		DEN	GIRO DER	1	0	0	0	0	0	1	0	0	0	0	0	2	0	0	2
Av. Lizarzaburu	۵	IZQ	GIRO IZQ	19	0	4	15	0	1	20	0	3	25	0	2	79	0	10	89
	SUR-NORTE	120	RECTO	102	4	7	85	0	3	120	0	5	100	2	5	407	6	20	433
	JON NONTE	DER	RECTO	90	1	0	107	0	4	90	0	1	105	0	5	392	1	10	403
		DEN	GIRO DER	25	0	3	9	0	0	14	0	0	9	0	2	57	0	5	62
			GIRO IZQ	17	0	0	19	0	0	22	0	0	25	0	1	83	0	1	84
	ESTE-OESTE	UNICO	RECTO	0	0	0	1	0	0	2	0	0	0	0	0	3	0	0	3
Calle Agustín			GIRO DER	3	0	0	7	0	1	14	0	2	15	0	1	39	0	4	43
Torres	OESTE-ESTE UNICO	GIRO IZQ	0	0	0	6	0	0	2	0	0	1	0	0	9	0	0	9	
		RECTO	2	0	0	0	0	0	0	0	0	1	0	0	3	0	0	3	
			GIRO DER	19	0	0	24	0	0	22	0	0	21	0	0	86	0	0	86

A través de esta intersección circulan 20545 vehículos al día, en un promedio de 1712 vehículos por hora. La hora pico de esta intersección es de las 12:00 a 13:00 donde transitan 2002 autos. En la ilustración se presentan los volúmenes vehiculares por cada 15 minutos de esta intersección.

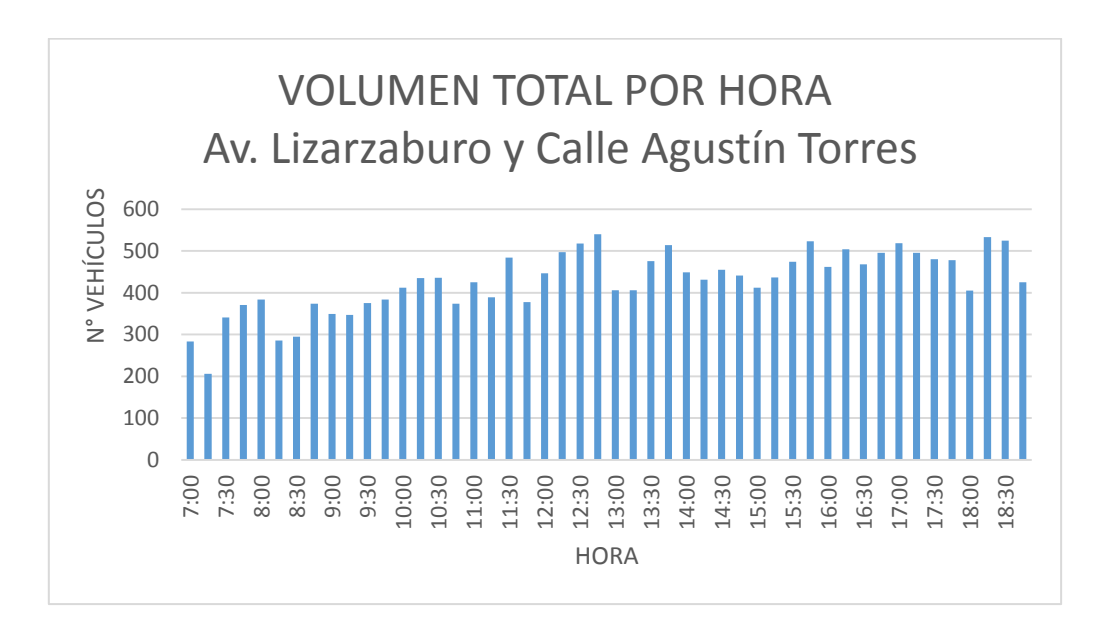


Ilustración 105: Intersección 23. Volúmenes por hora.

Fuente: Elaborado por los tesistas, es una observación de campo, 5 de Septiembre del 2016.

Análisis del plan de fases actuales.

Tabla 229: Intersección 23. Sincronización semafórica actual.

SINCRONIZACIÓN SEMAFÓRICA					
Total Ciclo Fases (G) seg.					
L=	12,00	1 G1 50			
tL=	3	2	G2	15	
Co=	107,00		G3	15	
		4	G4	15	

Tabla 230: Intersección 23. Capacidad y nivel de servicio actual.

CAPACIDAD Y NIVEL DE SERVICIO DE LA INTERSECCIÓN							
ANÁLISIS DE LA CAPACIDAD							
Numero de fase 1 2 3 4							
Grupo de carril		20	→	<u>.</u>			
Volumen vehicular (veh/h)	1651	123	130	98			
Flujo de saturación, S (veh/h)	6201	1893	1668	1701			
Tiempo perdido I (s)	3	3	3	3			
Tiempo de verde efectivo G, (s)	50.00	15.00	15.00	15.00			
Tasa de verde G/Co	0.467	0.140	0.140	0.140			
Capacidad del grupo de carril ,C (veh/h)	2897	265	234	238			
Relación volumen-capacidad X	0.570	0.463	0.556	0.411			
Razón de flujo Yi , (veh/h)	0.266	0.065	0.078	0.058			
Flujo crítico intersección YC		0.467					
Tiempo perdido por ciclo L		12					
Volumen relacionado con la		0.526	;				
capacidad XC							
DETERMINACIÓN DE CAPACIDAD NI	VEL DE SERVIC		ITROL DE R	RETRASO,			
	Norte, Sur	Izq Norte, Sur	Oeste	Este			
Grupo de carril		20	\rightarrow				
Volumen vehicular (veh/h)	1651	123	130	98			
Capacidad del grupo de carril ,C (veh/h)	2897	265	234	238			
Relación Volumen-Capacidad X	0.570	0.463	0.556	0.411			
Tasa de verde total g/Co	0.467	0.140	0.140	0.140			
Retraso uniforme, d1, (s/veh)	20.692	42.299	42.895	41.969			
Calibración del incremento de retraso k	0.500	0.500	0.500	0.500			
Incremento de retraso, d2 (s/veh)	0.819	5.721	9.219	5.164			
Retraso inicial de la cola vehicular d3, (s/veh)	0	0	0	0			
Factor de progresión PF	1	1	1	1			
Retraso, d (s/veh)	21.5	48.0	52.1	47.1			
Nivel de servicio de grupo de carril	С	D	D	D			
Retraso por aproximación dA (s/veh)	21.5	48.0	52.1	47.1			
Nivel de servicio de aproximación	С	D	D	D			
Tasa de flujo de la aproximación VA, (veh/h)	1651	123	130	98			
Retraso de la intersección d I, (s/veh)	1, 26.4						
NIVEL DE SERVÍCIO DE LA INTERSECCIÓN	С						

Análisis de plan de fases propuestas.

Tabla 231: Intersección 23. Razón de flujo crítico Ycr.

Fase	Movimientos	Ycr
	Norte-Sur	
1	Sur-Norte	0,4933
	Norte-Sur i	
2	Sur-Norte i	0,0470
3	Este-Oeste	0,0730
4	Oeste -Este	0,0576

Fuente: Realizada por los tesistas.

Tabla 232: Intersección 23. Cálculo del ciclo óptimo.

CICLO ÓPTIMO					
Tiempo entre verde	l(s)	3			
Tiempo perdido	L(s)	12			
Ciclo Óptimo	Co (s)	69,8955712			
Ciclo Óptimo	Co				
(redondeado)	(s)	70			

Fuente: Realizada por los tesistas.

Tabla 233: Intersección 23. Calculo del verde efectivo.

Fase	Sentido circulación	Verde efectivo	Verde adoptado	
1	Norte-Sur	42,65	42	
2	Sur-Norte	4,06	5	
3	Este-Oeste	6,31	7	
4	Oeste -Este	4,98	5	
		Co	71	

Fuente: Realizada por los tesistas.

Tabla 234: Intersección 23. Nueva sincronización semafórica.

SINCRONIZACIÓN SEMAFÓRICA					
Total Ciclo Fases (G) seg.					
L=	12,00	1 G1 42			
tL=	3	2	G2	5	
Co=	71,00	3	G3	7	
		4	G4	5	

Diagrama semafórica.

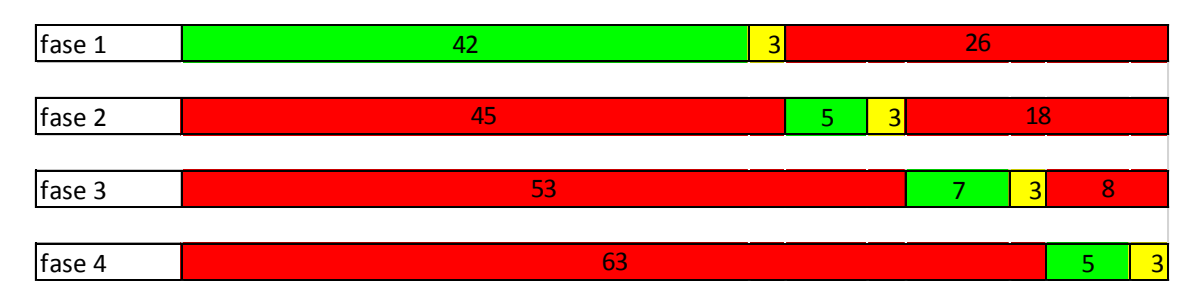


Ilustración 106: Intersección 23. Diagrama semafórica

Fuente: Realizado por los tesistas.

Al realizar la comparación del nivel de servicio actual con el propuesto podemos deducir que el nivel de servicio de la intersección en general ha pasado de nivel F a nivel C, lo que nos indica que los retrasos de los vehículos de ha reducido de 84.5 segundos a 29.1 segundos. Y el análisis de la capacidad de la intersección en general es de 0.871 este se encuentra bajo la capacidad de la intersección lo que quiere decir que la demanda no sobrepasa la capacidad de la intersección con esta propuesta.

Tabla 235: Intersección 23. Capacidad y nivel de servicio de la propuesta.

CAPACIDAD Y NIVEL DE SERVICIO DE LA INTERSECCIÓN								
ANÁLISIS DE LA CAPACIDAD								
Numero de fase 1 2 3 4								
Grupo de carril		20	→	•				
Volumen vehicular (veh/h)	1651	123	130	98				
Flujo de saturación, S (veh/h)	6201	1893	1668	1701				
Tiempo perdido I (s)	3	3	3	3				
Tiempo de verde efectivo G, (s)	42.00	5.00	7.00	5.00				
Tasa de verde G/Co	0.592	0.070	0.099	0.070				
Capacidad del grupo de carril ,C (veh/h)	3668	133	164	120				
Relación volumen-capacidad X	0.450	0.922	0.791	0.818				
Razón de flujo Yi , (veh/h)	0.266	0.065	0.078	0.058				
Flujo crítico intersección YC		0.46	7					
Tiempo perdido por ciclo L		12						
Volumen relacionado con la capacidad XC		0.56	2					
DETERMINACIÓN DE CAPACIDAD	DEL GRUPO DE CA SERVICIO	•	DL DE RETRAS	O, NIVEL DE				
	Norte, Sur	Izq Norte, Sur	Oeste	Este				
Grupo de carril		20	\rightarrow					
Volumen vehicular (veh/h)	1651	123	130	98				
Capacidad del grupo de carril ,C (veh/h)	3668	133	164	120				
Relación Volumen-Capacidad X	0.450	0.922	0.791	0.818				
Tasa de verde total g/Co	0.592	0.070	0.099	0.070				
Retraso uniforme,d1, (s/veh)	8.072	32.807	31.284	32.551				
Calibración del incremento de retraso k	0.500	0.500	0.500	0.500				
Incremento de retraso, d2 (s/veh)	0.401	59.425	31.090	43.944				
Retraso inicial de la cola vehicular d3, (s/veh)	0	0	0	0				
Factor de progresión PF	1	1	1	1				
Retraso, d (s/veh)	8.5	92.2	62.4	76.5				
Nivel de servicio de grupo de carril	Α	F	E	E				
Retraso por aproximación dA (s/veh)	8.5	92.2	62.4	76.5				
Nivel de servicio de aproximación	Α	F	E	E				
Tasa de flujo de la aproximación VA, (veh/h)	1651	123	130	98				
Retraso de la intersección d I, (s/veh)	, 20.4							
NIVEL DE SERVICIO DE LA INTERSECCIÓN	С							

4.2.24. Intersección 24: Av. Lizarzaburu y Av. Saint Amont Montread.



Ilustración 107: Intersección semaforizada 24: Av. Lizarzabura y Av. Saint Amont Montread.

Fuente: Google Maps-2016.

UBICACIÓN			
Norte= 9816835			
Altitud	2813 msnm		

Esta intersección consta de 4 accesos norte, sur, este y oeste, cada uno de ellos con control semafórico, con 2 carriles por cada aproximación de sentido norte-sur, sur-norte y oeste-este, mientras que en el sentido este-oeste poseen un carril de circulación. No posee un carril exclusivo para giros izquierdos en todas las aproximaciones pero tiene un paso a desnivel, los movimientos que se pueden realizar son 12 ya que cada aproximación está habilitada para realizar giros izquierdos, giros derechos y rectos como indica la ilustración 108.

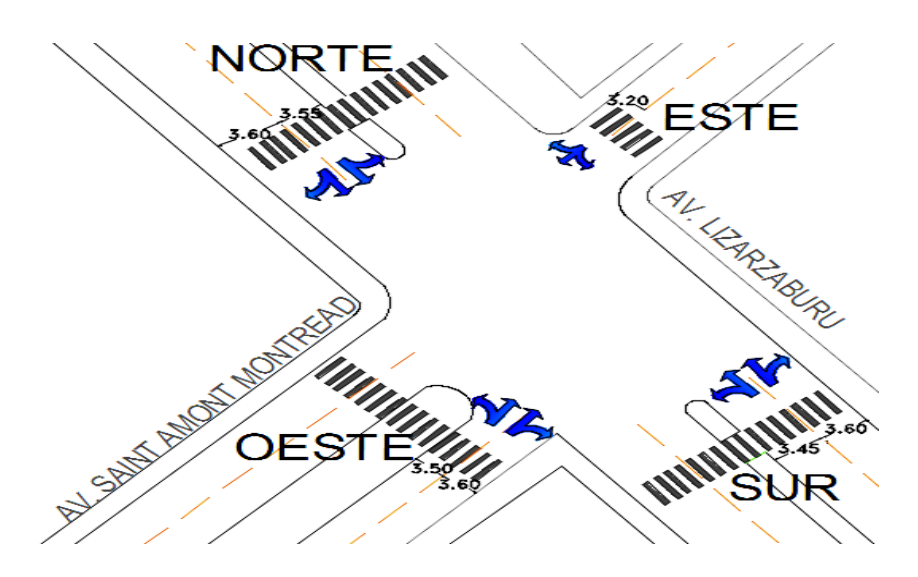


Ilustración 108: Intersección 24. Geometría y tipos de movimientos.

En esta intersección se crea congestión vehicular ya que es usada por los vehículos que se dirigen fuera de la ciudad; además este sector es de tipo comercial y vivienda; la misma que está controlada por un semáforo establecido.

Esta intersección es simétrica en el sentido norte-sur, sur-norte y en el sentido esteoeste, oeste-este es asimétrica porque la Av. Saint Amont Montread cambia de dos sentidos de circulación a uno.

Tabla 236: Intersección 24. Características geométricas y condiciones semafóricas.

C	ARACTERÍSTICA	AS DE LA INTER	SECCIÓN 24: A	v. Lizarzaburu	y Av. Saint Am	ound Montread	
es	Norte		Sur		Este	Oeste	
		2		2		1	2
sivos de giro		NO		NO		NO	NO
itido		NO		NO		NO	NO
		SI		NO		SI	NO
	N° d	e peatones y m	aniobras de e	stacionamient	to por aproxima	ición	
		Norte		Sur		Este	Oeste
es hora pico		16		12		6	8
ras de estacio	namiento	0		0		0	0
		С	ONDICIONES	SEMAFORICA	AS	•	
						_	ф4
DIAGRAMA			•	→		4	
TIEMPO	A:	3	A:		l	3 A:	3
(seg)	R:	-			l		
D							stablecida 15
	Aproxima	ación Norte		Aproximacion Sur			
Semáfo		-	clusivos,	Semáforos vehículares sin giros exclusivos, semáforos			
	·						
Samáforo	•		· · · · · · · · · · · · · · · · · · ·				
				-	usivos, seilidiolos		
	ivos de giro itido s hora pico ras de estacio TIEMPO (seg) Semáfo	ivos de giro itido N° d s hora pico ras de estacionamiento TIEMPO (seg) Duración del ci Aproxima Semáforos vehículares Semáforos vehículares	Norte 2 ivos de giro NO itido NO SI N° de peatones y m Norte s hora pico 16 as de estacionamiento 0 TIEMPO (seg) V: Semáforos vehículares sin giros exsemáforos vehículares con giros excl	Norte 2 ivos de giro NO itido NO SI N° de peatones y maniobras de es Norte s hora pico 16 cas de estacionamiento 0 CONDICIONES PLAN I ф1 ф1 ф1 ф1 TIEMPO (seg) R: V: 50 v: Duración del ciclo Semáforos vehículares sin giros exclusivos, semáforos peatonales	Norte 2 2 2 ivos de giro NO NO NO SI NO NO N° de peatones y maniobras de estacionamient Norte Sur S hora pico 16 12 CONDICIONES SEMAFORICA PLAN DE FASES EXIS Semáforos vehículares sin giros exclusivos, semáforos peatonales Aproximación Norte Semáforos vehículares con giros exclusivos a la Semáforos vehículares con giros exclusivos a la	Pose Norte Sur 2 2 2 2 2 2 2 2 2 2 2 2 2 2 3 2 3 2 3 2 3 3 8 3 9 3 9 3 9 3 9 3 9 4 9 4 9 4 9	ivos de giro NO NO NO NO NO NO NO NO NO N

Tabla 237: Intersección 24: Conteo volumétrico de tránsito de la hora pico.

	CONTEO DE TRÁFICO																			
REDONDEL E INT	ERSECCIÓN		INTE	ERSEC	CIÓN	124:	AV. L	ZARZ	'ABU	RU Y	AV. S	AINT	AMO	NT M	ANT	READ				
				HORA PICO											VOLUMEN					
	CALLE, SENTIDO	Y CARRILES		1	12:00		1	12:15		1	12:30		1	2:45		SUBTOTAL			POR CARRIL-	
NOMBRE CALLE	SENTIDO	CARRIL	SENTIDO DE CIRCULACIÓN	Α	В	С	Α	В	С	Α	В	С	Α	В	С	Α	В	С	SENTIDO	
		IZQ	GIRO IZQ	1	0	0	4	0	0	2	0	0	3	0	0	10	0	0	10	
	NORTE-SUR	12Q	RECTO	124	0	1	106	0	5	94	1	0	108	0	1	432	1	7	440	
	NONTE-SON	DER	RECTO	107	0	2	72	0	1	69	0	0	84	0	1	332	0	4	336	
A. U. and burn		DLIN	GIRO DER	40	7	0	37	7	1	29	5	0	34	6	0	140	25	1	166	
Av. Lizarzaburu		R-NORTE DER	GIRO IZQ	32	0	0	25	0	2	20	0	0	27	0	0	104	0	2	106	
	SLIR-NORTE		RECTO	97	0	3	94	0	2	118	0	4	118	0	2	427	0	11	438	
	30K-NOKTE		RECTO	91	0	5	100	0	1	104	0	2	104	1	2	399	1	10	410	
		DEN	GIRO DER	4	0	0	7	0	2	8	0	1	7	0	2	26	0	5	31	
			GIRO IZQ	15	0	0	14	0	0	34	0	2	24	0	2	87	0	4	91	
	ESTE-OESTE	UNICO	RECTO	10	2	1	10	2	0	12	2	1	17	2	2	49	8	4	61	
			GIRO DER	3	0	0	3	0	0	3	0	0	4	0	0	13	0	0	13	
Av. Saint Amont Montread		170	GIRO IZQ	16	5	1	16	2	1	19	4	0	21	5	0	72	16	2	90	
Worthead	OFCTE ECTE	IZQ	RECTO	5	0	1	6	0	2	6	3	1	10	3	0	27	6	4	37	
	OESTE-ESTE	DER	RECTO	0	0	0	0	0	0	0	0	0	0	0	0	0	0	0	0	
		DEK	GIRO DER	9	1	0	6	0	0	14	0	1	9	0	1	38	1	2	41	

Fuente: Elaborado por los tesistas, es una observación de campo, 5 de Septiembre del 2016.

A través de esta intersección circulan 22260 vehículos al día, en un promedio de1855 vehículos por hora. La hora pico de esta intersección es de las 12:00 a 13:00 donde transitan 2270 autos. En la ilustración se presentan los volúmenes vehiculares por cada 15 minutos de esta intersección.

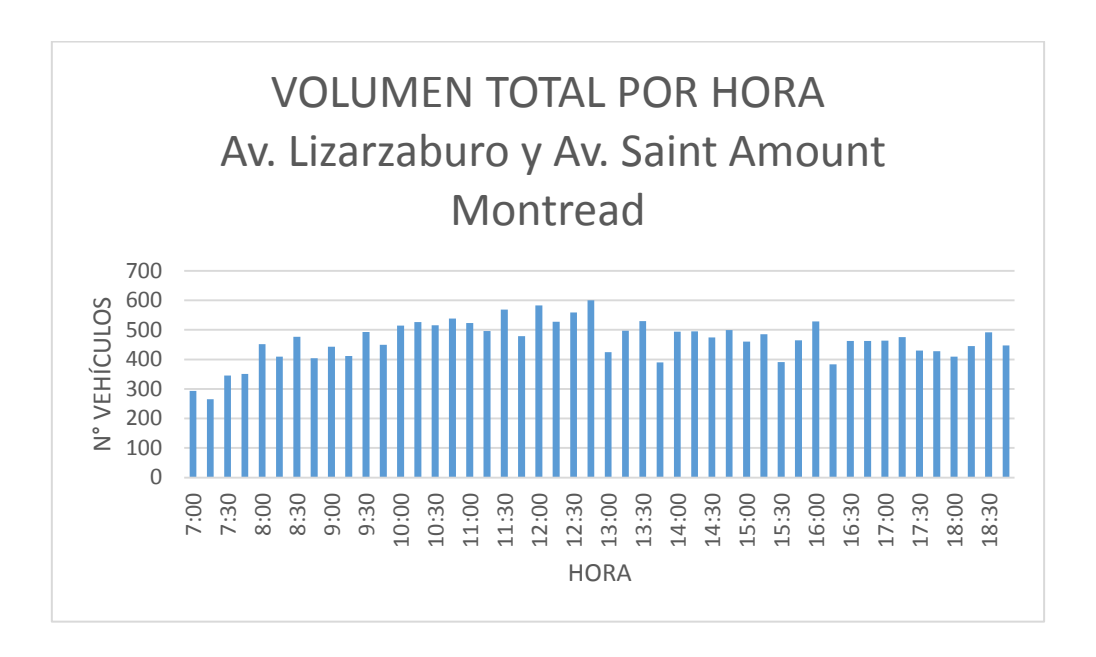


Ilustración 109: Intersección 24. Volúmenes por hora.

Fuente: Elaborado por los tesistas, es una observación de campo, 5 de Septiembre del 2016.

Análisis del plan de fases actuales.

Tabla 238: Intersección 24. Sincronización semafórica actual.

SINCRONIZACIÓN SEMAFÓRICA										
Total Ciclo Fases (G) seg.										
L=	12,00	1	G1	50						
tL=	3	2	G2	15						
Co=	107,00	3	G3	15						
		4	G4	15						

Tabla 239: Intersección 24. Capacidad y nivel de servicio actual.

CAPACIDAD Y NIVEL I	DE SERVICIO DE	LA INTERSE	CCIÓN			
ANÁLIS	S DE LA CAPAC	CIDAD				
Numero de fase	1	2	3	4		
Grupo de carril		3	→			
Volumen vehicular (veh/h)	1651	123	130	98		
Flujo de saturación, S (veh/h)	3156	1893	1668	1701		
Tiempo perdido I (s)	3	3	3	3		
Tiempo de verde efectivo G, (s)	50.00	15.00	15.00	15.00		
Tasa de verde G/Co	0.467	0.140	0.140	0.140		
Capacidad del grupo de carril ,C (veh/h)	1475	265	234	238		
Relación volumen-capacidad X	1.120	0.463	0.556	0.411		
Razón de flujo Yi , (veh/h)	0.523	0.065	0.078	0.058		
Flujo crítico intersección YC		0.724	i			
Tiempo perdido por ciclo L		12				
Volumen relacionado con la		0.815				
capacidad XC		0.013				
DETERMINACIÓN DE CAPACIDAD DEL	GRUPO DE CAR DE SERVICIO	RIL, CONTRO	L DE RETRA	ASO, NIVEL		
	Norte, Sur	zq. Norte, Sui	Oeste	Este		
Grupo de carril		5	\rightarrow			
Volumen vehicular (veh/h)	1651	123	130	98		
Capacidad del grupo de carril ,C (veh/h)	1475	265	234	238		
Relación Volumen-Capacidad X	1.120	0.463	0.556	0.411		
Tasa de verde total g/Co	0.467	0.140	0.140	0.140		
Retraso uniforme,d1, (s/veh)	28.500	42.299	42.895	41.969		
Calibración del incremento de retraso k	0.500	0.500	0.500	0.500		
Incremento de retraso, d2 (s/veh)	63.483	5.721	9.219	5.164		
Retraso inicial de la cola vehicular d3,		0	0	0		
Factor de progresión PF	1	1	1	1		
Retraso, d (s/veh)	92.0	48.0	52.1	47.1		
Nivel de servicio de grupo de carril	F	D	D	D		
Retraso por aproximación dA (s/veh)	92.0	48.0	52.1	47.1		
Nivel de servicio de aproximación	F	D	D	D		
Tasa de flujo de la aproximación V A, (veh/h)	1651 123 130 9					
Retraso de la intersección d I, (s/veh)						
NIVEL DE SERVICIO DE LA INTERSECCIÓN		F				

Análisis de plan de fases propuestas.

Tabla 240: Intersección 24. Razón de flujo crítico Ycr.

Fase	Movimientos	Ycr
	Norte-Sur	
1	Sur-Norte	0,5258
	Norte-Sur i	
2	Sur-Nortei	0,0559
3	Este-Oeste	0,0918
4	Oeste -Este	0,0720

Fuente: Realizada por los tesistas.

Tabla 241: Intersección 24. Cálculo del ciclo óptimo.

CICLO	CICLO ÓPTIMO											
Tiempo entre verde	l(s)	3										
Tiempo perdido	L(s)	12										
Ciclo Óptimo	Co (s)	90,3979538										
Ciclo Óptimo	Co											
(redondeado)	(s)	90										

Fuente: Realizada por los tesistas.

Tabla 242: Intersección 24. Calculo del verde efectivo.

Fase	Sentido circulación	Verde efectivo	Verde adoptado
1	Norte-Sur	55,01	55
2	Sur-Norte	5,85	6
3	Este-Oeste	9,61	10
4	Oeste -Este	7,53	8
		Co	91

Fuente: Realizada por los tesistas.

Tabla 243: Intersección 24. Nueva sincronización semafórica.

S	SINCRONIZACIÓN SEMAFÓRICA										
Т	otal Ciclo	Fases (G) seg.									
L=	12,00	1	G1	55							
tL=	3	2	G2	6							
Co=	71,00	3	G3	10							
		4	G4	8							

Diagrama semafórica.



Ilustración 110: Intersección 24. Diagrama semafórica

Fuente: Realizado por los tesistas.

Al realizar la comparación del nivel de servicio actual con el propuesto podemos deducir que el nivel de servicio de la intersección en general ha pasado de nivel F a nivel B, lo que nos indica que los retrasos de los vehículos de ha reducido de 84.5 segundos a 12.5 segundos. Y el análisis de la capacidad de la intersección en general es de 0.871 este se encuentra bajo la capacidad de la intersección lo que quiere decir que la demanda no sobrepasa la capacidad de la intersección con esta propuesta.

Tabla 244: Intersección 24. Capacidad y nivel de servicio de la propuesta.

CAPACIDAD Y NI	VEL DE SERVICIO	DE LA INTERS	ECCIÓN						
AN	IÁLISIS DE LA CAF	PACIDAD							
Numero de fase	1	2	3	4					
Grupo de carril		5	→	-					
Volumen vehicular (veh/h)	1651	123	130	98					
Flujo de saturación, S (veh/h)	3156	1893	1668	1701					
Tiempo perdido I (s)	4	4	4	4					
Tiempo de verde efectivo G, (s)	55.00	6.00	10.00	8.00					
Tasa de verde G/Co	0.775	0.085	0.141	0.113					
Capacidad del grupo de carril ,C (veh/h)	2445	160	235	192					
Relación volumen-capacidad X	0.675	0.769	0.553	0.511					
Razón de flujo Yi, (veh/h)	0.523	0.065	0.078	0.058					
Flujo crítico intersección YC		0.72	4						
Tiempo perdido por ciclo L		12							
Volumen relacionado con la		0.87	1						
capacidad XC									
DETERMINACIÓN DE CAPACIDAD D	DEL GRUPO DE CA SERVICIO	RRIL, CONTRO	L DE RETRASO	, NIVEL DE					
	Norte, Sur	Oeste	Este						
Grupo de carril		5	\rightarrow	*					
Volumen vehicular (veh/h)	1651	123	130	98					
Capacidad del grupo de carril ,C (veh/h)	2445	160	235	192					
Relación Volumen-Capacidad X	0.675	0.769	0.553	0.511					
Tasa de verde total g/Co	0.775	0.085	0.141	0.113					
Retraso uniforme,d1, (s/veh)	3.781	31.821	28.420	29.659					
Calibración del incremento de retraso k	0.500	0.500	0.500	0.500					
Incremento de retraso, d2 (s/veh)	1.516	29.202	9.088	9.419					
Retraso inicial de la cola vehicular d3, (s/veh)	0	0	0	0					
Factor de progresión PF	1	1	1	1					
Retraso, d (s/veh)	5.3	61.0	37.5	39.1					
Nivel de servicio de grupo de carril	Α	E	D	D					
Retraso por aproximación dA (s/veh)	5.3	61.0	37.5	39.1					
Nivel de servicio de aproximación	Α	E	D	D					
Tasa de flujo de la aproximación									
VA, (veh/h)	1651	123	130	98					
Retraso de la intersección d I, (s/veh) NIVEL DE SERVICIO DE LA INTERSECCIÓN		12.5 B							

4.2.25. Intersección 25: Av. Lizarzaburu y Av. 11 de Noviembre.



Ilustración 111: Intersección semaforizada 25: Av. Lizarzaburu y Av. 11 de Noviembre.

Fuente: Google Maps-2016.

UBICACIÓN								
Norte= 9817175	Este= 759506							
Altitud	2821 msnm							

Esta intersección consta de 4 accesos norte, sur, este y oeste, cada uno de ellos con control semafórico, con 2 carriles por cada aproximación en todos los carriles de circulación. No posee un carril exclusivo para giros izquierdos en todas las aproximaciones, los movimientos que se pueden realizar son 12 ya que cada aproximación está habilitada para realizar giros izquierdos, giros derechos y rectos como indica la ilustración 112.

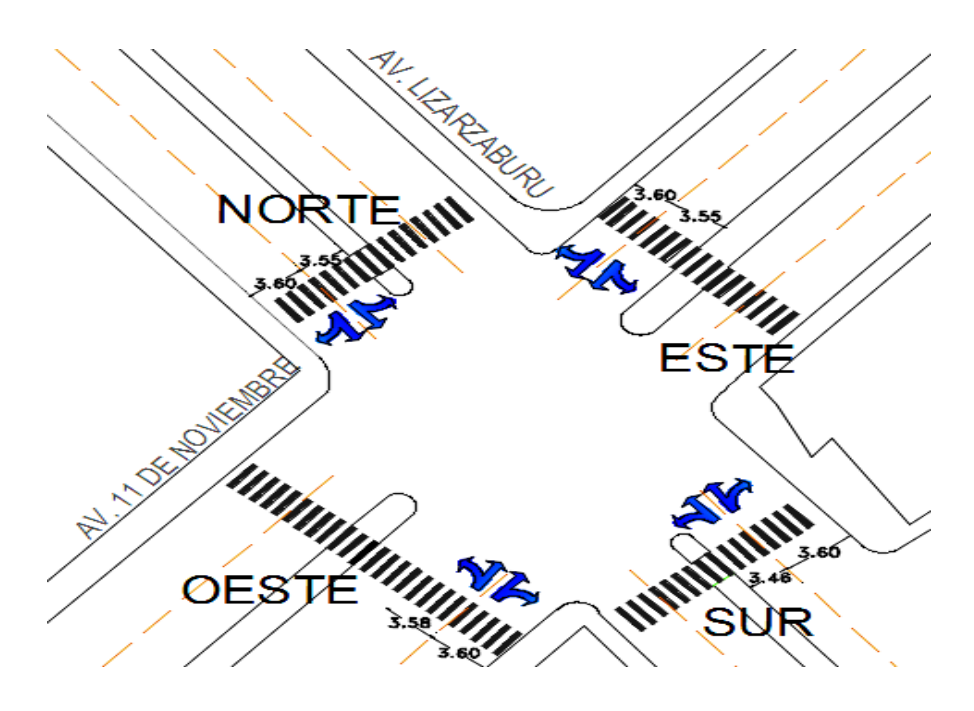


Ilustración 112: Intersección 25. Geometría y tipos de movimientos.

Fuente: Elaborado por los tesistas, es una observación de campo, 5 de Septiembre del 2016.

En esta intersección se crea congestión vehicular ya que es usada por los vehículos que se dirigen fuera de la ciudad; además este sector es de tipo comercial y vivienda; la misma que está controlada por un semáforo establecido.

Esta intersección es simétrica en todos los sentidos.

Tabla 245: Intersección 25. Características geométricas y condiciones semafóricas

		CARACTE	RÍSTICAS DE LA IN	TERSECCIÓN 2	5: Av. Lizarzab	ouru y Av. 11 de	Noviembre						
Datos generale	es		Norte		Sur		Este	(Oeste				
N° de carriles			2		2		2	2					
Carriles exclus	ivos de giro		NO		NO		NO	NO					
Parqueo permi	itido		NO		NO		NO		NO				
Parada de bus			SI		NO		NO		NO				
		N	° de peatones y m	ianiobras de e	e estacionamiento por aproximación								
Hora Pico			Norte		Sur	Este Oeste							
N° de peatone	s hora pico		21		17		8		7				
N° de maniobr	·	namiento	0		0		0 0						
			C	ONDICIONES	SEMAFORICA	AS	·						
				PLAN I	DE FASES EXIS								
			ф1	ф	2	ф	3		ф4				
V: Verde A: Amarillo R: Rojo	DIAGRAMA	•							T				
	TIEMPO	A:		A:		A:		A:	3				
	(seg)	R:	87			R:	102		97				
		V: uración de	35	v: 125		V: ración	20 Actu		25 Establecida				
	<u> </u>		mación Norte	125	Oper	Ap	roximacion S		Establecida				
	Semáfo	ros vehícul	ares sin giros ex	clusivos,	Semáforos vehículares sin giros exclusivos, semáforos								
Semáforos		semáfo	ros peatonales		peatonales								
Sematoros			imación Este		Aproximación Oeste								
	Semáfo		ares sin giros ex	clusivos,	Semáfo	oros vehículare	•	clusivos, se	máforos				
		semáfo	ros peatonales	_	peatonales								

Fuente: Elaborado por los tesistas, es una observación de campo, 5 de Septiembre del 2016.

Tabla 246: Intersección 25: Conteo volumétrico de tránsito de la hora pico.

			,		CONT	EO DE	TRÁF	ICO					•		•	•	•		•	
REDONDEL E IN	TERSECCIÓN			INT	ERSE	CCIÓI	N 25:	AV. LIZ	ZARZA	BURU	Y AV	. 11 I	DE NO	VIEM	IBRE.					
	0.11.5 (SENITION)	/ CARRUES		HORA PICO												VOLUMEN				
	CALLE, SENTIDO Y CARRILES				12:30)		12:45		1	3:00			13:15		SUBTOTAL			POR CARRIL-	
NOMBRE CALLE	SENTIDO	CARRIL	SENTIDO DE CIRCULACIÓN	Α	В	С	Α	В	С	Α	В	С	Α	В	С	А	В	С	SENTIDO	
	IZQ	GIRO IZQ	4	1	0	4	0	0	3	0	0	1	0	0	12	1	0	13		
	NORTE-SUR		RECTO	71	2	5	80	2	6	55	2	2	60	2	3	266	8	16	290	
	NORTE-SUR	DER	RECTO	80	3	6	85	10	4	62	0	3	72	6	1	299	19	14	332	
Av. Lizarzaburu		DLIN	GIRO DER	20	0	1	16	0	1	22	1	2	23	0	1	81	1	5	87	
		IZQ	GIRO IZQ	16	0	2	11	1	3	17	0	3	15	0	4	59	1	12	72	
	SUR-NORTE	120	RECTO	103	2	4	99	4	5	100	2	3	103	2	8	405	10	20	435	
	JON HOME	DER	RECTO	60	1	2	55	9	0	89	3	1	90	3	8	294	16	11	321	
			GIRO DER	16	1	0	6	1	0	16	0	0	26	0	0	64	2	0	66	
		IZQ	GIRO IZQ	18	1	0	25	1	0	19	0	0	15	0	0	77	2	0	79	
	ESTE-OESTE	12Q	RECTO	17	0	0	22	1	0	21	0	0	25	0	0	85	1	0	86	
	L31L-OL31L	DER	RECTO	13	0	0	18	0	0	0	0	0	0	0	0	31	0	0	31	
Av. 11 de Noviembre		DLK	GIRO DER	2	0	0	4	0	0	2	0	0	0	0	0	8	0	0	8	
		IZQ	GIRO IZQ	68	1	2	75	1	1	58	1	4	70	1	4	271	4	11	286	
	OESTE-ESTE		RECTO	14	1	1	20	0	0	21	1	1	18	1	0	73	3	2	78	
	OESIE-ESIE	DER	RECTO	16	0	0	22	0	0	25	0	2	22	0	0	85	0	2	87	
		DEK	GIRO DER	7	0	2	10	0	0	17	0	1	16	0	2	50	0	5	55	

Fuente: Elaborado por los tesistas, es una observación de campo, 5 de Septiembre del 2016

A través de esta intersección circulan 25604 vehículos al día, en un promedio de 2133 vehículos por hora. La hora pico de esta intersección es de las 12:00 a 13:00 donde transitan 2534 autos. En la ilustración se presentan los volúmenes vehiculares por cada 15 minutos de esta intersección.

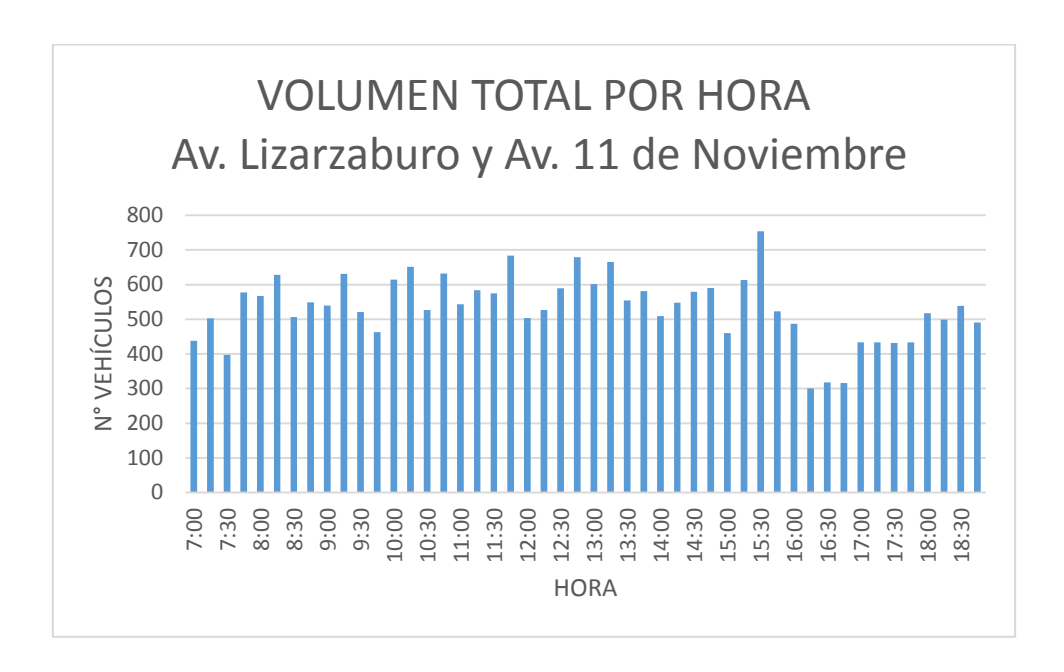


Ilustración 113: Intersección 25. Volúmenes por hora.

Fuente: Elaborado por los tesistas, es una observación de campo, 5 de Septiembre del 2016.

Análisis del plan de fases actuales.

Tabla 247: Intersección 25. Sincronización semafórica actual.

SINCRONIZACIÓN SEMAFÓRICA										
Total Ciclo Fases (G) seg.										
L=	12,00	1	G1	35						
tL=	3	2	G2	33						
Co=	125,00	3	G3	25						
		4	G4	20						

Tabla 248: Intersección 25. Capacidad y nivel de servicio actual.

CAPACIDAD Y NIVEL DE SERVICIO DE LA INTERSECCIÓN								
ANÁLI	SIS DE LA CAP	ACIDAD						
Numero de fase	1	2	3	4				
Grupo de carril	A	**		→				
Volumen vehicular (veh/h)	734	918	652	204				
Flujo de saturación, S (veh/h)	2764	2958	3124	2993				
Tiempo perdido I (s)	3	3	3	3				
Tiempo de verde efectivo G, (s)	35,00	33,00	25,00	20,00				
Tasa de verde G/Co	0,280	0,264	0,200	0,160				
Capacidad del grupo de carril , C (veh/h)	774	781	625	479				
Relación volumen-capacidad X	0,948	1,175	1,044	0,426				
Razón de flujo Yi , (veh/h)	0,266	0,310	0,209	0,068				
Flujo crítico intersección YC		0,853	I					
Tiempo perdido por ciclo L		12						
Volumen relacionado con la		0,943	3					
capacidad XC								
DETERMINACIÓN DE CAPACIDAD N	IVEL DE SERVI	•	NIROL DE I	RETRASO,				
	Norte	Sur	Este	Oeste				
Grupo de carril	1 1	↑ ↑	→	\$				
			→					
Volumen vehicular (veh/h)	734	918	652	204				
Capacidad del grupo de carril ,C (veh/h)	774	781	625	479				
Relación Volumen-Capacidad X	0,948	1,175	1,044	0,426				
Tasa de verde total g/Co	0,280	0,264	0,200	0,160				
Retraso uniforme, d1, (s/veh)	44,114	46,000	50,000	47,326				
Calibración del incremento de retraso k	0,500	0,500	0,500	0,500				
Incremento de retraso, d2 (s/veh)	21,963	92,150	47,883	2,760				
Retraso inicial de la cola vehicular d3, (s/veh)	0	0	0	0				
Factor de progresión PF	1	1	1	1				
Retraso, d (s/veh)	66,1	138,2	97,9	50,1				
Nivel de servicio de grupo de carril	E	F	F	D				
Retraso por aproximación dA (s/veh)	66,1	138,2	97,9	50,1				
Nivel de servicio de aproximación	E	F	F	D				
Tasa de flujo de la aproximación VA, (veh/h)	734	918	652	204				
Retraso de la intersección d I, (s/veh)	99,4							
NIVEL DE SERVÍCIO DE LA INTERSECCIÓN	F							

Análisis de plan de fases propuestas.

Tabla 249: Intersección 25. Razón de flujo crítico Ycr.

Fase	Movimientos	Ycr
	Norte-Sur	
1	Sur-Norte	0,2501
2	Sur-Norte	0,2783
	Este-Oeste	
3	Oeste -Este	0,0919
	Izq. Este,	
4	Oeste	0,1991

Fuente: Realizada por los tesistas.

Tabla 250: Intersección 25. Cálculo del ciclo óptimo.

CICLO ÓPTIMO							
Tiempo entre verde	l(s)	3					
Tiempo perdido	L(s)	12					
Ciclo Óptimo	Co (s)	127,383536					
Ciclo Óptimo							
(redondeado)	Co(s)	130					

Fuente: Realizada por los tesistas.

Tabla 251: Intersección 25. Cálculo del verde efectivo.

Fase	Sentido circulación	Verde efectivo	Verde adoptado
1	Norte-Sur	36,02	36
2	Sur-Norte	40,07	40
3	Este- Oeste	13,24	14
4	Oeste -Este	28,67	29
		Co	131

Fuente: Realizada por los tesistas.

Tabla 252: Intersección 25. Nueva sincronización semafórica.

SINCRONIZACIÓN SEMAFÓRICA							
Total Ciclo Fases (G) seg.							
L=	12,00	1	G1	36			
tL=	3	2	G2	40			
Co=	131,00	3	G3	29			
		4	G4	14			

Diagrama semafórica.

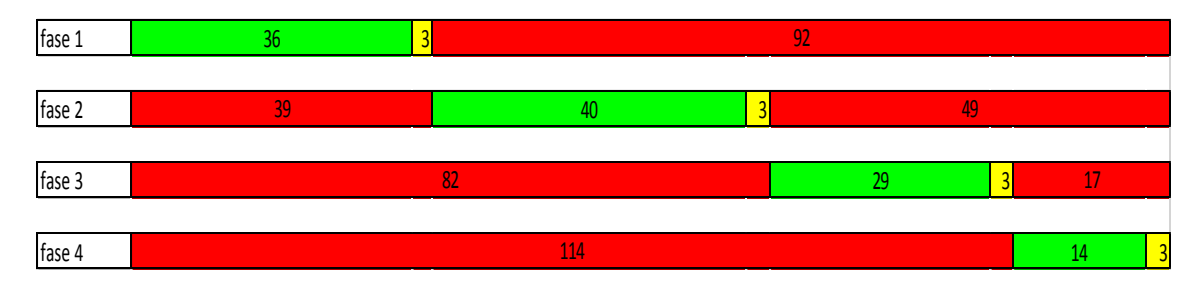


Ilustración 114: Intersección 25. Diagrama semafórica

Fuente: Realizado por los tesistas.

Al realizar la comparación del nivel de servicio actual con el propuesto podemos deducir que el nivel de servicio de la intersección en general ha pasado de nivel F a nivel E, lo que nos indica que los retrasos de los vehículos de ha reducido de 99.4 segundos a 74.6 segundos. Y el análisis de la capacidad de la intersección en general es de 0.939 este se encuentra bajo la capacidad de la intersección lo que quiere decir que la demanda no sobrepasa la capacidad de la intersección con esta propuesta.

Tabla 253: Intersección 25. Capacidad y nivel de servicio de la propuesta.

CAPACIDAD Y NIVEL DE SERVICIO DE LA INTERSECCIÓN								
	ANÁLISIS DE LA C	APACIDAD						
Numero de fase	1	2	3	4				
Grupo de carril		**	*	→				
Volumen vehicular (veh/h)	734	918	652	204				
Flujo de saturación, S (veh/h)	2764	2958	3124	2993				
Tiempo perdido I (s)	3	3	3	3				
Tiempo de verde efectivo G, (s)	36,00	40,00	29,00	14,00				
Tasa de verde G/Co	0,275	0,305	0,221	0,107				
Capacidad del grupo de carril ,C (veh/h)	760	903	692	320				
Relación volumen-capacidad X	0,966	1,016	0,943	0,638				
Razón de flujo Yi , (veh/h)	0,266	0,310	0,209	0,068				
Flujo crítico intersección YC		0,853	-					
Tiempo perdido por ciclo L		12						
Volumen relacionado con la		0,939)					
capacidad XC								
DETERMINACIÓN DE CAPACIDA	AD DEL GRUPO DE DE SERVIC		TROL DE RETRA	ASO, NIVEL				
Grupo de carril	Norte	Sur	Oeste	Este				
Volumen vehicular (veh/h)	734	918	652	204				
Capacidad del grupo de carril ,C (veh/h)	760	903	692	320				
Relación Volumen-Capacidad X	0,966	1,016	0,943	0,638				
Tasa de verde total g/Co	0,275	0,305	0,221	0,107				
Retraso uniforme, d1, (s/veh)	46,901	45,500	50,185	56,070				
Calibración del incremento de retraso k	0,500	0,500	0,500	0,500				
ncremento de retraso, d2 (s/veh	25,400	34,060	22,774	9,370				
Retraso inicial de la cola vehicular d3, (s/veh)	0	0	0	0				
Factor de progresión PF	1	1	1	1				
Retraso, d (s/veh)	72,3	79,6	73,0	65,4				
Nivel de servicio de grupo de carril	E	E	E	Е				
Retraso por aproximación dA (s/veh)	72,3	79,6	73,0	65,4				
livel de servicio de aproximació	E	E	E	E				
Tasa de flujo de la aproximación V A, (veh/h)	734	918	652	204				
Retraso de la intersección d I, (s/veh)	, 74,6							
NIVEL DE SERVICIO DE LA INTERSECCIÓN		E						

CAPITULO V

5. DISCUSIÓN.

Luego de emplear las metodologías del HCM 2000 y la simulación en el software SYNCHRO 8.0 para el análisis de las intersecciones estudiadas, fueron realizados los análisis comparativos de los parámetros de tasa de flujo de saturación (S), grado de saturación (X) o relación V/C, demoras por control (D), niveles de servicio. Así mismo, los resultados obtenidos fueron medidos directamente de la información de campo.

Intersección 1: Av. Lizarzaburu y Av. By Pass.

El volumen de tráfico de esta intersección es de 26430 vehículos y el flujo de saturación de la intersección es de 5855, el flujo vehicular ajustado según el factor de hora pico es 2700, es decir que esta intersección se está utilizando en un 66% de su capacidad calificando con un nivel de servicio F, lo que quiere decir que existe congestión notable y mayores retrasos.

De acuerdo a nuestro análisis y empleando un rediseño en las fases semafóricas el nivel de servicio es de F, lo que nos indica que el retraso de los vehículos a disminuido. Como último punto a observar es la relación volumen capacidad, que para esta intersección es de 1.0 lo que nos indica que la demanda alcanzó su capacidad.

Intersección 2: Av. By Pass y calle Sergio Quirola.

El volumen de tráfico de esta intersección es de 13311 vehículos y el flujo de saturación de la intersección es de 2849, el flujo vehicular ajustado según el factor de hora pico es 1294 vehículos, es decir que esta intersección se está utilizando en un 31% de su capacidad calificando con un nivel de servicio A, lo que quiere decir que la progresión de los automóviles es extremadamente favorable y corta duración del ciclo.

De acuerdo a nuestro análisis y empleando un rediseño en las fases semafóricas el nivel de servicio es de A, lo que nos indica que sigue con un nivel favorable, pero el retraso de los vehículos a disminuido de 6.0 a 3.4 seg/veh. Como último punto a observar es la relación volumen capacidad, que para esta intersección es de 0.349 lo que nos indica que la demanda está por debajo de alcanzar su capacidad.

Intersección 3: Av By Pass y Av. Canónigo Ramos.

El volumen de tráfico de esta intersección es de 16214 vehículos y el flujo de saturación de la intersección es de 2926, el flujo vehicular ajustado según el factor de hora pico es 1658 vehículos, es decir que esta intersección se está utilizando en un 72% de su capacidad calificando con un nivel de servicio D, lo que quiere decir que existe congestión notable y mayores retrasos.

De acuerdo a nuestro análisis y empleando un rediseño en las fases semafóricas el nivel de servicio es de C, lo que nos indica que el retraso de los vehículos a disminuido. Como último punto a observar es la relación volumen capacidad, que para esta intersección es de 0.73 lo que nos indica que la demanda está a punto de alcanzar su capacidad.

Intersección 4: Av. By Pass y Av. Pedro Vicente Maldonado.

El volumen de tráfico de esta intersección es de 24477 vehículos y el flujo de saturación de la intersección es de 3250, el flujo vehicular ajustado según el factor de hora pico es 2327 vehículos, es decir que esta intersección se está utilizando en un 88% de su capacidad calificando con un nivel de servicio E, lo que quiere decir que experimenta un gran retraso, mala progresión, larga duración del ciclo. Las consecuencias de este nivel de servicio son el aumento de control, congestión, accidentes de tránsito.

De acuerdo a nuestro análisis y empleando un rediseño en las fases semafóricas el nivel de servicio es de C, lo que nos indica que el retraso de los vehículos a disminuido. Como último punto a observar es la relación volumen capacidad, que para esta intersección es de 0.457 lo que nos indica que la demanda está en un punto intermedio de su capacidad.

Intersección 5: Av. Pedro Vicente Maldonado y calle José de Araujo.

El volumen de tráfico de esta intersección es de 15258 vehículos y el flujo de saturación de la intersección es de 2856, el flujo vehicular ajustado según el factor de hora pico es 1755 vehículos, es decir que esta intersección se está utilizando en un 76% de su capacidad calificando con un nivel de servicio E, lo que quiere decir que experimenta un gran retraso, mala progresión, larga duración del ciclo. Las consecuencias de este nivel de servicio son el aumento de control, congestión, accidentes de tránsito.

De acuerdo a nuestro análisis y empleando un rediseño en las fases semafóricas el nivel de servicio es de D, lo que nos indica que el retraso de los vehículos a disminuido. Como último punto a observar es la relación volumen capacidad, que para esta intersección es de 0.84 lo que nos indica que la demanda está a punto de alcanzar su capacidad.

Intersección 6: Av. Pedro Vicente Maldonado y calle José Peralta.

El volumen de tráfico de esta intersección es de 16453 vehículos y el flujo de saturación de la intersección es de 2656, el flujo vehicular ajustado según el factor de hora pico es 1643 vehículos, es decir que esta intersección se está utilizando en un 72% de su capacidad calificando con un nivel de servicio D, lo que quiere decir que existe congestión notable y mayores retrasos.

De acuerdo a nuestro análisis y empleando un rediseño en las fases semafóricas el nivel de servicio es de C, lo que nos indica que el retraso de los vehículos a disminuido. Como último punto a observar es la relación volumen capacidad, que para esta intersección es de 0.80 lo que nos indica que la demanda está a punto de alcanzar su capacidad.

Intersección 7: Av. Pedro Vicente Maldonado y Av. 11 de Noviembre.

El volumen de tráfico de esta intersección es de 25061 vehículos y el flujo de saturación de la intersección es de 2926, el flujo vehicular ajustado según el factor de hora pico es 2157 vehículos, es decir que esta intersección se está utilizando en un 72% de su capacidad calificando con un nivel de servicio F, es un nivel inaceptable, generalmente ocurre sobresaturación, esto ocurre cuando la tasa de flujo supera la capacidad del grupo de carril.

De acuerdo a nuestro análisis y empleando un rediseño en las fases semafóricas el nivel de servicio es de E, lo que nos indica que el retraso de los vehículos a disminuido. Como último punto a observar es la relación volumen capacidad, que para esta intersección es de 0.93 lo que nos indica que la demanda está a punto de alcanzar su capacidad.

Intersección 8: Av. Pedro Vicente Maldonado y Av. Saint Amont Montread.

El volumen de tráfico de esta intersección es de 21520 vehículos y el flujo de saturación de la intersección es de 2926, el flujo vehicular ajustado según el factor de hora pico es 2099 vehículos, es decir que esta intersección se está utilizando en un 47% de su capacidad calificando con un nivel de servicio B, lo que quiere decir que tiene una buena progresión y corta duración del ciclo.

De acuerdo a nuestro análisis y empleando un rediseño en las fases semafóricas el nivel de servicio es de A, lo que nos indica que el retraso de los vehículos a disminuido. Como último punto a observar es la relación volumen capacidad que para esta intersección es de 0.481, lo que nos indica que la demanda es baja en comparación a su capacidad.

Intersección 9: Av. Pedro Vicente Maldonado y Av. 9 de Octubre.

El volumen de tráfico de esta intersección es de 16760 vehículos y el flujo de saturación de la intersección es de 2926, el flujo vehicular ajustado según el factor de hora pico es 1793 vehículos, es decir que esta intersección se está utilizando en un 73% de su capacidad calificando con un nivel de servicio C, lo que quiere decir que los ciclos más sincronizados pueden ser los que ocasionan el mayor retraso, el número de vehículos que paran es alto en este nivel.

De acuerdo a nuestro análisis y empleando un rediseño en las fases semafóricas el nivel de servicio es de B, lo que nos indica que el retraso de los vehículos a disminuido. Como último punto a observar es la relación volumen capacidad que para esta intersección es de 0.50 lo que nos indica que la demanda está en un punto medio de su capacidad.

Intersección 10: Av. 9 de Octubre y calle S/N.

El volumen de tráfico de esta intersección es de 12096 vehículos y el flujo de saturación de la intersección es de 3073, el flujo vehicular ajustado según el factor de hora pico es de 1753 vehículos, es decir que esta intersección se está utilizando en un 59% de su capacidad calificando con un nivel de servicio D, lo que quiere decir que existe congestión notable y mayores retrasos.

De acuerdo a nuestro análisis y empleando un rediseño en las fases semafóricas el nivel de servicio es de A, lo que nos indica que el retraso de los vehículos a disminuido. Como último punto a observar es la relación volumen capacidad que para esta intersección es de 0.617 lo que nos indica que la demanda está en un punto medio de su capacidad.

Intersección 11: Av. 9 de Octubre y calle Carabobo.

El volumen de tráfico de esta intersección es de 23545 vehículos y el flujo de saturación de la intersección es de 2927, el flujo vehicular ajustado según el factor de hora pico es de 2156 vehículos, es decir que esta intersección se está utilizando en un 87% de su capacidad calificando con un nivel de servicio F, lo que quiere decir que es un nivel inaceptable, generalmente ocurre sobresaturación, esto ocurre cuando la tasa de flujo supera la capacidad del grupo de carril.

De acuerdo a nuestro análisis y empleando un rediseño en las fases semafóricas el nivel de servicio es de D, lo que nos indica que el retraso de los vehículos a disminuido. Como último punto a observar es la relación volumen capacidad que para esta intersección es de 0.91 lo que nos indica que la demanda está muy próxima a igualar a la capacidad.

Intersección 12: Av. 9 de Octubre y Av. Juan Félix Proaño.

El volumen de tráfico de esta intersección es de 24046 vehículos y el flujo de saturación de la intersección es de 2892, el flujo vehicular ajustado según el factor de hora pico es de 2463 vehículos, es decir que esta intersección se está utilizando en un 92% de su capacidad calificando con un nivel de servicio F, lo que quiere decir que es un nivel inaceptable, generalmente ocurre sobresaturación, esto ocurre cuando la tasa de flujo supera la capacidad del grupo de carril.

De acuerdo a nuestro análisis y empleando un rediseño en las fases semafóricas el nivel de servicio es de E, lo que nos indica que el retraso de los vehículos a disminuido. Como último punto a observar es la relación volumen capacidad que para esta intersección es de 0.92 lo que nos indica que la demanda está muy próxima a igualar a la capacidad.

Intersección 13: Av. 9 de Octubre y Av. Leopoldo Freire.

El volumen de tráfico de esta intersección es de 20713 vehículos y el flujo de saturación de la intersección es de 2943, el flujo vehicular ajustado según el factor de hora pico es de 2039 vehículos, es decir que esta intersección se está utilizando en un 82% de su capacidad calificando con un nivel de servicio D, lo que quiere decir que existe congestión notable y mayores retrasos.

De acuerdo a nuestro análisis y empleando un rediseño en las fases semafóricas el nivel de servicio es de D, lo que nos indica que sigue con un nivel favorable, pero el retraso de los vehículos a disminuido de 6.0 a 3.4 seg/veh. Como último punto a observar es la relación volumen capacidad que para esta intersección es de 0. 657 lo que nos indica que la demanda está en un punto medio de su capacidad.

Intersección 14: Av. 9 de Octubre y Av. Costa Rica.

El volumen de tráfico de esta intersección es de 13310 vehículos y el flujo de saturación de la intersección es de 2920, el flujo vehícular ajustado según el factor de hora pico es de 1490 vehículos, es decir que esta intersección se está utilizando en un 62% de su capacidad calificando con un nivel de servicio E, lo que quiere decir que experimenta un gran retraso, mala progresión, larga duración del ciclo. Las consecuencias de este nivel de servicio son el aumento de control, congestión, accidentes de tránsito.

De acuerdo a nuestro análisis y empleando un rediseño en las fases semafóricas el nivel de servicio es de B, lo que nos indica que el retraso de los vehículos a disminuido. Como último punto a observar es la relación volumen capacidad que para esta intersección es de 0. 667 lo que nos indica que la demanda está en un punto medio de su capacidad.

Intersección 15: Av. Edelberto Bonilla y Av. Celso Augusto Rodríguez.

El volumen de tráfico de esta intersección es de 14148 vehículos y el flujo de saturación de la intersección es de 2895, el flujo vehicular ajustado según el factor de hora pico es de 1775 vehículos, es decir que esta intersección se está utilizando en un 73% de su capacidad calificando con un nivel de servicio E, lo que quiere decir que experimenta un gran retraso, mala progresión, larga duración del ciclo. Las consecuencias de este nivel de servicio son el aumento de control, congestión, accidentes de tránsito.

De acuerdo a nuestro análisis y empleando un rediseño en las fases semafóricas el nivel de servicio es de C, lo que nos indica que el retraso de los vehículos a disminuido. Como último punto a observar es la relación volumen capacidad que para esta intersección es de 0. 773 lo que nos indica que la demanda está próxima a alcanzar su capacidad.

Intersección 16: Av. Edelberto Bonilla y calle Araujo Chiriboga.

El volumen de tráfico de esta intersección es de 15735 vehículos y el flujo de saturación de la intersección es de 2875, el flujo vehicular ajustado según el factor de hora pico es de 2047 vehículos, es decir que esta intersección se está utilizando en un 84% de su capacidad calificando con un nivel de servicio F, lo que quiere decir que es un nivel inaceptable, generalmente ocurre sobresaturación, esto ocurre cuando la tasa de flujo supera la capacidad del grupo de carril.

De acuerdo a nuestro análisis y empleando un rediseño en las fases semafóricas el nivel de servicio es de C, lo que nos indica que el retraso de los vehículos a disminuido. Como último punto a observar es la relación volumen capacidad que para esta intersección es de 0. 861 lo que nos indica que la demanda está próxima a alcanzar su capacidad.

Intersección 17: Av. Edelberto Bonilla y Av. Alfonso Chávez.

El volumen de tráfico de esta intersección es de 30162 vehículos y el grado de saturación de la intersección es de 88%, el flujo vehicular ajustado según el factor de hora pico es de 3226 vehículos, siendo esta la intersección con más flujo vehiculares, con un nivel de servicio F, lo que quiere decir que experimenta un gran retraso, mala progresión. Las consecuencias de este nivel de servicio son el aumento de control, congestión, accidentes de tránsito.

Intersección 18: Av. Edelberto Bonilla y Av. Antonio José de Sucre.

El volumen de tráfico de esta intersección es de 21581 vehículos y el flujo de saturación de la intersección es de 3049, el flujo vehicular ajustado según el factor de hora pico es de 2250 vehículos, es decir que esta intersección se está utilizando en un 87% de su capacidad calificando con un nivel de servicio E, lo que quiere decir que experimenta

un gran retraso, mala progresión, larga duración del ciclo. Las consecuencias de este nivel de servicio son el aumento de control, congestión, accidentes de tránsito.

De acuerdo a nuestro análisis y empleando un rediseño en las fases semafóricas el nivel de servicio es de D, lo que nos indica que el retraso de los vehículos a disminuido. Como último punto a observar es la relación volumen capacidad que para esta intersección es de 0.883, lo que nos indica que la demanda está próxima a alcanzar su capacidad.

Intersección 19: Av. Antonio José de Sucre y Av. Héroes de Tapi.

El volumen de tráfico de esta intersección es de 28573 vehículos y el grado de saturación de la intersección es de 53%, el flujo vehicular ajustado según el factor de hora pico es de 3106 vehículos, con un nivel de servicio C, lo que quiere decir que el número de vehículos que paran en esta intersección es alto.

Intersección 20: Av. Héroes de Tapi y calle Brasil.

El volumen de tráfico de esta intersección es de 17522 vehículos y el flujo de saturación de la intersección es de 3141, el flujo vehicular ajustado según el factor de hora pico es de 1704 vehículos, es decir que esta intersección se está utilizando en un 61% de su capacidad calificando con un nivel de servicio C, lo que quiere decir que los ciclos más sincronizados pueden ser los que ocasionan el mayor retraso, el número de vehículos que paran es alto en este nivel.

De acuerdo a nuestro análisis y empleando un rediseño en las fases semafóricas el nivel de servicio es de B, lo que nos indica que el retraso de los vehículos a disminuido. Como último punto a observar es la relación volumen capacidad que para esta intersección es de 0.671, lo que nos indica que la demanda está en un punto medio de su capacidad.

Intersección 21: Av. La Prensa y calle Gonzalo Dávalos.

El volumen de tráfico de esta intersección es de 16935 vehículos y el grado de saturación de la intersección es de 24%, el flujo vehicular ajustado según el factor de

hora pico es de 1647 vehículos, con un nivel de servicio A, lo que quiere decir que el progreso de esta intersección es extremadamente favorable.

Intersección 22: Av. La Prensa y Av. Lizarzaburu.

El volumen de tráfico de esta intersección es de 20651 vehículos y el flujo de saturación de la intersección es de 3155, el flujo vehicular ajustado según el factor de hora pico es de 2248 vehículos, es decir que esta intersección se está utilizando en un 82% de su capacidad calificando con un nivel de servicio E, lo que quiere decir que experimenta un gran retraso, mala progresión, larga duración del ciclo. Las consecuencias de este nivel de servicio son el aumento de control, congestión, accidentes de tránsito.

De acuerdo a nuestro análisis y empleando un rediseño en las fases semafóricas el nivel de servicio es de D, lo que nos indica que el retraso de los vehículos a disminuido. Como último punto a observar es la relación volumen capacidad que para esta intersección es de 0.832, lo que nos indica que la demanda está próxima a alcanzar su capacidad.

Intersección 23: Av. Lizarzaburu y calle Agustín Torres.

El volumen de tráfico de esta intersección es de 20545 vehículos y el flujo de saturación de la intersección es de 3155, el flujo vehicular ajustado según el factor de hora pico es de 2002 vehículos, es decir que esta intersección se está utilizando en un 53% de su capacidad calificando con un nivel de servicio C, lo que quiere decir que los ciclos más sincronizados pueden ser los que ocasionan el mayor retraso, el número de vehículos que paran es alto en este nivel.

De acuerdo a nuestro análisis y empleando un rediseño en las fases semafóricas el nivel de servicio es de C, lo que nos indica que el retraso de los vehículos a disminuido de 26.4 a 20.4 seg/veh. Como último punto a observar es la relación volumen capacidad que para esta intersección es de 0.562, lo que nos indica que la demanda está próxima a alcanzar su capacidad.

Intersección 24: Av. Lizarzaburu y Av. Saint Amont Montread.

El volumen de tráfico de esta intersección es de 22260 vehículos y el flujo de saturación de la intersección es de 3156, el flujo vehicular ajustado según el factor de hora pico es de 2270 vehículos, es decir que esta intersección se está utilizando en un 82% de su capacidad calificando con un nivel de servicio F, lo que quiere decir que es un nivel inaceptable, generalmente ocurre sobresaturación, esto ocurre cuando la tasa de flujo supera la capacidad del grupo de carril.

De acuerdo a nuestro análisis y empleando un rediseño en las fases semafóricas el nivel de servicio es de B, lo que nos indica que el retraso de los vehículos a disminuido. Como último punto a observar es la relación volumen capacidad que para esta intersección es de 0.871, lo que nos indica que la demanda está próxima a alcanzar su capacidad.

Intersección 25: Av. Lizarzaburu y Av. 11 de Noviembre.

El volumen de tráfico de esta intersección es de 25604 vehículos y el flujo de saturación de la intersección es de 3123, el flujo vehicular ajustado según el factor de hora pico es de 2326 vehículos, es decir que esta intersección se está utilizando en un 94% de su capacidad calificando con un nivel de servicio F, lo que quiere decir que es un nivel inaceptable, generalmente ocurre sobresaturación, esto ocurre cuando la tasa de flujo supera la capacidad del grupo de carril.

De acuerdo a nuestro análisis y empleando un rediseño en las fases semafóricas el nivel de servicio es de E, lo que nos indica que el retraso de los vehículos a disminuido. Como último punto a observar es la relación volumen capacidad que para esta intersección es de 0.939, lo que nos indica que la demanda está próxima a alcanzar su capacidad.

CAPITULO VI

6. CONCLUSIONES Y RECOMENDACIONES.

6.1. Conclusiones.

• Mediante el análisis y evaluación de las intersecciones de la circunvalación de la ciudad de Riobamba se determinó la situación real de movilidad que éstas presentan, contando con un nivel de servicio muy bajo debido a las demandas del tráfico, diseño geométrico, planes de semaforización. En la siguiente tabla se presentan los niveles de servicio y la demora en cada intersección.

Tabla 254: Nivel de servicio y demoras.

INTERSECCIONES	NIVEL DE SERVICIO ACTUAL	DEMORA (seg/veh)
AV. LIZARZABURU Y AV. BY PASS	F	146.9
AV. BY PASS Y CALLE SERGIO QUIROLA	Α	6
AV. BY PASS Y AV. CANONIGO RAMOS	D	54.2
AV. BY PASS Y AV. PEDRO VICENTE MALDONADO	E	65.3
AV.PEDRO VICENTE MALDONADO Y CALLE JOSÉ DE ARAUJO	E	62.5
AV. PEDRO VICENTE MALDONADO Y CALLE JOSÉ PERALTA	D	48.1
AV. PEDRO VICENTE MALDONADO Y AV. 11 DE NOVIEMBRE	F	83.3
AV. PEDRO VICENTE MADONADO Y AV. SAINT AMONT MONTREAD	В	17.3
AV. PEDRO VICENTE MALDONADO Y AV. 9 DE OCTUBRE	С	28.8
AV. 9 DE OCTUBRE Y CALLE S/N	D	40.4
AV. 9 DE OCTUBRE Y CALLE CARABOBO	F	103.1
AV. 9 DE OCTUBRE Y AV. JUAN FÉLIX PROAÑO	F	108.9
AV. 9 DE OCTUBRE Y AV. LEOPOLDO FREIRE	D	53.5
AV. 9 DE OCTUBRE Y AV. COSTA RICA	Е	73.7
AV. CELSO RODRÍGUEZ Y AV. EDELBERTO BONILLA OLEAS	E	61.4
AV. EDELBERTO BONILLA OLEAS Y AV. ARAUJO CHIRIBOGA	F	128.3
AV. EDELBERTO BONILLA OLEAS Y AV. ANTONIO JOSÉ DE SUCRE	E	61.6
AV. HÉROES DE TAPI Y CALLE BRASIL	С	30.4
AV. LIZARZABURU Y AV. LA PRENSA	E	72.1
AV. LIZARZABURU Y CALLE AGUSTÍN TORRES	С	26.4
AV. LIZARZABURU Y AV. SAINT AMONT MONTREAD	F	84.5
AV. LIZARZABURU Y AV. 11 DE NOVIEMBRE	F	99.4
AV.EDELBERTO BONILLA OLEAS Y AV. ALFONSO CHÁVEZ	F	61.9
AV. ANTONIO JOSÉ DE SUCRE Y AV. HÉROES DE TAPI	С	15.6
AV. LA PRENSA Y CALLE GONZALO DÁVALOS	А	2.3

• Al realizar el conteo vehicular se determinó el tráfico promedio diario horario (TPDH) de cada una de las intersecciones en estudio, en la cual se observó que la intersección con más demanda horaria de vehículos es en la Av. Edelberto Bonilla y Av. Alfonso Chávez (redondel de la Vasija) por donde circulan 30162 vehículos. A continuación se presenta una tabla de tráfico promedio diario horario de cada intersección.

Tabla 255: Tráfico promedio diario horario.

	TRÁFICO
INTERSECCIONES	PROMEDIO DIARIO
INTERSECTIONES	HORARIO
AV. LIZARZABURU Y AV. BY PASS	26430
AV. BY PASS Y CALLE SERGIO QUIROLA	13311
AV. BY PASS Y AV. CANONIGO RAMOS	16214
AV. BY PASS Y AV. PEDRO VICENTE	10214
MALDONADO	24477
AV.PEDRO VICENTE MALDONADO Y CALLE JOSÉ DE ARAUJO	45250
AV. PEDRO VICENTE MALDONADO Y CALLE	15258
JOSÉ PERALTA	16453
AV. PEDRO VICENTE MALDONADO Y AV. 11	
DE NOVIEMBRE	25061
AV. PEDRO VICENTE MADONADO Y AV.	
SAINT AMONT MONTREAD AV, PEDRO VICENTE MALDONADO Y AV. 9 DE	21520
OCTUBRE	16760
AV. 9 DE OCTUBRE Y CALLE S/N	12096
AV. 9 DE OCTUBRE Y CALLE CARABOBO	23545
AV. 9 DE OCTUBRE Y AV. JUAN FÉLIX	
PROAÑO	24046
AV. 9 DE OCTUBRE Y AV. LEOPOLDO FREIRE	20713
AV. 9 DE OCTUBRE Y AV. COSTA RICA	13310
AV. CELSO RODRÍGUEZ Y AV. EDELBERTO BONILLA OLEAS	14148
AV. EDELBERTO BONILLA OLEAS Y AV.	14140
ARAUJO CHIRIBOGA	15735
AV. EDELBERTO BONILLA OLEAS Y AV.	24504
ANTONIO JOSÉ DE SUCRE	21581
AV. HÉROES DE TAPI Y CALLE BRASIL	17522
AV. LIZARZABURU Y AV. LA PRENSA	20651
AV. LIZARZABURU Y CALLE AGUSTÍN TORRES	20545
AV. LIZARZABURU Y AV. SAINT AMONT MONTREAD	22260
AV. LIZARZABURU Y AV. 11 DE NOVIEMBRE	25604
AV.EDELBERTO BONILLA OLEAS Y AV. ALFONSO CHÁVEZ	30162
AV. ANTONIO JOSÉ DE SUCRE Y AV. HÉROES DE TAPI	28574
AV. LA PRENSA Y CALLE GONZALO DÁVALOS	16934

• Con los datos obtenidos de las propuestas para las soluciones de las intersecciones semaforizadas en estudio demuestra que no todas se encuentran saturadas en sus aproximaciones, el flujo vehicular no excede la capacidad de las vías. El resultado de la relación volumen capacidad Xc no sobrepasa valores de 1.0, esto es un indicativo que el diseño geométrico la duración del ciclo, el plan de fases u otras características de la zona de estudio son adecuadas para la demanda dada.

Tabla 256: Comparación de niveles de servicio.

INTERSECCIONES SEMAFORIZADAS	NIVEL DE SERVICIO ACTUAL	SERVICIO MEJORADO
AV. LIZARZABURU Y AV. BY PASS	F	F
AV. BY PASS Y CALLE SERGIO QUIROLA	Α	Α
AV. BY PASS Y AV. CANONIGO RAMOS	D	С
AV. BY PASS Y AV. PEDRO VICENTE MALDONADO	E	С
AV.PEDRO VICENTE MALDONADO Y CALLE JOSÉ DE ARAUJO	E	D
AV. PEDRO VICENTE MALDONADO Y CALLE JOSÉ PERALTA	D	С
AV. PEDRO VICENTE MALDONADO Y AV. 11 DE NOVIEMBRE	F	E
AV. PEDRO VICENTE MADONADO Y AV. SAINT AMONT MONTREAD	В	А
AV. PEDRO VICENTE MALDONADO Y AV. 9 DE OCTUBRE	С	В
AV. 9 DE OCTUBRE Y CALLE S/N	D	Α
AV. 9 DE OCTUBRE Y CALLE CARABOBO	F	D
AV. 9 DE OCTUBRE Y AV. JUAN FÉLIX PROAÑO	F	E
AV. 9 DE OCTUBRE Y AV. LEOPOLDO FREIRE	D	D
AV. 9 DE OCTUBRE Y AV. COSTA RICA	E	В
AV. CELSO RODRÍGUEZ Y AV. EDELBERTO BONILLA OLEAS	E	С
AV. EDELBERTO BONILLA OLEAS Y AV. ARAUJO CHIRIBOGA	F	С
AV. EDELBERTO BONILLA OLEAS Y AV. ANTONIO JOSÉ DE SUCRE	E	D
AV. HÉROES DE TAPI Y CALLE BRASIL	С	В
AV. LIZARZABURU Y AV. LA PRENSA	E	D
AV. LIZARZABURU Y CALLE AGUSTÍN TORRES	С	С
AV. LIZARZABURU Y AV. SAINT AMONT MONTREAD	F	В
AV. LIZARZABURU Y AV. 11 DE NOVIEMBRE	F	E

6.2. Recomendaciones.

Para mejorar el nivel de servicio de una intersección se debe implementar campañas de concientización donde se les explique a la ciudadanía en general a conducir de una manera más segura y respetando las leyes de tránsito. Además se debe considerar el mayor número de movimientos posibles dentro de una fase semafórica.

Los semáforos tienen que funcionar correctamente, se deberá dar un constante mantenimiento verificando que no exista ninguna desprogramación. Todas las señalizaciones que indican las entradas y salidas a los carriles de giro o a los carriles centrales, tendrán que encontrarse claramente posicionadas para su buena visualización.

A las autoridades pertinentes se les recomienda realizar un estudio de todos los semáforos que se encuentran ubicados en la ciudad, para de esta manera tener menos demoras en los tiempos de viaje y así contribuir a una mejor movilidad en la ciudad.

CAPITULO VII

7. PROPUESTA.

7.1. Título de la propuesta.

Diseño geométrico en la intersección 17: Av. Edelberto Bonilla y Av. Alfonso Chávez de la ciudad de Riobamba.

7.2. Introducción.

Como respuesta al desarrollo de la ciudad y el cambio de uso del suelo, surgen altos volúmenes de tránsito que deterioran la calidad de servicio, aumentan el congestionamiento y excede la capacidad de la vía para la cual fue planificada.

En los últimos años, Riobamba ha tenido un crecimiento económico que ha llevado a experimentar un avance importante, a elevar el poder adquisitivo de la sociedad. Es por esto que se ha visto reflejado en el incremento de centros comerciales, colegios, universidades, edificios y crecimiento en el parque automotor.

Para hacer frente a los problemas del tráfico que presenta la ciudad exclusivamente en la intersección más crítica en estudio: Av. Edelberto Bonilla y Av. Alfonso Chávez (redondel de la Vasija), se plantea un diseño geométrico de un paso deprimido con el fin de aumentar la capacidad de tránsito en dicha intersección. Esta propuesta será simulada con el software SYNCHRO 8.0, donde se comentará que parámetros se tomaron en cuenta para proponer esta alternativa.

7.3. OBJETIVOS.

7.3.1. Objetivo general.

Simular y analizar dos alternativas de solución al problema de tráfico que existe en la intersección 17: Av. Edelberto Bonilla y Av. Alfonso Chávez (redondel de la Vasija) con el software SYNCHRO 8.0.

7.3.2. Objetivo específico.

- Obtener los datos requeridos por el programa para ejecutar la simulación.
- Escoger la alternativa más favorable para mejor el nivel de servicio de esta intersección.

7.4. FUNDAMENTACIÓN CIENTÍFICA – TEÓRICA.

7.4.1. Intersección 17: Av. Edelberto Bonilla y Av. Alfonso Chávez (redondel de la Vasija).

Por esta intersección circulan 30162 vehículos al día y durante la hora pico transitan 3104 vehículos, lo cual esto genera que sus brazos de aproximación tengan un grado de saturación crítico y presenten un nivel de servicio F.

Una vez identificado el problema y su situación actual se deben formular acciones que puedan dar solución o disminuir los efectos de la causa o causas que se ha considerado resolver. Para este efecto hemos desarrollado dos alternativas que están basadas en la sustitución del redondel por otro medio señalizado.

7.4.2. Pasos e intersecciones a desnivel.

Según la AASHTO, 2011, los pasos e intersecciones a desnivel son convenientes y eficientes para resolver problemas que se presentan en intersecciones a nivel; sin embargo, debido a su alto costo inicial, sus objetivos principales son la disminución de los costos de operación de transporte y la reducción de los accidentes de tránsito.

Los pasos a desnivel pueden ser de dos tipos:

- 1) Pasos inferiores.- son aquellos que en el camino pasa por debajo de otra vía de comunicación terrestre.
- 2) Pasos superiores.- son aquellos que en camino pasan por arriba de otra vía de comunicación terrestre

7.4.2.1. Pasos inferiores.

Ancho de la estructura

Se recomienda que el ancho total de la sección transversal del camino, incluyendo la calzada, la faja separadora central, los acotamientos y las distancias libres entre ambos lados, se prolonguen sin cambios a través de la estructura.

Distancia libre laterales

La distancia lateral mínima desde la orilla de la calzada del camino hasta la cara interna de la barrera de protección, será igual al ancho de acotamiento.

Distancia libre vertical (Gálibo).

La altura libre vertical de un paso inferior será determinada para toda la carretera, considerando las especificaciones generales del proyecto que se hayan establecido. La altura libre mínima de todas las estructuras, desde la superficie de la calzada y acotamientos, será de 5.50 metros. Son convenientes alturas adicionales para compensar los reencarpetados de la carretera en el futuro y camiones ocasionalmente sobrecargados.

7.5. DESCRIPCIÓN DE LA PROPUESTA.

7.5.1. Alternativa 1: Semaforización y aumento a 3 carriles en sus aproximaciones.

La primera alternativa parte de la idea de reemplazar el redondel de la vasija por un semáforo establecido que ayudará a controlar el tráfico generado en el sector y la ampliación de las aproximaciones de entrada de dos a tres carriles de 3 metros de ancho.

7.5.1.1. Datos ingresados para la modelación.

Previo a la simulación en el software SYNCHRO 8 ingresamos los siguientes datos:

- Sentido de las intersecciones, tomando en cuenta que se amplió el número de carriles.
- Ingresar el número de vehículos y sus respectivos movimientos en esta intersección, estos datos se los ha obtenido en el conteo vehicular del volumen de tráfico por hora.
- Se define un semáforo establecido, posterior a ello se establece las fases semafóricas, en nuestro caso son cuatro.

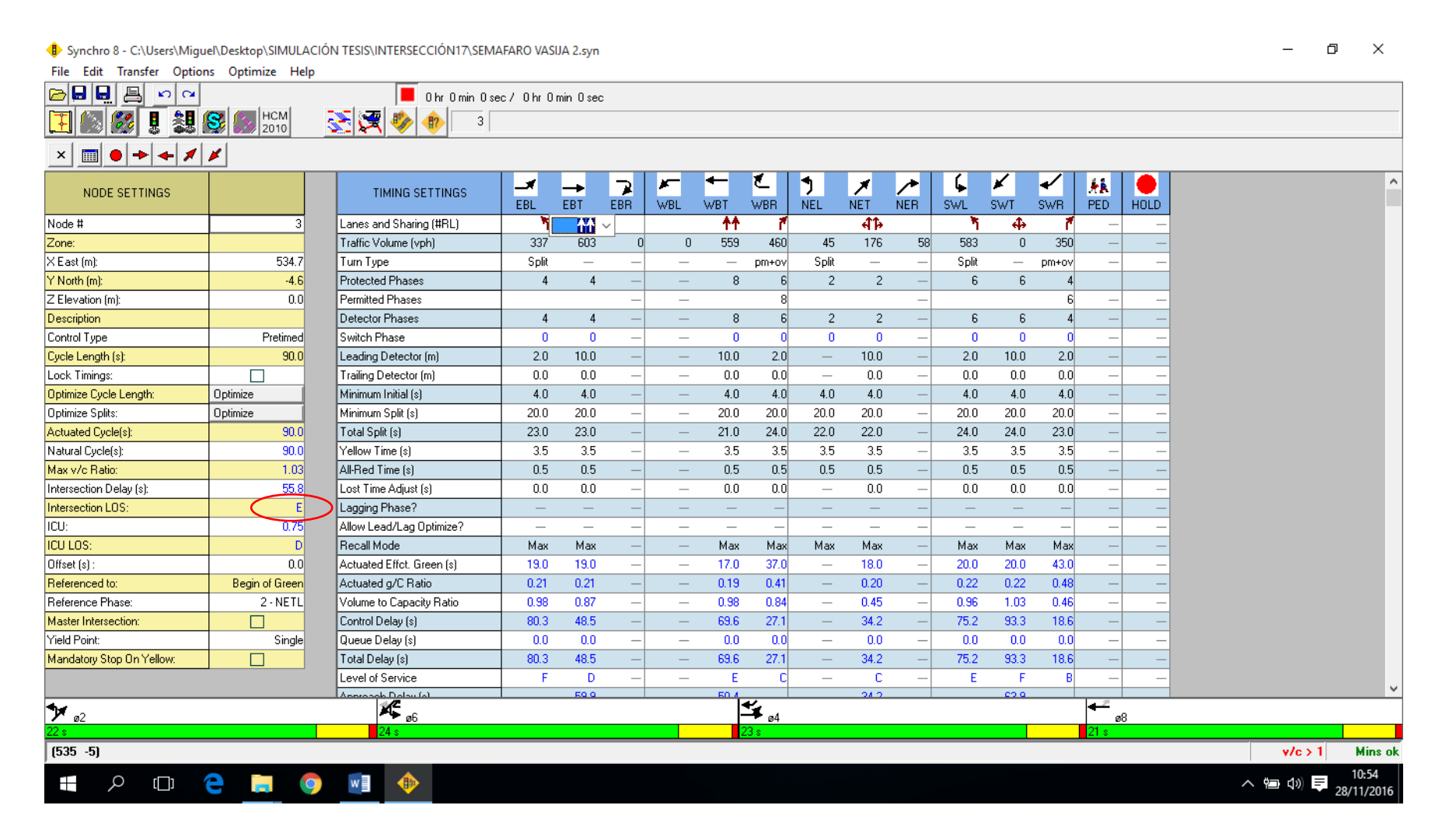


Ilustración 115: Datos ingresados y obtenidos en la simulación en el software SYNCHRO 8.0 de la alternativa 1.

Fuente: SYNCHRO 8.0.

Podemos notar que el nivel de servicio ha mejorado pasando de F a E, lo que quiere decir que en este nivel los vehículos experimentan un gran retraso, además nos indica una muy mala progresión y una larga duración del ciclo. Las consecuencias de este nivel de servicio son el aumento de control, congestión y accidentes de tránsito.

Una vez simulada la alternativa de solución propuesta se observa que el tráfico se ha distribuido en una forma ordenada, pero no se ha mejorado en mucho el nivel de servicio con el que cuenta actualmente; lo que quiere decir que el semáforo no es una de las mejores soluciones.

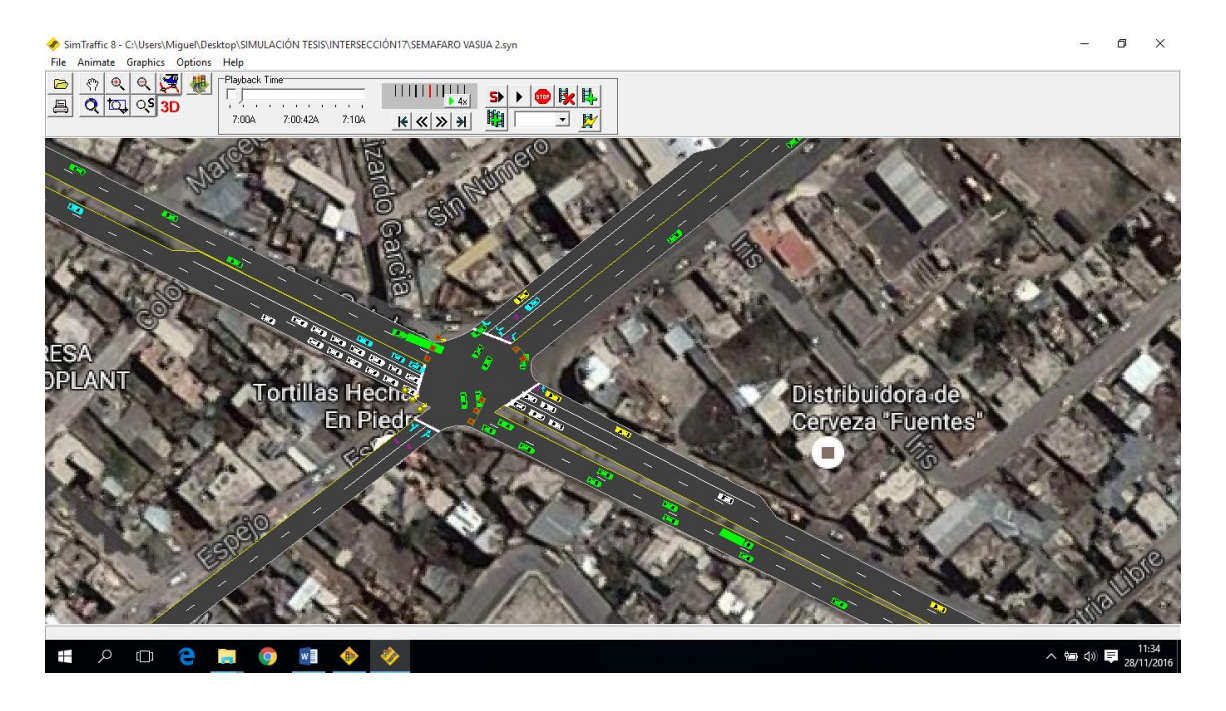


Ilustración 116: Alternativa 1. Simulada en el software SYNCHRO 8.0

Fuente: SYNCHRO 8.0

7.5.2. Alternativa 2: Paso deprimido.

Se propone la idea de crear un paso deprimido con lo que se pretende optimizar el flujo vehicular y a la vez mejorar el nivel de servicio de la intersección.

7.5.2.1. Datos ingresados para la modelación.

Para el caso de esta alternativa propuesta se ingresó la siguiente información previa a la simulación:

 Se creara un paso deprimo en la Av. Edelberto Bonilla que permitirá distribuir el volumen de tráfico evitando el congestionamiento.

- Número de vehículos que transitan por la intersección, este dato se lo obtuvo mediante el conteo vehicular de la hora pico.
- De igual manera los tiempos de las fases semafóricas se utilizó el calculado por el programa al igual que en algunos de los datos que proporcionan por defecto, tomando en consideración la HCM 2000.

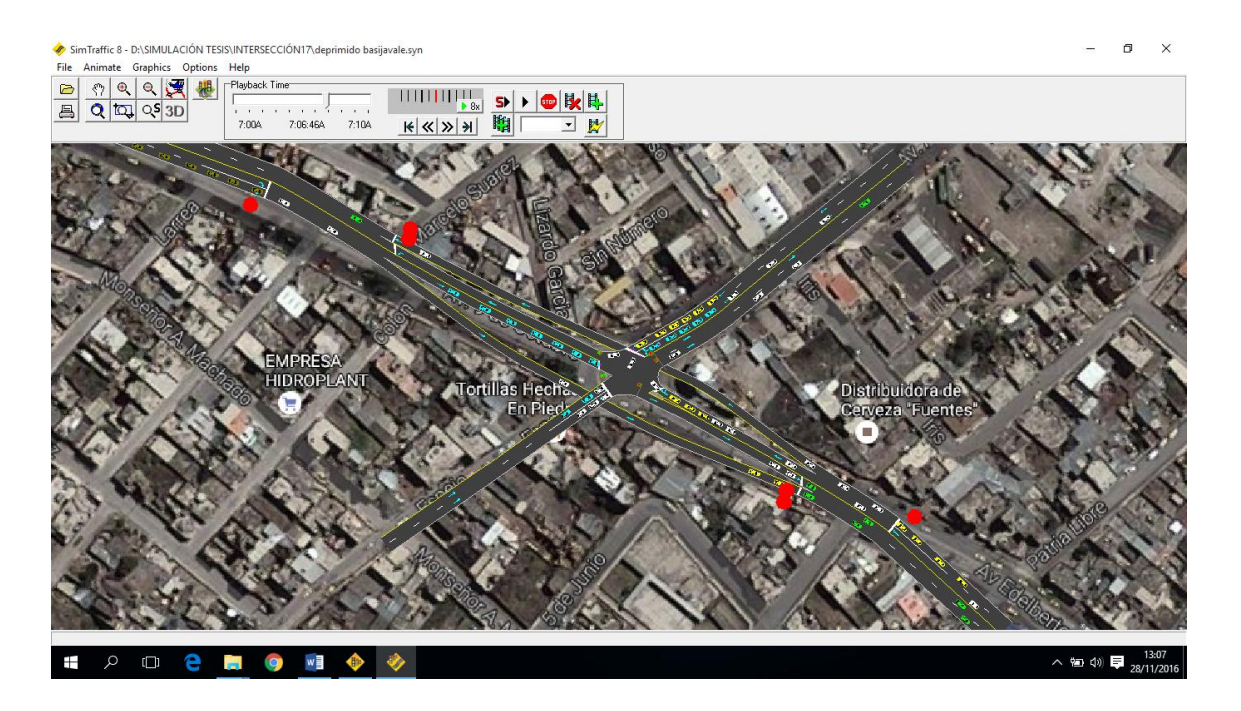


Ilustración 117: Simulación del paso deprimido en el software SYNCHRO 8.0.

Fuente: SYNCHRO 8.0.

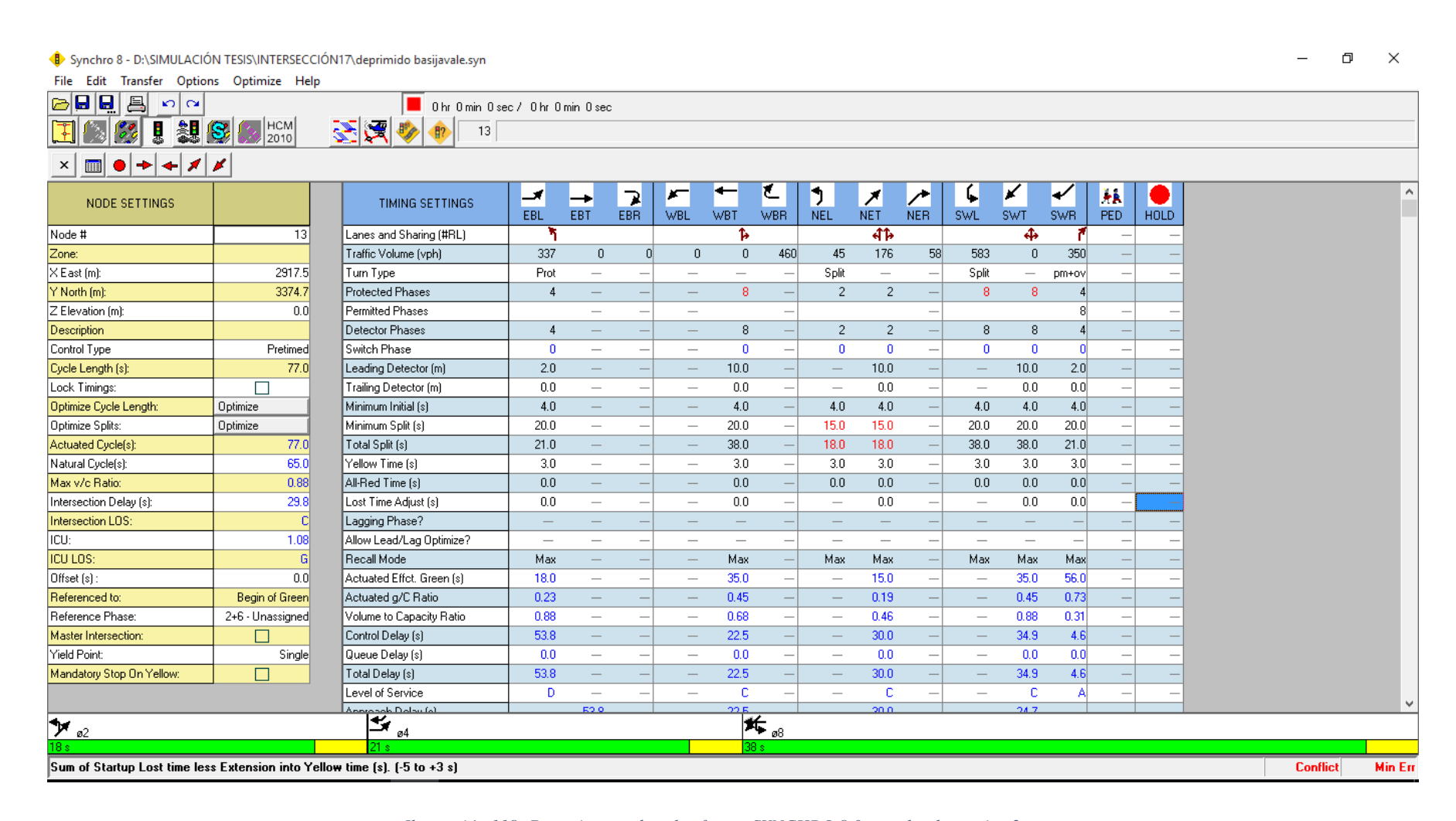


Ilustración 118: Datos ingresados al software SYNCHRO 8.0 para la alternativa 2.

Fuente: SYNCHRO 8.0.

Podemos notar que el nivel de servicio a mejorado pasando de F a C con un retraso de 29.8 seg/veh, los volúmenes han reducido de manera que la eficiencia de la intersección ha mejorado, por lo que es más favorable que la alternativa 1; y al ser viable es la más adecuada y se resuelve el problema suscitado en esta intersección.

7.5.3. Alternativa escogida.

Para proponer una solución al congestionamiento vehicular en el redondel de la Vasija fue necesario analizar las dos posibilidades determinando el nivel de servicio de cada una de ellas. La solución óptima fue la creación de un paso deprimido el mismo que tiene las siguientes características geométricas que se detallan en el anexo 3 plano 1 propuesta paso deprimido en el sector de la Vasija-Riobamba.

7.6. DISEÑO ORGANIZACIONAL.

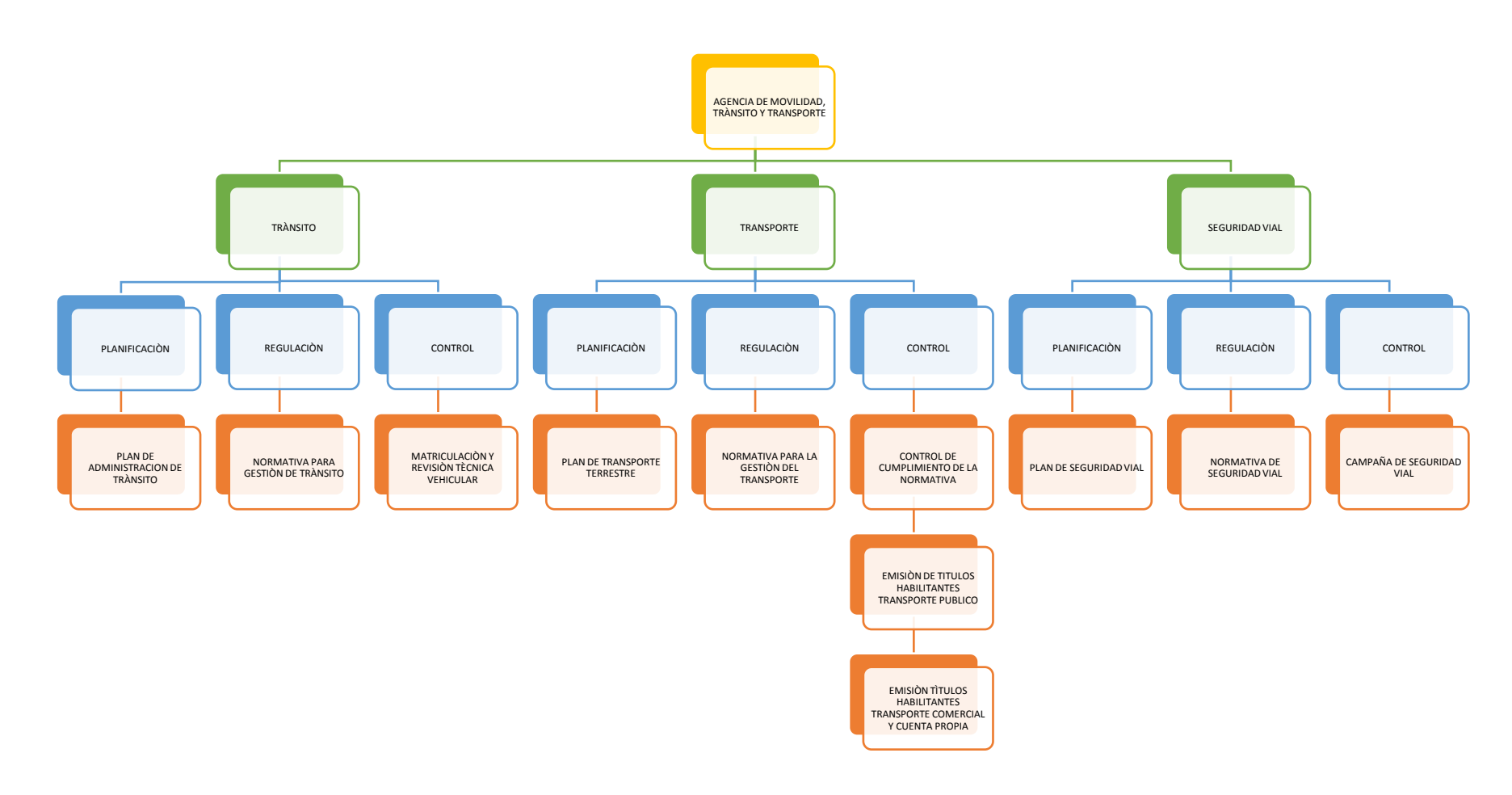


Ilustración 119: Diseño Organizacional.

Fuente: Dirección de gestión de movilidad y transporte GADM Riobamba.

7.7. MONITOREO Y EVALUACIÓN DE LA PROPUESTA.

Los problemas que se presentan en la actualidad en la intersección es debido al crecimiento urbano no planificado de la ciudad, la misma que causa: congestión vehicular, crecimiento desmedido del parque automotor y mal estado de las calles que convergen con la circunvalación.

La mejor manera de enfrentar estos problemas es creando un paso deprimido que nos ayudará a solucionar los problemas de congestión. Una vez realizados estos cambios y llevándolos a la realidad, se logrará un menor tiempo de viaje y por ende menos riesgos de accidentabilidad.

Una vez realizada la modelación en el software SYNCHRO 8.0 nos indica que esta intersección va a tener un nivel de servicio C con un retraso de 29.8seg/veh, razón por la cual su construcción sería muy beneficiosa para la colectividad riobambeña.

CAPITULO VIII

8. BIBLIOGRAFÍA.

- American Association of States Highway and Transportation Officials (AASTHO-2011).
- Bañón Blázquez Luis, Beviá Gracía José (25 de septiembre del 2000). Manual de Carreteras, Universidad de Alicante.
- Castro Juan (2003). Metodología de la investigación.
- Cueva Juan (2012). Síntesis de intersecciones, señalización y semáforos.
 Cuenca: Universidad de Cuenca.
- Díaz Vargas Luis Fernando (29 de abril del 2009). Análisis vial de dos intersecciones sin semáforo en la zona aledaña a nuevo terrapuerto de Piura. Piura, Perú.
- Federal Highway Administrator. (2009). Manual on Uniform Traffic Control Devices. United States. Us Departament of Transportation.
- Fernández Rodrigo (abril 2012). Análisis de modelos de capacidad y demora en intersecciones prioritarias. Santiago de Chile.
- Google Maps. (5 de octubre del 20016). Circunvalación de la ciudad de Riobamba, Chimborazo, Ecuador.
- Instituto Ecuatoriano de Normalización, INEN. (2012). Reglamento Técnico Ecuatoriano. INEN 004: 2012 Parte 5. Quito, obtenido de http://wwww.normalizacion.gob.ec/wp-content/upsloads/downloads/2013/11/rte_4_5.pdf
- Ministerio de Transportes y Obras Públicas. (2003) "Normas de diseño geométrico de carreteras". MTOP. Quito, Ecuador.
- Ministerio de Transportes y Obras Públicas (2002) "Especificaciones generales para la construcción de caminos y puentes". MOP-001-f-2002, Tomos I y II. Quito, Ecuador.
- National Academy of Sciences (2000). Highhway Capacity Manual. United States. Library of Congress Cataloging in Cublication Data.
- Rafael Cal y Mayor R; James Cárdenas (2007). Ingeniería de Tránsito fundamentos y aplicaciones, México.

- RR Studio Arquitectura y Diseño, conceptos básicos de vialidad. obtenido de http://rr-studio.tumblr.com/post/48684530223/conceptos-b%C3%A1sicos-devialidad
- Thomas Ian, B. A. (2002). Revista de la Cepal 76. La congestión del tránsito urbano México.

CAPITULO IX

9. ANEXOS.

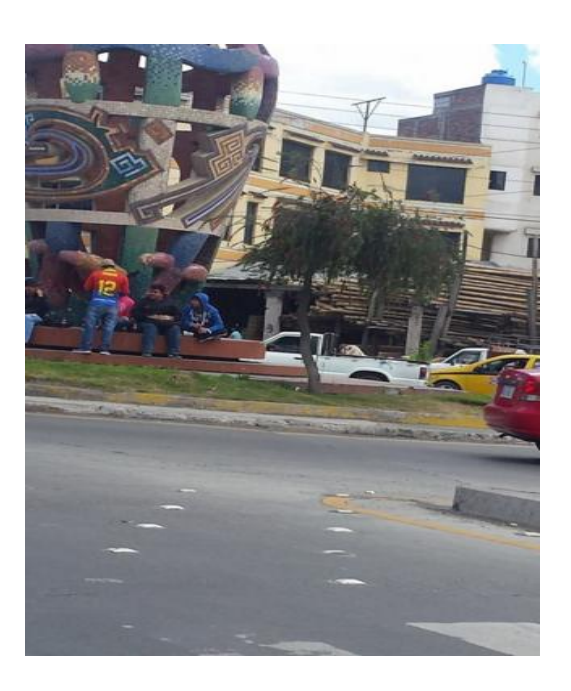
9.1. ANEXO 1: FORMATO DEL CONTEO VEHICULAR.

	CONTEO DE TRÁFICO														
REDONDEL E INTERSECCIÓN INTERSECCIÓN 25: AV. LIZARZABURU Y AV. 11 DE NOVIEMBRE.															
		HORA PICO													
	CALLE, SENTIDO Y CARRILES				12:30)	12:45			13:00			13:15		
NOMBRE CALLE	SENTIDO	CARRIL	SENTIDO DE CIRCULACIÓN	Α	В	С	Α	В	С	Α	В	С	Α	В	С
		IZQ	GIRO IZQ												
	NORTE-SUR	120	RECTO												
	NUKTE-SUK	DER	RECTO												
A. Caranakan		DEN	GIRO DER												
Av. Lizarzaburu		IZQ	GIRO IZQ												
	CUD NODTE		RECTO												
	SUR-NORTE	DED	RECTO												
		DER	GIRO DER												
		170	GIRO IZQ												
	CCTC OCCTC	IZQ	RECTO												
	ESTE-OESTE	DER	RECTO												
Av. 11 de		DEK	GIRO DER												
Noviembre		170	GIRO IZQ												
	OFCTF FCTF	IZQ	RECTO												
	OESTE-ESTE	DED	RECTO												
	DER	GIRO DER													

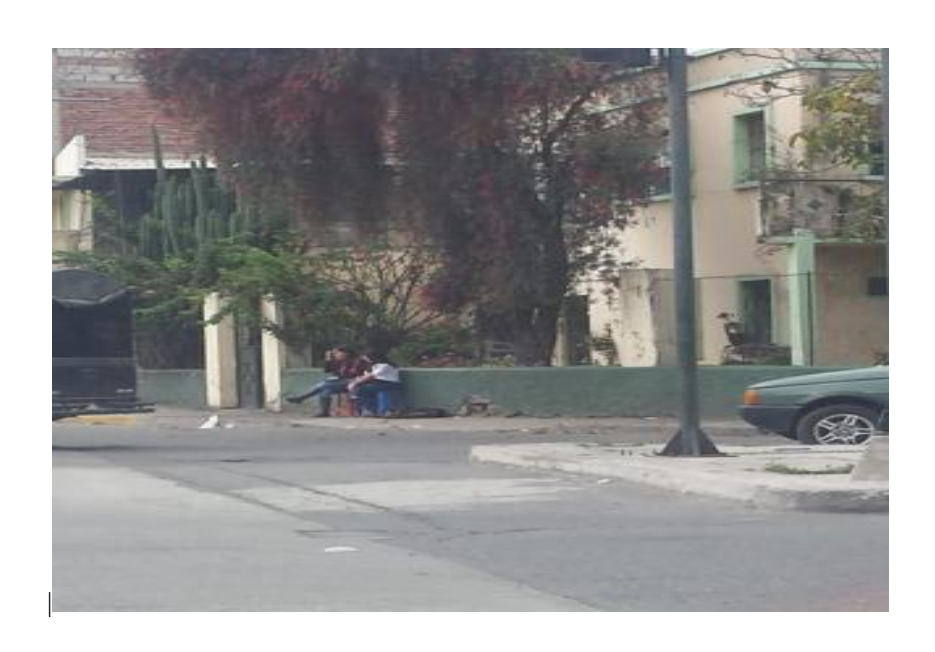
9.2. ANEXO 2: PLANO 1 PROPUESTA PASO DEPRIMIDO EN EL SECTOR DE LA VASIJA-RIOBAMBA.

9.3. ANEXO 3: FOTOGRAFÍAS.

CONTEO VEHICULAR MANUAL



Av. Edelberto Bonilla y Av. Alfonso Chávez.



Av. 9 de Octubre y calle Carabobo.



Av. Edelberto Bonilla y Av. Costa Rica.

RECOPILACIÓN DE DATOS GEOMÉTRICOS DE INTERSECCIONES



Av. 9 de Octubre y Av. Juan Félix Proaño.



Av. 9 de Octubre y Av. Leopoldo Freire.

FASES SEMAFÓRICAS



Av. Edelberto Bonilla y Av. Celso Augusto Rodríguez.